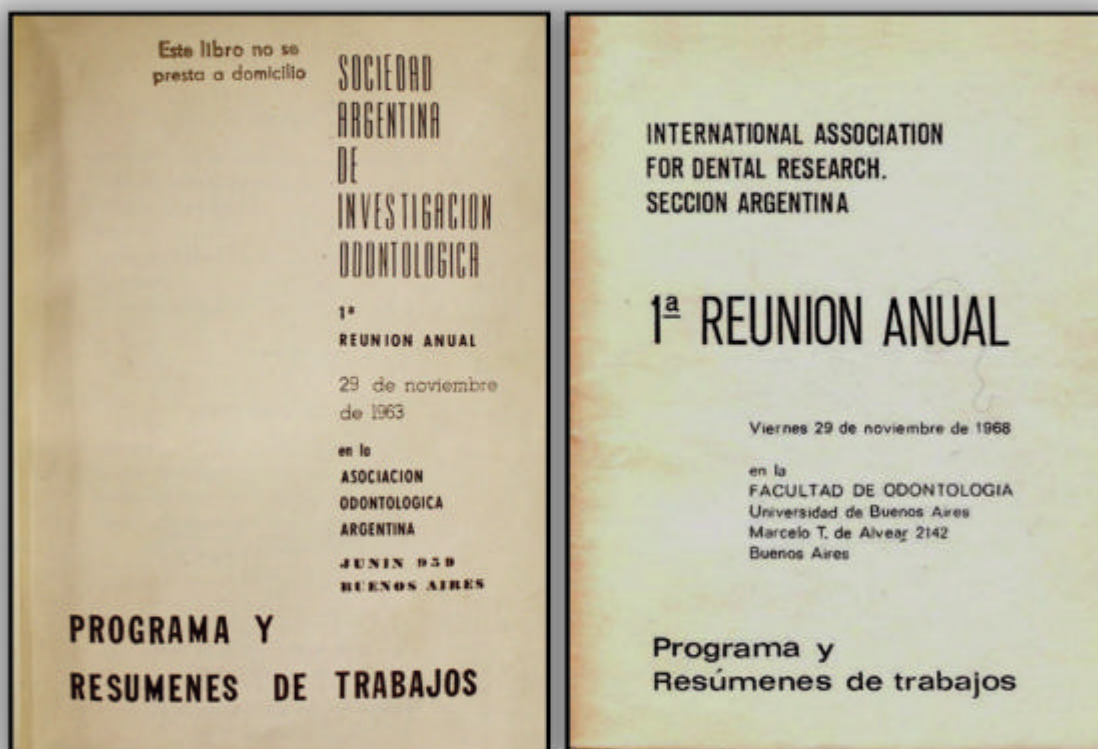


# Sociedad Argentina de Investigación Odontológica

Division Argentina de la International Association for Dental Research

## XLII Reunión Anual



9 al 11 de Octubre de 2009 - Potrero de los Funes - Provincia de San Luis



**SOCIEDAD ARGENTINA DE INVESTIGACION ODONTOLOGICA**

División Argentina de la  
Internacional Association for Dental Research

XLII Reunión Anual

9 al 11 de Octubre de 2009

Potrero de los Funes

Provincia de San Luis

En Memoria de  
Marta Crosa  
Omar Tumilasci

## COMISION DIRECTIVA

PRESIDENTE:	Aldo F.Squassi
PRESIDENTE ELECTO:	Mirta Spadillero de Lutri
PRESIDENTE SALIENTE:	Agustina C. Reynoso
VICEPRESIDENTE:	Patricia M. Mandalunis
SECRETARIO:	Omar Tumilasci
PROSECRETARIA:	Luciana R. D´Eramo
TESORERA:	Mariana Picca
PROTESORERA:	Ana María Morasso
SECRETARIA de RELACIONES INTERNACIONALES:	Andrea E. Kaplan
VOCALES:	Gabriel A. Sánchez María Inés Gonzáles María Irene Vacas
ASESOR CIENTIFICO:	Rómulo L. Cabrini

## ORGANO DE FISCALIZACION

TITULARES:	María Rosa Alippi Susana Piovano Ricardo Macchi
SUPLENTES:	Ana María Biondi Gabriela Cortese Osvaldo Costa

## **RELACIONES PROVINCIALES**

La Plata:	Pablo Mancuso Ricardo Miguel
Córdoba:	Raquel Gallara Sebastian Fontana
Tucumán	Sofía Torres Juan Garat Susana Romero
Mendoza	M. Ángeles Giaquinta
Rosario	Rodolfo Steeman
Corrientes	María Mercedes Gonzáles

## **COMISION DE APOYO XLII REUNION ANUAL**

Verónica Almeida Chetti

Olga Antonenko

Natalia Escudero

Carla Masoli

Silvia Medici

## AUSPICIOS Y ADHESIONES

La Comisión Directiva de la Sociedad Argentina de Investigación Odontológica a agradecido las adhesiones y auspicios recibidos para la realización de la XLII Reunión Anual:

Decana de la Facultad de Odontología de la Universidad de Buenos Aires  
Facultad de Odontología de la Universidad Nacional de Rosario (Res N°271/09)  
Facultad de Odontología de la Universidad Nacional de Tucuman  
Universidad Argentina John F. Kennedy  
Confederación Odontológica de la Republica Argentina  
Asociación Odontológica Argentina  
Circulo Argentino de Odontología  
Circulo Odontológico de San Luis  
Sociedad Argentina de Ortodoncia  
Asociación Argentina de Osteología y Metabolismo Mineral  
Fundación Independencia  
Fundación CREO

Declarado de Interés Provincial por la Provincia de San Luis

## AGRADECIMIENTOS

La Comisión Directiva de la Sociedad Argentina de Investigación Odontológica desea expresar su agradecimiento a las Instituciones y personas, que con su apoyo científico, económico, han ayudado a llevar a cabo la XLII Reunión Anual:

- A los docentes de los cursos pre-jornadas e intrajornadas:  
Dres Noemi Bordoni, Susana Piovano, Ricardo Macchi, Gabriel Sanchez y Mark Heft.
- A la Facultad de Odontología de la Universidad de Buenos Aires por el sostenimiento de la Sede de la SAIO.
- A las siguientes empresas:
  - COLGATE PALMOLIVE
  - LABORATORIO MICROSULES-BERNABO
  - LABORATORIO NAF
  - LABORATORIO SIDUS
  - SUNSTAR AMERICAS
  - FEDERA
  - IMPLANT VEL
  - JAUREGUI LORDA
  - LA VITRINA
  - CASA DENTAL DINA

# PROGRAMACION HORARIA

Viernes 9 de Octubre

**SALA Mercosur (15:00 a 18:30 hs).**

Curso:

**“Envejecimiento y Odontología Geriátrica: Fisiología, Farmacología, Patología y Calidad de Vida”.**

Dictante: Dr. Mark Heft.

Intervalo 18:30 a 18:45 hs.

**SALA Mercosur (18:45 a 20:00 hs) - Presentaciones Orales**

**Microbiología - Inmunología**

Presidente: S. Gutierrez

Secretario: A. Azcurra

Encargado de sala: S. Torres

**18:45 a 19:00 hs.**

**1 – OR5001 Patogenia de la primoinfección herpética bucal en un modelo experimental murino.**

GONZÁLEZ MI\*, ROSA AC, SANJUAN N A.

**19:00 a 19:15 hs**

**2 – OR5003 Efecto antimicrobiano in vitro de Miconia ioneura sobre la microbiota salival.**

IMPELLIZZERE E\*, TRACANNA M, GONZÁLEZ A, GUTIÉRREZ DE FERRO M, GUTIÉRREZ S.

**19:15 a 19:30 hs.**

**3 - OR5002 Determinación de CIM y CBM de un extracto etanólico de Xenophyllum poposum sobre Streptococcus sobrinus.**

TORRES S\*, TRACANNA M, AMANI S, GONZÁLEZ AM, GUTIÉRREZ DE FERRO M, GUTIÉRREZ S.

**19:30 a 19:45 hs.**

**4 - OR5004 Correlación entre variables clínicas, examen micológico y factores de virulencia en candidiasis crónicas.**

AZCURRA A\*, BAREMBAUM S, BOJANICH M, SCATENA G, CASTILLO G, BELARDINELLI P, ROBLEDO G, CALAMARI S, FEMOPASE F.

**19:45 a 20:00 hs.**

**5 - OR5005 Diagnóstico de calidad de agua de unidades dentales de la FOUNT.**

KOMAID VAN GELDEREN A, ANNAN MS\*, GRANILLO BA.

**SALA Mercosur (20:00 a 21:00 hs)**

**ACTO INAUGURAL**



Viernes 9 de Octubre

**SALA La Carolina (15:00 a 16:00 hs)**

Premio Investigadores Jóvenes en Área de Investigaciones Básicas  
“Prof. Dr. Omar Tumilasci”

**SALA La Carolina (16:15 a 17:30 hs).**

Premio Investigadores Jóvenes en Área de Investigaciones Clínicas  
“Prof. Dr. Rodolfo Erausquin”

**SALA La Carolina (17:30 a 18:15 hs).**

Premio Investigadores en Categoría Estudiantes  
“Prof. Dra. María Ines Egozcue”

**SALA La Carolina (18:15 a 20:00 hs) – Presentaciones Orales  
Fisiología – Farmacología – Bioquímica – Biofísica.**

Cirugía – Farmacología Clínica.

Presidente: A. Finkelberg

Secretario: T. Ferrary

Encargado de sala: M. Gonzalez Chaves

**18:15 a 18:30 hs.**

**9 - OR4001 Contribución al conocimiento del proteoma salival y de su importancia como herramienta diagnóstica.**

FERRARY T\*, DEL CANTO S, NICOLSI L, BISCOGLIO M.

**18:30 a 18:45 hs.**

**10 - OR4002 Alteraciones salivales y bucales en pacientes con carcinoma de mama.**

MAZZEO M\*, LINARES J, LÓPEZ M, DUBERSARSKY C, FINKELBERG A.

**18:45 a 19:00 hs.**

**11 - OR4003 Respuesta del hueso mandibular a la recuperación de los niveles séricos de 25OH vitamina D en ratas alimentadas con ergocalciferol vs. colecalciferol en un modelo experimental de insuficiencia de vitamina D y osteopenia establecida.**

GONZALES CHAVES MMS\*, MAROTTE C, PELLEGRINI GG, MANDALUNIS P, FRIEDMAN SM, ZENI SN.

**19:00 a 19:15 hs.**

**12 - OR4004 Análisis de la efectividad de la carticaína utilizada en Cátedras Clínicas de la Facultad de Odontología de la Universidad Nacional del Nordeste.**

KARABEN V, LOTERO J\*, MORALES S.

**19:15 a 19:30 hs.**

**13 - OR4005 Modulación colinérgica diferencial en el subtipo de receptores muscarínicos sobre la actividad de la oxido nítrico sintasa en la pulpitis.**

ORMAN B\*, DE COUTO PITA A, BORDA E, STERIN-BORDA L.

**19:30 a 19:45 hs.**

**14 - OR4006 Neuronas NADPH / nNOS positivas en el subnúcleo caudal del trigémino relacionadas con estimulación nociceptiva de la pulpa dentaria.**

CANZOBRE MC\*, PENNELLA C, RÍOS H.

**19:45 a 20:00 hs.**

**15 - OR10001 Osteonecrosis de Maxilar en pacientes crónicamente tratados con bisfosfonatos.**

PELLEGRINI G\*, PICARDO S, REY E, ZENI SN.

Sábado 10 de Octubre

**SALA La Carolina (8:30 a 9:15 hs) – Presentaciones Orales**

**Ortodoncia**

Presidente: A. Biondi

Secretario: M. Barreiro

Encargado de sala: J. Goya

**8:30 a 8:45 hs.**

**6 - OR8001 Estudio comparativo entre los factores que se utilizan para determinar el biotipo en los cefalogramas de Bjork-Jarabak y Ricketts.**

BRUNO IG\*, HECHT P, MATEU ME.

**8:45 a 9:00 hs.**

**7 - OR8002 Estudio Experimental para evaluar la posición y angulación de mini-implantes como anclaje de ortodoncia.**

PIACENZA A\*, PERALTA G, BASS PLUER A.

**9:00 a 9:15 hs.**

**8 - OR8003 Susceptibilidad a la corrosión bajo tensión de materiales para uso en ortodoncia.**

KAPLAN AE\*, BARREIRO MM, DUFFO G, HARFIN J.

**Intervalo 9:15 a 9:30**

**SALA La Carolina (9:30 a 11:30 hs) - Presentaciones Orales**

**Patología Clínica – Anatomía Patológica – Radiología.**

Presidente: A.M. Ubios

Secretario: M.L. Paparella

Encargado de sala: S. Fontana

**9:30 a 9:45 hs.**

**16 - OR1001 Cuantificación de la distorsión horizontal y vertical en la radiografía panorámica.**

MARTINEZ ME, MARTINEZ AM, HECHT P, POLADIAN M, DITTER E, BACHUR M, IBERO N, BRUNO IG\*.

**9:45 a 10:00 hs.**

**17 - OR1002 Metodología de medida morfométrica y citométrica por análisis de imagen en lesiones displásicas orales.**

SCOLA MJ\*, BRANDIZZI D, KESZLER A, LANFRANCHI HE, CABRINI RL.

**10:00 a 10:15 hs.**

**18 - OR1003 Análisis morfométrico in vivo de la cámara pulpar de primeros molares en función del género y edad. Estudio preliminar.**

PEÑA G\*, MENIS DE MUTAL L

**10:15 a 10:30 hs.**

**19 - OR1004 Expresión de la proteína STA1 en carcinomas de cabeza y cuello por densitometría por análisis de imagen.**

BRANDIZZI D\*, SCHLEGEL G, VIDAL SM, SANTINI-ARAUJO E, CABRINI RL.

**10:30 a 10:45 hs.**

**20 - OR1005 Terapia por Captura Neutrónica en Boro (BNCT) en "Tandem": Una nueva modalidad de BNCT para el tratamiento del cáncer oral en el modelo de la bolsa del hamster.**

MOLINARI AJ\*, POZZI ECC, THORP SI, MONTI HUGHES A, HEBER EM, GARABALINO MA, MILLER M, ITOIZ ME, AROMANDO RF, NIGG DW, QUINTANA J, TRIVILLIN VA, SCHWINT AE.

**10:45 a 11:00 hs.**

**21 - OR1006 Cicatrización alveolar post extracción en ratas con dieta rica en sacarosa.**  
BARÓ M\*, FERREYRA DE PRATO R.

**11:00 a 11:15 hs.**

**22 - OR1007 Caracterización de la microvasculatura durante la carcinogénesis oral experimental.**  
AROMANDO RF\*, PÉREZ MA, ITOIZ ME.

**11:15 a 11:30 hs.**

**23 - OR1008 Hallazgos histopatológicos en el hueso de osteonecrosis de maxilar asociada a bifosfonatos.**  
PAPARELLA ML\*, BRANDIZZI D, SANTINI-ARAUJO E, CABRINI RL.

**Intervalo 11:30 a 11:45 hs.**

**SALA La Carolina (11:45 a 13:00 hs) - Presentaciones Orales  
Patología Clínica – Anatomía Patológica – Radiología.**

Presidente: I. Adler

Secretario: D. Brandisi

Encargado de sala: P. Masquijo Bisio

**11:45 a 12:00 hs.**

**24 - OR1009 Carcinoma de células escamosas asociado a liquen plano.**  
MASQUIJO BISIO PA\*, PAPARELLA ML, KESZLER A, LANFRANCHI H, ITOIZ ME.

**12:00 a 12:15 hs.**

**25 - OR1010 Alteraciones de la osificación endocondral en animales experimentales intoxicados con arsénico a 45, 90 y 120 días.**  
AYBAR ODSTRCIL A\*, CARINO S, DIAZ RICCI JC, MANDALUNIS P.

**12:15 a 12:30 hs.**

**26 - OR1011 QCT de Mandíbula de rata bajo consumo de dieta aterogénica.**  
GAMBA CA\*, GUBERT M, MONFORTE F, CALO C, GONZALEZ CHAVES M, MACRI V, RODRÍGUEZ P,  
MANDALUNIS P, LYLYK P, FRIEDMAN SM.

**12:30 a 12:45 hs.**

**27 - OR1012 Expresión inmunohistoquímica de p53 en pacientes con liquen plano bucal.**  
MUIÑO A\*, ADLER I, LENCE A, HARADA L, WERNER L, BELLONI S, GANDOLFO M, SCOLA M, NIETO S,  
DENNINGHOFF V, AVAGNINA A, KESZLER A, LANFRANCHI H, AGUAS S.

**12:45 a 13:00 hs.**

**28 - OR1013 Variables clínicas, histológicas y microbiológicas relacionadas con las complicaciones bucales en pacientes bajo tratamiento oncológico.**  
MENESES A, BOLESINA N\*, VALSAGNA M, SOLLAZO M, MORELATTO R, BELARDINELLI P,  
FERNÁNDEZ E, LÓPEZ DE BLANC S.

Sábado 10 de Octubre

**SALA La Toma (8:30 a 9:00 hs).**

Reunión

**Grupo Educación Odontológica**

**SALA La Toma (9:00 a 10:45 hs)**

**Cariología – Epidemiología – Salud Pública.**

Presidente: L. Nicolosi

Secretario: M. Brunotto

Encargado de sala: G. Pellegrini

**9:00 a 9:15 hs.**

**55 - OR7001 Modelos Gráficos Causales para el estudio de enfermedades complejas con manifestaciones orales.**

BRUNOTTO M\*, SECCHI D, ZARATE AM, LAZOS, BREZZO M, PIEMONTE E, BACHMEIER E, CARLETTO KÖBER F, MALBERTI A, BAREMBAUM S, AZCURRA AI, MINA S, BOLESINA M, SOROKIN S, MONCUNILL I, BUFFA V, CORNEJO S, BARRA JL.

**9:15 a 9:30 hs.**

**56 - OR7002 Salud bucal y hábitos alimentarios en un grupo de individuos jóvenes.**

ANTONENKO O\*, PELLEGRINI GG, BRITO G, SOMOZA J, ZENI SN.

**9:30 a 9:45 hs.**

**57 - OR7003 Detección de Staphylococcus aureus meticilino resistente (MRSA) a partir de boca y bolsa en pacientes con enfermedad periodontal. Importancia de su presencia en salud pública.**

CUESTA A\*, BRUSCA MI, JEWUCHOWICZ V, LACHOWICZ MF, ROSA AC.

**9:45 a 10:00 hs.**

**58 - OR7004 Perfil proteico salival y riesgo de caries en pacientes pediátricos VIH+.**

MEDICI S\*, ALESSANDRELLO H, SQUASSI AF, SÁNCHEZ GA.

**10:00 a 10:15 hs.**

**59 - OR7005 Asociación entre estado bucodental y prácticas odontológicas expresadas por escolares.**

KLEMONSKIS G\*, PEDEMONTE Z, PROBE C, AUCHELLI L, SQUASSI A, BORDONI N, PIOVANO S.

**10:15 a 10:30 hs.**

**60 - OR7006 Estudio del estado de salud bucal en escolares y su asociación con la frecuencia de consumo alimentario.**

PEDEMONTE Z\*, KLEMONSKIS G, PROBE C, GONZÁLEZ A, SQUASSI A, BORDONI N, PIOVANO S.

**10:30 a 10:45 hs.**

**61 - OR7007 Estudio descriptivo del tenor de flúor en el agua de consumo en distintas localidades de Mendoza.**

BORJAS MI\*, DI NASSO P, RUIZ A, YELACHICH M, FERNÁNDEZ C.

**Intervalo 10:45 a 11:00 hs.**

**SALA La Toma (11:00 a 13:00 hs)**  
**Cariología – Epidemiología – Salud Pública.**

Presidente: A. Argentieri

Secretario: S.A. Cohen

Encargado de sala: O. Antonenko

**11:00 a 11:15 hs.**

**62 - OR7008 Lisozima salival y estado dentario en pacientes VIH+.**

ANTONENKO O\*, SQUASSI AF, SÁNCHEZ GA.

**11:15 a 11:30 hs.**

**63 - OR7009 Determinación de serotipos de Streptococcus Mutans en escolares de Valle Hermoso.**

CARLETTO-KÖRBER FPM\*, GONZÁLEZ-ITTIG RE, JIMÉNEZ MG, CORNEJO LS.

**11:30 a 11:45 hs.**

**64 - OR7010 Conceptualizaciones de salud/enfermedad de adolescentes escolarizados de la ciudad de Córdoba.**

LUCERO MF\*, HILAS E, MONCUNILL I, BELLA M, HERRERA A, GIGENA P, AGÜERO N, CORNEJO LS.

**11:45 a 12:00 hs.**

**65 - OR7011 Datos genéticos y ambientales de pacientes con fisuras orales según contexto de entrevista.**

MONCUNILL I\*, BUFFA V, SOROKIN S, BOLESINA M, BRUNOTTO M, CORNEJO LS.

**12:00 a 12:15 hs.**

**66 - OR7012 Factores de riesgo asociados a hipomineralización molar incisiva.**

BIONDI AM, CORTESE SG, ORTOLANI A\*, ARGENTIERI A.

**12:15 a 12:30 hs.**

**67 - OR7013 Características clínicas y severidad de hipomineralización molar incisiva (HMI).**

CORTESE SG\*, BIONDI AM, ORTOLANI A, ARGENTIERI A.

**12:30 a 12:45 hs.**

**68 - OR7014 Factores de riesgo de maloclusión en niños con dentición mixta temprana.**

BELLA M\*, BRUNOTTO M, BATTELLINO LJ, CORNEJO LS.

**12:45 a 13:00 hs.**

**69 - OR7015 Consumo de bebidas y estado dentario en preescolares.**

PISTOCHINI A\*, PISANIAK S, MARCO V, DOÑO R.

Sábado 10 de Octubre

**SALA La Carolina (15:00 a 16:00 hs)**

**Anatomía – Histología.**

Presidente: P. Mandalunis

Secretario: C. Bozal

Encargado de sala: G. Pulitano

**15:00 a 15:15 hs.**

**46 - OR3001 Evaluación de distintas soluciones crioprotectoras utilizadas para criopreservar sustitutos estromales de mucosa bucal generados por ingeniería tisular.**

RODRIGUEZ IA\*, ALAMINOS M, GARZON I, RODRÍGUEZ MA, NIETO-SERRATO R, SANCHEZ QUEVEDO MC, CAMPOS A, FERRARIS ME.

**15:15 a 15:30 hs.**

**47 - OR3002 Reclutamiento osteoclástico en animales tratados con bisfosfonatos y su relación con la población de macrófagos medulares y esplénicos.**

ESCUDERO ND\*, MINA NF, MANDALUNIS PM.

**15:30 a 15:45 hs.**

**48 - OR3003 Análisis tridimensional del sistema lacuno- canalicular osteocitario (SLC) en imágenes por microscopía de barrido confocal.**

BOZAL CB\*, SANCHEZ LM, UBIOS AM.

**15:45 a 16:00 hs.**

**49 - OR3004 Estudio histológico de la regeneración ósea por distracción osteogénica experimental a diferentes tiempos de consolidación.**

PUJADAS BIGI MM\*, LEWICKI M, KOKUBU S, UBIOS AM, MANDALUNIS PM.

**Intervalo 16:00 a 16:15 hs.**

**SALA La Carolina (16:15 a 18:00 hs)**

**Materiales Dentales – Odontología Rehabilitadora.**

Presidente: M. Spadiliero de Lutri

Secretario: C. De Caso

Encargado de sala: N. Bolesina

**16:15 a 16:30 hs.**

**29 - OR2001 Relación entre forma anatómica oclusal y tipos de fractura dentaria.**

MACCHI ME Y MACCHI RL\*.

**16:30 a 16:45 hs.**

**30 - OR2002 Pérdida Superficial de Composite por Terminación y Pulido con Dos Sistemas Abrasivos.**

RAMIREZ MOLINA RA\*, KAPLAN A E.

**16:45 a 17:00 hs.**

**31 - OR2003 Calidad de la obturación apical en segundos molares inferiores permanentes.**

DE CASO C\*, GANI O.

**17:00 a 17:15 hs.**

**32 - OR2004 Influencia de la edad sobre la dureza dentinaria.**

GIOINO G\*, GANI O.

**17:15 a 17:30 hs.**

**33 - OR2005 Influencia de la conicidad en la calidad de la obturación apical.**  
GANI O, VISVISIÁN C, DE CASO C\*, MUTAL L, ARENA A.

**17:30 a 17:45 hs.**

**34 – OR2006 Influencia del protocolo de pulido sobre las propiedades flexurales de diversos tipos de resinas compuestas.**

RAMIREZ MOLINA RA\*, KAPLAN AE

**17:45 a 18.00 hs.**

**35 - OR2007 Efecto de un procedimiento de curado adicional en las propiedades mecánicas de composites.**

ALMEIDA CHETTI VA\*, MACCHI RL, IGLESIAS,ME

**Intervalo 18.00 a 18.15 hs.**

**SALA La Carolina (18:15 a 19:15 hs)**

**Materiales Dentales – Odontología Rehabilitadora.**

Presidente: A. Kaplan

Secretario: V. Almeida Chetti

Encargado de sala: P. Garcia Zeman

**18:15 a 18:30 hs.**

**36 - OR2008 Exactitud dimensional de impresiones de polivinilsiloxano con diferentes cubetas. Presentación preliminar.**

MALASPINA N\*, CESTEROS RA, FERRARI B, KAPLAN AE.

**18:30 a 18:45 hs.**

**37 - OR2009 Resistencia de raíces con fracturas simuladas restauradas con distintos materiales.**

RODRÍGUEZ FIGUEROA C, KAPLAN AE, PICCA M\*.

**18:45 a 19:00 hs.**

**38 - OR2010 Contracción de polimerización de composites con diferentes tipos de resinas.**

CESTEROS RA\*, KAPLAN AE, PELOSSI PL.

**19:00 a 19.15 hs.**

**39 - OR2011 Efecto del fluoruro de sodio sobre la microdureza de la dentina radicular previamente irrigada.**

HERO F\*, CHEEIN E, ERIMBAUE M, GALVÁN A, BULACIO MA.

**SALA La Carolina (19:15 a 19:45 hs).**

Reunión

**Grupo Materiales Dentales**

**Intervalo 19:45 a 20:00 hs.**

**SALA La Carolina (20:00 a 21:00 hs).**

Presentación Proyectos

**Programa de Subsidios “Rodolfo Erasquin” – “Alberto Cotta Ramusino”**

Jurado M.E.Itoiz – A.M.Ubios – N.Bordoni

Sábado 10 de Octubre

**SALA La Toma (15:00 a 16:15 hs)**

**Educación Odontológica.**

Presidente: N. Bordoni

Secretario: C. Masoli

Encargado de sala: G. Dmytrenko

**15:00 a 15:15 hs.**

**50 - OR9001 Evolución del perfil temático de los TFI de la Escuela de Odontología de la UAJFK - 2003/08.**

PEÑA C, RAGUSO M, SCARDINO MC\*.

**15:15 a 15:30 hs.**

**51 - OR9002 Diseño e incorporación de material hipertextual en el aprendizaje del diagnóstico por imágenes en el grado.**

MARTINEZ ME, MARTINEZ BAM, HECHT P, RODRIGUEZ G, GARDEY M, BRUNO I\*.

**15:30 a 15:45 hs.**

**52 - OR9003 Evaluando cambios en las estrategias curriculares de la asignatura Diagnóstico por Imágenes (DI). Del 2007 al 2009.**

GARDEY,M\*,BRUNO G, MARTINEZ ME, MARTINEZ AM, RODRÍGUEZ G, HECHT P.

**15:45 a 16:00 hs.**

**53 - OR9004 Estudio de caso para la enseñanza y aprendizaje durante el curso de biología celular en el primer año de odontología.**

AGÜERO N\*, MARTINEZ D, CASTILLO B, ARRIAGA A, CORNEJO LS.

**16:00 a 16:15 hs.**

**54 - OR9005 Práctica social curricular. Percepción de los alumnos.**

MASOLI C\*, FERNANDEZ C, FURCI N, TORAL M, CAPUANO C.

**Intervalo 16:15 a 16:30 hs.**

**SALA La Toma (16:30 a 18:30 hs)**

**Cariología – Epidemiología – Salud Pública.**

Presidente: A.M Delgado

Secretario: M. Lombardo

Encargado de sala: M.S.Annan

**16:30 a 16:45 hs.**

**70 - OR7016 Estado bucodental y necesidad de tratamiento de caries en escolares residentes en un área urbano-marginal.**

KLEMONSKIS G\*, WARD C, BORDONI N, PIOVANO S.

**16:45 a 17:00 hs.**

**71 - OR7017 Promoción de salud en comunidades escolares urbano marginales.**

BELLA M\*, HILAS E, MONCUNILL I, GIGENA P, HERRERA A, AGÜERO N, CORNEJO LS.

**17:00 a 17:15 hs.**

**72 - OR7018 Prevalencia de caries y niveles de S Mutans en preescolares urbanos y rurales.**

CAPUANO C\*, LOMBARDO M, GUS P, HOCHSTETTER A, PALAZZO P, MASOLI C, PIOVANO S.

**17:15 a 17:30 hs.**

**73 - OR7019 Relación entre el estado dentario de niños y padres con variables sociodemográficas y de estilo de vida.**

LOMBARDO M\*, FERNANDEZ C, ROSSI G, CAPUANO C.



**17:30 a 17:45 hs.**

**74 - OR7020 Efectividad de programas de atención sobre niños institucionalizados. Informe preliminar.**

COHEN SA\*.

**17:45 a 18:00 hs.**

**75 - OR7021 Calidad de vida en pacientes trasplantados renales.**

PISTOCHINI A, MASOLI C\*, PIOVANO.

**18:00 a 18:15 hs.**

**76 - OR7022 Valoración de barnices fluorados en caras oclusales de primeros molares permanentes recién erupcionados.**

VERDUCI P\*, CORNEJO LS.

**18:15 a 18:30 hs.**

**77 - OR7023 Estado dentario en niños con y sin infección por el VIH.**

PALAZZO P\*, MEDICI S, ALESSANDRELO H, SÁNCHEZ GA, SQUASSI AF.

**Intervalo 18:30 a 18:45 hs.**

### **SALA La Toma (18:45 a 20:15 hs)**

#### **Periodoncia e Implantes**

Presidente: S.Piovano

Secretario: M. Gomez

Encargado de sala: R. Aromando

**18:45 a 19:00 hs.**

**40 - OR6001 Análisis de las modalidades terapéuticas no quirúrgicas para el tratamiento de la enfermedad periodontal.**

FESER G\*, GULINO M, MARÍ G, SCOZZARRO SM, SOTO A, KLASS C, YBARRA O, AROMANDO R, MAESTRI L, FUNOSAS E.

**19:00 a 19.15 hs.**

**41 - OR6002 Enfermedad periodontal en fumadores pasivos. Informe Preliminar.**

FESER G\*, MARÍ G, GULINO M, BOCCIO I, QUINTEROS A, ANTUÑA V, FUNOSAS E.

**19.15 a 19:30 hs.**

**42 - OR6003 Influencia de la estrategia en la toma de muestras de biofilm subgingival utilizando PCR.**

CHIAPPE V\*, PECCI A, GÓMEZ M, FRESOLONE M, RODRIGUEZ C, ROMANELLI H.

**19:30 a 19:45 hs.**

**43 - OR6004 Efecto del hipoclorito de sodio 0,05% sobre el biofilm dental supragingival.**

DE NARDO R, CHIAPPE V, GÓMEZ M\*, ROMANELLI H.

**19:45 a 20:00 hs.**

**44 - OR6005 Evaluación histológica e histomorfométrica de una biocerámica a base de fosfato de calcio/hidroxiapatita. Estudio Experimental.**

RENOU SJ\*, GUGLIELMOTTI MB.

**20:00 a 20.15 hs.**

**45 - OR6006 Evaluación de composites de zirconia-hidroxiapatita.**

BARREIRO M\*, GARRIDO L, ALBANO P, ROZENBERG S, FAIG J, OZOLS A.

### **SALA La Toma (20:15 a 2100 hs).**

Reunión

**Grupo Periodoncia e Implantes**

## **Domingo 11 de Octubre**

### **Presentación de Posters**

Sesión Mañana (8:30 a 11:00 hs)  
Colocación de Posters (8:00 a 8:30 hs)  
Presentación de Posters (8:30 a 11:00 hs)  
Retiro de Posters (11:00 a 11:15 hs)  
Encargado de sala: N. Escudero – C. Bozal

#### **SALA Mercosur (8:30 a 11:00 hs) Cariología – Epidemiología y Prevención**

Veedores: A. Cobanera – A. Pistochini

**78 - PO7001 Prevalencia de lesiones traumáticas del sistema estomatognático en niños. Estudio preliminar.**

CARO J \*, MÁRQUEZ F, DELGADO AM, BELLUNI C, PÁEZ R, D'URSO M.

**79 - PO7002 Relación entre higiene y patología bucal en pacientes hospitalizados.**

GONZALEZ N\*, RUBIO MC, LEWIN P, NICOLOSI L.

**80 - PO7003 Prevalencia de estomatitis subprotésica en pacientes con prótesis removibles mayores de 60 años de la ciudad de Córdoba.**

ISLA C, PANERO M\*.

**81 - PO7004 Conocimiento y prácticas sobre salud bucal en escolares de la ciudad de Córdoba.**

EVJANIAN, G, SÁNCHEZ DAGUM E, SÁNCHEZ DAGUM M, TARIFA S\*, ULLOQUE J. LESCOANO DE FERRER, A.

**82 - PO7005 Percepciones y actitudes acerca de la salud bucal en comunidades del Departamento de Yavi, Jujuy. Estudio Preliminar.**

PEÑALOZA M\*, SUAYTER I, ALAVAR M, CRUZ S, JUAREZ D, DELGADO AM.

**83 - PO7006 Prevalencia del uso de piercing y conductas de riesgo en adolescentes escolarizados.**

FERRARI L, SEBELLI P\*.

**84 - PO7007 El sistema de salud bucal local/regional y su relación con el campo salud/enfermedad/atención en los grupos Tobas Qom asentados en Los Pumitas (Rosario).**

AZCONA MS\*, CARAMES R, CARRACEDO E, CARBÓ L.

**85 - PO7008 Programa incremental de salud bucal para niños de escuelas rurales en los departamentos de Tupungato y Luján de Cuyo en la Provincia de Mendoza.**

GRILLI S\*, ZABALA R, ALDAO S, BORJAS I, MARTÌN L, ARAYA M, RIZZO P, YELACHICH M, MORAN M, PONCHÒN M, LOPEZ S.

**86 - PO7009 Efecto de un programa de salud bucal sobre la prevalencia de caries en niños entre 6-36 meses de edad en Corrientes.**

GALIANA A\*, MARTINEZ S, DISCACIATI S, ELIZONDO M, LUCAS G.

#### **SALA Mercosur (8:30 a 11:00 hs)**

##### **Ortodoncia**

Veedores: R. Doño – S.Cortese

**87 - PO8001 Evaluación de la adherencia de Candida en alambres de ortodoncia.**  
BRUSCA MI, VAN TOOREN V\*, ESPOSITO N, ROSA AC.

**88 - PO8002 Senos maxilares proidentes. Desarrollo de una nueva técnica para el cierre de espacios con movimientos ortodóncicos. Estudio preliminar.**  
GELOS C\*, BASS PLUER, A.

**89 - PO8003 Efecto de la posición y momento de activación de mini-implantes de uso ortodóncico en el registro de Torque de Remoción.**  
PIACENZA A\*, PERALTA G, ROCAMUNDI M, BASS PLUER A.

**90 - PO8004 Estudio comparativo del comportamiento de los arco termoactivados de 0,014 de diferentes marcas comerciales.**  
PEDROSO R L, MORATA M, PEREZ BAZAN M E\*, POLITI MATTAR C, AVELLANEDA R A, PEDROSO L.

**91 - PO8005 Utilización de la pedigrafía como método de diagnóstico en pacientes con alteraciones dento-esqueléticas.**  
DI BÁRTOLO J\*, GROSSO M, STRANIERI G, KREMER G, CHIAVARO M, GIANNUNZIO G.

**92 - PO8006 Relevamiento de desórdenes cráneo-mandibulares en pacientes ortodóncicos.**  
PÁEZ R\*, DELGADO AM, SOTOMAYOR L, MARQUEZ F, NAVARRO A., D'URSO M.

**93 - PO8007 Método de evaluación de la altura de la cortical vestibular de los caninos, utilizando tomografía lineal.**  
FOLCO AA, MARTÍNEZ ME, DAGÚN H, BENÍTEZ ROGÉ S, MATEU, ME\*.

**94 - PO8008 Microbiota en pacientes ortodóncicos utilizando brackets autoligables y convencionales.**  
BRUSCA MI\*, BENÍTEZ ROGÉ S, DAVIES M, IGLESIAS M, GAMBARDELLA L, CALABRESE D, PELIZARDI C, SAYAGO A, ROSA A, MATEU ME.

## **SALA Mercosur (8:30 a 11:00 hs)**

### **Periodoncia e Implantes**

Veedores: M.L. Paparella – L. Plavnik

**95 - PO6001 Estudio de los cambios microbiológicos y periodontales de mujeres con tratamiento ortodóncico que ingieren anticonceptivos.**  
ESPÓSITO N, BRUSCA MI\*.

**96 - PO6002 Métodos Multivariados para la validación de Criterios de Selección de meta-análisis de terapia antimicrobiana para periodontitis crónica.**  
BONO A\*, BRUNOTTO MN.

**97 - PO6003 Correlación entre estrés psicosocial, tabaquismo y estado periodontal en adultos residentes en la provincia de Mendoza.**  
PASCUCCI J\*, ALBERA E, GIAQUINTA MA, PALMADA N, FERNÁNDEZ E, PESCE E, CONILL J.

**98 - PO6004 Efectos del consumo de alcohol y del desarrollo de periodontitis en la salud oral de ratas.**  
FERNÁNDEZ-SOLARI J\*, MAIA-DANTAS A, ZORRILLA CUBILETE M, BURDEL B, OSSOLA C, MOHN C, DE LAURENTIS A, RETTORI C, ELVERDIN JC.

**99 - PO6005 Estudio in vitro del efecto de nano y microparticulas de TiO<sub>2</sub> en macrófagos alveolares de distintos grupos erarios.**  
BRUNO M\*, OLMEDO D, CABRINI R, FERRARO S, TASAT D.

**100 - PO6006 Citología exfoliativa en relación a implantes dentales de titanio. Estudio preliminar.**  
NALLI G\*, VERDÚ S, PAPARELLA M, OLMEDO D, CABRINI R.

**101 - PO6007 Determinación Clínica del Biotipo Periodontal en Adultos Jóvenes.**  
LOI JA, FLORES DE VALDIVIA G\*, MONTERO CA, ELÍAS A.

**102 - PO6008 Estudio descriptivo e histomorfométrico del hueso peri-microimplante ortodóncico, de acuerdo a su posición y momento de activación.**  
PIACENZA A, ROCAMUNDI M\*, PERALTA G, BASS PLUER A.

**103 - PO6009 Presencia de actividad enzimática bacteriana de bolsas periodontales en pacientes de la Ciudad de Corrientes.**  
ACUÑA M\*, MONZÓN J, CANGA E, DIEZ R, AZZI E.

**104 - PO6010 Respuesta tisular frente a la implantación de un sustituto óseo en tejido celular subcutáneo. Estudio Preliminar.**  
FONTANA S\*, PLAVNIK LM, ZANOTTI AF, RUBIO SE, AYALA C, CARPENTIERI AR.

**105 - PO6011 Xerostomía y evolución de la pérdida ósea alveolar inducida por periodontitis experimental en ratas.**  
AMER M, ELVERDIN JC, CHIARENZA AP, FERNÁNDEZ SOLARI J, MANDALUNIS P, VACAS MI\*.

**106 - PO6012 Estudio de la relación entre el consumo de calcio en la dieta y la concentración de calcio en la saliva y el fluido gingival en pacientes con enfermedad periodontal.**  
GRENÓN M, FUKS D\*, VERDE ME, BONETTO L, SÁNCHEZ HJ.

## **SALA Mercosur (8:30 a 11:00 hs)**

### **Materiales Dentales**

Veedores: P. Pelosi – M. Barreiro – A.C.Reynoso

**107 - PO2001 Efecto del tiempo de aplicación de sistemas adhesivos autocondicionantes sobre la resistencia a la tracción y el patrón de acondicionamiento en dentina bovina esclerótica.**  
GARCIA EJ\*, MENA-SERRANO A, MUÑOZ-PEREZ MA, MARTINS GC, LOGUERCIO A, REIS A, GRANDE RHM.

**108 - PO2002 Análisis comparativo de materiales para base de prótesis.**  
AZZARRI MJ\*, GARDINER R, DURSO G, DE BARRIO M, CICCONE F, TOLOY H, IASI R, CARABELLI V.

**109 - PO2003 Determinación de la adhesión de diferentes medios de fijación odontológicos durante el cementado de brackets metálicos.**  
ARIAS S\*, PAZ A, RAGUSO M, BREUER V.

**110 - PO2004 Influencia de diversos medios cementantes ortodóncicos sobre la estructura adamantina. Análisis Microscópico.**  
PAZ A\*, ARIAS S, RAGUSO M, BREUER V.

**111 - PO2005 Determinar la profundidad de curado de seis composites dentales con diferentes indicaciones clínicas.**  
ABEL V\*, PAZ A, ARIAS S, JORDÁN S, ESPAÑON C.

**112 - PO2006 Técnicas de aplicación de diferentes medios cementantes para la fijación de pernos de fibra de vidrio.**  
ESPAÑON C\*, PAZ A, ARIAS S, ABEL V, JORDÁN S.

**113 - PO2007 Valoración de la radiopacidad de diversos medios cementantes.**  
JORDÁN S, ABEL V, ESPAÑON C, ARIAS S, PAZ A.

**114 - PO2008 Investigación de la variación dimensional de las impresiones dentales con alginato vaciadas de forma inmediata.**

MARTÍN A\*, NOSTE JL, GRANATO M, ATTORRESI B, DI BENEDETTO S, GALLEANO S, GIRGENTI JC, VALDÉS C, ARANCEGUI N.

**115 - PO2009 Evaluación de implantes de Titanio-Poliacrilato como sistemas de liberación de clorhexidina: biocompatibilidad in vitro sobre macrófagos murinos.**

CORTIZO MC\*, OBERTI TG, CORTIZO MS, FERNÁNDEZ LORENZO M, CORTIZO AM.

**116 - PO2010 Utilización de un colutorio a base de digluconato de clorhexidina y xilitol como inhibidor de la corrosión de aleaciones dentales ricas en cobre.**

MORALES ML\*, FERNÁNDEZ LORENZO M, MIRÍFICO MV.

**117 - PO2011 Controversia sobre la biocompatibilidad de la amalgama dental debido a la conocida toxicidad del mercurio (hg) y sus efectos como componente de esta aleación.**

NOSTE JL\*, ATTORRESI B, PASTARO R, GONZALEZ L, DI BENEDETTO S, GASPAR JL, FERNANDEZ V, ANTONEDA G.

**118 - PO2012 Diseño y utilización de un dispositivo porta matriz para restauraciones con composite del sector posterior.**

LÓPEZ VALLEJOS ML\*, AGUIRRE GRABRE DE PRIETO A, ZAMUDIO ME.

**119 - PO2013 Adhesión a la pared pulpar de cementos de ionómeros vítreos con distintos tratamientos del sustrato estudio con confocal laser scanning microscopy.**

SPADILIERO DE LUTRI M, LUTRI MP, ROZAS C, SEZÍN M\*, PRIOTTO EG, URIBE ECHEVARRÍA J.

**120 - PO2014 Evaluación clínica de Ionómeros Vítreos en el sellado de fosas y fisuras.**

SLY G\*, MISSANA L, KAPLAN A.

**121 - PO2015 Necrosis experimental en fibroblastos gingivales humanos inducida por un cemento de ionómero vítreo fotopolimerizable.**

ROZAS C\*, RODRÍGUEZ IA, SÁNCHEZ QUEVEDO MC, ALAMINOS MIGNORANCE M, FERRARIS ME, CAMPOS A, URIBE ECHEVARRÍA J.

**122 - PO2016 Aplicación de microscopía electrónica y estereomicroscopía al estudio de la superficie de dientes post tratados con técnicas de blanqueamiento y microabrasión.**

CHENA E\*, GALVÁN V, LIMANDRI S, TORRES DE LUIGI M, CASTELLANO G.

**123 - PO2017 Deteminación del nivel socioeconómico de pacientes rehabilitados el la FOUNNE y su relación con el cumplimiento a programas de asistencia odontológica.**

HIDALGO JC\*, RUIZ DIAZ DE CENTENO E, CHETTI AM.

**124 - PO2018 Análisis comparativo "in vivo" entre microflora del conducto, antisepsia y tiempo de apexificación.**

EVJANIÁN G\*, VISVISIÁN C, GANI O.

**125 - PO2019 Aplicación de microscopía electrónica y estereomicroscopía al estudio de la superficie de dientes post tratados con técnicas de blanqueamiento y microabrasión.**

CHENA E\*, GALVÁN V, LIMANDRI S, TORRES DE LUIGI M, CASTELLANO G.

**126 - PO2020 Estudio biomecánico de postes preformados utilizados en primeros premolares superiores endodonciados.**

PERALTA G, PIACENZA A, SPACCESI J\*, PLAVNIK L, ABATE P.

**127 - PO2021 Evaluación in vitro de la acción de diferentes sustancias irrigadoras en la eliminación del barro dentinario o smear layer con diferentes técnicas de instrumentación. Estudio Piloto.**

FINTEN SB\*, GUALDONI GM, RUSAS MG, GÓMEZ RUSSO M, ROCHA MT, SOTO MAYOL, K, DE LANGHE C.

**128 - PO2022 Acción solvente del xilol sobre cementos endodónticos.**

ARCURI P\*, PACIOS G, OLMOS J, ZEMAN L.

**129 - PO2023 Estudio comparativo de fuerzas de adhesión en dentina de dos sistemas adhesivos.**

GARCÍA ZEMAN P\*, LAGARRIGUE G, PACIOS G, ZEMAN L.

**130 - PO2024 Efectos de erosión ácida en un Ionómero Vítreo de Alta Densidad y Composite.**

ZEMAN L\*, BRIZUELA H, NIEVA N, HELUANI S.

**131 - PO2025 Evaluación in vitro de la eficacia del localizador apical Propex II.**

CUEZZO V\*, GALLEGOS P, LEONARDI L, ATLAS D, RAIDEN G.

**132 - PO2026 Efecto del tratamiento superficial de una aleación base (CoCrMo) sobre la resistencia al pegado de una cerámica dental.**

LAGARRIGUE G\*, ARREGUEZ C, PACIOS G, NIEVA N.

**133 - PO2027 Acción de combinación de irrigantes sobre la microdureza de la dentina radicular.**

CHEEIN E\*, HERO F, ERIMBAUE M, GALVÁN A, BULACIO MA.

**134 - PO2028 Optimización de una técnica de evaluación de interfases.**

BEJARANO P, FORNELLS S, PRADO M, BARREIRO M\*, FERNÁNDEZ A, GURAYA M.

### **SALA Mercosur (8:30 a 11:00 hs)**

#### **Fisiología – Farmacología – Bioquímica – Biofísica.**

Veedores: J.C.Elverdin - A. Finkelberg – M.I.Vacas – A. Chiarenza

**135 - PO4001 Testosterona en saliva: su utilidad para el diagnóstico de hipogonadismo en varones con insuficiencia renal crónica.**

CARDOSO EML\*, CONTRERAS LN, ELBERT A, PAZO JH, MONARDES EG, ARREGGER AL.

**136 - PO4002 Uso racional de medicamentos: la automedicación como consecuencia de la publicidad.**

VIRGA C, AGUZZI A, RICCO V, LÓPEZ M\*.

**137 - PO4003 La odontología basada en la evidencia: una evidencia en el dictado de farmacología centrada en el uso racional de medicamentos.**

VIRGA C, AGUZZI A, RICCO V, ESCUDERO C\*, HUBERT S.

**138 - PO4004 Estudio histomorfométrico del efecto de bisfosfonatos sobre tejido óseo.**

VIRGA C, AGUZZI A\*, ARAMBURÚ G, DE LEONARDI A.

**139 - PO4005 Estudio de citotoxicidad en presencia de alendronato, pamidronato y monofluorofosfato de sodio.**

VIRGA C\*, AGUZZI A, DE LEONARDI A, ARAMBURÚ G.

**140 - PO4006 Estilos de vida saludables en estudiantes de la facultad de odontología de la Universidad Nacional de Tucuman (FOUNT).**

BOTTCHER S\*, CARDINALE, M, COROMINA E, DURSO M, CUNEO C.

**141 - PO4007 Análisis de la eficacia de detergentes enzimáticos no iónicos biodegradables en lugares de tránsito de pacientes en ambientes hospitalarios.**

BUTLER TA\*, CASARIEGO Z, JOTKO C, IANTOSCA A, PÓLVORA B, GAGLIARDI R, CATTANEO M, AMERI C, SOLARI E.

**142 - PO4008 Detección de productos del metabolismo de drogas 5-Fluorouracilo (5-FU) y Leucovorina cálcica en saliva de pacientes oncológicos, mediante microscopía electrónica de barrido (SEM) y difracción de rayos x (XRD).**

MAZZEO M, LINARES J, LÓPEZ M, GALVÁN V\*, CRESPO E, RIVEROS A, FINKELBERG A.

**143 - PO4009 La lidocaína promueve la apoptosis en fibroblastos de gingiva humana a través de proteínas quinasas y la estimulación de la Caspasa-3.**  
QUINTEROS VILLARRUEL GE\*, BORDA E, STERIN-BORDA L, ORMAN B.

**144 - PO4010 Contaminación sobre salivaderas dentales de acero inoxidable, opalina y cerámica de equipos odontológicos, 24 y 64 horas después de realizada la higiene.**  
BUTLER T\*, CASARIEGO Z

**145 - PO4011 Importancia de la apoptosis y proliferación celular en el síndrome de Sjögren.**  
BUSAMIA B\*, GONZALEZ-MOLES M, BRUNOTTO M, GOBBI C, ALBIERO E, FINKELBERG A.

**146 - PO4012 La Periodontitis experimental disminuye la respuesta secretoria salival inducida por metacolina en la glándula parótida de la rata.**  
CHIARENZA AP\*, AMER M, ELVERDIN JC, OSSOLA C, MEDINA V, VACAS MI.

**147 - PO4013 Comparación de la efectividad antimicrobiana entre detergentes enzimáticos no iónicos con hipoclorito de sodio en lugares de tránsito hospitalario.**  
JOTKO C\*, BUTLER T, SERRANO V, AMERI C, SOLARI E, CATTANEO M, CASARIEGO Z

**148 - PO4014 Análisis estadístico para seleccionar una fórmula para ajuste de dosis en pacientes con insuficiencia renal aguda (IRA).**  
JOTKO C\*, CASARIEGO Z

**149 - PO4015 Incremento de la actividad de amilasa mediada por AMPc en la glándula parótida de ratas con periodontitis.**  
MIOZZA V\*, BORDA E, STERIN-BORDA L, BUSCH L.

**150 - PO4016 cambios morfológicos e histológicos en crías de ratas expuestas a fluoruros durante la etapa fetal.**  
FONTANETTI P\*, CHOI E, VERMOUTH N.

**151 - PO4017 Enzimas intracitoplasmáticas en fluido gingivo-crevicular (fgc) de pacientes hiv/sida con periodontitis.**  
SALÚM MK\*, CASTRO CE, KOSS MA, LUNA E, LÓPEZ ME.

**152 - PO4018 Diagnóstico diferencial de la enfermedad periodontal mediante el uso de marcadores químicos del fluido gingivo crevicular.**  
KOSS MA, CASTRO CE, SALÚM KM\*, LÓPEZ ME.

**153 - PO4019 Efectos mandibulares de la intoxicación crónica con aluminio en la rata inmadura expuesta a hipoxia hipobárica.**  
DMYTRENKO G\*, MARTÍNEZ MP, BOZZINI C, OLIVERA MI, CHAMPIN GM, CONTI MI.

**154 - PO4020 ¿Es posible recuperar ratas en crecimiento con bajo peso corporal, con una única fuente de lípidos?.**  
PELLEGRINI G\*, GAMBA A, GONZÁLEZ-CHAVES M, HERNÁNDEZ E, SUAREZ C, FERREIRA MONTEIRO A, RODRIGUEZ P, ZENI S, FRIEDMAN S.

**155 - PO4021 Acción química de una solución comercial de gluconato de clorhexidina.**  
VARGAS CF, SÁEZ M DEL M\*, LÓPEZ ME.

**156 - PO4022 Influencia de pastas y vehículos de hidróxido de calcio sobre la microdureza dentinaria.**  
PACIOS MG\*, LAGARRIGUE G, LÓPEZ ME, NIEVA N.

**157 - PO4023 Repercusión morfométrica y mecánica del efecto de distintas concentraciones de proteína dietaria sobre el hueso mandibular.**  
BOZZINI C\*, OLIVERA MI, HUYGENS PM, OSSOLA C, BOZZINI CE, ALIPPI RM.

**158 - PO4024 Interacción de anticuerpos séricos de pacientes con enfermedad periodontal con epitopes antigénicos gingivales y cardíacos.**  
SEGOVIA M\*, BORDA E, STERIN-BORDA L.

**159 - PO4025 Correlación entre la concentración de nitrito y variables salivales.**  
BELARDINELLI P\*, MORELATTO R, BENAVIDEZ T, BARUZZI A, LÓPEZ DE BLANC S.

**160 - PO4026 Evaluación del efecto de soluciones de irrigación endodónticas sobre la microdureza y el contenido orgánico e inorgánico de la dentina radicular.**  
LÓPEZ GL\*, PACIOS MG, DE LA CASA ML, SALAS MM, LÓPEZ ME.

**161 - PO4027 Efectos de enjuagatorios bucales sobre proteínas salivales in vivo e in vitro.**  
VARGAS CF, TORRES PF\*, LOPEZ ME.

### **SALA Mercosur (8:30 a 11:00 hs)**

#### **Microbiología - Inmunología.**

Veedores: S.Gutierrez – A.M. Delgado

**162 - PO5001 Estudio in vitro de la adhesión de levaduras a diferentes ligaduras ortodóncicas.**  
LABATE LM\*, BRUSCA MI, ROSA AC.

**163 - PO5002 Alteración de la secreción salival por anticuerpos antimuscarínicos presentes en el suero de pacientes con Síndrome de Sjögren primario.**  
PASSAFARO D\*, REINA S, STERIN-BORDA L, BORDA E.

**164 - PO5003 Determinación de parámetros de la inmunidad innata en pacientes con periodontitis agresiva.**  
ATALA J\*, OCAMPO M, PORPORATTO C, RIERA C, OLMEDO L.

**165 - PO5004 Determinación de parámetros de la inmunidad innata en pacientes con periodontitis crónica.**  
OCAMPO M\*, ATALA J, PORPORATTO C, RIERA C, OLMEDO L.

**166 - PO5005 Estudio preliminar: Correlación entre los valores de Interleucina IL-11 $\beta$  con la resorción del hueso alveolar en pacientes con periodontitis cónica y agresiva.**  
OCAMPO M\*, ATALA J, GIMÉNEZ E, PORPORATTO C, RIERA C, OLMEDO L.

**167 - PO5006 Relación de Streptococcus mutans y Candida en lesiones cariosas.**  
PANIAGUA S\*, GONZALEZ M M, ORTEGA S, RODRIGUEZ V.

**168 - PO5007 Estudio preliminar de especies periodontopatógenicas y perfil de susceptibilidad antimicrobiano.**  
MACCARONE G, BRUSCA M\*, SILVA STEFFENS N, ROSA A, GLIOSCA L.



# Domingo 11 de Octubre

## Presentación de Posters

Sesión Tarde (15:00 a 17:30 hs)

Colocación de Posters (14:30 a 15:00 hs)

Presentación de Posters (15:00 a 17:30 hs)

Retiro de Posters (17:30 a 17:45 hs)

Encargado de sala: P. Leccese Terraf – J. Goya

### **SALA Mercosur (15:00 a 17:30 hs)**

#### **Patología Clínica – Anatomía Patológica - Radiología.**

Veedores: S.Lopez de Blanc – S.Aguas – E.Santini

**169 - PO1001 Efecto del alendronato en cavidades óseas neoformadas. Estudio morfológico e histomorfométrico.**

GAIT MT\*, PLAVNIK LM.

**170 - PO1002 Efecto del hidróxido de calcio sobre la regeneración ósea. Estudio experimental.**

GAIT MT\*, PLAVNIK LM.

**171 - PO1003 Efecto de las radiaciones láser de baja potencia en procesos tumorigénicos inducidos en Glándulas Salivales.**

PLAVNIK ML\*, BRUNOTTO M, MALBERTI A.

**172 - PO1004 Presentación de una metodología de cuantificación densitométrica por análisis de imagen en inmunomarcación.**

BRANDIZZI D\*, SCHLEGEL G, VIDAL SM, SANTINI-ARAUJO E, CABRINI RL.

**173 - PO1005 Desarrollo de un dispositivo para realizar microarray en un laboratorio convencional de patología quirúrgica.**

CABRINI RL, BRANDIZZI D\*, SCHLEGEL G, VIDAL SM, SANTINI-ARAUJO E.

**174 - PO1006 Acción osteopromotora de ácido poliláctico-poliglicólico en plveolos post-extracción.**

JUÁREZ JN\*, PASTORINO N, KOSUSZKO S, MISSANA L.

**175 - PO1007 Efecto biológico de la parathormona recombinante intermitente en defectos óseos críticos.**

JAMMAL MV\*, ABATE CM, MISSANA LR.

**176 - PO1008 Estudio morfológico de citologías exfoliativas orales de la población odontopediátrica con patologías virales de la provincia de Córdoba.**

OCHONGA G, CUFFINI C, KIGUEN X, LESCOANO DE FERRER A, TOMASI R, SOLLAZZO ML, FERREYRA DE PRATO RS\*.

**177 - PO1009 Importancia de la radiografía oclusal en la práctica diaria.**

SUBIRAN B, BOSQUED R, BENITEZ L, CAROSI M J, MARELLO F\*.

**178 - PO1010 Evaluación multivariada de la relación entre lesiones potencialmente malignas y malignas y presencia de Candida spp.**

GILLIGAN G\*, SECCHI D, PANICO R, CALAMARI S, BAREMBAUM S, SCATENA G, CASTILLO G, AZCURRA A, BRUNOTTO M.

**179 - PO1011 Evaluación de la contaminación del equipo panorámico durante la toma radiográfica en pacientes periodontales.**

VÁZQUEZ DJ\*, SUBIRÁN BT, BÁLSAMO MF, BRUSCA MI, ROSA AC.

**180 - PO1012 Terceros molares en radiografías panorámicas.**

IBERO N\*, DITTER E, AGUIRRE J, SUBIRÁN B.

**181 - PO1013 Terceros molares inferiores retenidos. Estudio comparativo de su relación con el CDI en las radiografías panorámicas y tomografía computada.**

LUBIENIECKA EE, DITTER ER\*, IBERO NJ, ESTEVEZ AE, SUBIRÁN BT.

**182 - PO1014 Estudio histomorfométrico de la arquitectura ósea en ratas con diabetes experimental.**

PULITANO MANISAGIAN GE \*, VILLARINO ME, DE LUCCA RC, UBIOS AM.

**183 - PO1015 Estudio de la Cicatrización Patológica de Fracturas Oseas Experimentales.**

LECCESE MP\*, ROSPIDE MA, ABATE CM, MISSANA LR.

**184 - PO1016 Lesiones hiperplásicas bucales, manifestaciones clínicas estomatológicas.**

VERDÚ SD\*, NALLI GA, SCOLA MJ, TOLCHINSKY M, LANFRANCHI H.

**185 - PO1017 Evaluación multivariada de la relación entre lesiones potencialmente malignas y malignas y presencia de Candida spp.**

GILLIGAN G\*, SECCHI D, PANICO R, CALAMARI S, BAREMBAUM S, SCATENA G, CASTILLO G, AZCURRA A, BRUNOTTO M.

**186 - PO1018 Comparación entre dos métodos de medición sobre imágenes radiográficas sistematizadas en zona de gérmenes de caninos superiores.**

WUSCOVI LF, ARAGÓN HN\*, GORDILLO ME, LÓPEZ ME.

**187 - PO1019 Estado bucal y prevalencia de patologías estomatológicas en pacientes HIV según edad, sexo, C.V y CD4.**

ALLENDE A\*, NAZER P, DUTRA GONTIJO DE MOURA M, ZAPATA M, SÁNCHEZ ZURLO D, FEMOPASE F, HERNANDEZ S.

**188 - PO1020 Prevalencia de lesiones estomatológicas 5324 pacientes de un servicio (enero 1995-enero 2001).**

ROBLEDO G, BLANC F\*, CACIVA R, BACHMEIER E, MORELATTO R, CRISCUOLO I, BELARDINELLI P, LIANDRO F, BOLESINA N, LÓPEZ DE BLANC S.

**189 - PO1021 Prevalencia de factores hereditarios, personales y bucales en 8153 pacientes de un servicio (enero 1995-diciembre2004).**

ROBLEDO G, CACIVA R\*, BACHMEIER E, CRISCUOLO I, SANCHEZ ZURLO D, MORELATTO R, LÓPEZ DE BLANC S.

**190 - PO1022 Estimación de la edad cronológica en niños tratados con hormona de crecimiento.**

AUAD D, AVELLANEDA R, BAZÁN MC, ARAGÓN HN\*, SINGH F, LÓPEZ ME, GORDILLO ME.

**191 - PO1023 Predicción de la edad cronológica a partir de variables dentarias.**

AVELLANEDA R, SINGH F, IBAÑEZ R, FERNANDEZ P, IBAÑEZ H, ARAGÓN HN\*, LÓPEZ, ME.

**SALA Mercosur (15:00 a 17:30 hs)**

**Anatomía - Histología.**

Veedores: D.Olmedo – S.Renou

**192 - PO3001 Asentamiento de mastocitos en tejidos conectivos linguales de ratas recién nacidas.**

ZAVALA W\*, FOSCOLO M, DAVILA J, CAVICCHIA J C.

**193 - PO3002 Efecto de distintos sistemas adhesivos dentales sobre la viabilidad de fibroblastos gingivales humanos.**

RODRIGUEZ MA\*, RODRIGUEZ I, NIETO-SERRATO R, ALAMINOS MIGNORANCE M, CAMPOS A, URIBE ECHEVARRIA J, FERRARIS ME.

**194 - PO3003 Estudio citológico de la mucosa bucal en pacientes cirróticos alcohólicos y diabéticos tipo II.**

RODRÍGUEZ I.A\*, PERÉZ BACETE M, SANCHO-TELLO M, GRUNBERG K, MONTOLIU C, MOSQUERA N, RUIZ-SAURI A, ARMENGOT M, CARDA C, GÓMEZ DE FERRARIS ME.

**195 - PO3004 Caracterización histológica de fibroblastos periodontales sometidos a fuerzas ortodóncicas.**

GILI MA\*, AGUIRRE MV, ALMIRON MS, LATYN K.

**196 - PO3005 La restricción dietaria en el crecimiento mandibular y de huesos largos.**

MARTÍN A\*, PANI M, RUIZ HOLGADO N, LOPEZ MIRANDA L, RODRIGUEZ G, GARAT J, MEHERIS H.

**197 - PO3006 Evaluación del epitelio bucal en pacientes diabéticos tipo II mediante citología exfoliativa.**

ESCANDRIOLO NACKAUZI J\*, FLORES V, SANZ A, GÓMEZ DE FERRARIS ME, ARRIAGA A.

**198 - PO3007 Aislamiento de células madre humanas altamente viables de la pulpa dental para la generación de dentina artificial.**

NIETO-AGUILAR R, SERRATO D, RODRÍGUEZ IA\*, GARZÓN I, FERRARIS ME, SÁNCHEZ-QUEVEDO MC, CAMPOS, ALAMINOS M.

**199 - PO3008 Células madre humanas derivadas de tejido adiposo como fuente para la generación de hueso artificial en ingeniería tisular maxilofacial.**

RODRÍGUEZ I\*, NIETO-AGUILAR R, SERRATO D, GONZÁLEZ-ANDRADES M, CAMPOS A, ALAMINOS M.

**200 - PO3009 Detección clínica de surco no tipificado en la cara oclusal del primer molar superior permanente.**

BESSONE G, GONZÁLEZ M\*, GUIGLIONI M.

**201 - PO3010 Inmunohistoquímica de Ciclooxygenasa 2 (COX-2) en un modelo de Periodontitis Experimental.**

GOYA JA\*, MANDALUNIS PM.

**202 - PO3011 La célula epitelial y la infección por VPH. Morfología de la célula coilocítica por Microscopía Óptica y Electrónica de Transmisión.**

MICINQUEVICH S\*, MAYOCCHI K, DORATI P, GOMEZ M.

**203 - PO3012 Efecto preventivo del estroncio en la pérdida ósea de la tibia y hueso interradicular en ratas Wistar ovariectomizadas.**

NENDA MM\*, LEWICKI M, GOYA JA, ESCUDERO ND, MANDALUNIS PM.

**SALA Mercosur (15:00 a 17:30 hs)**

**Educación Odontológica.**

Veedores: M.Garvey – M.E.Iglesias – G.Klemonsks – C. Probe

**204 - PO9001 Odontólogo y paciente: la mirada en la relación clínica.**

GIAQUINTA MA\*, SAMAR ME, PASCUCCI J.

**205 - PO9002 Relación entre estrategias de enseñanza y evaluaciones.**

DOMÍNGUEZ GE.\* , TOSTI SB, PEÑALVA MA, CECHO AC, SAMBARTOLOMEO P. M.

**206 - PO9003 Análisis y evaluación del rendimiento académico en exámenes finales de Biofísica, FOUNT.**

ALDERETE MS, MERLETTI SM, PÉREZ LI\*, CÓRDOBA JE.

**207 - PO9004 Dificultades de aprendizaje en el Curso de iniciación de la Facultad de Odontología de la UNT.**

ERIMBAUE MI\*, WUSCOVI L, ARAGÓN H, FERRARI MI, OLMOS FASSI J, GARCÍA D.

**208 - PO9005 Evaluación del nivel Postconvencional del razonamiento moral en estudiantes de Odontología.**

ARIASGAGO OL\*, MONZÓN JE, MONZÓN WYNGAARD A.

**209 - PO9006 Cantidad de Materias Previas con Final Aprobado y el Promedio de Notas Obtenido en los Cursos I y III.**

RIMOLDI M\*, IRIQUIN SM, MILAT E, RANCICH L, MENDES C, OVIEDO ARÉVALO J, IRIQUIN MS.

**210 - PO9007 Análisis exploratorio de los cursos I y III en Odontología Integral Niños.**

IRIQUIN SM\*, MILAT E, RANCICH L, RIMOLDI M, MENDES C, OVIEDO ARÉVALO J, IRIQUIN MS.

**211 - PO9008 Promedio General de Materias Previas con Final Aprobado.**

MENDES C\*, RANCICH L, IRIQUIN SM, MILAT E, RIMOLDI M, OVIEDO ARÉVALO J, IRIQUIN MS.

**212 - PO9009 Promedio de Correlativas Directas como Predicción de Rendimiento Académico.**

IRIQUIN MS\*, IRIQUIN SM, MILAT E, RANCICH L, MENDES C, RIMOLDI M, OVIEDO ARÉVALO J.

**213 - PO9010 Momento de reflexión sobre aprendizajes previos y su influencia en el rendimiento académico.**

RANCICH L\*, IRIQUIN SM, MILAT E, MENDES C, RIMOLDI M, OVIEDO ARÉVALO J, IRIQUIN MS.

**214 - PO9011 Factores que condicionan el rendimiento académico de alumnos recursantes de Biofísica en la FOUNT.**

MERLETTI SM\*, ALDERETE MS, PÉREZ LI, JUÁREZ T, CÓRDOBA JE, CATALÁN PE, SINGH F.

**215 - PO9012 Estrategias motivadoras para mejorar el rendimiento académico de alumnos recursantes de Biofísica en 2009 en la FOUNT.**

ALDERETE MS, MERLETTI SM\*, PÉREZ LI, COMBES J, JUAREZ T, CATALÁN PE.

**216 - Relaciones entre el rendimiento académico de los aspirantes al ingreso y nivel educativo de los padres.**

PÉREZ LI\*, ALDERETE MS, MERLETTI SM, JUÁREZ T, CÓRDOBA JE, RODRIGUEZ N, GUNSET V.

**217 - Valoración de la percepción ansiógena, su relación con los niveles de alfa amilasa y consumo de carbohidratos refinados en escolares.**

CARRANZA M\*, FERRARIS ME, BREGAINS L, MESSI S, VIRAMONTE M.

**218 - PO9015 Factores personales y familiares asociados al rendimiento académico de los alumnos de la FOLP.**

ALBARRACIN S\*, MEDINA M, IRIGOYEN S, COSCARELLI N, MOSCONI E, RUEDA L, PAPEL G, SEARA S, TOMAS L.

**219 - PO9016 Rendimiento Académico/ Situación Laboral en la cohorte 2003.**

COSCARELLI N\*, MEDINA M, MOSCONI E, RUEDA L, ALBARRACÍN S, IRIGOYEN S, PAPEL G, SEARA S, TOMAS L.

**220 - PO9017 Incidencia de las Estrategias Áulicas en El Rendimiento Estudiantil.**

IRIGOYEN S\*, ALBARRACIN S, MEDINA M, COSCARELLI N, MOSCONI E, RUEDA L, PAPEL G, SEARA S, TOMAS L.

**221 - PO9018 Grado de satisfacción, fortalezas y debilidades de la carrera de Odontología según los graduados de la FOLP.**

PAPEL G\*, MOSCÓN E, MEDINA M, IRIGOYEN S, ALBARRACÍN S, COSCARELLI N, RUEDA L, TOMAS L, SEARA S.

**222 - PO9019 Correlación rendimiento académico/ duración de la carrera en egresados 2001-2005.**  
SEARA S\*, MEDINA M, IRIGOYEN S, COSCARELLI N, MOSCONI E, RUEDA L, ALBARRACÍN S, TOMAS L, PAPEL G.

**223 - PO9020 Estilos de aprendizaje y rendimiento académico en estudiantes de la FOLP.**  
TOMAS, L\*, MOSCONI E, MEDINA M, ALBARRACIN S, IRIGOYEN S, COSCARELLI N, RUEDA L, PAPEL G.

**224 - PO921 Comparación de dos Cursos de una Asignatura como Indicadores de Rendimiento Académico.**  
OVIEDO ARÉVALO J\*, IRIQUIN SM, MILAT E, RANCICH L, MENDES C, RIMOLDI M, IRIQUIN MS.

**225 - PO9022 Impacto de actividades extramurales en la curricula de odontología preventiva y social, facultad de odontología, U.N.C.**  
SÁNCHEZ DAGUM M, MANDOZZI M\*.

**226 - PO9023 Proceso de consentimiento informado. Perspectivas bioéticas y legales en estudiantes de odontología.**  
MIGUEL R, COCCO L, ZEMEL M, SAPIENZA\* M, PÓLVORA B, IANTOSCA A, SAPORITTI F, RUIZ R, DI GIROLAMO G, BLANCO N.

### **SALA Mercosur (15:00 a 17:30 hs)**

#### **Cirugía – Farmacología Clínica.**

Veedores: G.Sanchez – L.Nicolosi

**227 - PO10001 Prevalencia de Candida spp en procesos periapicales crónicos.**  
BRUSCA MI\*, GLIOSCA L, JEWUCHOWICZ V, MAURIÑO N, ROSA AC.

**228 - PO10002 Evaluación In Vivo del Sulfato de Calcio combinado con minerales óseos para Regeneración Ósea. Estudio comparativo usando dos formas: partículas o fraguado in situ.**  
LOPEZ MA\*, LUCHETTI CG, AYALA M, BAEZ A, CARBONE C, KITRILAKIS AE.

**229 - PO10003 Estudio de la evolución clínica de celulitis odontógenas en niños. Efectividad terapéutica.**  
MÁRQUEZ F\*, CARO J, DELGADO AM, GONZÁLEZ PÁEZ M, BELLUNI C, D'URSO M.

**230 - PO10004 Incidencia de la extracción del primer molar inferior permanente en los ruidos articulares.**  
LÓPEZ VALLEJOS MJ\*, BUFFIL CE, GONZÁLEZ MM.

**231 - PO10005 Utilización de polidocanol en el tratamiento de neoplasias y malformaciones vasculares. Presentación de protocolo de tratamiento y resultados preliminares.**  
STOLBIZER F\*, MAURIÑO N, FERRERÍA JL, GIANNUNZIO G, BLASCO F, PELÁEZ A.

**232 - PO10006 Aplicación del gel de digluconato de clorhexidina al 0,12% para la prevención de alveolitis en la extracción del tercer molar inferior normalmente erupcionado.**  
GILLIGAN JM, ULFOHN AG, SPADILIERO DE LUTRI MM, ALCAZAR V\*, GARCÍA FD, BONONI LA, PERALTA DE ELÍAS N, GRECO M, LENHER ROSALES EJ, MALATESTA CL, RATTI ME, FIORE AF.

## **SALA Mercosur (15:00 a 17:30 hs)**

### **Capítulo de Proyectos.**

Veedores: M.E.Itoiz – A.M.Ubios – N.Bordoni

**233 - PR1001 Respuesta ósea alveolar en un modelo de intoxicación con plomo y periodontis experimental.**

Responsable: Mitre P. Tutor: Garat J

**234 - PR1002 EL Rol de los huesos del Carpo como indicador biológico de la Maduración Esqueletal. Su relación con el estado nutricional.**

Responsable: Romero S. Tutor: Garat J.

**235 - PR1003 Uso de Agentes Remineralizantes para Prevención de Caries en Pacientes Sometidos a Radioterapia de Cabeza y Cuello.**

Responsable: Bolesina NJ. Tutor: Morelatto R.

**236 - PR1004 Análisis de las características histopatológicas del órgano cemento-dentino-pulpar en dientes con enfermedad periodontal severa.**

Responsable: Almirón MS. Tutor: Vallejos AR.

**237 - PR1005 Estudio morfológico de la silla turca en la telerradiografía cefalométrica lateral.**

Responsable: Subiran BT. Tutor: Hecht JP.

**238 - PR1006 Valoración del diagnóstico por imágenes en la A.T.M. en pacientes con artritis reumatoidea.**

Responsable: Rhys KV. Tutor: Busamia B.

**239 - PR1007 Estado bucal de pacientes bajo tratamiento con bifosfonatos.**

Responsable: Bachmeier E, Esper M, Calafel M, Menso J, Missana L Tutor: López de Blanc S.

**240 - PR2001 Evaluación "in vitro" de la difusión de yodo y calcio de un biomaterial para obturación endodóntica.**

Responsable: Sabaté RE. Tutor: Maresca BM

**241 - PR4001 Alteraciones fisiopatológicas en glándulas submadibulares de ratas con ingesta crónica de alcohol.**

Responsable: Mariani MC. Tutor: Finkelberg AB.

**242 - PR4002 Alteraciones fisiopatológicas en saliva y manifestaciones odontoestomatológicas de pacientes sometidos a transplante de médula ósea (TMO).**

Responsable: Bachmeier E. Tutor: Finkelberg A.

**243 - PR4003 Aplicación del análisis bioquímico en saliva total para la determinación del estado inmunológico de pacientes HIV/SIDA.**

Responsable: Salúm MK. Tutor: López ME.

**244 - PR5001 Microorganismos periodontopatógenos y su relación con la enfermedad periodontal.**

Responsable: Ortega S. Tutor: Rodríguez VJ.

**245 - PR5002 Remoción del barro dentinario en el tratamiento endodóntico.**

Responsable: Basal R, Etchegoyen L, Procacci M, Cantarini M, García Gadda B, García Gadda G. Tutor: Milat, E

**246 - PR6001 Nveles del Ligando del Receptor Activador del Factor Nuclear Kappa-B (RANKL) y Osteoprotegerina (OPG) en fluido crevicular en pacientes con enfermedad periodontal y tratados.**

Responsable: Verde ME. Tutor: Grenón M.

**247 - PR7001 Evaluación de indicadores clínicos y parámetros sialoquímicos y microbiológicos en la determinación de riesgo cariogénico.**

Responsable: Bojanich MA. Tutor: Lescano de Ferrer A.

**248 - PR7002 Manifestaciones bucales en adolescentes adictos internos y ambulatorios del Hospital de Salud Mental San Francisco de Asís de la Provincia de Corrientes.**

Responsable: Barrios CE. Tutor: Vila VG

**249 - PR7003 Diagnóstico y percepciones de salud bucal de la comunidad educativa de Miramar Pcia. de Córdoba.**

Responsable: Kruse Ivana S. Tutor: Lissera RG

**250 - PR7004 Estudio socioepidemiológico del estado dentario de estudiantes de 12 a 14 años de la Provincia de Jujuy.**

Responsable: Amerise D, Derka A, Sued M. Tutor: Amerise C, Delgado AM

**251 - PR7005 Condicionantes económicos y sociales y su relación sobre la percepción de necesidades y la demanda de atención odontológica en población preescolar en escuelas urbano marginales y urbanas de Mendoza.**

Responsable: Fernández C. Tutor: Squassi A.

**252 - PR7006 Valoración de la prevalencia de caries y maloclusión en niños escolares hipoacúsicos.**

Responsable: Bozzatello J, Mandozzi M, Rubial M, Isla C, Pavani J, Martinez C, Pujol M, Villalba S, Albornoz C, Gilligan G. Tutor: Rugnai de Cravero M.

**253 - PR7007 Efectividad del barniz de flúor y educación de padres en un programa de salud bucal para infantes.**

Responsable: Amerise D, Galfré A. Tutor: Garbero I.

**254 - PR7008 Análisis de la situación de salud bucal y sus determinantes en una muestra de prescolares del área metropolitana de buenos aires.**

Responsable: Klemonskis G. Tutor: Piovano S.

**255 - PR8001 Determinación de la posición del hueso hioides en pacientes con la convexidad facial aumentada.**

Responsable: Collante de Benitez CI. Tutor: Lewintre de Borjas ME.

**256 - PR8002 Estabilidad dentaria a través del tiempo, análisis prospectivo de recidiva en pacientes tratados ortodóncicamente en la Facultad de Odontología de la Universidad de Buenos Aires.**

Responsable: Iza R, Lamonica M, Lerman A, Caramelo P. Tutor: Mateu ME.

**257 - PR9001 Estudio del estado de salud bucal en pacientes con discapacidades motoras y sensoriales tratados con un Programa preventivo.**

Responsable: Vila VG. Tutor: González MM.

**258 - PR9002 Fortalecimiento de los Estudios de Odontopediatría en la Facultad de Odontología de la U.N.L.P.**

Responsable: Iriquin MS. Tutor: Iriquin SM

## **Domingo 11 de Octubre**

**SALA La Toma (8:30 a 9:30 hs).**

Reunión

**Revista Acta Odontológica Latinoamericana**

**SALA La Toma (10:30 a 11:00 hs).**

Reunión

**Grupo Cariología**

**SALA La Toma (11:00 a 12:00 hs).**

**Mesa de Discusión: “SAIO: Propuestas para la Próxima Década”**

Coordinador: Dr. Rómulo Luis Cabrini

Integrantes: Dra. Noemí Bordoni – Dra. María E. Itoiz – Dra. Angela Ubios

**SALA La Toma (12:00 a 13:00 hs).**

**Conferencia: “Investigación Odontológica: Cómo lograr que los resultados sean publicados?”**

Dictante: Dr. Marc Heft

**SALA La Toma (15:00 a 15:30 hs).**

**Premio IADR Division Travel Award**

Jurado: R.L.Cabrini – M.B.Guglielmotti – L.Missana

**SALA La Toma (15:45 a 16:45 hs).**

Reunión

**Región Latinoamericana de la IADR**

**SALA La Toma (17:00 a 18:00 hs).**

Reunión

**Ex Presidentes – Comisión Directiva SAIO**

**SALA La Toma (18:00 a 20:30 hs).**

**ASAMBLEA GENERAL ORDINARIA**

**CENA DE CLAUSURA 22:00 hs.**



# RESUMENES DE PRESENTACIONES

# 1

OR5001

## **PATOGENIA DE LA PRIMOIINFECCIÓN HERPÉTICA BUCAL EN UN MODELO EXPERIMENTAL MURINO.**

González M I\*, Rosa A C, Sanjuan N A.

Cátedra de Microbiología, Facultad de Odontología, UBA. Departamento de Microbiología, Facultad de Medicina, UBA.

La estomatitis producida por el virus Herpes simplex del tipo 1 (HSV-1) es una enfermedad viral muy frecuente, aunque su patogenia no es totalmente conocida. La primoinfección ocurre durante la primera infancia y, más raramente, durante la vida adulta. **OBJETIVO:** Desarrollar un modelo experimental en ratones neonatos que permita estudiar la patogenia de la infección bucal debida al HSV-1. **MÉTODOS:** Se empleó la cepa MacIntyre, prototipo del HSV-1, cuyo stock viral se produjo en monocapas de células Vero. Se utilizaron ratones Balb/c de 2 edades diferentes (neonatos y adultos). Se estudió la progresión de la infección viral desde el sitio de inoculación y los órganos comprometidos en cortes histológicos seriados y se evaluó si existe una diseminación sistémica del virus, además del avance por vía neural. Se comparó el curso evolutivo de la primoinfección por HSV-1 con los métodos de inoculación utilizados (inyección intralabial, erosión del labio e instilación en el mismo sitio y deglución) y con la edad que tenían los animales en el momento de la inoculación (neonatos o adultos). Se usaron técnicas de histología convencional, inmunocitoquímica, microscopía electrónica de transmisión y virología clásica, que permitieron realizar un seguimiento detallado de la infección experimental murina por el HSV-1. **RESULTADOS:** Hubo diferencias en la patogenia al comparar lo que ocurre en los animales neonatos con lo acaecido en los adultos: con respecto a la mortalidad, los animales neonatos tuvieron un mayor porcentaje de la misma, que se desencadenó en menos tiempo que la observada en los ratones adultos. Los animales neonatos tuvieron una diseminación sistémica con un alto porcentaje de compromiso hepático y además en los inoculados por inyección intralabial hubo infección de los músculos estriados. La erosión fue tan eficiente como la inyección para producir enfermedad en los neonatos. La deglución provocó infecciones sistémicas con compromiso de varios órganos, a pesar de que el HSV-1 es un virus envuelto. **CONCLUSION:** Se desarrolló un modelo experimental en ratones neonatos que puede, quizás, aclarar la patogenia de la primoinfección herpética bucal y ser más homologable a lo que acontece en la especie humana.

Palabras Clave: Herpes, Infección, Ratones.

# 2

OR5002

## **EFFECTO ANTIMICROBIANO IN VITRO DE MICONIA IONEURA SOBRE LA MICROBIOTA SALIVAL.**

Impellizzere E.\*, Tracanna M., González A., Gutiérrez de Ferro M., Gutiérrez S.

Cát. de Microbiología. Fac. Odontología. Cát. de Farmacognosia. Fac. Bioquímica, Qca y Fcia. UNT. Av Benjamín Aráoz 800. Tucumán. Argentina

Diferentes especies vegetales del NOA son utilizadas en medicina popular. Entre ellas, Miconia ioneura, que crece espontáneamente en el área fitogeográfica de Las Yungas, Tucumán, Argentina. Estudios de la actividad biológica de extractos y sustancias aisladas de esta especie demostraron tener efecto analgésico, fungicida, antitumoral y antimicrobiano. Desde el punto de vista microbiológico, se considera que existe riesgo biológico de caries cuando en saliva hay presencia elevada de microorganismos cariogénicos. La reducción o eliminación de ellos es una de las medidas preventivas importantes para el control de la caries dental. **OBJETIVO:** Evaluación in vitro de la acción de un extracto etanólico de Miconia ioneura (EE) sobre los niveles salivales del Grupo Streptococcus mutans (SM), microorganismos totales (MT) y Veillonella (V), esta última como microorganismo benéfico. **MÉTODOS:** Se tomaron muestras de saliva, sin estimular, las que fueron divididas en tres alícuotas tratadas con: 1) EE, 2) Clorhexidina 0,12% (CL) (control positivo de inhibición) y 3) solución fisiológica (SF) (control de crecimiento). Estas 3 sustancias se enfrentaron, durante 1 minuto, con volúmenes iguales de saliva. Cumplido ese tiempo las muestras de salivas tratadas se sembraron en Agar Mitis Salivarius con Bacitracina (MSB) para SM, Agar Veillonella (AV) con Vancomicina para V y Agar Sangre (AS) para MT. Se incubaron a 37°C en las condiciones adecuadas de oxígeno y tiempo. Se realizaron los recuentos de colonias que fueron expresados en UFC/ml de saliva. Para el análisis estadístico de los datos se aplicó: Test de Student, Test de Kruskal-Wallis y Test de Dunn. **RESULTADOS:** Al ser tratadas las muestras de saliva con el EE de M. ioneura se encontró acción bactericida sobre el Grupo Streptococcus mutans y Veillonella ssp. Los niveles de microorganismos totales en saliva disminuyeron significativamente con el extracto en estudio. Cuando se comparó la acción inhibitoria entre el EE y CL no se encontraron diferencias estadísticamente significativas. **CONCLUSION:** Con ambas sustancias se obtuvieron recuentos de SM menores a los niveles considerados de riesgo microbiológico de caries. Trabajo subsidiado por el CIUNT.

Palabras Clave: Saliva. Miconia ioneura. Caries.

**3**

OR5002

**DETERMINACIÓN DE CIM Y CBM DE UN EXTRACTO ETANÓLICO DE XENOPHYLLUM POPOSUM SOBRE STREPTOCOCCUS SOBRINUS.**

Torres S\*, Tracanna M, Amani S, González AM, Gutiérrez de Ferro M, Gutiérrez S. Cátedra de Microbiología y Parasitología. Facultad de Odontología. Cátedra de Farmacognosia. Fac de Bioq., Qca. y Fcia. UNT. Av. Benjamín Aráoz 800. San Miguel de Tucumán.

Las especies *Streptococcus mutans* y *Streptococcus sobrinus* merecen especial importancia dentro de los estreptococos orales debido a que son considerados agentes etiológicos primarios de caries dental. Para la prevención de esta enfermedad, se emplea la higiene mecánica conjuntamente con el uso de sustancias antisépticas. En este sentido, nuestro grupo de investigación demostró, en sucesivos trabajos, la actividad antimicrobiana de plantas regionales, entre ellas *Xenophyllum poposum*, que evidenció efectividad frente a los microorganismos relacionados con caries dental. **OBJETIVO:** Determinación, in vitro, de la Concentración Inhibitoria Mínima (CIM) y la Concentración Bactericida Mínima (CBM) de un Extracto Etanólico (EE) de *X. poposum* (Xp) sobre una cepa de *Streptococcus sobrinus* (Ss) aislada de saliva. **MÉTODO:** Se diluyó el EE de Xp en caldo BHI, hasta obtener concentraciones de: 54,7; 27,4; 13,7 y 2,7 mg/ml. Luego se sembró una cantidad constante del inoculo de la cepa de Ss que fue ajustada previamente a la turbidez correspondiente a 0.5 en la escala de Mc Farland. Se midió la DO560 nm a 0, 24, 48 y 72 horas para determinar CIM. Se sembró en Agar Mitis Salivarius con Bacitracina para realizar el recuento de colonias que se expresaron en Log de UFC/ml, determinando de esta manera la CBM. Se hizo un control de crecimiento del microorganismo sin la sustancia inhibitoria (control). Todas las pruebas se realizaron por duplicado. Para el análisis estadístico de los datos se empleó la prueba de ANOVA. **RESULTADOS:** En las condiciones de este estudio: a) la CIM y la CBM del extracto etanólico de *X. poposum* para *S. sobrinus* fue de 2,7 mg/ml. **CONCLUSION:** *S. sobrinus* demostró ser sensible al extracto etanólico de *Xenophyllum poposum* en una concentración de 2,7 mg/ml, siendo coincidentes, en este caso, la Concentración Inhibitoria Mínima y la Concentración Bactericida Mínima. Este trabajo apunta a la utilización de esta sustancia natural regional como tratamiento alternativo en la prevención de caries dental. Trabajo subsidiado por el Consejo de Investigación de la UNT. Palabras Clave: *Xenophyllum poposum* - *Streptococcus sobrinus* – Inhibición.

**4**

OR5004

**CORRELACION ENTRE VARIABLES CLINICAS, EXAMEN MICOLOGICO Y FACTORES DE VIRULENCIA EN CANDIDIASIS CRÓNICAS.**

Azcurrea A\*, Barembaum S, Bojanich M, Scatena G, Castillo G, Belardinelli P, Robledo G, Calamari S, Femopase F. Cátedras de Química Biológica "B" y Clínica Estomatológica "B", Facultad de Odontología, Universidad Nacional de Córdoba.

La candidiasis es una de las patologías más frecuentes de la cavidad bucal. Los factores de virulencia de *Candida* pueden emplearse como marcadores de patogenicidad del hongo y evolución de la enfermedad. **OBJETIVO:** Analizar la correlación entre variables clínicas, examen micológico y factores de virulencia en candidiasis crónicas bucales. **MÉTODOS:** Se estudiaron 15 pacientes con candidiasis crónica, 10 femenino y 5 del masculino, edad media 56 años y rango 34 a 80, asistentes a la Cátedra de Clínica Estomatológica B. Luego de firmar el consentimiento, se confeccionó una historia clínica completa, se registró si era portador de prótesis, si fumaba, se determinaron los índices de lesión oral y palatina (ILO e ILP), se tomó material para examen micológico. En el examen directo se utilizó la coloración de Gram. Las levaduras se aislaron e identificaron de lesiones palatinas (24-48 hs a 37° C en CHROMAgar®). Se determinaron la hidrofobicidad (HSC) y el desarrollo de tubo germinativo (TG). Los datos fueron categorizados y se aplicó el análisis de correspondencia. **RESULTADOS:** El 64% de los pacientes estudiados eran fumadores y el 87% portador de prótesis removible. En todos los pacientes se observó correlación entre el diagnóstico clínico y el examen micológico. Las cepas aisladas fueron *C.albicans* (56%), *C.tropicalis* (28%), *C.dubliniensis* (6%) y cultivos mixtos (11%). Se observó un porcentaje mayor de *C.tropicalis* en hombres (40%) que en mujeres (25%). En los pacientes con alto ILO e ILP, se observó asociación con el hábito de fumar y la presencia de levaduras e hifas en el examen directo; mientras que el bajo nivel de ILO e ILP, se asoció con pacientes no fumadores, presencia sólo de levaduras y bajo nivel de HSC. Además, *C.albicans* se asoció con el mayor nivel de TG, mientras que *C.tropicalis* mostró el mayor nivel de HSC (análisis de correspondencia-inercia acumulada 43%). **CONCLUSION:** en los pacientes con manifestaciones clínicas más severas de candidiasis crónica, se observaron valores de laboratorio que indican una mayor virulencia del hongo. La mayor asociación entre HSC y *C.tropicalis* implica una mayor capacidad de adhesión, lo que demandaría un mayor control clínico y micológico en los pacientes infectados con esta especie. Palabras Clave: candidiasis, índice de lesión oral, factores de virulencia.

# 5

## DIAGNÓSTICO DE CALIDAD DE AGUA DE UNIDADES DENTALES DE LA FOUNT

Komaid van Gelderen, Ana; Annan, María Soledad\*; Granillo, Berta Aida.  
Cátedra de Microbiología. Facultad de Odontología. UNT.

OR5005

Durante la atención clínica, tanto pacientes como el personal de salud bucal se encuentran expuestos al agua y a los aerosoles generados por el instrumental rotatorio y la jeringa triple. Es por esto que la calidad microbiológica del agua de la unidad dental es de fundamental importancia. La Asociación Dental Americana propone un límite de 200 UFC/ml de agua proveniente de las unidades odontológicas. **OBJETIVO:** El objetivo de nuestro trabajo fue realizar un diagnóstico de la calidad de agua de las jeringas triples de los sillones odontológicos de las Salas Clínicas de Posgrado de la Facultad de Odontología de la Universidad Nacional de Tucumán. **MÉTODOS:** Para ello, se tomaron muestras de agua de la salivadera y de las jeringas triples de los sillones odontológicos de las dos salas de Posgrado de la FOUNT. Cabe destacar que el agua de los sillones de la Sala 1 proviene de contenedores con agua destilada, la de la Sala 2 proviene del agua de línea. Se recolectó 100 ml. de agua en las bolsas Thio-Bag de Nasco Whirl-Pak que son destinadas para este fin ya que contienen tiosulfato de sodio como neutralizador de agentes clorados. Posteriormente se sembró 1 ml de las muestras en placas Compact Dry de Nissui para recuento de microorganismos totales. Todas fueron incubadas en aerobiosis a 37°C, durante 48 hs. Luego se determinó el número de las UFC. **RESULTADOS:** El 50% de los recuentos obtenidos de las jeringas triples de la Sala 1 dio negativo. La meta propuesta por la ADA, 200 UFC/ml, no es superada en ningún sillón. En el agua de suministro, de la salivadera, sólo se recontó 29 UFC/ml. **CONCLUSION:** Al igual que en trabajos anteriores, cada sillón se comporta como un nicho ecológico individual. La ausencia permanente de contaminación microbiana en algunos sillones, principalmente en los que el agua proviene de contenedores con agua destilada, sugiere que con un adecuado control esta situación podría extenderse a todos los sillones usados en la práctica clínica de la FOUNT.

Palabras Clave: contaminación agua, Infección cruzada, recuento microbiano.

# 6

## ESTUDIO COMPARATIVO ENTRE LOS FACTORES QUE SE UTILIZAN PARA DETERMINAR EL BIOTIPO EN LOS CEFALOGRAMAS DE BJORK-JARABAK Y RICKETTS.

OR8001

Bruno I.G\*, Hecht P, Mateu M.E.  
Catedra de Ortodoncia. FOUBA.

**OBJETIVO:** El proposito de este estudio fue determinar la relacion que existe entre los valores que se utilizan para determinar el biotipo facial en los cefalogramas de Bjork-Jarabak y Ricketts **MÉTODOS:** Se utilizaron para este estudio telerradiografías laterales de 100 pacientes de 8 a 16 años que no recibieron tratamiento ortodoncico previo. Se efectuaron los calcos y el trazado en cada radiografía. Las radiografías fueron obtenidas con equipo panoramico Gendex Ortolarix Clase I Tipo B Italy, las películas fueron procesadas con procesadora automatica. Los trazados se efectuaron por un solo operador en forma manual y procesados con sistema Ceclacom. **RESULTADOS:** Se efectuó un estudio de correlacion multiple entre variables. Cada dato es un coeficiente de correlacion (que varia entre -1 y +1), es negativa si la relacion es inversamente proporcional y positiva si la relacion es directamente proporcional. Si esta cerca de cero indica que los factores son independientes si esta cerca de +1 o -1 indica asociacion fuerte entre variables que se cruzan. Todos los factores se correlacion directa o inversamente. **CONCLUSION:** El angulo de la silla y el angulo goniaco son los que menos correlacion tienen habria que hacer mas estudios para valorar la importancia de esta falta de correlacion en las patologias ortodoncicas.

Palabras Clave: Evaluacion cefalometrica, Cefalograma de Ricketts, Cefalograma de Bjork Jarabak.

# 7

OR8002

## ESTUDIO EXPERIMENTAL PARA EVALUAR LA POSICIÓN Y ANGULACIÓN DE MINI-IMPLANTES COMO ANCLAJE DE ORTODONCIA.

Piacenza A\*, Peralta G, Bass Pluer A.

Cátedra Integral Niños y Adolescentes "B" - Area Ortodoncia - Facultad de Odontología (UNC). - Fundación CREO.

**OBJETIVO:** El propósito del presente estudio fue evaluar la eficacia del mini-implante ortodóncico al aplicarle una fuerza de tracción de 200g de activación inmediata, implantado con distintas angulaciones.

**MÉTODOS:** Se utilizaron 25 conejos machos, se les colocaron 2 mini-implantes en cada tibia (derechas experimentales, izquierdas controles), con un intervalo de 6 semanas. Los segundos mini-implantes se posicionaron a  $-20^\circ$  (Grupo I),  $90^\circ$  (Grupo II) y  $30^\circ$  (Grupo III) con una guía quirúrgica, activándose inmediatamente los experimentales. Todos los animales se sacrificaron seis semanas después.

**RESULTADOS:** Se realizaron análisis macroscópicos, tomando las medidas con un calibre digital, en el momento de la cirugía y después del sacrificio. Además se hicieron estudios radiográficos e histológicos sobre las muestras obtenidas. Se encontró desplazamiento de los mini-implantes experimentales del Grupo I de  $2,96 \text{ mm} \pm 1,05$ , del Grupo II  $0,27 \text{ mm} \pm 0,36$ , y del Grupo III de  $0,29 \text{ mm} \pm 0,26$ . Los valores para los microimplantes del Grupo I presentaron diferencias estadísticamente significativas ( $p < 0,05$ ) con respecto a los grupos II y III. **CONCLUSION:** Estos datos nos permiten concluir que la colocación de mini-implantes inclinados a favor de la fuerza aplicada inducen un mayor desplazamiento que los colocados perpendiculares o en sentido contrario.

Palabras Clave: mini-implantes, anclaje, oseointegración.

# 8

OR8003

## SUSCEPTIBILIDAD A LA CORROSIÓN BAJO TENSIÓN DE MATERIALES PARA USO EN ORTODONCIA.

AE KApian\*, MM Barreiro, G Duffo, J Harbin

Cátedra Materiales Dentales (FOUBA), Div. Corrosión (CAC-CNEA), Fac. Odontología (Univ. Maimónides).

**OBJETIVO:** Determinar el comportamiento electroquímico y la susceptibilidad a la corrosión bajo tensión de alambres de acero inoxidable y NiTi de uso en ortodoncia, en soluciones de NaCl y ácido acético al 1%.

**MÉTODOS:** se utilizaron alambres de Nitinol y de acero inoxidable (ORTO TEK), ambos de  $0,016''$  de diámetro. Para los ensayos electroquímicos se empleó una celda convencional, de tres electrodos. El electrodo de trabajo era el material en estudio. El contraelectrodo era un arrollamiento de alambre de PT con un área mayor al del de trabajo y un electrodo de referencia de calomel saturado, contrastado previamente con otro de similares características y empleado sólo a este efecto. El material en estudio fue cortado en segmentos de 4 cm de longitud y unidos a un alambre de cobre. El conjunto se montaba en un tubo de vidrio Pyrex, y la interfase alambre en estudio-alambre de cobre, se recubría con resina epoxy.

Previo a los ensayos, los alambres fueron desengrasados con acetato de etilo y secados con aire caliente. Las soluciones empleadas fueron de  $\text{CH}_3\text{COOH}$  1% y NaCl 1%, preparadas con reactivos de grado analítico y agua deionizada. Se sumergía el material en estudio preparado y se registraba el potencial de corrosión durante 1 hora, se iniciaba el trazado de la curva de polarización a partir de 100 mV por debajo del potencial de corrosión a una velocidad de barrido de  $0,167 \text{ mV/s}$ . Para la susceptibilidad a la corrosión bajo tensión se efectuaron ensayos de tracción lenta a velocidad de deformación constante ( $4,7 \times 10^{-6} \text{ s}^{-1}$ ) hasta la ruptura del espécimen. **RESULTADOS:** Nitinol, los tiempos de fractura fueron de 28200-32700 s. La media de la deformación a la ruptura y su desviación estándar es de  $13,3 \pm 1,3 \%$ . Para el acero inoxidable, los tiempos de fractura estuvieron entre 7080 s y 8100 s, La media y desviación estándar fueron de  $3,4 \pm 0,2 \%$ . **CONCLUSION:** La aleación Nitinol ensayada, no presenta ruptura de la pasividad en los medios estudiados en el presente trabajo. El acero inoxidable presenta zona pasiva en la solución ácida, en la solución salina presenta un potencial de ruptura asociado a la formación de picaduras. Ambas aleaciones, son inmunes a la corrosión bajo tensión en las condiciones ensayadas tanto en solución ácida como en solución salina. Palabras Clave: corrosión, ortodoncia, corrosión bajo tensión.

# 9

OR4001

## CONTRIBUCIÓN AL CONOCIMIENTO DEL PROTEOMA SALIVAL Y DE SU IMPORTANCIA COMO HERRAMIENTA DIAGNÓSTICA.

<sup>1</sup>Ferrary T\*, <sup>2</sup>del Canto, S, <sup>1</sup>Nicolosi L, <sup>2</sup>Biscoglio M.

<sup>1</sup>Cátedra de Patología y Clínica Buco-dental. Facultad de Odontología, <sup>2</sup>Instituto de Química y Físicoquímica Biológicas, UBA-CONICET, Facultad de Farmacia y Bioquímica, UBA.

El proteoma salival está formado por una gran cantidad de proteínas que ayudan a la homeostasis de la cavidad bucal; actualmente existe un gran interés en su uso como elemento diagnóstico.

**OBJETIVO:** contribuir a la descripción del proteoma salival. **MÉTODOS:** se utilizaron muestras de saliva parotídea extraídas con estimulación (ácido cítrico al 0,2%) mediante la cápsula y técnica de Lashley. La electroforesis bidimensional en gel de poliacrilamida en presencia de SDS de muestras de saliva puso en evidencia su alto grado de complejidad. Las muestras, previamente digeridas por tripsina, se estudiaron por espectrometría de masa usando MALDI-TOF-TOF y HPLC-ESI/MS/MS. Se usó PARAGON-PROTEIN PILOT como algoritmo de búsqueda. **RESULTADOS:** los resultados indicaron degradación de la muestra antes del tratamiento enzimático; se evidenciaron péptidos provenientes de proteínas de saliva parotídea como la alpha amilasa y muchas ricas en prolina. Por otra parte, el análisis cuidadoso de los datos obtenidos permitió detectar por homología algunas proteínas que nunca habían sido descritas en saliva humana (una proteína unidora de actina, una alpha enolasa, los fragmentos V-III 7 V-I de la cadena kappa de inmunoglobulina, una tioltransferasa I, el inhibidor de elastasa de leucocito, apoliproteína A1. Es más, se encontraron también proteínas nunca descritas en humanos. En SAIO 2008 reportamos el hallazgo de una masa molecular de 18455 Da muy probablemente correspondiendo a una proteína con potencial diagnóstico. **CONCLUSION:** A la luz de los nuevos resultados sugerimos que se trata de un fragmento de una proteína salival de mayor masa molecular.

Palabra Clave: proteoma salival- diagnostico salival.

# 10

OR4002

## ALTERACIONES SALIVALES Y BUCALES EN PACIENTES CON CARCINOMA DE MAMA.

MAZZEO M\*, LINARES J, LÓPEZ M, DUBERSARSKY C, FINKELBERG A.

Cátedra de Fisiología - Facultad de Odontología - U.N.C.

**OBJETIVO:** Diversos autores señalaron complicaciones secundarias en la cavidad bucal debido al tratamiento con poliquimioterapia para el manejo de tumores de mama. Si bien son variados los tratamientos antineoplásicos, nuestra experiencia se basó en la observación del efecto de los esquemas con adriamicina y ciclofosfamida (AC) y 5-fluorouracilo, adriamicina y ciclofosfamida (FAC). **MÉTODOS:** Se evaluaron 16 pacientes del servicio de Oncología del Sanatorio Allende (Córdoba) con diagnóstico de carcinoma de mama sometidos a tratamiento con AC n:8 y FAC; n:8, por vía endovenosa en: a) etapa inicial (EI), b) etapa media (EM) y etapa final (EF). Luego de obtenido el consentimiento informado, se realizó inspección clínica de la cavidad bucal y la toma de muestras de saliva basal y estimulada en EI, EM y EF. **RESULTADOS:** Los síntomas de xerostomía y disgeusia se manifestaron en ambos esquemas. El flujo basal no se modificó en AC y FAC, pero disminuyó el pH y mostró incremento de cloro.(P< 0,001) El flujo estimulado disminuyó en AC, P<0.01, revirtiéndose en EF, sin cambios en pH. Con el esquema FAC disminuyen las proteínas salivales (P<0,01) respecto de AC. El índice de Løe y Silness mostró incremento en ambos tratamientos con reversión solo en AC. El índice de profundidad de sondaje se incrementó en AC y FAC y no revirtió en EF. **CONCLUSION:** Ambos esquemas disminuyeron el pH de saliva basal, probablemente por el incremento de cloro. Esta acidificación podría alterar los índices de salud bucal. La concentración de proteínas fue menor en FAC lo que podría indicar un mayor deterioro glandular. Los índices de salud bucal aumentaron en EM con recuperación variable en EF. AC y FAC aumentaron la profundidad de sondaje, lo que aumentaría el riesgo de enfermedad periodontal en estos pacientes.

Palabra Clave: carcinoma de mama, poliquimioterapia, salud bucal.

11  
OR4003

**RESPUESTA DEL HUESO MANDIBULAR A LA RECUPERACIÓN DE LOS NIVELES SÉRICOS DE 25OH VITAMINA D EN RATAS ALIMENTADAS CON ERGOCOLECALCIFEROL VS. COLECALCIFEROL EN UN MODELO EXPERIMENTAL DE INSUFICIENCIA DE VITAMINA D Y OSTEOPENIA ESTABLECIDA.**

Gonzales Chaves MMS\*, Marotte C, Pellegrini GG, Mandalunis P, Friedman SM, Zeni SN. Bioquímica General y Bucal. Histología y embriología. FOUBA.

Estudios en humanos sugirieron que colecalciferol (D3) es casi dos veces más potente que ergocalciferol (D2) para aumentar y mantener niveles de 25OHD (JCEM 2008). **OBJETIVO:** determinar experimentalmente la respuesta de la D3 Vs D2 en el hueso mandibular y en los niveles de 25OHD utilizando nuestro modelo de insuficiencia de vitamina D (VitD) y Osteopenia establecida (Bone 2006). **MÉTODOS:** 8 ratas Wistar adultas fueron ovariectomizadas (OVX) y 8 sufrieron una operación simulada (SHAM). La deficiencia nutricional de vit D se produjo con una dieta libre de la misma durante 60 días, luego se las dividió en 4 grupos y alimentó con una dieta conteniendo 200UI% de vitamina D2 ó D3: OVX + vitD2; OVX + vitD3; SHAM + D2; SHAM + D3. Al inicio de la experiencia(T:0) en 4 animales de cada grupo se determinó el nivel basal de 25OHD. A T:60, 85 y 105 días se determinó 25OHD (ng/ml) por RIA (125I RIA Kit, DiaSorin, Stillwater, MN, USA). A T:105 se analizó volument óseo total (VO) de hemimandibula histomorfométricamente. **RESULTADOS:** (X ± Es): Vit D T:0 : 19.2±0.3; T:60: OVX+D2: 7.5±0.9<sup>a</sup>, OVX+D3: 7.5±0.6<sup>a</sup>, SHAM+D2: 7.2±0.5<sup>a</sup>, SHAM+D3: 9.0±1.2<sup>a</sup>; T:85 OVX+D2: 24.9±1.5<sup>b</sup>, OVX+D3: 22.65±0.6<sup>b</sup>, SHAM+D2: 22.05±1.4<sup>b</sup>, SHAM+D3: 25.35±2.1<sup>b</sup>; T:105 OVX+D2: 23.25±0.3<sup>b</sup>, OVX+D3: 23.85±1.0<sup>b</sup>, SHAM+D2: 23.25±0.9<sup>b</sup>, SHAM+D3: 27±1.3<sup>b</sup>. VO Mandibular: OVX+D2: 23.14±1.4<sup>a</sup>, OVX+D3: 28.48±0.9<sup>a</sup>, SHAM+D2: 37.31±3.4<sup>b</sup>, SHAM+D3: 37.7±1.5<sup>b</sup>. Letras diferentes indican un p<0.05. No existieron diferencias significativas en los niveles de 25OHD en ningún grupo a los distintos tiempos estudiados. El hueso mandibular de los animales OVXD3 mostró un VO mayor que los OVXD2 aunque no fue significativo. En cambio los animales SHAM mostraron similar VO. **CONCLUSION:** Bajo nuestras condiciones experimentales. las vitaminas D2 y D3 suministradas diariamente presentaron similar respuesta ósea mandibular y la misma potencia para mantener y elevar la 25OHD, tanto en los animales con niveles estrogénicos normales como aquellos con depleción estrogénica. PIP6483.

Palabra Clave: Vitamina D - Mandibula - osteopenia.

12  
OR4004

**ANÁLISIS DE LA EFECTIVIDAD DE LA CARTICAÍNA UTILIZADA EN CÁTEDRAS CLÍNICAS DE LA FACULTAD DE ODONTOLOGÍA DE LA UNIVERSIDAD NACIONAL DEL NORDESTE.**

Karaben V, Lotero J\*, Morales S. Facultad de Odontología de la UNNE. Cátedra de Farmacología.

**OBJETIVOS:** GENERAL: Establecer el perfil de efectividad de la carticaína al 4% con epinefrina 1:100.000. PARTICULARES: Identificar la utilización de carticaína en las distintas prácticas odontológicas. Determinar la efectividad en todos los casos utilizados versus los efectos adversos. **MÉTODO:** Se incluyeron pacientes de ambos sexos atendidos en las cátedras clínicas de la FOUNNE, que recibieron tratamiento odontológico bajo anestesia local. Durante un semestre de 2007 y 2008. Se registraron datos relacionados a los antecedentes médicos del paciente, cambios hemodinámicos durante la administración del anestésico local y aparición de efectos adversos. Para valorar la efectividad anestésica, se tuvo en cuenta la cantidad de cartuchos usados, técnica utilizada, práctica dental realizada y una escala numérica que media la intensidad del dolor, adaptada de la idea original introducida por Downie en 1978. Se exploró mediante una pregunta con cinco posibles categorías de respuesta 1: muy doloroso; 2: dolor intenso; 3: dolor moderado; 4: dolor leve y 5: sin dolor. Esta escala numérica es útil como instrumento de medida para valorar la respuesta a un tratamiento seleccionado. **RESULTADOS:** Del total de pacientes incluidos en la muestra (n= 207) el anestésico utilizado fue carticaína al 4% con adrenalina 1:100.000 en el 100%. Los resultados demostraron que más del 95% de los pacientes manifestaron un tratamiento sin dolor, o con dolor leve, tras la aplicación del anestésico local, con las técnicas anestésicas infiltrativa o troncular. En cuanto a reacciones adversas a medicamentos se registraron palpitations y mareos, en el 6% de la muestra. No hubo cambios hemodinámicos de relevancia. La variación de la presión arterial, no sufrió modificaciones importantes. **CONCLUSION:** La utilización de carticaína al 4% con adrenalina 1:100.000 como vasoconstrictor, resultó ser efectiva y segura para su uso en el bloqueo del dolor en pacientes de atención odontológica. Siendo su perfil de seguridad y eficacia similar a la lidocaína, prototipo del grupo. Por tanto la carticaína es un anestésico local que puede ser intercambiado sin más objeciones clínicas que las determinadas para el grupo amida de uso odontológico.

Palabra Clave: anestésico local, carticaína, reacciones adversas.

# 13

OR4005

## MODULACIÓN COLINÉRGICA DIFERENCIAL EN EL SUBTIPO DE RECEPTORES MUSCARÍNICOS SOBRE LA ACTIVIDAD DE LA OXIDO NÍTRICO SINTASA EN LA PULPITIS.

Betina Orman\*<sup>1</sup>, Alejandra De Couto Pita<sup>1</sup>, Enri Borda<sup>1,2</sup>, Leonor Sterin-Borda<sup>1,2</sup>.  
Cátedra de Farmacología, Facultad de Odontología, Universidad de Buenos Aires<sup>1</sup> y CONICET<sup>1,2</sup>. Buenos Aires, Argentina.

Previamente hemos demostrado en la pulpitis experimental, la capacidad de la pilocarpina para prevenir la sobre producción de Oxido Nítrico, PGE<sub>2</sub> y metaloproteinasas por la pulpa inflamada. En tanto que en la pulpa normal, la pilocarpina inducía un efecto opuesto. **OBJETIVOS:** En este trabajo quisimos determinar si las modificaciones en los efectos de la pilocarpina eran debido a cambios conformacionales de los subtipos de receptores muscarínicos. **MÉTODOS:** Se realizaron ensayos de Unión de Ligando utilizando <sup>3</sup>H-QNB radioactivo en membranas obtenidas de pulpa con pulpitis experimental de rata. **RESULTADOS:** En la pulpa normal se observaron dos poblaciones de receptores muscarínicos, una de alta afinidad relacionado con el subtipo M<sub>1</sub>, y otra de baja afinidad relacionado con el subtipo M<sub>3</sub>. En la pulpitis se observó una disminución de los receptores de baja afinidad y un incremento en la población de receptores de alta afinidad a expensas de cambios en la afinidad de los receptores M<sub>3</sub>. Las modificaciones en la expresión de los receptores de alta afinidad se correlacionó con la capacidad del antagonista M<sub>3</sub> (4-DAMP) para bloquear el efecto inhibitorio de la pilocarpina sobre la actividad de la Oxido Nítrico Sintasa (ONS) inducible. **CONCLUSION:** Los resultados indican que en la pulpitis existen cambios conformacionales de los receptores muscarínicos, traducidos por un incremento en el acople del receptor muscarínico M<sub>3</sub> a las señales intracelulares que activan a la ONS inducible. El incremento en la expresión de receptores de alta afinidad a expensas del subtipo M<sub>3</sub>, sería el responsable de la capacidad de la pilocarpina para prevenir la sobreproducción de sustancias proinflamatorias descriptas en la pulpitis.

Palabra Clave: receptores muscarínicos, pulpitis, oxido nítrico sintasa.

# 14

OR4006

## NEURONAS NADPH / NNOS POSITIVAS EN EL SUBNÚCLEO CAUDAL DEL TRIGÉMINO RELACIONADAS CON ESTIMULACIÓN NOCICEPTIVA DE LA PULPA DENTARIA.

Canzobre MC\*, Pennella C, Ríos, H.  
Histología y Embriología, FOUBA; Instituto de Biología celular y Neurociencias "Prof. E. De Robertis", Facultad de Medicina, UBA-CONICET.

Las neuronas aferentes que inervan la pulpa dentaria utilizan al glutamato como neurotransmisor, terminando sus axones en las neuronas de proyección en las capas más superficiales del subnúcleo caudal del trigémino (Vc). Desde estas láminas la estimulación nociceptiva se transmiten a otras regiones del tronco encefálico o al tálamo. Por otra parte, algunas interneuronas del Vc sintetizan óxido nítrico (NO) en respuesta a la activación de receptores NMDA. La activación del receptor NMDA aumenta los niveles de Ca<sup>2+</sup> intracelular, el cual a su vez puede activar a la enzima NO sintetasa (nNOS) para producir el mensajero retrógrado NO. **OBJETIVOS:** el objetivo de este trabajo es analizar el número y la neuroplasticidad de neuronas nitridérgicas detectadas por la técnica de la adenina dinucleótido fosfodiazorasa (NADPH-d+), combinada o no con inmunohistoquímica para las diferentes isoformas de NOS. **MÉTODOS:** en ratas Wistar hembras adultas se lesionó la cámara pulpar del 1er molar inferior izquierdo. Este procedimiento produce una respuesta inflamatoria la cual activa la vía nociceptiva del trigémino. Las neuronas NADPH-d+ y las inmunoreactivas para nNOS se analizaron en el lado ipsilateral y contralateral a la lesión en cada Vc. Las neuronas fueron clasificadas según su morfología y densidad óptica. Por otra parte, la actividad y la concentración relativa de la enzima, medida como densidad óptica, fue analizada en los diferentes niveles del subnúcleo caudal del trigémino en cada grupo. **RESULTADOS:** en los días experimentales estudiados las neuronas inmunoreactivas para nNOS mostraron un incremento en el lado ipsilateral del Vc. El incremento fue tanto en la cantidad relativa como en la actividad de nNOS y fue significativo en el 4to día postapertura. **CONCLUSION:** Este trabajo muestra que los estímulos nociceptivos producen modificaciones en la cantidad relativa de nNOS y en su actividad, cambios que pueden ser interpretados como eventos de neuroplasticidad. A su vez, el mensajero retrógrado óxido nítrico actuando sobre los terminales presinápticos de las interneuronas del Vc, a modo de retroalimentación, puede llevar al sistema a una condición de actividad funcional ininterrumpida, aún en ausencia del estímulo inicial. UBACyT O014. Palabra Clave: nocicepción, NOS, núcleo trigeminal.



# 15

OR10001

## OSTEONECROSIS DE MAXILAR EN PACIENTES CRÓNICAMENTE TRATADOS CON BISFOSFONATOS. Pellegrini GG<sup>\*2,3,4</sup>, Picardo S<sup>1</sup>, Rey E<sup>1</sup> y Zeni SN<sup>2,3,4</sup>

<sup>1</sup>Cátedra de Cirugía y Traumatología Buco-Máxilo-Facial II. FOUBA; <sup>2</sup> Cát. De Bioquímica Gral y Bucal FOUBA. <sup>3</sup>Sección Osteopatías Médicas. Hospital de Clínicas. <sup>4</sup>CONICET.

Los Bisfosfonatos (BPs) inhiben la actividad osteoclástica y son la droga de elección para el tratamiento de osteoporosis. Se presume que, bajo ciertas circunstancias, inducirían el desarrollo de Osteonecrosis Maxilar (ONM). **OBJETIVO:** En este estudio informamos nuestra experiencia en el control de pacientes con historia de terapia crónica con BPs, remitidos por diversos Hospitales de la C.A.B.A y odontólogos a la Cát. de Cirugía y Traumatología Buco-Máxilo-Facial II de la FOUBA. **MÉTODOS:** Se evaluaron 16 pacientes (63±4 años) con diagnóstico de ONM, bajo tratamiento crónico con BPs prescritos ininterrumpidamente por más de seis meses. **RESULTADOS:** De los 16 pacientes, 12 fueron tratados con un único BP (Alendronato 56,25%; Pamidronato 12.50%; ácido zoledrónico 25%; Risendronato 6.25%) y 4 fueron tratados con más de uno (Pamidronato/Ácido Zoledrónico: 2 pacientes; Alendronato/Ácido zoledrónico: 1 paciente; Alendronato/Pamidronato: 1 paciente). Dos ellos no presentaron ninguna sintomatología de tipo inflamatorio-patológica postoperatoria en terapéutica quirúrgico-odontológica por lo cual se descartó la presencia de ONM. En los 14 restantes se observaron signos de ONM (hueso expuesto: 62.50%; inflamación 100%; osteomielitis 43.75%; cambios mucosos 81.25%; daño tisular 56.25%; secuestros 50%). La sintomatología clínica se produjo en un 37.5% en maxilar superior y en un 50% en maxilar inferior. El 12,5% manifestó signos en forma espontánea mientras que el 87.50% manifestó dichos signos luego de una intervención odontológica (exodoncia 87.50%; implantes 12.50%; trat. endodóntico 6.25%). El 68.75% de los casos presentó como patología de base osteoporosis y el 31.25% recibía BPs como tratamiento preventivo oncológico (mieloma múltiple 60%, cáncer de mama 20% y cáncer de ovarios 20%). **CONCLUSION:** Si bien la ONM se ha reconocido como una secuela del tratamiento con BPs de última generación administrados por vía endovenosa, la ONM inducida por BPs suministrado por vía oral existe, aunque es menos frecuente. Por ello, se deberían implementar las medidas preventivas como la consulta odontológica antes de iniciar una terapia con BPs, especialmente en pacientes que reciben dicho tratamiento por neoplasias. Este estudio es parte de la Tesis Doctoral de la Od. S. Picardo.

Palabra Clave: Bisfosfonatos- Osteonecrosis-Maxilares.

# 16

OR1001

## CUANTIFICACION DE LA DISTORSION HORIZONTAL Y VERTICAL EN LA RADIOGRAFIA PANORAMICA.

Martinez ME; Martinez AM; Hecht P; Poladian M; Ditter E; Bachur M; Ibero N; Bruno IG\*.  
Catedra de Radiologia.FOUBA.

La radiografía panorámica es utilizada frecuentemente para realizar mediciones hay que considerar que la imagen sufre distorsión y magnificación que no es constante **OBJETIVO:** Examinar la magnificación horizontal y vertical que presenta la radiografía panorámica según la posición del paciente con respecto al pasillo focal. **MÉTODOS:** Se colocó una esfera de acero de 1 cm de diámetro en la zona de incisivos en un cráneo seco. Se efectuaron tres radiografías, la primera con el cráneo 1 cm por delante del pasillo focal, la segunda en el pasillo focal y la tercera con el cráneo 1 cm por detrás del mismo. Luego se repitió el mismo procedimiento colocando un cubo de 1 cm de arista en zona de incisivos, caninos y molares. Las mediciones fueron efectuadas por cinco operadores calibrados quienes midieron el lado y la base del cuadrado y el alto además el ancho de la esfera. **RESULTADOS:** Se efectuó un ANOVA factorial para analizar la significación de las variables bajo estudio. No hay diferencias significativas entre operadores. Todas las medidas difieren significativamente al nivel  $P=0.05$  al valor de referencia. La orientación anterior es la que produce menor distorsión dando un valor muy similar al de referencia (10mm), le sigue la orientación pasillo focal y por último la orientación posterior. Para el incisivo y canino se repite el patrón antedicho. Se observa que en el canino las distorsiones entre las tres orientaciones se tienden a igualar. En particular para el incisivo en la orientación anterior el valor de referencia está comprendido en su intervalo de confianza 95%. Para el molar en cambio, las tres orientaciones presentan distorsiones similares y no difieren entre sí en forma significativa. **CONCLUSION:** Los resultados indican la importancia que tienen la orientación del objeto en las medidas obtenidas a causa de la distorsión del tamaño de la imagen.

Palabra Clave: radiografía panorámica, posición del paciente, pasillo focal, distorsión y magnificación.

# 17

OR1002

## METODOLOGÍA DE MEDIDA MORFOMÉTRICA Y CITOMÉTRICA POR ANÁLISIS DE IMAGEN EN LESIONES DISPLÁSICAS ORALES.

Scola MJ\*, Brandizzi D, Keszler A, Lanfranchi HE, Cabrini RL.

Departamento Radiobiología de la Comisión nacional de Energía Atómica. (CNEA)LANAIS-MEF, CONICET- CNEA, y Cátedras de Anatomía Patológica y Clínica Estomatológica de la FOUBA.

El concepto de displasias orales se basa en la observación histopatológica y establece un carácter pre-neoplásico a la lesión estudiada (displasia leve, moderada o severa), y en algunos casos son verdaderos carcinomas in "situ". La estimación de la gravedad en estos cuadros, presenta límites que hasta el momento son diagnosticados en forma subjetiva por los patólogos. **OBJETIVO:** En este trabajo presentamos una metodología de medida morfométrica y citométrica por análisis de imagen, para obtener una determinación cuantificable, normalizada y fácilmente reproducible de las displasias orales. **MÉTODOS:** De un total de 43 pacientes con informe histopatológico de displasia oral; se seleccionaron los dos casos más representativos de displasia leve (DL) y severa (DS) respectivamente. Se incluyó un caso de carcinoma invasor. Se utilizó un microscopio MPM800 Zeiss. El área de medida fue de 311477  $\mu^2$  (objetivo x10/0,20) y 17897  $\mu^2$  (objetivo x 40/0,75) para cada campo digitalizado. En nuestro laboratorio se desarrolló un programa específico por análisis de imagen para realizar medidas histométricas y morfométricas. **RESULTADOS:** De las medidas realizadas los parámetros morfométricos mostraron los siguientes índices: Papilomatosis para mucosa normal (MN) = 0,2; DL = 1,0 y DS = 0,5; Queratinización: MN = 4,7; DL = 10,4 y DS = 7,7 y el Indicador de Acantosis: MN = 155,9; DL = 98,3 y DL= 166,3. Los parámetros citométricos fueron: Área Nuclear Promedio de las Células Basales: MN = 34,8  $\mu^2$  + 8,3 (n=21); DL= 50,9  $\mu^2$  + 17,6 (n=25); DS= 47,9  $\mu^2$  + 10,2 (n=26). Área nuclear promedio de células parabasales en: MN = 29,4  $\mu^2$  + 14 (n=19); DL = 56,9  $\mu^2$  + 23,6 (n=11); DS = 94,8  $\mu^2$  + 26,2 (n=21). **CONCLUSION:** Presentamos una metodología de medidas histométricas por análisis de imagen para la obtención de una determinación cuantificable y normalizada para displasias orales. La utilidad de esta metodología, estará determinada por la medida de un número mayor de casos y comparando con la evolución del enfermo, podría ser aplicada en la práctica como un indicador de valor único y reproducible para la caracterización de la intensidad de la displasia. UBACYT: O 013. Palabras Clave: displasias orales, morfometría, histometría, análisis de imagen.

# 18

OR1003

## ANÁLISIS MORFOMÉTRICO IN VIVO DE LA CÁMARA PULPAR DE PRIMEROS MOLARES EN FUNCIÓN DEL GÉNERO Y EDAD. ESTUDIO PRELIMINAR.

Peña G\*, Menis de Mutal L.. U.N. de Cuyo – UNC.

**OBJETIVO:** Analizar in vivo morfométricamente cámaras pulpares de primeros molares superiores e inferiores, en función del género y edad, y establecer si existe aproximación entre la proporción ancho - alto de la corona clínica y ancho - alto de la cámara pulpar con la divina proporción (1,618033). **MÉTODOS:** Se emplearon radiografías Bite - Wing de 136 primeros molares superiores e inferiores sanos, de pacientes de ambos sexos y de edades conocidas, divididos en los siguientes grupos: A: ADOLESCENTES: entre 18 y 25 años. (n= 68) B: ADULTOS JÓVENES: entre 30 y 40 años. (n= 48) C: ADULTOS MAYORES: entre 50 y 60 años. (n=20). Excluyendo molares con facetas de desgaste, restauraciones ó caries, con bandas de ortodoncia, embarazadas y pacientes bajo tratamiento de radioterapia. Las radiografías fueron escaneadas por medio del escáner HP ScanJet 3670, y las imágenes fueron procesada y examinadas por medio Pro Puls version 4.5. Mediciones: - largo y ancho de la corona clínica desde: la cara oclusal al techo de la cámara pulpar (Distancia 1-2), la cara oclusal de la corona clínica al piso de la cámara pulpar (Distancia 1-3), la cara oclusal de la corona clínica a la furcación (Distancia 1-4) - largo ancho de la cámara pulpar. Los datos se procesaron estadísticamente. **RESULTADOS:** de acuerdo al largo de la corona clínica, largo de la cámara pulpar y las distancias (1 - 2), (1 - 3), y (1 - 4), se concluye que se hallaron diferencias significativas entre los grupos A y C ( $p < 0,05$ ). Con respecto al ancho de la cámara pulpar, se hallaron diferencias significativas entre los grupos A y C ( $p < 0,01$ ) y entre el grupo B y el grupo C ( $p < 0,05$ ). Considerando el sexo, la relación entre corona clínica y cámara pulpar no se aproximó a la proporción (1.618033). **CONCLUSION:** a través de la observación radiográfica del primer molar de diferentes pacientes, este estudio proporciona datos morfométricos necesarios para que el profesional comprenda mejor la relación entre corona clínica y cámara. Beca de Doctorado 2008 - 2009. Secretaría de Ciencia y Técnica, Universidad Nacional de Cuyo. Agradecimiento: al Ing. Luis Crohané por el análisis estadístico.

Palabras clave: morfometría – relación corona/cámara.

# 19

OR1004

## Expresión de la proteína STA1 en carcinomas de cabeza y cuello por densitometría por análisis de imagen.

Brandizzi D\*, Schlegel G, Vidal SM, Santini-Araujo E. Cabrini RL.

Servicio de Patología Hospital General Hospital Militar Central CR M<sup>a</sup> Cosme Argerich; División Patología, Departamento de Radiobiología de la Comisión Nacional de Energía Atómica; y LANAIS MEF (CNEA-CONICET).

La proteína STAT1 se encuentra presente en el citoplasma celular y cumple la función de activar mecanismos de apoptosis celular. Estudios recientes han demostrado que la expresión de esta proteína es un indicador de efectividad terapéutica en carcinoma de células escamosas de cabeza y cuello. En SAIO 2009 hemos presentado dos trabajos uno donde presentamos una metodología simplificada y económica de microarray para uso en laboratorios de patología y otro donde presentamos una metodología de medida densitométrica por análisis de imagen para técnicas de inmunomarcación. **OBJETIVO:** En este trabajo estudiamos la expresión de proteína STA1 mediante una metodología microespectrodensitometría y análisis de imagen en carcinomas de cabeza y cuello. **MÉTODOS:** Se realizó expresión de proteína STAT1 en 10 casos de carcinomas de células escamosas de cabeza y cuello del Servicio de Patología Hospital General Hospital Militar Central. Se utilizó la técnica microarray con modificaciones de nuestro laboratorio. Las imágenes fueron tomadas en un microscopio Zeiss MPM 400 objetivos x 5/0,075 y x 40/0,75. Las medidas densitométricas fueron realizadas con programa de análisis de imagen. **RESULTADOS:** Se realizó expresión de proteína STAT1 en 10 casos carcinomas de células escamosas de cabeza y cuello del Servicio de Patología Hospital General Hospital Militar Central. Se utilizó la técnica microarray con modificaciones de nuestro laboratorio. Las imágenes fueron tomadas en un microscopio Zeiss MPM 400 objetivos x 5/0,075 y x 40/0,75. Las medidas densitométricas fueron realizadas con programa de análisis de imagen. **CONCLUSION:** La metodología de medida presentada en los 10 carcinomas de células escamosas de este estudio mostró valores diferentes en áreas fijas prefijadas. Sería interesante realizar este estudio en un número mayor de casos correlacionándolo con la evolución de la enfermedad.

Palabras Clave: STA1, cancer, oral.

# 20

OR1005

## TERAPIA POR CAPTURA NEUTRÓNICA EN BORO (BNCT) EN "TANDEM": UNA NUEVA MODALIDAD DE BNCT PARA EL TRATAMIENTO DEL CÁNCER ORAL EN EL MODELO DE LA BOLSA DEL HAMSTER.

Molinari AJ\* <sup>(1)</sup>, Pozzi ECC <sup>(1,2)</sup>, Thorp SI <sup>(3)</sup>, Monti Hughes A <sup>(1)</sup>, Heber EM <sup>(1)</sup>, Garabalino MA <sup>(1)</sup>, Miller M <sup>(3)</sup>, Itoiz ME <sup>(1,4)</sup>, Aromando RF <sup>(4)</sup>, Nigg DW <sup>(5)</sup>, Quintana J <sup>(2)</sup>, Trivillin VA <sup>(1)</sup>, Schwint AE <sup>(1)</sup>. <sup>(1)</sup> Dpto. de Radiobiología, <sup>(2)</sup> Dpto. de Reactores de Investigación y Producción, <sup>(3)</sup> Dpto. de Instrumentación y Control, CNEA; <sup>(4)</sup> Dpto. de Anatomía Patológica, FOUBA; <sup>(5)</sup> Idaho National Laboratory, Idaho, USA.

La Captura Neutrónica en Boro (BNCT) es una terapia que se basa en el "targeting" de células tumorales con compuestos borados y la subsiguiente irradiación con neutrones térmicos. La reacción de captura que se produce entre el boro y los neutrones genera partículas letales de corto alcance que dañan el tumor sin causar daño significativo al tejido normal. Previamente reportamos el éxito terapéutico de una única aplicación de BNCT mediada por los compuestos borados borofenilalanina (BPA), decahidrodecaborato (GB-10) o la administración combinada de BPA y GB-10, para el tratamiento del cáncer oral en el modelo de la bolsa de la mejilla del hamster. **OBJETIVO:** El objetivo del presente estudio fue evaluar la eficacia terapéutica y/o la potencial radiotoxicidad de la nueva modalidad "Tandem" BNCT (T-BNCT) para el tratamiento del cáncer oral en este modelo experimental en el Reactor Nuclear RA-3. **MÉTODOS:** Se trataron 2 grupos de animales con "Tandem BNCT": BPA-BNCT seguido de GB-10-BNCT con un intervalo de 24 h (T-24h-BNCT) ó 48 h (T-48h-BNCT) entre aplicaciones, con una dosis total a tumor de 9.93 Gy. Un grupo adicional de animales fue tratado con una única aplicación de (BPA + GB-10)-BNCT. **RESULTADOS:** 28 días post-tratamiento, T-24h-BNCT y T-48h-BNCT indujeron, respectivamente, 77% y 68% de remisión tumoral completa (RC) y 19% y 23% de remisión tumoral parcial (RP), con un control tumoral total (CT) de 95% y 91%, sin diferencias estadísticamente significativas entre protocolos. La respuesta tumoral a la aplicación única de (BPA + GB-10)-BNCT fue importante, pero significativamente menor que en el caso de T-BNCT, 50% RC y 25% RP (CT 75%). Los protocolos T-BNCT y (BPA + GB-10)-BNCT indujeron mucositis reversible en el tejido precanceroso limitante de dosis alrededor de los tumores tratados, llegando a una mucositis Grado 3 en el 18% y 40% de los animales respectivamente. No se observó radiotoxicidad en tejido normal en ningún caso. **CONCLUSION:** "Tandem" BNCT mejora el control del cáncer oral y reduce la mucositis en el tejido precanceroso limitante de dosis. Palabras Clave: BNCT, cáncer oral.

# 21

OR1006

## CICATRIZACIÓN ALVEOLAR POST EXTRACCIÓN EN RATAS CON DIETA RICA EN SACAROSA.

Baró M\*, Ferreyra de Prato R.

ABO - Facultad de Odontología - U.N.C.

La cicatrización alveolar post extracción reúne características que la convierte en una herida única, tanto en humanos como en animales de experimentación. Se sabe que el potencial de reparación ósea esta influenciado por una variedad de mecanismos bioquímicos, biomecánicos, hormonales, patológicos y factores externos como la dieta y sus componentes; que rigen el comportamiento y la función de las células encargadas de formar el nuevo hueso. Tjäderhane (2000), Hietala (1995) sugieren que una dieta rica en sacarosa, podría cambiar el balance del calcio y la composición ósea en animales, alterando la mineralización de tejidos duros y la respuesta en la cicatrización post extracción. El mecanismo por el cual afecta en forma negativa, aun no es claro. **OBJETIVO:** evaluar y cuantificar la respuesta biológica durante la cicatrización alveolar en ratas alimentadas con dieta rica en sacarosa. **MÉTODOS:** Se utilizaron 42 ratas Wistar, de ambos sexos, que fueron divididas en dos grupos: Experimental, alimentadas con dieta modificada de Stephan Harris (40% de sacarosa) y Control con balanceado estándar. Se anestesiaron por vía intraperitoneal y se extrajeron primeros molares inferiores, derecho e izquierdo, luego fueron sacrificadas a las 0hs., 14, 28, 60 y 120 días. Las muestras fueron fijadas, descalcificadas con EDTA, incluidas en parafina y se obtuvieron cortes para Microscopia Óptica (histomorfometría) y Microscopía Electrónica de Barrido (MEB; Zeiss LEO 1450 VP /EDAX) dichas muestras fueron metalizadas con Au y/o C para su observación y análisis. **RESULTADOS:** Los preliminares en MEB muestran diferencias morfológicas entre los grupos, observándose una estructura fasciculada colágena en los experimentales; que al análisis cualitativo con EDS expone un espectro con escasa presencia de calcio y fósforo, con respecto a los controles. El análisis histomorfométrico demuestra diferencias significativas de tamaño entre las lagunas osteocíticas de ambos grupos, siendo más grandes o irregulares en el experimental que en los controles. **CONCLUSION:** una dieta rica en sacarosa produce modificaciones en la mineralización y morfología del tejido óseo, que se forma en el proceso reparativo-regenerativo del alvéolo, después de una extracción dentaria.

Palabras Clave: hueso - histomorfometría – sacarosa.

# 22

OR1007

## CARACTERIZACIÓN DE LA MICROVASCULATURA DURANTE LA CARCINOGENESIS ORAL EXPERIMENTAL.

Aromando RF\*, Pérez MA, Itoiz ME Cátedra de Anatomía Patológica. FOUBA.

Cátedra de Anatomía Patológica. FOUBA.

La cancerización de la bolsa de la mejilla del hámster es el modelo experimental de cáncer bucal mas utilizado. El conocimiento de los cambios vasculares que tienen lugar en las diferentes etapas de la cancerización es esencial para interpretar el crecimiento tumoral y los efectos de diferentes terapias que se prueben utilizando el modelo. Hemos descripto que el switch angiogénico que determina la activación de la angiogénesis se produce juntamente con las displasias epiteliales en el modelo (Aromando et al SAIO 2008). **OBJETIVO:** caracterizar la morfología vascular en la carcinogénesis. **MÉTODOS:** se utilizaron hamsters golden syrian que fueron topicados según protocolo de cancerización (Shklar G 1979) y sacrificados luego de 18 semanas. Se utilizó un grupo de animales no cancerizados como control. Las paredes vasculares se marcaron mediante determinación inmunohistoquímica de Factor VIII. Se realizó el recuento total de vasos utilizando una grilla colocada en el ocular del microscopio. Para cuantificar la morfología vascular en relación a las diferentes lesiones epiteliales, se tomaron imagenes digitales de las secciones vasculares y se midieron los parámetros de área, perímetro y forma utilizando el software de análisis de imágenes ImageJ (NIH). **RESULTADOS:** se encontró un aumento significativo en el área y el perímetro de los vasos de las displasias ( $p < 0,001$ ). La aparición de los tumores se asocia a un aumento en el área y el perímetro respecto de las displasias ( $p < 0,001$ ) sin un aumento significativo del numero de secciones vasculares. Sólo en el parénquima tumoral se halló aumentado el parámetro de compresión vascular ( $p < 0,001$ ), no así en los controles ni en las displasias. **CONCLUSION:** Los vasos en el tejido normal presentan sección circular y luz abierta lo cual se correspondería con una correcta perfusión tisular. El aumento de vascularización presente en las displasias determinaría una mayor perfusión al tejido cancerizado ya que los vasos tienen mayor área y perímetro para perfundir y no muestran alteraciones en su forma. Las alteraciones estructurales de los vasos tumorales resultarían en una perfusión sanguínea más caótica, alterando la nutrición tumoral y la distribución de drogas en el tratamiento tumoral.

Palabras Clave: cancer bucal - carcinogenesis experimental - vasos sanguíneos.

# 23

OR1008

## HALLAZGOS HISTOPATOLÓGICOS EN EL HUESO DE OSTEONECROSIS DE MAXILAR ASOCIADA A BIFOSFONATOS.

Paparella ML\*, Brandizzi D, Santini-Araujo E, Cabrini RL.

Laboratorio de Patología Ortopédica. División Patología, Departamento de Radiobiología y LANAIS MEF, CNEA.

En los últimos años se relatan, en la bibliografía, cuadros de osteonecrosis de maxilar asociados a tratamientos con bifosfonatos. La mayoría de los casos se relacionan a la utilización de altas dosis de este fármaco en pacientes con antecedentes oncológicos. Hasta el momento no se han reportado detalles sobre sus caracteres histopatológicos. **OBJETIVOS:** Los objetivos de este trabajo fueron: presentar características histopatológicas observadas en osteonecrosis de maxilar asociadas a bifosfonatos y aportar datos que podrían justificar la respuesta del hueso maxilar ante esta entidad. **MÉTODOS:** Se analizaron histológicamente 4 casos de osteonecrosis de maxilar asociados a bifosfonatos en pacientes con antecedentes oncológicos (n=3) y con trastornos del metabolismo óseo (n=1). Asimismo, para objetivar los datos encontrados, se evaluaron histomorfométricamente. Los datos se compararon con los provenientes de osteomielitis convencionales. **RESULTADOS:** En todos los casos analizados se observó un cuadro osteomiélfítico, con hueso necrótico, cuyas trabéculas mostraron una estructura de tipo pagética con la conformación de compartimentos múltiples, en los cuales la nutrición era deficitaria. Muchos de estos compartimentos no mostraron relación con la superficie trabecular. Esta estructura se observa en casos de enfermedad de Paget que en el hueso maxilar, con alguna frecuencia, desarrolla osteomielitis. **CONCLUSION:** El cuadro histopatológico observado en la osteonecrosis de maxilar asociada a bifosfonatos resultaría de la formación de una estructura trabecular tipo pagética que conduciría a un déficit nutricional facilitando el desarrollo de un proceso infeccioso osteomiélfítico.

Palabras Clave: Osteonecrosis, maxilar, bifosfonatos.

# 24

OR1009

## CARCINOMA DE CÉLULAS ESCAMOSAS ASOCIADO A LIQUEN PLANO BUCAL: CORRELACIÓN CLÍNICA- HISTOPATOLÓGICA E INMUNOLÓGICA.

Masquijo Bisio PA\*, Paparella ML, Keszler A, Lanfranchi H, Itoiz ME.

Cátedras de Anatomía Patológica y Clínica Estomatológica. Facultad de Odontología. UBA.

El carcinoma de células escamosas (CCE) es la neoplasia maligna más frecuente de la mucosa bucal. El liquen plano bucal (LPB) es un trastorno inmunológico considerado como una lesión potencialmente maligna. La técnica de inmunofluorescencia directa (IFD) es un método complementario en el diagnóstico de esta lesión y permite identificar depósito de fibrinógeno en la interfase epitelio-conectivo. Diferentes trabajos relatan la transformación carcinomatosa a partir de algunas variantes clínicas histopatológicas del LPB. **OBJETIVO:** El objetivo de este trabajo fue evaluar los caracteres clínicos, histopatológicos e inmunológicos de CCE asociados a LPB. **MÉTODOS:** Se estudiaron 62 casos de CCE en los que se realizaron biopsias para estudio histopatológico e inmunohistoquímico. Veinte casos de CCE presentaron asociación clínica con LPB. Estos casos disponían de biopsias en la zona correspondiente al CCE y al LPB. Cuarenta y dos casos, sin asociación con LPB, se utilizaron como grupo control. En todos los casos de CCE se evaluó el tamaño tumoral (clínico), los caracteres histopatológicos del parénquima y del estroma (tipo de infiltrado inflamatorio, ubicación y densidad) y depósito de fibrinógeno mediante IFD. **RESULTADOS:** Los CCE, independientemente de la asociación con LPB, mostraron similares caracteres histopatológicos, tanto en el parénquima como en el estroma. El 60% de los CCE asociados a LPB mostraron positividad con la inmunorreacción para la marcación de fibrinógeno, siendo la diferencia estadísticamente significativa con respecto a los CCE del grupo control (p=0.03). **CONCLUSION:** Los CCE asociados a LPB conservarían el perfil inmunológico de esta inmunopatología. La técnica de IFD podría ser un método complementario para determinar en el CCE la asociación con LPB como lesión precursora, ya que los caracteres histopatológicos del CCE asociado a LPB son indistinguibles de los CCE sin asociación previa. Subsidios UBACyT O 010 y O 013.

Palabras Clave: Carcinoma de células escamosas, Liquen plano bucal, Inmunofluorescencia directa.

# 25

OR1010

## ALTERACIONES DE LA OSIFICACIÓN ENDOCONDRALE EN ANIMALES EXPERIMENTALES INTOXICADOS CON ARSÉNICO A 45, 90 Y 120 DÍAS.

Aybar Odstrcil A\*, Carino S, Diaz Ricci JC, Mandalunis P.

Cátedra de Histología y Embriología de la Fac. de Odontología. UBA y Dpto de Nutrición, INSIBIO, CONICET.

**OBJETIVO:** El Arsénico (As) es un metaloide altamente tóxico. La toxicidad por arsénico puede ocurrir en dos formas: toxicidad aguda y toxicidad crónica. Son escasos los datos en la literatura acerca de los efectos deletéreos del Arsénico sobre el tejido óseo in vivo. El objetivo del presente estudio fue evaluar los efectos del As sobre la osificación endocondral en animales en crecimiento a diferentes tiempos de intoxicación: 45, 90 y 120 días. **MÉTODOS:** Se utilizaron 48 ratas Wistar macho de 40 grs de peso las cuales fueron divididas en dos grupos en cada tiempo experimental; Grupo I: Control y Grupo II: v animales intoxicados con 10 mg/l de arsenito de sodio (NaAsO<sub>2</sub>). Al final de cada tiempo experimental se les extrajo sangre mediante punción cardíaca para realizar determinaciones bioquímicas y frotis. Después del sacrificio se reseccionaron tibias e hígado y se procesaron histológicamente para la obtención de cortes histológicos que se colorearon con H&E. En cortes longitudinales de tibia se evaluó la altura del cartílago de crecimiento y el volumen óseo (VO) subcondral. **RESULTADOS:** El grupo II mostró un aumento significativo del espesor del cartílago hipertrófico ( $\mu\text{m}$ ) en todos los tiempos experimentales: 45 días:  $71,15 \pm 3,11$  vs  $86,09 \pm 15,93$ ,  $p < 0,05$ ; 90 días:  $59,04 \pm 3,05$  vs  $77,07 \pm 9,16$ ,  $p < 0,001$ ; 120 días:  $34,23 \pm 3,84$  vs  $46,67 \pm 6,82$ ,  $p < 0,001$ . El VO subcondral disminuye en el Grupo II a los 120 días. La evaluación histológica de los hígados mostró a 45 días congestión de la vena centrolobulillar, del espacio periportal y sinusoides, a 90 días se mantuvo la congestión, atrofia hepatocitaria (HP) y microesteatosis, mientras que a 120 días mostró congestión y atrofia HP, borramiento de cordones y límites HP, picnosis aisladas y necrosis centrolobulillar focal y periportal. En cuanto a los parámetros bioquímicos y fórmula sanguínea en el Grupo II se observó neutrofilia y una disminución de los monocitos a 45 días y, un aumento significativo de la fosfatemia a 90 y 120 días. **CONCLUSIÓN:** Los resultados muestran que la intoxicación con As inhibe la osificación endocondral en todos los tiempos evaluados e induce a alteraciones hepáticas que avanzan desde la congestión a la necrosis HP.

Palabras Clave: arsenico-osificación endocondral

# 26

OR1011

## QCT DE MANDÍBULA DE RATA BAJO CONSUMO DE DIETA ATEROGÉNICA.

<sup>1,2</sup>Gamba CA\*, <sup>3</sup>Gubert M, <sup>3</sup>Monforte F, <sup>3</sup>Calo C, <sup>1</sup>Gonzalez Chaves M, <sup>1</sup>Macri V, <sup>1</sup>Rodríguez P, <sup>2</sup>Mandalunis P, <sup>3</sup>Lylyk P, <sup>1</sup>Friedman SM. Cátedras de <sup>1</sup>Bioquímica e <sup>2</sup>Histología, Facultad de Odontología, UBA. <sup>3</sup>Clinica Sagrada Familia, ENERI, Argentina.

En estudios previos hemos observado que una dieta aterogénica en etapas de rápido crecimiento provocaba cambios en ciertas unidades esqueléticas mandibulares y en el contenido y densidad mineral óseos (DXA, Lunar DPX), que reflejarían alteraciones en su estructura. El volumen óseo interradicular en mandíbula evidenció cambios en la remodelación ósea. **OBJETIVO:** Evaluar las zonas mandibulares por tomografía computada cuantitativa (QCT) en un modelo experimental de ratas en crecimiento, alimentadas con una dieta aterogénica, desde el destete hasta adulto joven. **MÉTODOS:** Ratas Wistar macho ( $n=12$ ) al destete loteadas por peso en 2 grupos: Control (C) y experimental (E), recibieron a libre demanda: C dieta stock para roedores (pellets) y E dieta aterogénica (pellets+grasas saturadas+colesterol) por 7 semanas (Tf) en las que se monitorearon zoometría (peso y longitud corporales) y consumo de dieta (g/100g rata/día). A Tf en suero (mg/dL) el perfil lipídico-lipoproteico aterogénico: colesterol total (col-T), triglicéridos (TG), col HDL y noHDL y con adquisición tomográfica multislice (Philips Brilliance 64CT), se realizó el análisis por QCT (eFilm Workstation 2.1) de siete zonas mandibulares (ZM): n°1 a 4: desde el forámen mentoniano hacia el mandibular, n°5: proceso coronario, n°6: proceso condilar, n°7: proceso angular (unidades Hounsfield=UH). Análisis estadístico: test t de Student (nivel de significación  $p < 0,05$ ). **RESULTADOS:** (media  $\pm$  DE) a Tf no hubo diferencias zoométricas ni en la ingesta ( $p > 0,05$ ), E mostró mayor col-T ( $96,17 \pm 8,93$  vs  $56,4 \pm 2,51$ ;  $p < 0,0001$ ), col noHDL ( $57,83 \pm 6,97$  vs  $21,00 \pm 3,46$ ;  $p < 0,0001$ ); mientras que los TG ( $76,5 \pm 16,38$  vs  $163,2 \pm 47,38$ ;  $p = 0,002$ ) fueron menores que en C. Las UH de ZM n°5 y n°7 mostraron una reducción significativa en E (n°5  $891,33 \pm 90,02$  vs  $973,68 \pm 74,29$ ;  $p = 0,0257$ ; n°7  $1021,30 \pm 107,57$  vs  $1245,60 \pm 166,83$ ;  $p = 0,0011$ ) frente a los valores de C. Las restantes ZM no mostraron diferencias significativas ( $p > 0,05$ ). **CONCLUSIÓN:** Estos resultados sugieren que el consumo de una dieta aterogénica durante las etapas de rápido crecimiento altera la arquitectura y estructura óseas en la mandíbula de un adulto joven, pudiendo comprometer la articulación temporo-mandibular. Subsidiado por UBACyT O008 y Clínica Sagrada Familia, ENERI, Argentina.

Palabras Clave: QCT, Dieta aterogénica, arquitectura ósea, mandíbula de rata, ATM.

27  
OR1012

### EXPRESIÓN INMUNOHISTOQUÍMICA DE P53 EN PACIENTES CON LIQUEN PLANO BUCAL.

Muiño A, Adler I, Lence A, Harada L, Werner L, Belloni S, Gandolfo M, Scola M, Nieto S, Denninghoff V, Avagnina A, Keszler A, Lanfranchi H, Aguas S.  
Cátedra de Clínica Estomatológica, Cátedra de Anatomía Patológica (FOUBA), CEMIC.

Existen controversias en cuanto al potencial de malignización del liquen plano bucal. Este potencial puede ser evaluado analizando la expresión de la proteína P53. **OBJETIVO:** Estimar el Riesgo Relativo (RR) del potencial de malignización del liquen plano bucal en base a la expresión de la proteína P53. **MÉTODOS:** Se realizó un diseño de cohorte retrospectiva de pacientes con diagnóstico histopatológico de liquen. La población fue integrada por los pacientes que concurren al Servicio con diagnóstico clínico de Liquen, confirmado con su estudio histopatológico. El desenlace fue el desarrollo de cáncer si/no. Se excluyeron pacientes menores de 21 años, sin confirmación histopatológica, con seguimiento menor a 5 años, sin consentimiento, con diagnóstico de displasia o cáncer. El total de pacientes que cumplió con los criterios de inclusión/ exclusión fue de 58, el 76% fue de sexo femenino y la edad media de 64 años (ES 1,48). Desarrollaron cáncer 14 de ellos. Se realizó la determinación de P53 en 45 pacientes con diagnóstico clínico e histopatológico de liquen, de los cuales 9 sufrieron transformación. Se comparó la determinación de P53 intrasujeto y se estimó el Riesgo Relativo en base al desenlace. **RESULTADOS:** De los 45 casos estudiados con la técnica de inmunohistoquímica, 36 sujetos no transformados mostraron una expresión de P53 menor al 5% con una  $P > 0,05\%$ . En los 9 pacientes transformados se observaron diferencias significativas entre la determinación pre y post de la proteína P53. El RR fue de 28 y una significación estadística de  $P < 0,01$ . **CONCLUSION:** los resultados de nuestro estudio sobre la alteración observada en la expresión de la proteína P53 en los pacientes con liquen sugieren que niveles superiores al 5% constituyen un factor de riesgo en la transformación maligna de esta patología. Programa de apoyo a la Investigación Clínica Odontológica Profesor Rodolfo Erasquin de la Facultad de Odontología de la Universidad de Buenos Aires.

Palabra Clave: cohorte, riesgo, P53.

28  
OR1013

### VARIABLES CLÍNICAS, HISTOLÓGICAS Y MICROBIOLÓGICAS RELACIONADAS CON LAS COMPLICACIONES BUCALES EN PACIENTES BAJO TRATAMIENTO ONCOLÓGICO.

Meneses A, Bolesina N, Valsagna M, Sollazo M, Morelato R, Belardinelli P, Fernández E, López de Blanc S.  
Facultad de Odontología, Universidad Nacional de Córdoba, Hospital Nacional de Clínicas

Es reconocido que la preparación de la boca disminuye la aparición de las complicaciones bucales durante el tratamiento oncológico, sin embargo aún existen interrogantes sobre la etiopatogenia de las mismas. Algunos trabajos han intentado explicar el rol de las bacterias en la mucositis **OBJETIVO:** estudiar variables clínicas, histológicas y microbiológicas relacionadas con las complicaciones bucales en pacientes bajo tratamiento oncológico. **MÉTODOS:** se incluyeron 18 pacientes con cáncer de cabeza y cuello; se tomaron muestras para citología exfoliativa, micológico y bacteriológico de 4 sitios: A dorso lingual, B cara ventral unión con piso de boca, C mucosa yugal posterior todas lado derecho, D zona del tumor y E saliva basal. Las tomas se realizaron en 4 momentos: en primera consulta (toma 1), luego de preparada la boca (2), otra Intra tratamiento (3) y a dos semanas de finalizado el tratamiento (4). Se aplicaron los test ANAVA no paramétrico de Friedman y de Wilcoxon para muestras apareadas. **RESULTADOS:** en la toma 2 el sitio con más cambios fue el B donde se observó una disminución de células cianófilas superficiales (CCS), células intermedias (CI) y un aumento de las células parabasales (CP) y ortoqueratinizadas (CO). En los nichos aumentaron los leucocitos (L) y los cocos Gram+. En la saliva disminuyeron las células epiteliales (CE), los leucocitos (L) y los hongos. Como efecto del tratamiento se observó que en toma 3 disminuyeron las CCS, y CO y aumentan las CI y CP en sitio B; mientras en saliva aumentaron las CE y los L. Los bacilos Gram - y los hongos, aumentaron intratratamiento para disminuir luego en la toma final. En los nichos los L y los bacilos Gram -, disminuyeron en la toma post tratamiento. **CONCLUSION:** el sitio de elección para la toma del material es la unión de cara ventral con piso de boca, donde es más frecuente la mucositis. Los cambios epiteliales, salivales y microbiológicos confirmarían la compleja etiopatogenia multifactorial de las complicaciones bucales durante el tratamiento oncológico.

Palabras Clave: complicaciones bucales, tratamiento oncológico, variables microbiológicas.

# 29

OR2001

## RELACIÓN ENTRE FORMA ANATÓMICA OCLUSAL Y TIPOS DE FRACTURA DENTARIA.

Macchi, María Eleonora y Macchi, Ricardo Luis\*.

Cátedra de Materiales Dentales, Fac. Odontología, UBA.

**OBJETIVO:** Analizar, en un modelo experimental, la relación entre el aplanamiento de las superficies oclusales de las piezas dentarias y la magnitud de la fuerza necesaria para producir fractura y la forma en que ésta se produce. **MÉTODOS:** Se diseñó un modelo experimental utilizando como simulador de piezas dentarias un cuerpo construido en yeso piedra mejorado. El cuerpo construido era de forma cilíndrica con 8 mm de diámetro y 11 mm de altura. En un grupo de seis una de las bases era plana y en otro igual se la conformó de manera tal de generar una superficie cóncava que representaba la superficie oclusal de un elemento dentario restaurado. En este último caso la curvatura de esa concavidad equivalía a la de una pieza de acero con extremo en forma de semiesfera con 6,5 mm de diámetro que era utilizado posteriormente para aplicar una carga; de esta manera se simulaba la acción de una cúspide estampadora. Una semana después de confeccionados esos cuerpos se los trasladó a una máquina para ensayos mecánicos (INSTRON), en la cual se había instalado el elemento metálico ya descrito, y, a través de él, eran sometidos a fuerzas progresivamente en aumento (1 mm/min) hasta -la fractura del cuerpo del yeso. Se registró la fuerza en Newton a la que se produjo la fractura y la forma en que ésta se producía se categorizó dicotómicamente como lineal o conminuta según se observaran a lo largo del eje medio del cilindro o en más de dos porciones. **RESULTADOS:** No hubo diferencia significativa (prueba t,  $P > 0,05$ ) entre la fuerza de ruptura en los grupos - Media general (desviación estándar) = 477,2 N (129,4 N). La fractura fue conminuta en todos los casos del grupo con curvatura y lineal en el grupo de superficie plana. **CONCLUSION:** La concentración y distribución de las tensiones generadas con los dos tipos de superficies oclusales simuladas influye en el tipo de fractura registrada y generaría diferentes posibilidades de rehabilitación frente al daño producido.

Palabras Clave: Anatomía oclusal, tipo de fractura, forma anatómica.

# 30

OR2002

## PÉRDIDA SUPERFICIAL DE COMPOSITE POR TERMINACIÓN Y PULIDO CON DOS SISTEMAS ABRASIVOS.

R A Ramirez Molina\*; A E Kaplan.

Cátedra de Materiales Dentales. Facultad de Odontología. Universidad de Buenos Aires.

**OBJETIVO:** El objetivo de esta investigación fue evaluar la pérdida de superficie de cuatro diferentes formulaciones de resinas compuestas posterior al acabado y pulido con un sistema abrasivo de carburo unido a goma siliconada vs. un sistema abrasivo de óxido de aluminio coaptado a discos. **MÉTODOS:** Se realizaron 8 probetas de resinas compuestas para cada grupo: G1 Ice® esmalte A2, G2 Rok® A3 (SDI), G3 Gamma Krystal® A2, G4 Filtek Z100® A1 (3M/ESPE) en matrices de 25 mm x 2 mm x 2 mm, aplicando técnica incremental y fotopolimerizando con unidad de luz halógena Curing Light XL3000 (3M a 550 mW/cm<sup>2</sup> x 40 seg). Las muestras de resinas compuestas se almacenaron en agua destilada durante 24 horas a 37° C. Seguidamente cada grupo se dividió aleatoriamente en 2 subgrupos de 4 muestras: el primero J para el sistema de gomas de pulido Jiffy Polisher (Ultradent UT 84095/USA) y segundo S para el sistema de discos Super - Snap® (Shofu/Japan). A cada probeta se le realizó una medición pre pulido con un micrómetro digital mdc-1 p (Mitutoyo Corporation/Japan) luego. Las muestras se pulieron durante 30 segundos (10 segundos para cada grano), a velocidad y presión constante por técnica de desgaste a 2 cuerpos lubricados con agua y finalmente se les realizó la medición post pulido. Los datos fueron recolectados en hoja de cálculo y analizados con un ANOVA para la variable pérdida de superficie en dos niveles: tipo de resina compuesta y sistema de pulido; utilizando el paquete estadístico SPSS 12.0®. **RESULTADOS:** Los valores de la media en mm y desviación estándar obtenidos para pérdida en cada grupo fue: G1J: 0,034(0,028); G1S: 0,025 (0,015), G2J: 0,038 (0,028), G2S: 0,042 (0,026), G3J: 0,070 (0,025), G3S: 0,039 (0,019), G4J: 0,021(0,006), G4S: 0,057 (0,026). La variable tipo de resina compuesta obtuvo un  $p = 0,230$  y la del sistema de pulido,  $p = 0,994$ , su interacción obtuvo un  $p = 0,053$ , lo que indica que no hubo diferencias estadísticas significativas. **CONCLUSION:** En las condiciones en que se realizó esta investigación el sistema abrasivo de pulido o el tipo de resina compuesta no influenciarían la pérdida de material en su superficie. Este trabajo fue financiado por el Subsidio O011 de la Universidad de Buenos Aires. Palabras Clave: Composite, sistemas de terminación y pulido, pérdida de superficie.



# 31

OR2003

## CALIDAD DE LA OBTURACIÓN APICAL EN SEGUNDOS MOLARES INFERIORES PERMANENTES.

de CASO\*, C; GANI, O.

Cátedra de Endodoncia "A". Fac. de Odontología. UNC. Córdoba. Argentina.

El segundo molar inferior permanente (2dosMIP) es quizás una de las piezas más complejas en cuanto al número de raíces y conductos radiculares, complejidad que se manifiesta en las posibilidades de cumplir con los principios endodónticos básicos. **OBJETIVO:** Evaluar la influencia que la forma de los conductos tiene sobre la calidad de la obturación a nivel apical en dientes de esta serie con distintas morfologías. **MÉTODOS:** Se utilizaron 192 2dosMIP distribuidos en tres grupos (A, B y C) de 64 piezas cada uno, según sus raíces estuvieran separadas (Grupo I), parcialmente unidas (Grupo II) y totalmente fusionadas (Grupo III). Los conductos se instrumentaron mediante sistema mecanizado PROFILE, respetando las indicaciones del fabricante. Para obturarlos mediante técnica de condensación lateral, cada grupo se dividió en dos subgrupos para aplicar en uno la técnica convencional y en otro una técnica ultrasónica. En ambos casos se utilizaron conos de gutapercha principales taper .02, conos accesorios de calibre menor al del espaciador y AH26 como sellador. Posteriormente, los dientes se incluyeron en resina poliéster para realizar en cada raíz un desgaste transversal a 1 mm del ápice. Sobre imágenes digitalizadas de cada una de estas superficies se midió el área total del conducto y sus diámetros mayores en sentido mesio-distal y buco-lingual, para clasificarlos en circulares, ovales, achatados y en "C". Por otra parte, en ellos se determinaron las áreas que correspondían a gutapercha, sellador y espacios vacíos, expresando los resultados en porcentajes. Los valores fueron analizados estadísticamente mediante la prueba de Mann Whitney U para muestras independientes fijando el valor de significación en  $p < 0.05$ . **RESULTADOS:** La masa de gutapercha fue significativamente superior en los conductos circulares y ovales respecto de los achatados en los tres grupos estudiados ( $p < 0.05$ ). No se observaron diferencias significativas entre las técnicas de obturación analizadas ( $p > 0.05$ ). **CONCLUSIÓN:** La anatomía radicular no siempre refleja la complejidad de la morfología canalicular y ésta a su vez, es un factor determinante en la calidad de la obturación apical, independientemente de las técnicas de obturación empleadas. Las formas achatadas y en "C" dificultan el sellado apical.

Palabras Clave: Segundo molar inferior. Obturación endodóntica. Condensación lateral.

# 32

OR2004

## INFLUENCIA DE LA EDAD SOBRE LA DUREZA DENTINARIA.

Gioino G.\*, Gani, O.

Cátedra de Endodoncia B. Facultad de odontología. UNC. Córdoba.

Si bien se conocen aspectos generales de la dureza dentinaria, falta aún profundizar sobre aspectos particulares que se vinculan con la endodoncia. **OBJETIVO:** Analizar la influencia de la edad sobre la microdureza dentinaria en el sector apical de raíces dentales. **MÉTODOS:** Se determinó la dureza de la dentina en raíces distales (RD) de primeros molares inferiores permanentes distribuidos en dos grupos etarios: Adultos Jóvenes (40/50 años) y Adultos Mayores (> de 60 años). En secciones transversales realizadas a 2mm (Nivel apical) y a 6mm (Nivel medio) del ápice, se delimitaron en la dentina extendida ente el conducto y el cemento, tres zonas: A (periconducto); B (Intermedia) y C (Cementaria). Se realizaron dos estudios (I y II) según el microdurómetro actuara con una carga de 50g o de 100g. Los valores obtenidos se compararon estadísticamente (Test t student - ANOVA). **RESULTADOS:** Un primer análisis mostró que los resultados del Estudio I carecían de toda lógica, por lo que fue descartado. En cambio, los del Grupo II permitieron efectuar un análisis comparativo de la dureza dentinaria. Confrontados entre si los valores de la microdureza de las zonas A, B y C se observó que en todos los casos la dureza aumentaba desde el conducto al cemento. Sin embargo, las diferencias tuvieron significación sólo en la zona B respecto a la A en Adultos Jóvenes, tanto en el Nivel apical ( $p < 0,0001$ ) como en el medio ( $p < 0,00001$ ) de la raíz. En Adultos Mayores, por el contrario, se observó que en el Nivel apical las diferencias eran significativas sólo en la zona C respecto a la B ( $p < 0,001$ ), mientras que en el Nivel medio lo fueron tanto en la zona B. ( $p < 0.0001$ ) como en la C ( $p < 0.001$ ). Comparados ambos niveles entre sí dentro de cada grupo, en ambos la dureza fue siempre mayor ( $p < 0.05$ ) en el Nivel medio de la raíz. Comparados los niveles entre grupos etarios, las diferencias fueron significativas sólo en la zona B de Adultos mayores. **CONCLUSIÓN:** a. La microdureza de la dentina se debe medir con fuerzas mayores a los 100g. b. El incremento que la edad produce en la dureza dentinaria de raíces distales de primeros molares inferiores no es uniforme. c. La dentina periconducto es siempre más blanda que la de capas externas, y la del sector apical que la del sector medio de la raíz.

Palabra Clave: Dentina. Dureza. Edad.

# 33

## INFLUENCIA DE LA CONICIDAD EN LA CALIDAD DE LA OBTURACIÓN APICAL.

Gani O., Visvisián C., de Caso C.\*, Mutal L., Arena A.

Cátedras de Endodoncia. Facultad de odontología. UNC. Córdoba. Argentina.

OR2005

Con el fin de simplificar y mejorar la calidad de la obturación endodóntica, se recomienda utilizar conos de mayor conicidad. **OBJETIVO:** Analizar comparativamente en el sector apical de conductos mesiales de molares inferiores instrumentados y obturados con distintas técnicas, el área correspondiente a la gutapercha. **MÉTODOS:** Se utilizaron 36 raíces mesiales de primeros molares inferiores permanentes. El total de sus conductos mesio-vestibulares (MV) se instrumentó mediante sistema mecanizado RACE/conicidad.04, no así los mesio-linguales que se dividieron en tres grupos de 12 piezas cada uno: GRUPO I: Técnica mecanizada/RACE-conicidad.04; Grupo II; Acceso c/Gates Glidden #2 y #3 + Técnica estandarizada-conicidad.02 y GRUPO III: Acceso c/RACE + Técnica estandarizada-conicidad.02. En todos los casos se instrumentó hasta un calibre #35. Para obturarlos se utilizó técnica de condensación lateral con conos principales conicidad .04 en el Grupo I y conicidad .02 en los Grupos II y III, complementados con conos accesorios, sellador AH26 y espaciadores de acero. Todas las piezas, después de permanecer durante 7 días a 37° C con una humedad no menor al 95 %, se incluyeron en tacos resina para obtener un primer corte transversal de la raíz a 2mm del ápice (Nivel A) y luego a 4mm (Nivel B), los que fueron fotografiados. Mediante analizador de imágenes, un único operador midió en todas las imágenes digitalizadas el área ocupada por gutapercha, expresando los resultados en mm<sup>2</sup>. Para el análisis estadístico se utilizó test Mann-Whitney U, estableciendo diferencias significativas con valor  $p < 0.05$  en ambos estudios. **RESULTADOS:** El análisis comparativo de las áreas de gutapercha detectadas en cada nivel del conducto MV con las del conducto ML dentro de un mismo grupo, mostró que entre ellas las diferencias carecían de significación ( $p > 0.05$ ). Comparadas estas áreas entre grupos, las diferencias sólo fueron significativas en el conducto mesio-lingual y únicamente entre el grupo I y III ( $p < 0.05$ ). **CONCLUSION:** El área correspondiente a la gutapercha en el sector apical de conductos mesiales de molares inferiores obturados tanto con conos conicidad .02 como .04, fue similar. Sin embargo, el empleo de conos conicidad .02 permitiría obturaciones de mejor calidad.

Palabras Clave: Obturación endodóntica. Condensación lateral, Conicidad .02 / .04.

# 34

## INFLUENCIA DEL PROTOCOLO DE PULIDO SOBRE LAS PROPIEDADES FLEXURALES DE DIVERSOS TIPOS DE RESINAS COMPUESTAS.

RA Ramirez Molina\*, AE Kaplan. Facultad de Odontología. Universidad de Los Andes

(Mérida - Venezuela). Cátedra de Materiales Dentales de la Facultad de Odontología. UBA.

OR2006

**OBJETIVO:** evaluar la influencia del protocolo de pulido sobre las propiedades flexurales de diversas resinas compuestas. **MÉTODOS:** Se realizaron 15 probetas de resinas compuestas color A2 para cada grupo: nanorelleno G1 FiltekT Z350; microrrelleno G2 Helimolar®; microhíbridas G3Tetric® N Ceram, G4 EsthetX HD, G5 ice; híbridas G6 TPH3, G7 Amelogen® Plus, G8 FiltekT Z100. Aleatoriamente cada grupo se subdividió en tres grupos de 5 probetas para ser sometidas a los siguientes sistemas de pulido: J para Jiffy®, SS Super Snap, AA Astropol/Astrobrush. Para la obtención de los valores de resistencia flexural (ISO4049) y el módulo elástico se realizó la prueba de flexión de tres puntos en probetas estandarizadas en 25x2x2 mm. Se pulió cada subgrupo por 10 segundos con el sistema asignado a baja velocidad. Se almacenaron en agua destilada x 24 horas y se sometieron al test en una máquina de pruebas universales a una velocidad de 1 mm/min. Los datos fueron analizados con un ANOVA de 1 Vía en dos niveles (resina compuesta RC y sistema de pulido SP) para cada variable (resistencia flexural RF y módulo flexural MF) y comparados con el Test de Tukey. **RESULTADOS:** RF (MPa) nivel RC obtuvo un  $p = 0,000$ ; con diferencias significativas, los grupos se ubicaron: G8:131,63(16,4) = G4:121,13(12,98) = G6:120,93(11,17) = G5:119,83(19,48) = G7:114,86(18,56) = G3:103,57(8,34) = G1:89,77(14,74) = G2:87,28(8,91). La variable RF nivel SP obtuvo un  $p = 0,469$  y la interacción RC/SP un  $p = 0,524$ ; sin diferencias significativas. MF (GPa) nivel RC obtuvo un  $p = 0,000$ ; con diferencias significativas, los grupos se ubicaron: G8:15,06(1,25) > G7: 9,95(0,44) = G6:9,78(1,51) = G1:8,88(1,54) = G5:8,59(0,84) = G4:7,69(0,35) = G3:7,14(0,75) > G2:4,69(0,44). MF (GPa) nivel SP obtuvo un  $p = 0,012$ ; con diferencias significativas y se ubicaron: SS: 9,21(3) = AA: 9,04(3,39) = J:8,65(2,52) y la interacción RC/SP un  $p = 0,000$ ; con diferencias significativas. **CONCLUSION:** la RF de las resinas híbridas y microhíbridas en gral fueron superiores a las resinas de nanorelleno y microrrelleno y no parece verse afectada por el sistema de pulido. En rigidez, FiltekT Z100 demostró ser superior al resto, seguidas por el resto. Sin embargo esta se ve disminuida al utilizar el sistema de pulido Jiffy.

Palabras Clave: Resinas compuestas, resistencia flexural, módulo flexural.

# 35

OR2007

## EFFECTO DE UN PROCEDIMIENTO DE CURADO ADICIONAL EN LAS PROPIEDADES MECÁNICAS DE COMPOSITES.

ALMEIDA CHETTI VA\*, MACCHI RL, IGLESIAS, ME.

Cátedra de Materiales Dentales. Facultad de Odontología. Univ. de Buenos Aires, Argentina

En diversas técnicas confeccionar de restauraciones indirectas, tanto con resinas de laboratorio como con composites del tipo directos, se indica el empleo de algún dispositivo para curado adicional para mejorar las propiedades físicas y mecánicas de las restauraciones. **OBJETIVO:** evaluar el efecto del curado adicional sobre la resistencia flexural (RF) y el módulo elástico (E) de composites directos e indirectos. **MATERIALES Y METODOS:** Se estudiaron tres composites directos: Premisa (KERR) (P), Heliomolar (IVOC-LAR-VIVADENT) (H) Y Z350 (3M-ESPE) (Z) y un composite indirecto: Belleglass (KERR) (B). Se obtuvieron probetas prismáticas rectangulares de 2x2x25mm por medio de un dispositivo ad-hoc de acero inoxidable. Luego del empaquetado de la resina con una espátula con cobertura de nitruro de titanio en el conformador, se colocó una cinta de acetato, y un portaobjetos con presión uniforme para eliminar el excedente de material. La fotoactivación fue realizada en cuatro puntos, con una lámpara halógena XL3000 (3M-ESPE) con una potencia de 600mw/cm<sup>2</sup>. Los especímenes fueron asignados al azar a dos grupos de n=6 según el tratamiento empleado: grupo 1: sin curado adicional (sca) y grupo 2: con curado adicional (cca) con un dispositivo que combina calor y presión de nitrógeno (Belleglass HP-KERR) durante 20 minutos. Las probetas fueron pulidas con papel abrasivo de granulometría creciente (240-320) y luego almacenadas en agua a 37° C durante 24 horas. Pasado este período de tiempo, fueron sometidas a ensayo mecánico, utilizando el test de tres puntos bajo cargas compresivas con máquina INSTRON (régimen de incremento de la carga de 1mm/min). Los datos obtenidos fueron sometidos a análisis de varianza de una vía. **RESULTADOS:** RF (MPa): Psca=75,4±13,6; Pcca=101,7±4,8 (P<0,01); Bsca=36,1±5,6; Bcca=125,6±9,0 (P<0,01); Hsca= 67,9±11,8; Hcca=112,0±17,4 (P<0,01); Zsca=98,1±19,8; Zcca=145,3±24,5 (P<0,05). E (GPa): Psca=6,4±0,7; Pcca=6,8±0,5 (P>0,05); Bsca=1,4±0,2; Bcca=9,5±0,3 (P<0,01); Hsca= 5,5±0,6; Hcca=7,5±0,4 (P<0,01); Zsca=9,3±2,0; Zcca=11,1±2,1 (P>0,05). **CONCLUSION:** Si bien en la mayor parte de los casos el efecto del curado adicional fue significativo, parece comportarse de manera diferente de acuerdo a las propiedades valoradas y al tipo de material. Palabras Clave: curado adicional, resinas compuestas, propiedades mecánicas.

# 36

OR2008

## EXACTITUD DIMENSIONAL DE IMPRESIONES DE POLIVINILSILOXANO CON DIFERENTES CUBETAS. PRESENTACIÓN PRELIMINAR.

Malaspina N\*, Cesteros RA, Ferrari B, Kaplan AE.

Cátedra de Materiales Dentales, Facultad de Odontología, UBA.

**OBJETIVO:** El objetivo de este trabajo fue evaluar la exactitud dimensional de impresiones con silicona por adición utilizando diferentes tipos de materiales para cubetas. **MATERIALES Y METODOS:** Se utilizó silicona por adición de consistencia pesada (Zhermack Elite P&P normal set (lote Nro 87504)). Se tomaron impresiones a un modelo de resina en el cual se realizaron dos marcas que sirvieron para registro. Se confeccionó un dispositivo ad hoc para alinear la cubeta con el modelo a impresionar. Este dispositivo consistió en un sistema de sujeción del modelo y la cubeta para un dinamómetro (CIFIC, Nro.751101). Se preparó la silicona siguiendo las instrucciones del fabricante y se cargó en la cubeta. Se evaluaron 4 cubetas distintas: (CRNP) de acero inoxidable tipo (rim-lock) no perforada; (CP) de acero inoxidable perforada; (CAIP) parcial de aluminio perforada; (CPP) plástica perforada. Se tomaron 5 impresiones con cada una. Se dejaron pasar 6 minutos para retirar la impresión y 30 para tomar fotos de cada una de las muestras con una cámara digital (Sony DSC-W1). Se midió la distancia entre ambos puntos en las fotografías del modelo (M) y de la impresión usando el programa ImageTool (UTHSCSA). Los resultados se registraron en mm y se analizaron estadísticamente usando ANOVA y comparación de medias de Tukey. **RESULTADOS:** los valores (en mm) registrados en cada caso fueron: M: 12.77(0.12), CRNP: 12.06(0.03), CP: 12.31(0.11), CAIP: 12.42(0.40) y CPP: 12.54(0.12). La evaluación con ANOVA mostró la diferencia estadísticamente significativa entre cubetas y Tukey mostró la presencia de diferencia entre el registro en el modelo y en la cubeta tipo rim-lock no perforada. **CONCLUSION:** en las condiciones experimentales de este trabajo puede concluirse que la exactitud dimensional de una impresión estaría influenciada por la cubeta y sus características, entre las cuales podría mencionarse la rigidez y retención.

Palabras Clave: impresiones - estabilidad – polivinilsiloxano.

# 37

OR2009

## RESISTENCIA DE RAÍCES CON FRACTURAS SIMULADAS RESTAURADAS CON DISTINTOS MATERIALES.

Carolina Rodríguez Figueroa, Andrea Edith Kaplan, Mariana Picca\*.

Cátedra de materiales Dentales. Facultad de Odontología. Universidad de Buenos Aires.

**OBJETIVO:** El objetivo de este trabajo fue comparar la resistencia mecánica de raíces con tratamiento endodóntico y fracturas simuladas restauradas con ionómero vítreo y trióxidos minerales agregados. **MÉTODOS:** se utilizaron 20 dientes unirradiculares, conservados en solución salina durante una semana hasta su utilización. Se cortaron las coronas para obtener raíces de 13 mm de longitud. A continuación se dividieron al azar en dos grupos de 10. Se realizaron los tratamientos endodónticos y se obturaron con conos de gutapercha y AH26 (Dentsply - De Trey). Luego se realizó un corte longitudinal sobre una de las caras. Los especímenes del Grupo 1 se restauraron con ionómero vítreo (Fuji IX) y los del Grupo 2 con Pro Root MTA. Finalmente se determinó la fuerza necesaria para su fractura por compresión (con una máquina universal para ensayos mecánicos INSTRON). **RESULTADOS:** los resultados obtenidos fueron (N): Grupo 1: 100,46 (26,34) y Grupo 2: 105,58 (26,79). La evaluación de t no mostró diferencias estadísticamente significativas ( $p > 0.05$ ). **CONCLUSION:** En las condiciones experimentales de este trabajo, puede concluirse que, la resistencia mecánica de raíces con tratamiento endodónticos y fracturas simuladas no se verían reforzadas por ninguno de los materiales empleados.

Palabras Clave: ENDODONCIA - RESISTENCIA – FRACTURA.

# 38

OR2010

## CONTRACCIÓN DE POLIMERIZACIÓN DE COMPOSITOS CON DIFERENTES TIPOS DE RESINAS.

Cesteros RA\*, Kaplan AE, Pelossi PL

Cátedra de Materiales Dentales. Facultad de Odontología. Universidad de Buenos Aires.

**OBJETIVO:** El objetivo de este trabajo fue comparar la contracción volumétrica de polimerización (CV) de un composite a base de resinas de siloxanos y oxiranos: siloranos (S) con otro a base de resinas de metacrilatos (M). **MÉTODOS:** Los composites utilizados fueron: Low Shrink Posterior Restorative A<sub>3</sub> (S), lote 7AY, (3MEspe/Mnpls-St Paul) y Tetric-N Ceram A<sub>8</sub> (M), lote I2282, (Ivoclar-Vivadent/Liechtenstein). Se determinó la contracción volumétrica con un dilatómetro de mercurio a temperatura constante (22°C). Se confeccionaron 10 probetas de 100 mg para cada material. Se tomó un registro de lectura inicial sobre la columna de mercurio y se fotopolimerizó el material con dispositivo XL3000 (3MEspe/Mnpls-St Paul) conectado a un estabilizador, a través del tapón de vidrio del dilatómetro, con una intensidad de 450mW/cm<sup>2</sup> durante 40 segundos para las 20 probetas. Se registraron las lecturas sobre la columna de mercurio antes de la fotoactivación y a los minutos 1, 5, 10, 20, 30, 45 y 60 después de terminada la activación lumínica. Se registraron los porcentajes de contracción volumétrica en función del material calculado a partir de la masa y densidad de cada probeta. Los datos fueron analizados con análisis de varianza para mediciones repetidas. **RESULTADOS:** Se obtuvieron promedios y (DE) de las variables estudiadas. Las medias de registros en mm de Hg de S inicial: 226,1(15,8)-final 222,5(16,1). M inicial 231,4(9,8) y final 225(10,5). Se hallaron diferencias significativas ( $p < 0,05$ ) en la variable tiempo y en el comportamiento de los materiales en función del tiempo. No se halló diferencia significativa ( $p > 0,05$ ) entre ambos materiales. Las medias aritméticas de CV final fueron: para S inicial 0,002(0,001) y final 0,0088(0,001). M inicial 0,0005(0,0004) y final 0,016(0,004). Se hallaron diferencias significativas ( $p < 0,05$ ) en todas las variables estudiadas en CV final. **CONCLUSION:** Bajo estas condiciones experimentales, la contracción volumétrica de un composite basado en siloranos sería significativamente inferior a otro basado en metacrilatos, con un diferente comportamiento en función del tiempo. Financiado dentro del proyecto O011 de la Universidad de Buenos Aires.

Palabras Clave: siloranos, contracción, composite.

# 39

OR2011

## EFFECTO DEL FLUORURO DE SODIO SOBRE LA MICRODUREZA DE LA DENTINA RADICULAR PREVIAMENTE IRRIGADA.

\*Hero F, Cheein E, Erimbaue M, Galván A, Bulacio MA .  
Cátedra de Endodoncia. Facultad de Odontología.

Las soluciones de irrigación empleadas en la preparación biomecánica del conducto radicular pueden afectar la dentina produciendo cambios en sus propiedades químicas y físicas. La determinación de la microdureza nos brinda evidencia indirecta de la pérdida o incorporación de minerales de la estructura dentinaria. El hipoclorito de sodio afecta la dentina provocando la pérdida de colágeno. El EDTA ejerce su acción quelante sobre los componentes inorgánicos de la dentina. El gluconato de clorhexidina (CHX) es recomendado por su poder antibacteriano y sustantividad. El flúor es usado para prevenir la caries dental. Se conoce que la aplicación de flúor sobre la dentina, aumenta su resistencia a la erosión.

**OBJETIVO:** El objetivo de este trabajo fue comparar la microdureza de la dentina radicular antes, después de la irrigación con diferentes soluciones y sus combinaciones y después de la aplicación de fluoruro de sodio 2%. **MÉTODOS:** Se emplearon 35 dientes humanos anterosuperiores, se cortaron sus coronas y se instrumentaron. Sus las raíces se cortaron en tercios, e incluidas en resina acrílica y se pulieron. Las piezas fueron divididas al azar en grupos de 5 raíces c/u. Se midió su microdureza Vickers. Posteriormente fueron sumergidas durante 15 minutos en las siguientes soluciones: grupo 1: EDTA 17%, grupo 2: hipoclorito de sodio (NaOCl) 1 %, grupo 3: gluconato de clorhexidina (CHX) 0,5% grupo 4: solución salina, grupo 5: NaOCl 1% + EDTA 17%, grupo 6: NaOCl 1% + CHX 0,5%, Grupo 7: EDTA 17% + CHX 0,5%. La microdureza fue medida post irrigación y luego de la aplicación de (NaF) 2%, a 500  $\mu$ m y 1000  $\mu$ m del conducto radicular, con dos indentaciones empleando el durómetro con una fuerza de 300g.15 segundos.

**RESULTADOS:** EDTA 17% y EDTA + NaOCl 1% fueron las que más redujeron la microdureza (20%), el resto de las soluciones no superó el 11%. Después de la aplicación de NaF los valores de microdureza fueron mayores en los grupos donde los irrigantes la disminuyeron significativamente: EDTA 17% y EDTA 17% + NaOCl 1%. **CONCLUSION:** El NaF no tuvo un comportamiento semejante en todos los grupos experimentales con respecto a la modificación de la microdureza. El trabajo fue realizado en el Laboratorio de Ensayos de Materiales FOUNT. Parcialmente subsidiado por el CIUNT. Palabras Clave: microdureza, irrigación, fluoruro de sodio.

# 40

OR6001

## ANÁLISIS DE LAS MODALIDADES TERAPÉUTICAS NO QUIRÚRGICAS PARA EL TRATAMIENTO DE LA ENFERMEDAD PERIODONTAL.

Feser G\*; Gulino M; Marí G; Scozzarro SM; Soto A; Klass C; Ybarra O; Aromando R; Maestri L; Funosas E. Cátedra de Periodoncia, Facultad de Odontología, Universidad Nacional de Rosario

**OBJETIVO:** Este estudio comparó la efectividad de distintos tipos de terapia periodontal no quirúrgica desde el punto de vista clínico y con un análisis de la superficie dentaria tratada mediante microscopía óptica y electrónica de barrido. **MÉTODO:** Fueron seleccionados 30 pacientes con enfermedad periodontal moderada a severa e indicación de al menos una pieza para extracción por mal pronóstico. Se realizó un estudio clínico con un diseño de boca partida, randomizado y doble ciego. Se compararon cuatro modalidades de tratamiento: Curetas Gracey 7-8, 11-12 y 13-14; Instrumental sónico (Titan S), Instrumental ultrasónico magnetorestrictivo (Cavitron Bobcat) y ultrasónico piezoeléctrico (EMS). La instrumentación fue efectuada hasta obtener una superficie lisa y sin presencia de cálculos o residuos, lo que fue comprobado mediante una sonda periodontal tipo Marquis. Las piezas extraídas fueron analizadas mediante microscopía óptica y electrónica de barrido. Las variables periodontales: Índice de placa (IP), sangrado al sondaje (SS), profundidad de sondaje (PS), nivel de inserción (NI), recesión gingival (REC) fueron observadas antes del tratamiento y a los 3 y 6 meses posteriores. El tiempo operatorio ( $T^{op}$ ) para cada método también fue analizado. Los resultados se compararon mediante ANOVA seguido por el test de Tukey, fijándose el valor de significancia  $p < 0,05$ . **RESULTADOS:** IP, SS, PS, NI se comportaron de forma semejante en los cuatro grupos. REC determinada en mm fue para curetas gracey (0,33); Titán S (0,34); Cavitron Bobcat (0,29) y EMS (0,59).  $T^{op}$  en minutos por diente fue: para Gracey (5,76); Titán S (4,30); Cavitron Bobcat (3,51) y EMS (3,43). **CONCLUSION:** Las cuatro modalidades de tratamiento favorecieron la resolución de la patología periodontal. La instrumentación piezoeléctrica produjo mayores recesiones gingivales y el acondicionamiento con curetas demandó un tiempo operatorio mayor. Las superficies analizadas mediante microscopía óptica y electrónica de barrido no demostraron variaciones cuantitativas ni cualitativas estadísticamente significativas.

Palabras Clave: Raspaje y alisado radicular, microscopía óptica y electrónica.

# 41

## ENFERMEDAD PERIODONTAL EN FUMADORES PASIVOS. INFORME PRELIMINAR.

Feser G\*, Marí G, Gulino M, Boccio I, Quinteros A, Antuña V, Funosas E.

Cátedra de Periodoncia, Facultad de Odontología, Universidad Nacional de Rosario

OR6002

**OBJETIVO:** Determinar si los fumadores pasivos tienen una mayor prevalencia y severidad de enfermedad periodontal que los individuos no fumadores no expuestos al humo del tabaco. **MÉTODOS:** Se realizó un estudio epidemiológico analítico de casos y controles para determinar si la inhalación ambiental del humo del tabaco tiene efecto perjudicial sobre los tejidos gingivales y periodontales. Se incluyó 60 estudiantes de la carrera de Odontología de la Universidad Nacional de Rosario de los cuales 30 eran no fumadores no expuestos al humo ambiental (NF) y los 30 restantes eran no fumadores expuestos al humo del tabaco (NF Exp). Se consideraron las siguientes variables: Índice de placa (IP), Sangrado al sondaje (SS), Profundidad de sondaje (PS), Nivel de inserción clínica (NIC), Recesiones gingivales (REC) y cantidad de dientes presentes (DP). Los datos fueron analizados por un test de Kruskal-Wallis y por un análisis de la regresión logística multivariada, fijándose el valor de significación estadística  $p < 0,05$ . **RESULTADOS:** Para los NF las variables fueron: IP 0,42(0,24), SS 0,47(0,35), PS 1,79(0,74), NI 0,94(0,35), REC 0,45(0,49) y para los NF Exp fueron: IP 0,38(0,35), SS 0,51(0,40), PS 1,65(0,58), NI 0,99(0,45), REC 0,49(0,37). **CONCLUSION:** El comportamiento de las variables periodontales en ambos grupos fue semejante. Este informe preliminar no pudo demostrar alguna relación de riesgo en los individuos no fumadores que se encontraban expuestos al humo del tabaco. Es necesario una muestra con mayor número de individuos para determinar si existe una asociación entre el factor de riesgo estudiado y la enfermedad periodontal.

# 42

## INFLUENCIA DE LA ESTRATEGIA EN LA TOMA DE MUESTRAS DE BIOFILM SUBGINGIVAL UTILIZANDO PCR.

Chiappe V, Pecci A, Gómez M, Fresolone M, Rodríguez C, Romanelli H. Carrera de Especialista en Periodoncia. Facultad de Odontología. Universidad Maimónides. Departamento de Química Biológica. Facultad de Ciencias Exactas y Naturales. UBA.

OR6003

En la actualidad existen distintas técnicas de diagnóstico microbiológico que utilizan como estrategia de toma de muestra sitios con bolsas profundas y sangrado al sondaje de todos los cuadrantes, de un solo cuadrante o de un único sitio. **OBJETIVO:** determinar mediante PCR rRNA 16S la presencia de Porphyromonas gingivalis (Pg), Tannerella forsythia (Tf), Treponema denticola (Td) y Aggregatibacter actinomycetemcomitans (Aa) en bolsas profundas de sujetos con periodontitis y evaluar si el número de sitios de toma de muestra subgingival influye en los resultados microbiológicos. **MÉTODOS:** Participaron 25 sujetos con Periodontitis Crónica Severa. Se seleccionaron: I) dos (mínimo), cuatro (máximo) sitios periodontales (SPe) con Profundidad al Sondaje  $\geq 6$  mm, Sangrado al Sondaje positivo y II) un sitio sano (SSa) con Profundidad al Sondaje  $\leq 3$  mm, Sangrado al Sondaje negativo. Se tomaron muestras subgingivales de cada uno de los SPe y del SSa. Se identificó Pg, Tf, Td y Aa mediante técnica PCR. **RESULTADOS:** Uno o más de los patógenos periodontales estudiados estuvieron presentes en todos los SPe y ninguno en los SSa. Pg estuvo presente en el 100% (IC 86,3-100) de los sujetos, en el 84% (IC 63,9-95,4) se detectó en todos los SPe y en el 16% (IC 4,5-36,1) en algunos. Tf estuvo presente en el 68% (IC 47,7-88,3%) de los sujetos, en el 32% se detectó en todos los SPe (IC 11,7-52,3) y en el 36% en algunos (IC 15,2-56,8). Td estuvo presente en el 100% (IC 86,3-100) de los sujetos, en el 76% (IC 54,9-90,6) se detectó en todos los SPe y en el 24% (IC 9,1-48,1) en algunos. Aa estuvo presente en el 40% (IC 18,8-61,2) de los sujetos, en el 8% (IC 1,0-26,0) se detectó en todos los SPe y en el 32% (IC 17,5-52,3) en algunos. **CONCLUSION:** Los patógenos periodontales estudiados: 1) fueron detectados en sitios con periodontitis y no en sitios sanos de un mismo sujeto, 2) no siempre fueron detectados en todos los SPe de un mismo sujeto. Esto indicaría que tomando un solo sitio por sujeto se aumentaría la probabilidad de no detección del patógeno buscado, aún utilizando la técnica de PCR de alta sensibilidad/especificidad y aún presentando los sitios características clínicas estandarizadas.

# 43

OR6004

## EFEECTO DEL HIPOCLORITO DE SODIO 0,05% SOBRE EL BIOFILM DENTAL SUPRAGINGIVAL.

De Nardo R., Chiappe V., Gómez M.\*, Romanelli H.

Carrera de Especialista en Periodoncia, Facultad de Odontología, Universidad Maimonides

**OBJETIVO:** Evaluar el efecto de un colutorio de hipoclorito de sodio al 0,05% sobre la formación del biofilm supragingival y sobre la inflamación gingival. **MÉTODOS:** 40 internos voluntarios (edad promedio  $27,8 \pm 5,6$ ), pertenecientes a la Alcaldía Policial de Varones de la provincia Formosa participaron en este estudio clínico, aleatorio, examinador-ciego, controlado, de grupos paralelos. Todos los sujetos recibieron tratamiento mecánico periodontal e higiene bucal supervisada hasta alcanzar una condición gingival compatible con salud (75% de sitios con ausencia de sangrado al sondaje), momento en el cual se evaluó la Condición basal (CB) en toda la boca, mediante el Índice de Placa de Quigley Hein modificado por Turesky (IPQH), el Índice gingival de Loe & Silness (IG) y el sangrado al sondaje (SS). Finalizado el examen clínico cada individuo recibió profilaxis profesional hasta lograr un PQH = 0. Posteriormente se indicó suspender la higiene bucal durante 21 días y se asignaron aleatoriamente dos tratamientos: 20 pacientes realizaron buches con 15 ml. de una solución de Hipoclorito de sodio al 0,05%: grupo test (GT) y 20 pacientes realizaron buches con Agua: grupo control (GC). Se realizaron los buches durante 1 minuto cada 12 horas supervisados por un profesional. Las soluciones se prepararon diariamente. El día 21 se repitieron las evaluaciones (IPQH, IG, SS) y se evaluaron efectos adversos mediante un cuestionario e inspección visual. Pigmentaciones en la cara vestibular de incisivos se evaluaron en fotografías (0 ausencia -1 presencia). **RESULTADOS:** En CB no se hallaron diferencias entre los grupos. La evaluación a los 21 días mostró que el IPQH, IG y el SS, fueron significativamente menores ( $p < 0,001$ ) en el grupo test que en el grupo control: IPQH: GC: 3,8 (0,4), GT: 2,0 (0,3). IG: GC: 2,1 (0,2) GT: 0,9 (0,2). SS: GC: 0,9 (0,1) GT: 0,5 (0,1). La presencia de pigmentaciones fue significativamente mayor en el grupo test que en el control ( $p < 0,05$ ). **CONCLUSION:** La utilización de un colutorio con hipoclorito de sodio al 0,05% en ausencia de higiene bucal, produjo menor acumulación de biofilm supragingival, menor inflamación gingival y aumento de pigmentaciones dentales, comparado con un colutorio placebo.

Palabras Clave: colutorios, placa dental, hipoclorito de sodio.

# 44

OR6005

## EVALUACIÓN HISTOLÓGICA E HISTOMORFOMÉTRICA DE UNA BIOCERÁMICA A BASE DE FOSFATO DE CALCIO/HIDROXIAPATITA. ESTUDIO EXPERIMENTAL.

Renou S.J\*, Guglielmotti MB

Cátedra de Anatomía Patológica. Facultad de Odontología. Universidad de Buenos Aires

**OBJETIVO:** Evaluar la biocompatibilidad de un sustituto óseo obtenido en forma sintética, en un modelo de reparación ósea en la médula ósea hematopoyética, con capacidad osteogénica en tibia de rata. **MÉTODOS:** Se utilizaron 20 ratas Wistar de 80 gr de peso corporal a las que se colocó en el compartimento medular de ambas tibias, una biocerámica a base de fosfato de calcio/hidroxiapatita\*, en forma de partículas (200 - 400  $\mu$ m). A los 14 y 30 días post-cirugía los animales fueron sacrificados. Se resecaron las tibias, se fijaron en formol al 10%, se radiografiaron y se consideraron dos grupos. Grupo I: tibias izquierdas incluidas en metacrilato de metilo (n:10 - 14 días / n:10 - 30 días); Grupo II: tibias derechas descalcificadas e incluidas en parafina (n:10 - 14 días / n:10 - 30 días). **RESULTADOS:** El estudio radiográfico reveló la presencia del sustituto óseo con características radiopacas en el espacio medular de la tibia a los 14 y 30 días post-cirugía. El análisis histológico evidenció partículas del orden de 200 - 400  $\mu$ m y otras menores a 50  $\mu$ m en ambos grupos. No se evidenciaron signos de inflamación en los dos tiempos experimentales evaluados. Las partículas de mayor tamaño se encontraban rodeadas por tejido óseo neoformado de tipo laminar. Las partículas menores a 10  $\mu$ m, se detectaron dispersas en la médula ósea y en macrófagos con el material incorporado en su citoplasma. En el grupo II se evaluó porcentaje de oseointegración (%OI), área de tejido óseo (TO mm<sup>2</sup>) área de sustituto óseo (ASO mm<sup>2</sup>). El análisis estadístico de los parámetros evaluados demostró que no había diferencias estadísticamente significativas en los dos tiempos experimentales evaluados, (%OI: 14 d  $88,7 \pm 2,6$  / 30 d  $89,6 \pm 2,1$ ; TO: 14 d  $0,32 \pm 0,06$  / 30 d  $0,42 \pm 0,08$ ; AP: 14 d  $0,18 \pm 0,08$  / 30 d  $0,18 \pm 0,06$ ). **CONCLUSION:** En base a la evaluación histológica realizada y con el modelo experimental utilizado, podemos concluir que la respuesta es variable de acuerdo al tamaño de partícula del sustituto óseo. Es de destacar que es necesario optimizar la granulometría para descartar aquellas partículas menores a 100  $\mu$ m. Los resultados obtenidos en este modelo experimental muestran la importancia del tamaño de las partículas del sustituto óseo en la reparación ósea. \* Novax DMA SA.

Palabras Clave: sustituto óseo, modelo experimental, tibias.

# 45

## EVALUACIÓN DE COMPOSITOS DE ZIRCONIA-HIDROXIAPATITA.

Barreiro M\*, Garrido L., Albano P., Rozenberg S., Faig. J., Ozols A.  
Materiales Dentales, Fac. Odontología (UBA), CETMIC-INTI, INTECIN Fac Ingeniería (UBA).

OR6006

**OBJETIVO:** Este trabajo analiza la factibilidad para producir injertos óseos porosos de zirconia-hidroxiapatita (Z-HA), destinados al aumento del borde alveolar y reconstrucción maxilar. Este tipo de composites son el primer paso para formar interfases adecuadas entre una cerámica relativamente inerte (Zirconia) y el medio bucal. La zirconia (Z) se caracteriza por su resistencia mecánica y la HA por su osteoconductividad. **MÉTODOS:** Se prepararon dos series de mezclas de  $ZrO_2$ -y CaO ( $y = 8$  o  $16$  % molar de Z) con HA, hasta 50 % (en peso), donde el CaO interviene en la estabilización estructural de la Z. Ambos tipos de cerámicos fueron dispersos en soluciones acuosas de albúmina (al 20 % en peso). La sinergia entre la proteína y el  $Ca(HO)_2$ , debido a la hidrólisis del CaO, favorece el espumado prematuro del barro cerámico y su gelación ulterior (debido a la coagulación de la albúmina), la que es completada por calentamiento a  $90^\circ C$ . Estos barros son moldeados como placas porosas planas y curvadas. Las piezas crudas son tratadas en un ciclo térmico en aire, compuesto por: pirólisis del material orgánico, sinterizado (a  $1350$  o  $1450^\circ C$  durante 90 min), y enfriamiento hasta la temperatura ambiente. Las piezas obtenidas se evaluaron con difracción de Rayos X (XRD), microscopía electrónica de barrido (SEM) y ensayos mecánicos de flexión en 3 puntos. **RESULTADOS:** Los análisis de XRD y SEM muestran la naturaleza multi-fásica de los cerámicos, los que están compuestos por zirconatos de calcio (ZA) (producto de la reacción de la Z con HA), HA y beta-fosfato tricálcico (TCP) (producto de la descomposición parcial de HA). La cantidad de fase ZA crece con el contenido de Z y con la temperatura de sinterizado, hasta un 60 % del volumen de composite. La porosidad obtenidas es alta, entre 50-70 %, estando en su mayoría interconectados. La resistencia medida en ensayos de flexión fue de 5 MPa (0,5). **CONCLUSION:** El proceso desarrollado permite el control del contenido de la fase ZA, requerida para la mejora ulterior de la resistencia de la HA, y la formación de inter-fases adecuadas con biocerámicos de Z. Además, la porosidad interconectada (absorción de líquidos) y la generación de la fase TCP podrían jugar un papel relevante en la oseo-integración y reabsorción.

Palabras Clave: gelcasting, injertos óseos, biocerámicos.

# 46

## EVALUACIÓN DE DISTINTAS SOLUCIONES CRIOPROTECTORAS UTILIZADAS PARA CRIOPRESERVAR SUSTITUTOS ESTROMALES DE MUCOSA BUCAL GENERADOS POR INGENIERÍA TISULAR.

OR3001

Rodriguez IA<sup>\*1</sup>, Alaminos M<sup>2</sup>, Garzon I<sup>2</sup>, Rodríguez MA<sup>1</sup>, Nieto-Serrato R<sup>2</sup>, Sanchez Quevedo MC<sup>2</sup>, Campos A<sup>2</sup>, Ferraris ME<sup>1</sup> Cat Histología "B", Fac Odon UNC (Arg)<sup>1</sup>, Dep Histología, Fac Odon y Med, Univ Granada (España)<sup>2</sup>.

**OBJETIVO:** El objetivo del presente trabajo fue evaluar el comportamiento de distintas soluciones utilizadas para criopreservar sustitutos estromales de mucosa bucal generados por ingeniería tisular. **MÉTODOS:** Se crearon constructos o sustitutos estromales de agarosa/fibrina con fibroblastos gingivales humanos. Se prepararon distintas soluciones crioprotectoras siguiendo el protocolo del Banco de Tejidos de Granada: A (Medio TC199, DMSO y Albúmina 20%), B (Medio DMEM, SBF, DMSO), C (Medio QC y Glicerol). Los sustitutos estromales de 7 días de elaboración fueron cubiertos en su totalidad por las distintas soluciones crioprotectoras y sometidos a un proceso de congelación lenta que siguió un perfil de temperaturas que fue el siguiente: 30 minutos a  $4^\circ C$ , 24 horas a  $-20^\circ C$ , 48 horas a  $-80^\circ C$ , y por último fueron trasladados a un tanque con nitrógeno líquido (inicialmente en fase vapor y después en fase líquida), donde se almacenaron por término de 14 días. La descongelación se realizó de forma lenta a temperatura ambiente. Los controles fueron sustitutos estromales sin solución criopreservante. Para evaluar la microestructura las muestras fueron analizadas con microscopía óptica y para valorar viabilidad celular se realizó una técnica de recultivación. **RESULTADOS:** Los resultados obtenidos mostraron que la estructura y la consistencia de gel de los sustitutos estromales se mantuvieron estable en todos los casos experimentales menos en el control. El análisis de la microestructura mostró en todos los grupos experimentales un pequeño aumento de los espacios interfibrilares denotando un ligero stress microestructural. En el grupo control donde no se utilizó solución criopreservante se observaron alteraciones extremas de la microestructura. Cuando se realizó la recultivación se observó que en el grupo B a los 21 días se reproducían un mayor número de células que en los demás grupos experimentales. **CONCLUSION:** Los resultados obtenidos permiten poner de manifiesto que la solución B fue la que mejor se comportó para criopreservar sustitutos estromales de mucosa bucal durante 14 días. En futuros estudios se deberá profundizar en métodos que evalúen viabilidad celular.

Palabras Clave: Criopreservación, Sustitutos estromales, Ingeniería Tisular.



# 47

OR3002

## RECLUTAMIENTO OSTEOCLÁSTICO EN ANIMALES TRATADOS CON BISFOSFONATOS Y SU RELACIÓN CON LA POBLACIÓN DE MACRÓFAGOS MEDULARES Y ESPLÉNICOS.

Escudero ND\*, Mina NF, Mandalunis PM.

Cátedra de Histología y Embriología, Facultad de Odontología, UBA.

Los bisfosfonatos (BPs) son drogas que tienen la propiedad de inhibir la reabsorción ósea. Son utilizados para el tratamiento de varias patologías óseas sistémicas. En los últimos años se evaluó su uso en diferentes disciplinas odontológicas, además de asociarse en algunos casos con osteonecrosis de maxilar. **OBJETIVO:** Evaluar el reclutamiento de osteoclastos (Ocs) en mandíbula y fémur, su número, características y su posible relación con la población de macrófagos en animales tratados con alendronato y olpadronato. **MATERIALES Y METODOS:** Se utilizaron ratas Wistar hembra divididas en 3 grupos: ALN: recibió alendronato, OPD: recibió olpadronato; ambos en una dosis de 0.3 mg/kg/semana vía i.p. durante 5 semanas. El grupo Sham recibió vehículo. Los animales recibieron 5-Bromo dioxi-uridina vía i.p. (0.1 mg/g animal). En cada grupo experimental los animales fueron divididos en dos subgrupos según recibieran BrdU el día 28 o 34 de experiencia. Se sacrificaron los animales el día 35 de experiencia y se extrajeron bazo, mandíbula (M) y fémur (F). Se procesaron para detección inmunohistoquímica de ED1 y BrdU. Los resultados fueron analizados estadísticamente. **RESULTADOS:** El número de Ocs en los grupos tratados con BPs fue mayor que en el control. El número de núcleos por Oc también fue mayor, presentando Ocs gigantes (M: Sh  $3.9 \pm 0.9$ , OPD  $6.5 \pm 1.3$ , ALN  $6.5 \pm 0.9$  F: Sh  $4.5 \pm 1.7$ , OPD  $8.1 \pm 5.1$ , ALN  $8.9 \pm 5.5$   $p < 0.05$ ). En relación a la BrdU, se observó un aumento en el número núcleos marcados por Oc en los animales tratados con BPs en ambos tiempos de administración de BrdU. En los cortes con detección de ED1, a nivel medular se observó en los animales tratados con BPs una disminución del número de macrófagos por mm<sup>2</sup> en la pulpa roja esplénica (Sh  $1027 \pm 286$ , OPD  $617 \pm 179$ , ALN  $600 \pm$  con BPs se debe a un aumento en la fusión de precursores que se evidenció como un aumento de los núcleos marcados con BrdU. **CONCLUSION:** La disminución de macrófagos, sugiere que los BPs desviarían la línea de diferenciación de los monocitos hacia el linaje osteoclástico. UBACyT O406, Gador SA.

# 48

OR3003

## ANÁLISIS TRIDIMENSIONAL DEL SISTEMA LACUNO- CANALICULAR OSTEOCITARIO (SLC) EN IMÁGENES POR MICROSCOPIA DE BARRIDO CONFOCAL.

BOZAL CB\*, SANCHEZ LM, UBIOS AM.

Cátedra de Histología y Embriología, Facultad de Odontología, UBA.

El sistema lacuno-canalicular osteocitario (SLC) se compone de una amplia red de comunicación entre las lagunas y los canalículos que contienen a los osteocitos y sus procesos citoplasmáticos dentro de la matriz ósea mineralizada. El movimiento del fluido tisular y la difusión de moléculas de señalización a través de este sistema cobra particular importancia en la respuesta de las células óseas a las cargas mecánicas. El **OBJETIVO:** del presente trabajo fue determinar morfológica y morfométricamente la estructura tridimensional del SLC en el hueso alveolar de ratas Wistar, mediante imágenes por fluorescencia y microscopía de barrido confocal. **METODOS:** Se utilizaron maxilares superiores de ratas Wistar machos adultos jóvenes que luego de la tinción en bloque con fucsina básica se incluyeron en metacrilato y se obtuvieron preparados por desgaste de 80  $\mu$ m de espesor orientados a nivel de la raíz mesial del 1º molar. La observación se realizó con microscopio láser de barrido confocal (Olympus FV300) excitando la fluorescencia con láser de He (longitud de onda de 543  $\mu$ m). El análisis morfométrico y tridimensional del SLC se realizó con el software Image Pro Plus 5.1.1 **RESULTADOS:** La metodología implementada permitió evidenciar la amplia red de conexión canalicular entre osteocitos y con la superficie ósea, cuya distribución se aprecia tridimensionalmente en las imágenes de reconstrucción. Los canalículos muestran ramificaciones que de ellos se desprenden y sitios puntuales de interconexión. El análisis morfométrico mostró que de cada laguna osteocitaria se desprenden un promedio de  $25,5 \pm 4,2$  canalículos. La longitud promedio de dichos canalículos es de  $9,58 \pm 1,47 \mu$ m. El área promedio que abarca cada laguna con su sistema canalicular es de  $91,5 \pm 13,9 \mu$ m<sup>2</sup>. El volumen que abarca el SLC es un 28,36% del volumen óseo total. **CONCLUSION:** Los resultados obtenidos permitieron reconstruir y analizar morfométricamente la arquitectura real del SLC y la relación entre sus componentes en muestras de hueso alveolar sin descalcificar, que permitirán ser el punto de comparación para el estudio microarquitectónico de este hueso sometido a fuerzas. Subsidios UBACyT O018 y CONICET-PIP 6010.

Palabra Clave: osteocito, sistema lacuno-canalicular, microscopía confocal

# 49

## ESTUDIO HISTOLÓGICO DE LA REGENERACIÓN ÓSEA POR DISTRACCIÓN OSTEOGÉNICA EXPERIMENTAL A DIFERENTES TIEMPOS DE CONSOLIDACIÓN.

Pujadas Bigi MM\*, Lewicki M, Kokubu S, Ubios AM y Mandalunis PM.

Cátedra de Histología y Embriología de la Facultad de Odontología, U.B.A.

OR3004

La distracción osteogénica (DO) es una técnica quirúrgica de regeneración ósea que mediante la aplicación gradual de fuerzas de tracción a un hueso osteotomizado, logra el estiramiento de éste y de los tejidos blandos que lo acompañan. En nuestro modelo original reportado previamente, realizamos DO en hueso mandibular con reborde desdentado de ratas Wistar. **OBJETIVO:** El objetivo de nuestro trabajo, fue estudiar histológica e histomorfométricamente la brecha ósea formada luego de la DO a dos tiempos diferentes de consolidación y evaluar el crecimiento mandibular correspondiente. **Materiales y METODOS:** se usaron ocho ratas macho de 350 g de peso corporal desdentadas. Se realizó la osteotomía mandibular completa y se colocó el distractor originalmente diseñado por nosotros. Se siguió el siguiente protocolo: latencia, 5 días; distracción activa, 0,35 mm/día durante 6 días. Luego se dividieron en dos grupos: consolidación a los 14 días y a los 28 días post distracción. Luego se sacrificaron los animales, se resecaron las hemimandíbulas y se procesaron histológicamente para la realización de cortes con una orientación sagital a la mandíbula que se colorearon con H&E. **RESULTADOS:** el estudio mostró en los animales de 14 días de consolidación que la brecha distraída estaba ocupada por tejido fibroso con algunos fragmentos óseos resultantes de la osteotomía, observándose áreas de tejido óseo reticular con gran actividad osteoblástica y neoformación vascular, mientras que el grupo de 28 días mostró una cicatrización completa de la brecha con nuevo tejido óseo. Sobre microfotografías digitales se midió y comparó el volumen óseo (BV/TV) (%) en ambos tiempos de consolidación, resultando un mayor volumen óseo para los animales del 28 días de consolidación ( $37.54 \pm 4.7$ ) con respecto a los animales de 14 días de consolidación ( $12.9 \pm 4.1$ ) con diferencias estadísticamente significativas. **CONCLUSION:** los resultados obtenidos en este trabajo experimental, mostraron que, si bien a los 14 días de consolidación se observa actividad de neoformación ósea y vascular, el tiempo necesario para lograr una brecha completamente osificada es de 28 días.

Palabras Clave: distraccion osteogenica experimental, regeneración ósea, consolidación,

# 50

## EVOLUCIÓN DEL PERFIL TEMÁTICO DE LOS TFI DE LA ESCUELA DE ODONTOLOGÍA DE LA UAJFK - 2003/08.

Peña, C; Raguso, M; Scardino\*, MC.

Escuela de Odontología y Departamento de Etomatología Básica

OR9001

**OBJETIVO:** Valorar la evolución del perfil profesional de la carrera de Odontología en relación con las temáticas seleccionadas por lo alumnos para la realización de sus Trabajo Final Integrador (TFI), período 2003-2008. Verificar el cumplimiento del perfil básico preventivo y del perfil clínico en la selección realizada durante ese período. **METODOS:** Se tomó en consideración el conjunto de los TFI de 2007 (56) y 2008 (41), se analizó el perfil de acuerdo con sus contenidos temáticos y se clasificó a éstos en Básicos (B) y clínicos (C). La información pertinente se obtuvo a través de planillas de registro existentes en la Biblioteca Central, de los TFI archivados en la Biblioteca de la Carrera de Odontología, y del Departamento de Registros y Actas de la Universidad AJF Kennedy en la que se encuentra asentada. **RESULTADOS:** En 2003 se había registrado un componente Básico (B) de 44% y un clínico (C) de 56%; en 2004: B, 42% y C, 58%; en 2005: B, 57% y C, 43%; en 2006: B, 58% y C, 42%. En 2007 eso componentes fueron: B, 61% y C, 39%, y en 2008, B, 63% y C, 37%. **CONCLUSION:** En el último estudio bajo análisis se registró la evolución de la tendencia de elección temática por los alumnos desde el primer período evaluado, 2003-2004, con respecto al período 2007-2008. Surgen diferencias a favor del componente Básico (B) del perfil profesional, que se ha incrementado en relación con el Clínico (C), en ratificación del perfil profesional enunciado por la Universidad AJF Kennedy.

Palabras Clave: perfil temático-perfil profesional-trabajo final integrador.

# 51

OR9002

## DISEÑO E INCORPORACION DE MATERIAL HIPERTEXTUAL EN EL APRENDIZAJE DEL DIAGNOSTICO POR IMAGENES EN EL GRADO.

Martinez M.E; Martinez B.A.M.; Hecht P; Rodriguez G.; Gardey M.; Bruno I\*.  
Catedra de Radiologia .FOUBA.

**OBJETIVO:** Comprobar si los materiales hipertextuales mejoran la calidad de aprendizaje de los alumnos. Brindar mejores oportunidades de desarrollo de competencias relativas a la clinica. **METODOS:** Participaron de esta experiencia 217 estudiantes del curso semestral de Diagnostico por Imagenes( DI) de 3 ° año (FOUBA) para el trabajo se utilizo una muestra aleatoria de 50 estudiantes divididos en tres grupos. Se incorporaron en el Link que la Catedra posee en la pagina Web de la Facultad , Materiales hipertextuales que consistieron en presentaciones multimedia acerca de anatomia proyectiva normal en las tecnicas de uso odontologico para consulta no obligatoria de los estudiantes. La actividad consistia en observar imagenes de complejidad gradual para identificar tecnicas y observar reparos anatomicos. Luego a modo de evaluacion 2 docentes interrogaron a los estudiantes sobre reconocimiento de tecnicas radiograficas y reparos anatomicos sobre placas radiograficas. Finalmente se administro una encuesta a los estudiantes. Se formularon datos estadisticos respecto de los resultados del rendimiento academico de los estudiantes en diferentes instancias de evaluacion tomando como referencia un cohorte en el que no se empleo NTCIs. **RESULTADOS:** Se encontraron diferencias significativas ( $p < 0.001$ ) en el rendimiento academico de los alumnos, en distintas instancias de evaluacion. Se incremento la consulta de los alumnos al Link de la Catedra en la pagina Web de la facultad (P 0.27) como habilidad de estudio autonomo. **CONCLUSION:** incrementar la posibilidad de acceso libre a materiales de estudio con representacion visual resulto ventajoso tanto por el rendimiento obtenido por los alumnos como por su grado de satisfaccion respecto de la accesibilidad a material con representacion visual y a los aprendizajes logrados. El desarrollo de habilidades de estudio independiente es un espacio que debe seguir construyendo ya que los estudiantes perciben que las tutorias presenciales y virtuales, como modalidad de orientacion, facilitan la busqueda bibliografica.

Palabras Clave: Educacion odontologica, NTCIs, educacion virtual.

# 52

OR9003

## EVALUANDO CAMBIOS EN LAS ESTRATEGIAS CURRICULARES DE LA ASIGNATURA DIAGNÓSTICO POR IMÁGENES (DI). DEL 2007 AL 2009.

Gardey, M\*; Bruno, G; Martinez, ME; Martinez, AM; G; Rodriguez; Hecht, P.  
Cátedra de Radiología, Dirección Area de Educación Odontológica y Asistencia Pedagógica. FOUBA.

Desde 2007 se han desarrollado cambios en las estrategias curriculares de la asignatura DI (3er año FOUBA), para brindar más oportunidades de práctica clínica, desarrollar habilidades de aprendizaje autónomo y mejorar el rendimiento académico de los estudiantes. **OBJETIVO:** Evaluar las modificaciones propuestas a DI en relación con el rendimiento académico de los alumnos y su grado de satisfacción. **METODOS:** Se modificó en DI la carga horaria clínica en relación a la teórica, se incorporaron actividades obligatorias y no obligatorias vía mail y materiales multimediales de consulta en link que Radiología posee en [www.odon.uba.ar](http://www.odon.uba.ar). Se administraron encuestas de opinión a los alumnos luego de cada experiencia. Los datos obtenidos en las encuestas se tabularon en planilla Excel y se categorizaron las respuestas abiertas. Se comparó estadísticamente el rendimiento académico de los estudiantes en función de cantidad de alumnos aprobados, insuficientes y ausentes y las calificaciones obtenidas en los exámenes finales en los años 04, 07, 08 y 09; y las respuestas de los estudiantes a las encuestas en los 2 últimos años. **RESULTADOS:** Si bien no existen diferencias significativas entre alumnos aprobados y reprobados a lo largo del tiempo ( $p = 0.213$ ), se hallaron diferencias significativas en cuanto a las calificaciones obtenidas ( $p < 0.001$ ) por Prueba de diferencia de histogramas entre notas (ANOVA por rangos de Kruskal-Wallis). Se observaron diferencias significativas en cuanto a la percepción de los estudiantes con respecto a que las tutorías virtuales y presenciales permiten mantener el estudio al día y aclarar dudas, y que los materiales hipertextuales los prepara mejor para la práctica clínica y los exámenes; y su introducción habilitó un espacio relevante de práctica clínica supervisada por un docente. Asimismo los materiales multimediales aumentaron significativamente ( $p = 0.368$ ) la valoración de excelente, por los estudiantes, del desarrollo de la asignatura. **CONCLUSION:** La implementación de estrategias didácticas con soporte tecnológico y las modificaciones curriculares de DI dan cuenta de resultados favorables en el rendimiento académico y grado de satisfacción de los estudiantes. Resta trabajar sobre el desarrollo de habilidades de autoaprendizaje

Palabras Clave: Educación Odontológica; NTCIs; Evaluación.

# 53

OR9004

## ESTUDIO DE CASO PARA LA ENSEÑANZA Y APRENDIZAJE DURANTE EL CURSO DE BIOLOGÍA CELULAR EN EL PRIMER AÑO DE ODONTOLOGÍA.

Agüero Natalia\*, Martínez Dora, Castillo Beatriz, Arriaga Adriana y Cornejo Lila Susana.

Cátedra B de Biología Celular, Facultad de Odontología, Universidad Nacional de Córdoba

**OBJETIVO:** Durante el curso de Biología Celular del primer año de Odontología en la Universidad Nacional de Córdoba, se eligió la metodología de estudio de caso para desarrollar un contenido complejo, de alto nivel de abstracción. Se consideró que esta modalidad permitiría promover el desarrollo de las competencias que se desean construir: Comprender que el proceso de salud y enfermedad no es un fenómeno exclusivamente biológico sino también social y que un abordaje integral requiere considerar las variables biológicas, socio-históricas, políticas y económicas que lo atraviesan. Comprender la participación de los componentes biológicos en el proceso de salud y enfermedad a nivel bucodental. Saber transferir los conocimientos para resolver situaciones nuevas. **MÉTODOS:** Desde los años 2007 y 2008 los docentes definieron los objetivos de aprendizaje, diseñaron un caso, y acordaron los criterios para su implementación y evaluación. Durante el año 2009, se llevaron a cabo modificaciones en la propuesta que la posicionaron como Taller Integrador previo a la Evaluación Parcial. Por tal motivo las consignas de trabajo se complejizaron y desarrollaron en dos encuentros presenciales. También se implementó la Evaluación del desempeño de los estudiantes, no sólo a cargo del profesor, sino especialmente de sus pares a través de una grilla con los criterios de evaluación elaborados para este fin. **RESULTADOS:** Durante la implementación del estudio de caso en sus dos modalidades, los estudiantes demostraron interés, participaron activamente en el grupo de discusión y análisis y aportaron fundamentaciones válidas. Los esquemas conceptuales elaborados evidenciaron una rica integración de los temas abordados. En cuanto a la implementación de la Grilla de Evaluación, en la mayoría de los casos la evaluación de los pares fue coincidente con la del docente, pero hubo mayor grado de observaciones de aspectos a mejorar. **CONCLUSION:** A partir del análisis del nivel de conocimiento sobre el tema demostrado por los alumnos en los exámenes del curso, fue posible evidenciar un mejor rendimiento. Los docentes valoraron la metodología positivamente, ya que los alumnos trabajan con una propuesta contextualizada y motivadora.

Palabras Clave: estudio de caso, competencias, integración.

# 54

OR9005

## PRÁCTICA SOCIAL CURRICULAR. PERCEPCIÓN DE LOS ALUMNOS.

Masoli C\*, Fernandez C, Furci N, Toral M, Capuano C

Instituto de Investigaciones en Salud Pública-UBA. Cátedra de odontología preventiva y comunitaria. Facultad de Odontología-UBA.

**OBJETIVO:** El objetivo del presente trabajo fue analizar la percepción de los estudiantes antes y después del curso optativo que se desarrolló en Caragatay, Misiones. **MÉTODOS:** En el programa se desarrollaron talleres preparatorios para realizar: - Educación para la salud. - Atención clínica. - Capacitación de recursos humanos extrasectoriales. - Trabajo con la comunidad. En el año 2008 se construyeron dos cuestionarios autoadministrados pre y post experiencia destinados a identificar las percepciones de los alumnos vinculadas a la práctica social. Se utilizó el método de escalamiento tipo Likert del 1 (muy bajo) al 5 (muy alto). El alumno marcó la categoría que mejor describe su reacción o respuesta ante un conjunto de ítems referidos a su práctica profesional futura, su formación personal y los beneficiarios del programa relacionados con esta práctica social. **RESULTADOS:** de los 8 ítems analizados en el cuestionario pre, la media fue de 4,14 (IC= 4 - 4,28). 97,9% de los alumnos mostraron puntuación de medio a alto (39,6%) y de alto a muy alto (58,3%). De los cuestionarios pos, la media fue de 4,25 (mínimo 2,91, máximo 5). El 2% de los alumnos respondieron al total de los ítems entre bajo y medio. 26,6% entre medio y alto y 71,4% entre alto y muy alto. **CONCLUSION:** Los resultados permiten concluir que para los alumnos esta práctica social incidirá en su futuro desempeño profesional y en su formación como persona y alcanzaron un alto grado de satisfacción con la labor realizada en el programa.

Palabras Clave: percepción, alumnos de odontología, práctica social.

**55**

OR7001

**MODELOS GRÁFICOS CAUSALES PARA EL ESTUDIO DE ENFERMEDADES****COMPLEJAS CON MANIFESTACIONES ORALES.** Brunotto M\*, Secchi D\*, Zarate AM\*, Lazos\*, Brezzo M\*, Piemonte E\*, Bachmeier E\*, Carletto Köber F, Malberti A\*, Barembaum S\*, Azcurra AI\*, Mina S\*, Bolesina M\*, Sorokin S\*, Moncunill I\*, Buffa V\*, Cornejo S\*, José Luis Barra\*\* . \*Facultad de Odontología. UNC. \*\*Facultad de Ciencias Químicas. CIQUIBIC-CONICET. Universidad Nacional de Córdoba.

El abordaje multidisciplinario, a través de la biometría, constituye un nuevo enfoque para estudiar las enfermedades complejas, analizar las causas de las mismas y reducir su incidencia. **OBJETIVO:** diseñar y evaluar modelos gráficos directed acyclic (DAG) con estructura de causa suficiente para valorar relaciones causales entre un conjunto de variables clínicas médico-odontológicas, psicológicas, moléculo-celulares y los fenotipos multifactoriales de enfermedades complejas. **MÉTODOS:** Se realizó un estudio observacional transversal en grupos poblacionales con patologías complejas de celiaquía, fisura oral y cáncer oral. Los datos clínicos, genéticos (mutaciones de genes específicos por PCR y secuenciación), medioambientales y socioculturales fueron registrados mediante Historia Clínica que contenía un conjunto de datos comunes y las variables características de cada patología. Se evaluaron variables binarias según criterios establecidos por investigaciones previas del grupo de trabajo que se incorporaron a un modelo DAG con estructura de causa suficiente para cada patología. En el análisis de los datos se utilizó el paquete ggm del programa R, versión 2.9.0 ([www.r-project.org](http://www.r-project.org)). Las gráficas DAG se obtuvieron, mediante la función dag. Se evaluaron las independencias condicionales, llamadas propiedades globales Markov del DAG, y que se leen por el criterio de d-separation en el paquete ggm. **RESULTADOS:** Las causas suficientes que se verificaron en cada patología fueron: Síntomas Clínicos Sistémicos, Interacción Gen-Medioambiente, Síntomas Clínicos Orales en Celiaquía; Medioambiente y Genética en Fisura Oral; Interacción Gen-Medio, Síntomas Clínicos Orales en Cáncer Oral. Todas las independencias condicionales fueron chequeadas, aunque algunas resultaron falsas, como la variable mutación en relación a cáncer oral. **CONCLUSION:** La aplicación de modelos gráficos puede ser empleada como una herramienta valiosa para el mejor ajuste del modelo estadístico permitiendo una mejor correspondencia con el modelo de salud real de estas enfermedades.

Palabras Clave: estructura causa suficiente- enfermedades complejas- DAG.

**56**

OR7002

**SALUD BUCAL Y HÁBITOS ALIMENTARIOS EN UN GRUPO DE INDIVIDUOS JÓVENES.**Antonenko O\*, Pellegrini GG, Brito G, Somoza J, Zeni SN.  
Cátedra de Bioquímica Gral.y Bucal.FOUBA;Sección Osteopatías Médicas.Hospital de Clínicas. UBA, CONICET.

Este estudio se llevó a cabo en 71 jóvenes estudiantes de nutrición de 18 a 34 años (edad promedio 22,97± 7,82 años), 16% varones y 84% mujeres. **OBJETIVO:** evaluar la salud bucodental su relación con los distintos hábitos alimentarios, ejercicio y estilo de vida. **MÉTODOS:** se realizó examen buco-dental, encuesta nutricional de recordatorio semanal, ejercicio y estilo de vida (consumo de tabaco, gaseosas y anticonceptivos). Se extrajo sangre y orina de 2hs en ayunas, se evaluó densidad mineral ósea y composición corporal por DXA (Lunar). **RESULTADOS:** peso promedio fue de 59,4 ±24,2kg. IMC promedio fue 21±3kg/m<sup>2</sup> en mujeres y 24±33kg/m<sup>2</sup> varones. El diagnóstico clínico bucodental mostró que el 100% de los estudiantes presentaba gingivitis marginal crónica; 68% bruxismo, 76% apretamiento, un 73% presentaba momentos de azúcar (MA) > 4 y 92% consumía gaseosas diariamente, relacionándose con alto riesgo de caries, lo que indica componente (C) del índice CPOD (5,92±2,68) total de la población. El 36% presentaba pérdida parcial de piezas dentarias, donde 50% de varones y 36% de mujeres tenían ingesta de Ca<500mg/día, y 0% tenía ingesta adecuada. 100% presentó z-Score normal. La ingesta de Ca fue inferior a la adecuada (1000 mg/d) en el 88% de los estudiantes, 47% presentó una ingesta de Ca<500mg/día, sólo 12% cubría las recomendaciones. El 33% consumía frutas y el 40% verduras diariamente; 8% no consumía frutas y el 5% verduras; en el resto dicho consumo era de 3 a 4 veces/semana. Ejercicio diario:18%,y 33% no realizaba ningún tipo de ejercicio. 42% tomaban anticonceptivos. 32% de mujeres consumía tabaco y 18% de varones. **CONCLUSION:** presencia de diversos hábitos alimentarios como alta deficiencia de calcio, bajo consumo de frutas y verduras, alto consumo de gaseosas afectarían la salud bucodental y en el futuro el estado de esqueleto. Asimismo la salud bucal tendría impacto nutricional negativo a través del cambio en la selección de alimentos, con consecuente detrimento en la calidad de dieta y del estado nutricional. Educación nutricional y modificación de diversos hábitos prevendría el desarrollo de ciertas patologías mejorando calidad de vida.

Palabras Clave: Bucodental, Nutrición, Calcio.

# 57

OR7003

## DETECCIÓN DE STAPHYLOCOCCUS AUREUS METICILINO RESISTENTE (MRSA) A PARTIR DE BOCA Y BOLSA EN PACIENTES CON ENFERMEDAD PERIODONTAL. IMPORTANCIA DE SU PRESENCIA EN SALUD PÚBLICA.

CUESTA A\*; BRUSCA MI; JEWTOCHOWICZ V; LACHOWICZ MF; ROSA AC.

Cátedra de Microbiología. Facultad de Odontología. Universidad de Buenos Aires.

La boca y bolsa periodontal son nichos ecológicos propicios para albergar microorganismos que podrían actuar como patógenos oportunistas. Staphylococcus aureus resistente a la meticilina (MRSA) es un patógeno emergente que ha surgido en las últimas cuatro décadas, causando infecciones nosocomiales y de la comunidad de gran morbilidad y mortalidad. La prevalencia de MRSA en aislados clínicos en Argentina es muy elevada, según datos de WHONET nacional es de entre 40 y 50%. La detección temprana de portadores reviste una gran importancia para salud pública. **OBJETIVO:** El objetivo de nuestro trabajo fue determinar la presencia y prevalencia de Staphylococcus aureus resistente a la meticilina (MRSA) en muestras de boca y bolsa periodontal de pacientes con enfermedad periodontal. **MÉTODOS:** Se determinaron los índices periodontales de 87 pacientes que concurren a la consulta. Se tomaron muestras de boca y muestras sub gingivales que fueron sembradas en medios de cultivo líquidos selectivos y medios sólidos selectivos y diferenciales. Se realizaron pruebas bioquímicas y pruebas de susceptibilidad a antimicrobianos según CLSI a las colonias sospechosas. Posteriormente se efectuaron pruebas de biología molecular para la identificación de MRSA. **RESULTADOS:** Staphylococcus aureus tuvo una prevalencia en bolsa periodontal del 13,8% (n = 12) y en cavidad oral del 16,1% (n = 14), se aisló Staphylococcus aureus meticilino resistente (MRSA) de bolsa periodontal en un 8,0% (n = 7) y en cavidad oral del 9,2% (n = 8). **CONCLUSION:** en este estudio se observa una importante recuperación de MRSA. La detección rápida y exacta de MRSA por métodos microbiológicos fenotípicos y genotípicos es relevante para prevenir la propagación del MRSA. Subsidio UBACyT 0016.

Palabras Clave: Staphylococcus aureus meticilino resistente, salud pública..

# 58

OR7004

## PERFIL PROTEICO SALIVAL Y ESTADO DENTARIO EN PACIENTES PEDIÁTRICOS HIV+ .

Medici S\*, Alessandrello H, Squassi AF, Sánchez GA.

Clínica para la Atención de Pacientes de Alto Riesgo I (CLAPAR I). FOUBA.

En la reunión anual de la SAIO 2008 comunicamos resultados de la caracterización del perfil proteico salival de pacientes pediátricos VIH+ en el rango 5-120 KDa. **OBJETIVOS:** a. Identificar y caracterizar las proteínas salivales de alto peso molecular, b. Cuantificar el contenido proteico salival, y d. Correlacionar el nivel proteico salival con el estado dentario. **MÉTODOS:** Utilizamos un diseño caso-control. 25 pacientes pediátricos (4-12 años) VIH+ de ambos sexos conformaron el grupo caso y 16 VIH- el grupo control. Excluimos a pacientes medicados con fármacos no antiretrovirales que alteran la secreción salival y/o con patologías sistémicas no asociadas a la infección por VIH. Determinamos el flujo salival no estimulado (expectoración-cronometría), el pH (potenciometría), la capacidad buffer (titulación), el nivel proteico salival (método de Lowry) y realizamos el recuento de S grupo Mutans (Gold *et al.*, 1973). Identificamos los componentes salivales (150-500 KDa) por electroforesis vertical (SDS PAGE). Tomamos la sumatoria C (CPOD) + c (ceod) como índice del estado dentario. Calculamos la media y el error estándar de cada variable. Utilizamos la prueba t de Student para establecer diferencias entre medias ( $p < 0.05$ ) y el coeficiente r de Pearson para correlacionar el nivel proteico salival con el estado dentario. **RESULTADOS:** La sumatoria C + c fue significativamente mayor ( $t_{(39)} = 2.66$ ,  $p = 0.01$ ) en pacientes VIH+ ( $13.08 \pm 0.60$  vs.  $8.63 \pm 1.88$ ) al igual que el nivel proteico salival ( $4.66 \pm 0.23$  vs.  $3.84 \pm 0.18$  mg/mL,  $t_{(39)} = 2.54$ ,  $p = 0.015$ ), mientras que el flujo salival no estimulado resultó menor ( $0.32 \pm 0.02$  vs.  $0.39 \pm 0.02$  mL/min,  $t_{(39)} = 2.35$ ,  $p = 0.024$ ). Las restantes variables no resultaron significativamente diferentes. Identificamos componentes proteicos de 150, 400 y 500 KDa, compatibles con proteínas ricas en prolina, Ig A y mucoproteínas viscosas, en ambos grupos de pacientes. La banda compatible con la Ig A presentó una densidad óptica levemente mayor en pacientes VIH+. El nivel proteico salival se correlacionó con el componente C + c ( $r = 0.83$ ). **CONCLUSION:** La prevalencia de caries en pacientes pediátricos VIH+ es una función compleja que involucra en menor magnitud a la fracción proteica salival de 150-500 KDa. Subsidio UBACyT 0800.

Palabras Clave: HIV – saliva - caries dental – odontopediatría – riesgo médico.

# 59

OR7005

## ASOCIACIÓN ENTRE ESTADO BUCODENTAL Y PRÁCTICAS ODONTOLÓGICAS EXPRESADAS POR ESCOLARES.

Klemonsks G\*; Pedemonte Z; Probe C; Auchelli L; Squassi A; Bordoni N; Piovano S. Odontología Preventiva y Comunitaria, FOUBA. Instituto de Investigaciones en Salud Pública, UBA.

**OBJETIVO:** El objetivo del presente estudio fue identificar las prácticas odontológicas expresadas por una población escolar y asociarlas con el estado bucodental. **MÉTODOS:** La muestra estuvo constituida por 37 niños/as con una edad media de  $10,6 \pm 1,05$  años asistentes a una escuela pública del Gran Bs. As (1° cordón). Previo consentimiento informado otorgado por padres o responsables se realizó: a) una encuesta estructurada de 5 preguntas que abarcaron 2 dominios: cobertura de salud y prácticas odontológicas de los escolares. b) Examen clínico para la determinación de: presencia de biofilm de placa (IP según Silness y Løe, 1963; IPO, Piovano et al, 2002); estado gingival (IG; según Løe y Silness, 1967) y estado dentario (ICDAS II, 2005; ceod, ceos, CPOD, CPOS, Knutson et al, 1934; INTCC, Bordoni et al, 1998) **RESULTADOS:** La encuesta mostró que: el 75,67% de los escolares refirió no poseer cobertura de salud, el 54,05% de los niños refirió haber recibido atención odontológica dentro de los últimos 2 años. En este período de tiempo, el 32,43% expresaron haber recibido una limpieza de dientes y 10,81 % extracciones dentarias. La razón más frecuente para no concurrir al dentista fue el miedo (21,62%) El examen clínico mostró: IP:  $1,35 \pm 0,12$ ; IPO:  $1,48 \pm 0,13$ ; IG:  $1,49 \pm 0,08$ ; ceod:  $1,76 \pm 0,43$ , ceos:  $3,57 \pm 0,90$ , con un componente c y cs de  $1,52 \pm 0,43$  y  $2,95 \pm 0,78$  respectivamente; CPOD:  $3,46 \pm 0,42$  CPOS:  $5,05 \pm 0,67$  con un componente C y CS de  $3,16 \pm 0,42$  y  $4,76 \pm 0,67$  respectivamente. El 51,37% de los niños presentaron un INTCC de 07 ó mayor, el 13,5% no presentó lesiones de caries en el examen. Se registró asociación y correlación entre algunas variables analizadas. **CONCLUSION:** La encuesta reveló que los escolares refieren escasa cobertura de salud bucal y atención odontológica infrecuente. El CPOD es moderado, un elevado porcentaje de la población presenta lesiones de caries severas y escaso componente O. Se registraron asociaciones y correlaciones entre algunas variables analizadas. UBANEX, 2006; UBACYT 0750.

Palabras Clave: Estado bucodental, prácticas odontológicas, escolares.

# 60

OR7006

## ESTUDIO DEL ESTADO DE SALUD BUCAL EN ESCOLARES Y SU ASOCIACIÓN CON LA FRECUENCIA DE CONSUMO ALIMENTARIO.

Pedemonte Z\*; Klemonsks G; Probe C; González A; Squassi A; Bordoni N; Piovano S. Odontología Preventiva y Comunitaria, FOUBA. Instituto de Investigaciones en Salud Pública, UBA.

**OBJETIVO:** El objetivo del presente trabajo fue caracterizar el estado de salud bucal de una población de escolares y asociar estas variables con la frecuencia de consumo de determinados alimentos. **MÉTODOS:** En este estudio fueron incluidos 37 niños/as con una edad media de  $10,6 \pm 1,05$  años asistentes a una escuela de un Municipio del 1er. cordón del Gran Bs. As, previo consentimiento informado otorgado por padres o responsables. Para caracterizar el perfil de consumo alimentario se utilizó una encuesta de frecuencia de ingesta que incluye 19 categorías de alimentos, discriminados en 151 tipos. El estado de salud bucal se caracterizó en función de las siguientes variables: presencia de biofilm de placa (IP, IPO, según Silness y Løe, 1963; Piovano et al, 2002); estado dentario (ICDAS II, 2005; CPOD Knutson et al, 1934); estado gingival (IG; según Løe y Silness, 1967). Los datos fueron agrupados por categorías y establecidas la frecuencia de consumo y las asociaciones pertinentes. **RESULTADOS:** La media del ceod fue de  $1,76 \pm 0,43$  y del CPOD de  $3,46 \pm 0,42$  con un componente CD+cd de  $4,03 \pm 0,51$ ; el IP de  $1,35 \pm 0,12$ ; un IG de  $1,49 \pm 0,08$ ; IPO de  $1,48 \pm 0,13$ . Se registraron asociaciones y correlaciones significativas entre variables biológicas y la frecuencia de consumo de determinados alimentos. **CONCLUSION:** En la muestra de escolares analizada el componente C demostró ser moderado; sólo el 13,5% de los niños/as se encontraron libres de caries. La frecuencia de consumo de determinados alimentos parece influir sobre los indicadores dentarios registrados. UBANEX, 2006; UBACYT 0750.

Palabras Clave: Encuesta alimentaria, salud bucal, escolares.

# 61

OR7007

## ESTUDIO DESCRIPTIVO DEL TENOR DE FLUOR EN EL AGUA DE CONSUMO EN DISTINTAS LOCALIDADES DE MENDOZA.

BORJAS M I\*, DI NASSO P, RUIZA, YELACHICH M FERNÁNDEZ C.

Cátedra de Diagnóstico Socioepidemiológico y Clínico Preventivo. Facultad de Odontología. Universidad Nacional de Cuyo.

Diversos estudios avalan que el hecho que la presencia de fluor en agua está relacionada con una reducción de las caries. Conocer el nivel de fluor que se ingiere en el agua, que es la vía de incorporación más común, es realmente necesario para determinar la forma de implementarlo ya sea tanto por su acción cariostática, como acción preventiva. **OBJETIVO:** Identificar, el tenor de fluor en el agua de bebida en los departamentos vecinos a la Capital de la provincia de Mendoza, y evaluar los resultados obtenidos. Evaluar si existen diferencias significativas entre las aguas de la red y las de pozos en las muestras obtenidas. Revisar las indicaciones farmacológicas de fluor, ya sea en su forma tópica o, por ingesta, de acuerdo a los resultados obtenidos. **MÉTODOS:** En el presente trabajo, se tomaron veinte muestras de agua de diversa procedencia (red de agua potable y pozos, o sea la que encontremos el lugar elegido) en cada departamento lindero a la ciudad capital de Mendoza y veinticinco en las distintas Secciones de la Ciudad, totalizando en total ciento veinticinco muestras. las determinaciones se han llevado a cabo en un periodo de tiempo inferior a 7 días posteriores a la recogida de las muestras, obteniéndose las curvas de calibración correspondientes. Las muestras se tomaron en botellas de PVC debidamente esterilizadas para evitar la contaminación sobreagregada. La cantidad de agua solicitada para el análisis será de 500 mililitros. **RESULTADOS:** (Procedencia de la muestra / origen / F ppm): Mendoza Capital 2º sección / O.S.M.red / 0.68; Mendoza Capital 4º sección / O.S.M.red / 0.64; Mendoza Capital 5º sección / O.S.M.red / 0.71; Mendoza Capital 6º sección / O.S.M.red / 0.69; Plumerillo Las Heras / Cooperativa / 1.02; Luján de Cuyo / O.S.M.red / 0.89; Chacra de Coria Luján / O.S.M.red / 0.92; Costa de Araujo Lavalle / Pozo / 1.12. **CONCLUSIÓN:** Las cifras son variables según el lugar de toma y la procedencia de la muestra de manera que habrá que determinar las mismas para indicar la necesidad de incorporación por otra vía, como la sistémica, y revisar qué sucede en lugares donde la cantidad de fluor excede los límites permitidos para evitar la intoxicación crónica que en la cavidad bucal de transluce como fluorosis.

Palabras Clave: Odontología Preventiva - Fluor - Fluoración del Agua.

# 62

OR7008

## LISOZIMA SALIVAL Y ESTADO DENTARIO EN PACIENTES VIH+.

Antonenko O, Squassi AF, Sánchez GA.

Clínica para la Atención de Pacientes de Alto Riesgo I (CLAPAR I). Facultad de Odontología. UBA.

**OBJETIVOS:** a. Determinar el nivel de lisozima en saliva total de pacientes VIH+, b. Identificar su estructura química, c. Asociar su nivel con el estado dentario. **MÉTODOS:** utilizamos un diseño caso-control. Participaron pacientes adultos de sexo masculino que no habían recibido atención odontológica durante el último año. Excluimos a pacientes con caries penetrante, pacientes con patologías no vinculadas a la infección por el VIH y/o medicados con fármacos que alteran la secreción salival. El grupo control G1 (n = 15) comprendió a pacientes VIH- y el grupo caso estuvo conformado por pacientes VIH+ asintomáticos, G2 (n = 15), y sintomáticos, G3 (n = 15) Determinamos el flujo salival no estimulado (expectoración-cronometría) y el nivel de lisozima salival (inmunodifusión radial simple). Identificamos la estructura de la enzima mediante electroforesis (SDS-PAGE). El componente C (CPOD) se tomó como índice del estado dentario. Calculamos la media y error estándar de las variables en estudio y analizamos las diferencias entre grupos (ANOVA / Student-Neuman-Keuls,  $p < 0.05$ ). La correlación entre el nivel salival de lisozima y el estado dentario se analizó a través del coeficiente de correlación de Pearson. **RESULTADOS:** Identificamos una estructura proteica de 14 KDa compatible con lisozima en los grupos en estudio. El nivel salival de lisozima (?g/mL) resultó significativamente menor ( $F_{(2,42)} = 32.48$ ,  $p < 0.00001$ ) en los grupos G3 ( $26.80 \pm 0.68$ ) y G2 ( $27.01 \pm 0.86$ ) con respecto a G1 ( $33.53 \pm 0.39$ ). El componente C fue significativamente mayor ( $F_{(2,42)} = 17.48$ ,  $p < 0.0001$ ) en los grupos G3 ( $4.40 \pm 0.34$ ) y G2 ( $4.27 \pm 0.42$ ) con respecto a G1 ( $1.87 \pm 0.27$ ). El flujo salival (mL/min) fue significativamente mayor ( $F_{(2,42)} = 18.95$ ,  $p < 0.0001$ ) en el grupo G1 ( $0.49 \pm 0.02$ ) con respecto a los grupos G2 ( $0.31 \pm 0.03$ ) y G3 ( $0.28 \pm 0.03$ ). La edad de los pacientes no resultó significativamente diferente ( $F_{(2,42)} = 3.07$ ,  $p = 0.06$ ). La correlación entre nivel de lisozima salival y componente C en el grupo G1 fue inversa, moderada en el grupo G1 ( $r = -0.71$ ) y alta en los grupos G2 ( $r = -0.85$ ) y G3 ( $r = -0.87$ ). **CONCLUSIÓN:** las alteraciones cuantitativas de la lisozima salival contribuyen a explicar la mayor prevalencia de caries en pacientes VIH+. Subsidio a Jóvenes Investigadores SAIO 2008. Subsidio UBACyT 0800.

Palabras Clave: HIV – saliva – lisozima – caries dental.



**63**

OR7009

**DETERMINACIÓN DE SEROTIPOS DE STREPTOCOCCUS MUTANS EN ESCOLARES DE VALLE HERMOSO.**

CARLETTO-KÖRBER FPM\*, GONZÁLEZ-ITTIG RE, JIMÉNEZ MG, CORNEJO LS.

Facultad de Odontología. Facultad de Ciencias Exactas Físicas y Naturales. Facultad de Ciencias Médicas. Universidad Nacional de Córdoba.

The *S. mutans* is associated with dental caries and is one of the most bacterium worldwide distributed. The cell wall of this species presents proteins that have several functions and polysaccharides that have different antigenic specificities, which allow the differentiation of four serotypes: c, e, f and k. The identification of circulating serotypes is important because they could present diverse pathogenic characteristics with different cariogenic potential. **OBJETIVO:** The aim of the present study was to determine the serotypes of *S. mutans* in children of 6 years old from the school Capitan Juan de Zavallos from Valle Hermoso (Córdoba). **MÉTODOS:** Saliva and dental plaque samples were sown on agar Mitis Salivarius for the development of bacteria. Colonies were recovered on brain heart broth and incubated for 48 hours. DNA extraction was carried out using the method of Bollet. To determine serotypes c, e and f, amplifications were performed by a multiplex type PCR. Since serotype k has the lowest frequency, only when the multiplex amplification was negative, a new PCR using specific primers for serotype k was performed. The authorities of the school and the parents of schoolchildren gave their written informed consent to participate in this investigation according to the Declaration of Helsinki. **RESULTADOS:** In the analyzed samples was detected in a greater proportion, serotype c (71.42%), then e (14.28%) and f (4.76%). We did not detect serotype k. In two children we detected simultaneously the presence of serotypes e/f (4.76%) and c/e (4.76%) in samples of dental plaque. **CONCLUSIÓN:** Our results show a pattern of distribution of serotypes of *S. mutans* similar to that observed in other populations. It also emphasizes that multiplex PCR is rapid and simple for this type of study, which are the first of its in our country.

Palabras Clave: Streptococcus mutans, genetic identification, serotype

**64**

OR7010

**CONCEPTUALIZACIONES DE SALUD/ENFERMEDAD DE ADOLESCENTES ESCOLARIZADOS DE LA CIUDAD DE CÓRDOBA.**

LUCERO MF\*, HILAS E, MONCUNILL I, BELLA M, HERRERA A, GIGENA P, AGÜERO N, CORNEJO LS.

Equipo PROCON Facultad de Odontología UNC Córdoba. Argentina

El conocimiento de las representaciones sociales construidas por los adolescentes, permitiría obtener elementos contextualizados de sus concepciones y prácticas de salud, a partir de las cuales se podrán elaborar estrategias de promoción y prevención de la salud adaptadas a las peculiaridades de la población adolescente. **OBJETIVO:** Reconocer las conceptualizaciones que sobre salud- enfermedad expresan los adolescentes de nivel secundario de la ciudad de Córdoba. **MÉTODOS:** El trabajo en terreno se concretó en las escuelas de nivel secundario IPEM n°312 Dalmacio Vélez Sarsfield y Colegio Nacional de Monserrat. Se realizaron 38 entrevistas semiestructuradas y 78 historias de vida relacionadas con el proceso de salud-enfermedad a nivel general y del componente bucal. **RESULTADOS:** Los adolescentes: \* refieren a la salud a través de la enfermedad; \* no relacionan con su salud los estados emocionales; \* reconocen la enfermedad sólo desde la perspectiva biológica; \* valoran a la enfermedad como impedimento para el desempeño de los roles sociales; \* expresan miedo frente a la enfermedad; \* relacionan alcohol, tabaco y drogas con la enfermedad; \* consultan al médico ante la presencia de la enfermedad; \* no consideran al componente bucal cuando refieren a la salud. **CONCLUSIÓN:** Los resultados ponen en evidencia la alta preeminencia que tiene la enfermedad en la conceptualización de salud construida por los adolescentes que participaron en el estudio.

Palabras Clave: adolescentes, conceptualización de salud/enfermedad, componente bucal.

# 65

OR7011

## DATOS GENETICOS Y AMBIENTALES DE PACIENTES CON FISURAS ORALES SEGÚN CONTEXTO DE ENTREVISTA.

MONCUNILL I\*, BUFFA V, SOROKIN S, BOLESINA M, BRUNOTTO M, CORNEJO LS.

1Departamento de Odontología Preventiva y Social. Departamento de Biología Bucal. Facultad de Odontología. Universidad Nacional de Córdoba.

La fisura oral es el resultado de una estrecha interacción gen-fenotipo-ambiente, por lo cual la valoración precisa de las variables resulta de gran importancia para evaluar correctamente factores de riesgo para esta patología. **OBJETIVO:** Evaluar la precisión de los datos relevados por un equipo interdisciplinario a partir de diferentes contextos en el que se realiza la entrevista de admisión del paciente. **MÉTODOS:** Se realizó un estudio transversal de 62 familias de pacientes con diagnóstico de fisura oral. Las variables genéticas, fenotípicas clínicas y ambientales se registraron en la historia clínica. Con el software GenPro-2007 se confeccionaron y compararon los genogramas familiares utilizando los datos construidos a partir de la entrevista familiar de admisión realizada en 2 contextos diferentes: A en el momento del examen clínico odontológico en la sala clínica y B en espacio ad-doc con contención emocional. Se comparó la información obtenidas en los momentos A y B con la prueba de Wilcoxon, fijando  $p < 0,05$ . **RESULTADOS:** Mediante la comparación de los genogramas se confirmó la profundidad y amplitud de la información recogida según el contexto en el que se desarrolló la entrevista, siendo la de encuadre con contención emocional la de mayor confiabilidad para la obtención de la información sobre factores de riesgo. De las variables construidas en los dos contextos de entrevista se destaca la diferencia altamente significativas en el mayor número de "antecedentes de enfermedad congénita" ( $p=0,000$ ) que los familiares de los pacientes mencionaron en las instancias de contexto menos ansiogeno. **CONCLUSION:** La comparación de la información obtenida en contextos de entrevista diferentes, permite sostener, que más allá del instrumento que se utilice, es importante considerar la manera en que se aborda la interacción con el paciente y/o su familia en una patología crónica compleja. En el caso de la fisura oral la situación emocional es muy impactante para la familia, por lo cual se plantea la necesidad de un accionar conjunto del equipo interdisciplinario para lograr validez en la información recabada, especialmente cuando se quiere construir un modelo causal multivariado que permita diseñar e implementar acciones para su prevención y terapéutica. Palabras Clave: fisuras orales- genograma familiar - encuadre de entrevista.

# 66

OR7012

## FACTORES DE RIESGO ASOCIADOS A HIPOMINERALIZACIÓN MOLAR INCISIVA.

Biondi AM, Cortese SG, Ortolani A, Argentieri A.

Cátedra de Odontología Integral Niños. FOUBA.

La denominación "hipomineralización molar incisiva" (HMI), propuesta por Weerheijm et al., en el año 2001 fue aceptada en la Reunión de la Academia Europea de Odontopediatría en Atenas, 2003, para definir una entidad clínica de etiología desconocida, que afecta exclusivamente a los primeros molares permanentes y con frecuencia a los incisivos, sin alterar la dentición primaria. **OBJETIVO:** Estimar mediante un estudio exploratorio, el riesgo relativo de algunas variables asociadas a HMI. **SUJETOS Y MÉTODOS:** La muestra se conformó con 109 niños con HMI que concurren para su atención a 4 consultorios privados de la Ciudad Autónoma de Buenos Aires de especialistas en Odontopediatría docentes de FOUBA, cuyas madres accedieron a completar una encuesta indagando sobre la historia del niño en sus 3 primeros años de vida, incluyendo los factores a analizar. El grupo control se constituyó con 109 niños sin HMI de igual sexo y año de nacimiento (Rango 1993-2002) provenientes de los mismos consultorios. Fue estimado el riesgo relativo utilizando Odds Ratio con su intervalo de confianza del 95%. **RESULTADOS:** Sólo se encontraron asociaciones positivas con infecciones respiratorias: OR= 2.88 (1.15-7.21); ingesta de leches especiales: OR= 2.16 (1.01-4.60); y administración de antiinflamatorios no esteroides: OR =2.91 (1.65-5.14). No hubo hallazgos en relación a peso de nacimiento, tiempo de amamantamiento, forma de esterilizar y calentar mamaderas, otras enfermedades y otras medicaciones. **CONCLUSION:** La etiología de la Hipomineralización molar incisiva permanece aún poco clara, observándose en este trabajo la asociación más firme con la ingesta de antiinflamatorios no esteroides. Dado la discrepancia de resultados en los diferentes estudios, es necesario continuar investigando los factores etiológicos.

Palabras Clave: factores de riesgo - hipomineralización molar incisiva.

**67**

OR7013

**CARACTERÍSTICAS CLÍNICAS Y SEVERIDAD DE HIPOMINERALIZACIÓN MOLAR INCISIVA (HMI).**Cortese SG\*, Biondi AM, Ortolani A, Argentieri A.  
Cátedra de Odontología Integral Niños. FOUBA

Actualmente la HMI tiene fuerte impacto en las necesidades de tratamiento odontopediátrico por la frecuencia y severidad de las lesiones. **OBJETIVO:** Valorar mediante un estudio descriptivo las características clínicas y severidad de las lesiones de HMI y estimar el riesgo relativo de los defectos de esmalte en molares, en relación a la presencia de opacidades en los incisivos, en niños que demandan atención en 4 consultorios privados de odontopediatras docentes de FOUBA, en la Ciudad Autónoma de Buenos Aires. **MÉTODOS:** Se incluyeron 98 niños de ambos sexos (nacidos entre 1993 y 2002) con la totalidad de los primeros molares e incisivos permanentes erupcionados que presentaban HMI. Luego de profilaxis y secado de las piezas, se realizó con luz de foco la evaluación clínica, para el registro de: caras dentarias afectadas en relación a extensión, severidad de los defectos de esmalte e hipersensibilidad. La severidad se cuantificó a través de Aspecto: Normal (0), Blanco crema (1), Amarillo marrón (2) y Pérdida de esmalte (3); Extensión: No afectada (0), < 1/3 de la cara afectada (1), hasta 2/3 (2) y > 2/3 (3) para las caras Vestibular y Lingual de incisivos y Vestibular, Lingual y Oclusal de molares. Se registró para todas las piezas como 0 la ausencia de hipersensibilidad y 1 la presencia. **RESULTADOS:** 286 molares afectados, ( $x = 2,91 \pm 1,1$ ) y 254 incisivos, ( $x = 2,59 \pm 2,41$ ). El orden de frecuencia observada fue: molares inferiores, molares superiores, incisivos centrales superiores, incisivos centrales inferiores, incisivos laterales superiores e incisivos laterales inferiores. El 80,61% presentaban 1 ó más incisivos afectados y el 41,83% presentaban afectados los 4 molares. El 44,5% de los molares afectados reportaron sensibilidad. El 41,83% de los pacientes presentaban 1 ó más piezas con lesión de grado 3. Se encontró asociación positiva de lesiones en molares con lesiones en incisivos. OR: 5,63 (4.30-7.36). **CONCLUSION:** Se observó una moderada prevalencia de lesiones severas e hipersensibilidad en molares, siendo la presencia de alteraciones en estas piezas un factor de riesgo para la de incisivos

Palabras Clave: hipomineralización molar incisiva – severidad.

**68**

OR7014

**FACTORES DE RIESGO DE MALAOCCLUSIÓN EN NIÑOS CON DENTICIÓN MIXTA TEMPRANA.**

BELLA M\*, BRUNOTTO M, BATTELLINO LJ, CORNEJO LS.

Departamento de Biología Bucal. Equipo PROCON, Facultad de Odontología. UNC

Dada la naturaleza multifactorial de la maloclusión resulta de interés reconocer los distintos factores de riesgo y las interrelaciones que pueden contribuir a la ocurrencia de la afección. **OBJETIVO:** el propósito de esta investigación fue analizar el comportamiento de factores de riesgo de maloclusión presentes en niños con dentición mixta temprana. **MÉTODOS:** Se realizó un estudio transversal en niños de  $\pm 7$  años de edad con dentición mixta temprana concurrentes a escuelas públicas provinciales de la ciudad de Córdoba. Los datos fueron procesados con el software Infostat/profesional versión 1.5 El patrón de comportamiento de las variables se exploró por Análisis de Correspondencia. Para contrastar la presencia de asociación entre variables se utilizó la prueba del  $\chi^2$ . Se valoró riesgo de maloclusión determinando el odd ratio (OR) para diferentes factores. **RESULTADOS:** El Análisis de correspondencia mostró asociación entre: maloclusión, respiración bucal, presencia de interferencias dentarias, Hábitos de Succión, Deglución disfuncional. Se observó relación significativa entre maloclusión y: presencia de caries proximales y extracciones prematuras en la dentición temporaria ( $p=0,0001$ ), OR = 3,54; IC95%(1,86; 6,72), tipo de arco primario cerrado ( $p=0,0337$ ), OR = 1,99; IC95% (1,06; 3,76), deglución disfuncional ( $p=0,0007$ ), OR = 15,53; IC95% (2,77; 86,96), respiración bucal ( $p=0,0001$ ), OR = 7,08; IC95% (2,42; 20,70), hábitos de succión ( $p=0,0002$ ), OR = 10,88; IC95% (2,77; 42,73). **CONCLUSION:** De este estudio se puede concluir que el riesgo en niños de 6-7 años de edad de presentar maloclusión está asociado a la deglución disfuncional, hábitos orales de succión, respiración bucal y a la pérdida de espacio eruptivo ocasionada por caries proximales y extracciones en la dentición primaria; como así también con la presencia de arcadas dentarias primarias cerradas y contactos dentarios prematuros. El reconocimiento de la asociación de factores de riesgo de maloclusión y la intervención temprana de los mismos resulta prioritario para contribuir al desarrollo armónico de la oclusión y proteger la salud bucal de los niños.

Palabras Clave: prevención de maloclusión, dentición mixta, hábitos deletéreos.

# 69

OR7015

## CONSUMO DE BEBIDAS Y ESTADO DENTARIO EN PREESCOLARES.

Pistochini A\* ; Pisaniak S; Marco V ; Doño R.

Carrera de Nutrición. Cátedra de Odontología Integral Niños y Adolescentes. Universidad Maimónides.

**OBJETIVO:** determinar en alumnos de un jardín de infantes el patrón de consumo de bebidas y el estado dentario. **METODO:** Sobre un total de 53 alumnos de una jardín público, 21 hombres y 32 mujeres con una edad promedio de  $3,86(\pm 0,98DS)$ , se realizó una encuesta a los padres de carácter anónimo, referida a salud general, medidas preventivas educativas y consumo de bebidas. Sobre una muestra de 26 alumnos seleccionados aleatoriamente se realizó examen dentario y se confeccionó ceod, ceos, pérdida de tejido dentario, según Smith y Knight (1984). Se realizó distribución de la frecuencia de las variables de la encuesta; media y ES de los indicadores dentarios y correlación de las variables. **RESULTADOS:** La distribución de frecuencia mostró: recibe medicamentos 9%. Los momentos de azúcar x fue de  $4,76 \pm 0,219$  El 19% recibe aplicación tópica de fluoruros, 73% usa pastas fluoradas. El 41% se cepilla 2 veces por día; .Las bebidas preferidas resultaron los jugos, 89%. El 69% gaseosas, 28% bebidas deportivas y un 19% bebidas a base de soja. El consumo antes de dormir era de un 40 %,y el 11% usaba mamadera.El ceod fue de  $3,38 \pm 0,779$ , con un componente cd de  $2,961 \pm 0,665$  y el ceos de  $5 \pm 1,708$ , con un cs de  $3,84 \pm 1,05$ . El 81% presentó pérdida de tejido dentario, principalmente o/i y Bucal. **CONCLUSION:** La escasa aplicación de medidas preventivas, los patrones de consumo de bebidas en edades tempranas y el incremento de las erosiones hace necesario implementar acciones de educación para la salud en las escuelas.

Palabras Clave: hábitos de consumo, bebidas , erosión.

# 70

OR7016

## ESTADO BUCODENTAL Y NECESIDAD DE TRATAMIENTO DE CARIES EN ESCOLARES RESIDENTES EN UN ÁREA URBANO-MARGINAL.

Klemonsks G\*;; Ward C; Bordoni N; Piovano S.

Odontología Preventiva y Comunitaria, FOUBA. Instituto de Investigaciones en Salud Pública, UBA.

**OBJETIVO:** El objetivo del presente estudio fue caracterizar el estado bucodental y las necesidades de tratamiento de caries de una población de escolares pertenecientes a una base territorial con riesgo social. **METODOS:** La muestra estuvo constituida por 168 niños y niñas de (media $\pm$ DS)  $11,4 \pm 1,2$  años de edad que concurren a 3 escuelas públicas de la localidad de Escobar. Los estudios fueron realizados en un marco de tecnología simplificada por dos investigadores calibrados dentro de los establecimientos educativos. Para caracterizar el estado bucodental se consideraron los siguientes indicadores: Flujo salival estimulado (Sreebny, 1988); nivel de Streptococcus grupo mutans en saliva estimulada (Marcantoni, 2000); presencia de biofilm de placa (IP según Silness y Loe, 1963) estado gingival (IG; según Loe y Silness, 1967) y estado dentario (ceod, ceos, CPOD, CPOS, Knutson et al, 1934). La necesidad de tratamiento se determinó con el INTCC (Bordoni, 1999). Se obtuvieron las medias y error estandar y la distribución de frecuencia de las variables analizadas. Se realizó análisis de varianza (ANOVA) y la prueba de Kruskal-Wallis para determinar diferencias entre las 3 poblaciones escolares y la prueba de Duncan como test post hoc. **RESULTADOS:** Los estudios mostraron: Flujo de saliva estimulada  $0,83 \pm 0,04$  ml/min; nivel de Streptococcus grupo mutans en saliva estimulada con lectura Dentocult:  $1,46 \pm 0,05$ . IP:  $1,48 \pm 0,04$ ; IG:  $1,29 \pm 0,04$ ; ceod:  $1,44 \pm 0,18$  con un componente c de  $1,07 \pm 0,16$ ; CPOD:  $1,84 \pm 0,17$  componente C de  $1,74 \pm 0,16$ . El 29% de los escolares se encontraron libres de caries. El 32, 74% presentó valores de INTCC = 2; el 30,95% presentaron valores de INTCC = 7. El índice de placa presentó diferencias estadísticamente significativas ( $p < 0,04$ ) entre las poblaciones de 2 de las 3 escuelas estudiadas. **CONCLUSION:** Los niveles de caries de la población estudiada fueron bajos. Sólo uno de los 28 indicadores analizados presentó diferencias estadísticamente significativas entre las poblaciones de 2 escuelas. La mayor parte de la población analizada (79,05%) mostró requerir tratamientos de baja complejidad tecnológica. UBACYT 0701.

Palabras Clave: estado bucodental; necesidad de tratamiento; escolares.

# 71

## PROMOCIÓN DE SALUD EN COMUNIDADES ESCOLARES URBANO MARGINALES.

Bella M\*, Hilas E, Moncunill I, Gigena P, Herrera A, Agüero N, Cornejo LS.  
Equipo PROCON. Facultad de Odontología. UNC.

OR7017

Las grandes ciudades han asimilado la pobreza en barrios marginales, como consecuencia de diversos factores que conllevan a la migración de la población. **OBJETIVO:** Diseñar e implementar estrategias de promoción de la salud bucal en escuelas urbano marginales de la ciudad de Córdoba que respondan al circuito de necesidades y posibilidades de cada comunidad. **MÉTODOS:** Participan del estudio niños de ambos sexos, de 5-13 años de edad que concurren a las escuelas provinciales urbano- marginales María del Tránsito Cabanillas y Profesor Miguel Luciani de la ciudad de Córdoba, sus padres y docentes. Este proyecto, en desarrollo, se lleva a cabo en cuatro etapas: Diagnóstica de las dimensiones biológicas y socioculturales relacionadas con los problemas de salud bucal. Análisis de la información obtenida. Diseño y elaboración de estrategias de promoción de la Salud Bucal contextualizadas. Implementación de las mismas. **RESULTADOS:** Los datos recogidos en el diagnóstico de las dimensiones abordadas, permitieron describir la situación y condiciones de riesgo de salud bucal, las pautas de consumo de alimentos de los niños durante su permanencia en la escuela, las representaciones y prácticas de salud general y bucal de padres y docentes. Considerando las potencialidades y posibilidades de las comunidades educativas, surgidas de la interpretación del diagnóstico y los recursos institucionales, con la modalidad de taller, se diseñaron como estrategia de promoción de salud contextualizada una jornada de sensibilización y los siguientes proyectos educativos integrados a ser incorporados al PEI: "Recetario viajero" "Conocemos nuestro cuerpo" "Construcción de un recreo con merienda saludable" . Los mismos se implementaran durante el año 2010. **CONCLUSION:** El diseño e implementación de estrategias de promoción de salud contextualizadas, superadoras del paradigma profesional tecnocrático, demanda el desarrollo de estrategias que faciliten la comprensión integral del proceso salud-enfermedad-atención, sustentadas en una propuesta teórica y metodológica que excede a las capacidades propias de las distintas disciplinas y requiere una elaboración interdisciplinaria.

Palabras Clave: promoción de salud contextualizadas- salud bucal- estrategias de promoción de salud.

# 72

## PREVALENCIA DE CARIES Y NIVELES DE S MUTANS EN PREESCOLARES URBANOS Y RURALES.

Capuano C\*, Lombardo M, Gus P, Hochstetter A, Palazzo P, Masoli C, Piovano S.  
Instituto de Investigaciones en Salud Pública-UBA. Cátedra de Odontología Preventiva y Comunitaria. Facultad de Odontología-UBA.

OR7018

**OBJETIVO:**El objetivo de este trabajo fue analizar y comparar el estado de salud dental de niños de 5 años de edad de la CABA y de Caraguatay, Misiones. **MÉTODOS:** 186 niños preescolares (edad:  $5,21 \pm 0,39$ ) fueron incluidos en el estudio. Sobre los mismos se realizó: a) Historia médica para cumplimentar los criterios de inclusión/exclusión; b) toma de saliva no estimulada; c) Índice de Placa (IP) según Silness (1964) d) examen dentario, registro documental y obtención de ceod, ceos y sus componentes. En las muestras de saliva se investigaron los niveles de Streptococcus grupo mutans según Marcantoni y col (2000). El grupo de niños fue dividido en cuatro grupos según localización geográfica. **RESULTADOS:** en la población rural se registro un ceod de  $5.44 \pm 0.41$  con un componente c de  $4.70 \pm 0.36$ . El ceos fue de  $12.14 \pm 1.20$  y el componente cs de  $9.77 \pm 0.97$ . El IP fue de  $0.89 \pm 0.05$ . La media de edad fue de  $5.20 \pm 0.41$ . El SCS fue de  $128.26 \pm 13.89$ . En la población urbana el ceos fue de  $11.76 \pm 1.43$  con un componente cs de  $9.62 \pm 1.30$ . El ceod fue de  $5.68 \pm 0.53$  y el componente c fue de  $4.82 \pm 0.49$ . El IP fue de  $0.69 \pm 0.7$ . La media de edad fue de  $5.22 \pm 0.35$ . El SCS fue de  $66.09 \pm 0.10$ . Se realizó Anova y Duncan y se encontraron diferencias significativas en: c, ceod, cs, ceos, IP y SCS entre los grupos. **CONCLUSION:** las poblaciones preescolares urbana y rural de bajo nivel socioeconómico presentan alta prevalencia de caries encontrando niveles de infección más elevados en la población rural.

Palabras Clave: prevalencia de caries, preescolares, recuento de S. Mutans.

# 73

OR7019

## RELACION ENTRE EL ESTADO DENTARIO DE NIÑOS Y PADRES CON VARIABLES SOCIODEMOGRÁFICAS Y DE ESTILO DE VIDA.

LOMBARDO M\*, FERNANDEZ C, ROSSI G, CAPUANO C.

Cátedra de Odontología Preventiva y Comunitaria. Facultad de Odontología UBA. Instituto de Investigaciones en Salud Pública-UBA.

**OBJETIVO:** El objetivo de este trabajo fue analizar el estado de salud -enfermedad dentaria en niños y sus padres y asociarlos con las características sociales, económicas, culturales y ambientales de las familias. **MÉTODOS:** Fueron incluidos en este estudio 99 niños, sus madres (n=99) y padres (n=34). Los niños con edades comprendidas entre 5 y 13 años ( $7,62 \pm 2,64$ ) asisten a una escuela rural en Guaraypo, provincia de Misiones. Sobre niños y padres se realizó: A) Examen dentario previa limpieza mecánica y determinación de ceod, ceos, CPOD, CPOS y sus componentes. B) cuestionario a madres y padres (CEPAL 2001; OPS, 2004, Siempro 2004.) **RESULTADOS:** En los niños el ceod fue de  $5,67 \pm 0,47$  con un componente c de  $5,25 \pm 0,57$  y el CPOD fue de  $2,30 \pm 0,27$  con un componente C de  $2,14 \pm 0,30$ ; el CPOD en las madres fue de  $15,96 \pm 0,65$  con un componente C de  $7,4 \pm 0,51$  y el CPOD en los padres fue de  $15,29 \pm 1,03$  con un componente C de  $7,03 \pm 0,76$ . El 48,5 % de los jefes de familia tienen trabajo y el 51,5% cursó la escolaridad primaria completa; en el 88,5 % de los hogares adultos y niños consumen gaseosas; el 18,2% de las madres no tiene sus dientes. Asociación y correlación significativa fue observada entre c, ceod, ceos con el CPOD de la madre y el CPOD del padre; el CPOD de la madre con el ingreso mensual familiar ( $P < 0,05$ ) **CONCLUSION:** Los resultados muestran (a) el componente C y c en los niños fue elevado, (b) en las madres se registró elevado componente C y pérdida de piezas dentarias. (c) Algunas asociaciones y correlaciones estudiadas resultaron significativas entre indicadores del estado bucal y factores del estilo de vida y medio social.

Palabras Clave: familia, cuestionarios, caries dental.

# 74

OR7020

## EFFECTIVIDAD DE PROGRAMAS DE ATENCION SOBRE NIÑOS INSTITUCIONALIZADOS. INFORME PRELIMINAR.

Cohen, Salomon Alberto.

Catedra Odontología Preventiva y Comunitaria, FOUBA - Inst. Investig. en Salud Pública, UBA.

**OBJETIVO:** El propósito de este trabajo fue evaluar la efectividad de tres programas de atención clínica con fuerte componente preventivo en niños, con edad en un rango de 8 a 12 años, y bajo condiciones de riesgo social. **MÉTODOS:** Sobre un total de 295 niños, con un rango de edad de 8 y 12 años, concurrentes a una institución fueron aplicados, por parte de recursos humanos no profesionales, tres programas de atención que incluían aplicación gel FFA 1,23% (G1), aplicación barniz FNa 2,26% (G2) y cepillado con pasta fluorada (F-1450 ppm), durante un período de tres años. Sobre una muestra aleatoria 86 niños, se realizó un diagnóstico dentario inicial a cargo de un investigador calibrado. Se realizaron exámenes luego de 1 y 2 años. Se determinaron las siguientes variables ceod, ceos, CPOD, CPOS y sus componentes discriminados, así como caries remineralizadas. Para cada una de las variables se determinó medidas de tendencia central y dispersión. Se analizaron las diferencias entre los grupos mediante la prueba de ANOVA para medidas repetidas. **RESULTADOS:** a) Luego de 1 año se observaron diferencias significativas entre los tres grupos para las variables CPOD ( $F=9,01$ ;  $p < 0,001$ ), CPOS ( $F=5,27$ ;  $p < 0,01$ ) y los componentes OD ( $F=9,04$ ;  $p < 0,001$ ) y OS ( $F=7,67$ ;  $p < 0,01$ ); b) Luego de 2 años se observaron diferencias significativas entre los tres grupos para las variables ceod ( $F=4,13$ ;  $p < 0,05$ ); ceos ( $F=3,62$ ;  $p < 0,05$ ); CPOD ( $F=7,71$ ;  $p < 0,01$ ); CPOS ( $F=4,25$ ;  $p < 0,05$ ) y sus componentes od ( $F=4,48$ ;  $p < 0,05$ ); os ( $F=3,60$ ;  $p < 0,32$ ); OD ( $F=9,44$ ;  $p < 0,001$ ); OS ( $F=7,53$ ;  $p < 0,01$ ); y caries remineralizadas en piezas permanentes ( $F=6,31$ ;  $p < 0,01$ ). **CONCLUSION:** Podemos concluir que existen diferencias entre programas de atención que utilizan distintas medidas.

Palabras Clave: Caries - Programas preventivos - Fluoruros.

# 75

**CALIDAD DE VIDA EN PACIENTES TRASPLANTADOS RENALES.**  
PISTOCHINI A, MASOLI C\*, PIOVANO.  
CATEDRA DE ODONTOLOGIA PREVENTIVA Y COMUNITARIA

OR7021

**OBJETIVO:** El objetivo del presente trabajo fue analizar la calidad de vida de pacientes trasplantados renales que estén recibiendo o que comiencen a recibir atención odontológica. **MÉTODOS:** Se realizó un test específico para calidad de vida basado en el KDQOL-SFTM de enfermedad renal y calidad de vida diseñado para adultos modificado para pacientes pediátricos, a 30 pacientes niños trasplantados renales concurrentes al Hospital de Pediatría "Dr. Juan P. Garrahan", divididos en 2 grupos: Grupo 1: recibe tratamiento odontológico previo; edad promedio de  $12.8 \pm 0.7$ . Grupo 2: sin tratamiento previo con edad promedio  $12.40 \pm 0.8$ . El cuestionario fue respondido por los niños y por los padres de los pacientes menores de 9 años. Se analizaron: salud general, actividad física, asistencia al colegio, aprendizaje, autonomía, relación social, dolor físico, bienestar emocional y manifestaciones bucales. Se determinó frecuencia y test de chi cuadrado. **RESULTADOS:** En el grupo 1 el 66% respondió que su enfermedad reducía el tiempo dedicado al colegio. El 86.7 % puede realizar tareas de aseo, alimentación y vestido sin asistencia. El 73% no sintió dolores en las últimas 4 semanas. El 73% manifestó estar lleno de vitalidad. El grupo 2 el 44% consideraba que su salud general era buena, el 80 se sentía mejor que hace un año, Entre el 60 y 80 % no sentía alterada sus actividades. El aprendizaje 47) consideraba aprender igual que sus compañeros. En el aseo el 67) se despeñaba solo. el 93) tenía buena relación social. **CONCLUSION:** Los pacientes trasplantados renales deberían recibir mayor asistencia social y educativa para que puedan mejorar su calidad de vida.

Palabras Clave: calidad de vida, trasplante renal.

# 76

**VALORACION DE BARNICES FLUORADOS EN CARAS OCLUSALES DE PRIMEROS MOLARES PERMANENTES RECIÉN ERUPCIONADOS.**

Verduci P\*, Cornejo LS.

OR7022

Cátedra de Operatoria Dental II A, PROCON. Facultad de Odontología. UNC

La caries dental afecta más del 90% de la población mundial. Las superficies dentarias más vulnerables son las caras oclusales de los primeros molares permanentes inferiores (1º MPI). La lesión se inicia por un desequilibrio en los procesos de desmineralización y remineralización (DES/RE) del ambiente bucal. La disponibilidad de fluoruros puede detener o revertir dicho proceso promoviendo la remineralización.

**OBJETIVO:** Valorar la eficacia preventiva de la aplicación de barnices fluorados en caras oclusales de 1º MPI recién erupcionados. **MÉTODOS:** La muestra de estudio se conformó con 48 niños de 6 a 9 años, con ambos 1º MPI erupcionados clínicamente sanos, siendo uno experimental y otro control. Se realizó un estudio de riesgo que permitió categorizar al grupo de estudio en: 0 (salud), 1 (riesgo bajo) y 2 (riesgo alto). La muestra se dividió aleatoriamente en 3 grupos, en los que se aplicó un barniz fluorado diferente: grupo A (NaFRESIN), B (FLUOR PROTECTOR) y C (TOPIC-BI). El protocolo de aplicación consistió en 3 aplicaciones con intervalos de 1 semana y una cuarta aplicación a los 6 meses de la primera. Se observaron las manifestaciones clínicas a los 12 y 18 meses de iniciado el tratamiento, considerando: S(sano), MB (Mancha Blanca), MP (mancha parda), MO (mancha oscura) y C (cavitación). Se interpretó como respuesta positiva cuando el elemento conservó el estado S, o pasó de S a MO y respuesta negativa cuando de S pasó a MB, MP o C. **RESULTADOS:** En los grupos de riesgo 0 y 1, entre el 83 y el 100% de los elementos, tanto controles como experimentales, desarrollaron respuesta positiva, en cambio en los grupos de riesgo 2, los experimentales mostraron respuesta positiva en el 96% de los casos y los controles, en un 36%. Se observaron diferencias significativas ( $p < 0,5$ ) entre los elementos control y experimental de los grupos B y C. **CONCLUSION:** La aplicación de barnices fluorados en caras oclusales estaría especialmente indicada en sujetos de alto riesgo de caries, en tanto que no sería necesario su uso cuando no hay riesgo o el riesgo es bajo. FLUOR PROTECTOR y TOPIC-BI mostraron mayor eficacia que NaFRESIN.

Palabras Clave: barnices fluorados, prevención de caries, caras oclusales.

# 77

OR7023

## ESTADO DENTARIO EN NIÑOS CON Y SIN INFECCIÓN POR EL VIH.

Palazzo P\*, Medici S, Alessandrello H, Sánchez GA, Squassi AF.

Clínica para la Atención de Pacientes de Alto Riesgo (CLAPAR I). Fac. de Odontología. UBA.

**OBJETIVO:** determinar la asociación de la depresión inmunológica, parámetros salivales y factores socioeconómicos sobre el estado dentario en pacientes pediátricos. **MÉTODOS:** empleamos un diseño caso-control. El grupo caso (G1) comprendió a 25 pacientes de ambos sexos (4 -12 años) VIH+ que no habían recibido medidas preventivas en el último año y el grupo control (G2) a 24 pacientes sin compromiso inmunológico. Excluimos a pacientes con patologías sistémicas o de glándulas salivales, no asociadas a la infección por el VIH o medicados con fármacos que alteran la secreción salival. Determinamos la sumatoria C (CPOD) + c (ceod), tasa de flujo salival no estimulada (expectoración-cronometría), el pH (potenciometría), la capacidad buffer (titulación) y el recuento de S grupo Mutans (Gold *et al.*, 1973). Las necesidades básicas insatisfechas, NBI (INDEC, 1984), se tomaron como índice del riesgo social. Calculamos la media y ES de las variables para cada grupo. Analizamos las diferencias mediante el test t de Student, excepto las NBI que se analizaron mediante  $\chi^2$  ( $p < 0.05$ ). **RESULTADOS:** La sumatoria C + c fue significativamente mayor ( $t_{(47)} = 2.10$ ,  $p = 0.04$ ) en el G1 ( $13.08 \pm 0.60$  vs.  $9.70 \pm 1.60$ ), mientras que la tasa de flujo salival resultó significativamente menor ( $0.32 \pm 0.02$  vs.  $0.39 \pm 0.02$  mL/min,  $t_{(39)} = 2.35$ ,  $p = 0.024$ ). La capacidad buffer, pH salival y recuento de S grupo Mutans no resultaron significativamente diferentes. Las NBI indicaron riesgo social en ambos grupos. El ingreso mensual no resultó significativamente diferente ( $\chi^2 = 0.76$ ,  $p = 0.38$ ) y fue inferior a \$ 3.600. El tipo de vivienda correspondió a viviendas de material y no fue significativamente diferente ( $\chi^2 = 0.005$ ,  $p = 0.95$ ). El número de personas por habitación no resultó significativamente diferente ( $t_{(47)} = 0.40$ ,  $p = 0.69$ ). Ambos grupos evidenciaron la carencia de un servicio (agua-gas-luz) en igual proporción ( $\chi^2 = 0.035$ ,  $p = 0.85$ ). El nivel de escolaridad de los padres evidenció primaria ( $\chi^2 = 0.080$ ,  $p = 0.77$ ) y secundaria ( $\chi^2 = 0.54$ ,  $p = 0.46$ ) incompleta en proporción no significativamente diferente entre grupos. **CONCLUSION:** la mayor prevalencia de caries en pacientes pediátricos VIH+ se observa vinculada en mayor medida a factores de riesgo biológico antes que a factores de riesgo social. Subsidio a Jóvenes Investigadores SAIO 2007.

Palabras Clave: caries dental – HIV – riesgo social.

# 78

PO7001

## PREVALENCIA DE LESIONES TRAUMÁTICAS DEL SISTEMA ESTOMATOGNÁTICO EN NIÑOS. ESTUDIO PRELIMINAR.

Caro J \*<sup>1</sup>; Márquez F. <sup>1</sup>; Delgado A.M. <sup>1</sup>, Belluni C. <sup>1</sup>; Páez R<sup>2</sup>, D'Urso M<sup>3</sup>.

Gabinete de Investigación Hospital del Niño Jesús 1. Cat. De odontología Preventiva Facultad de Odontología UNT<sup>2</sup>. Cat. De Bioestadística Facultad de Medicina UNT<sup>3</sup>.

**OBJETIVO:** Los accidentes causan una gran cantidad de víctimas entre los niños y adolescentes de nuestro país. Este fenómeno debe ser considerado desde el punto de vista epidemiológico como una enfermedad, y como tal susceptible de ser prevenida. Estudiar la prevalencia de lesiones traumáticas del sistema estomatognático en niños que acudieron al Servicio de Odontología del Hospital del Niño Jesús. **MÉTODOS:** El diseño fue descriptivo de corte transversal. El grupo estuvo constituido por la Historias Clínicas de 100 pacientes que concurren al Servicio durante el Periodo Enero - Agosto de 2009. Se relevó edad, sexo, tipo de tejido afectado y de lesión, tratamiento realizado, medicación prescrita, sector dentario afectado, y obra social. Los accidentes fueron categorizados en: a) en la casa; b) en la calle; c) en la escuela (SAP, 2001). Se realizó un análisis descriptivo de las variables y los datos fueron analizados por el test de chi cuadrado. **RESULTADOS:** El 68% de los pacientes eran de sexo masculino, con un rango de edad entre 0 - 14 años, divididos en Grupo I: 0-5 años, 57%; Grupo II: 6-10 años, 25%; Grupo III: 11-15 años 18%. Las lesiones relevadas fueron 1% articular, 2% óseas, 19% dentarias (34 elementos temporarios y 23 permanentes), 31% tejido de sostén, 36% tejidos blandos y 11% combinadas.. El sector de la arcada más afectado fue el antero superior en un 96%. El 55% (55) de las lesiones fue en la casa, el 23% (23) en la calle y en la escuela el 22%(22), este tipo de accidente fue mayor en el mes de junio. El 21% de los niños accidentados pertenecían al sub-sector de obras sociales. Se encontró asociación estadísticamente significativa entre el tipo de accidente con la edad y con la dentición.  $p < 0.0001$  test de chi cuadrado. **CONCLUSION:** En este estudio se encontró una mayor prevalencia de lesiones en los niños del grupo I. En general fue más afectado el sector antero-superior y los tejidos blandos.

Palabras Clave: Odontopediatría-accidentes-sistema estomatognático.



# 79

PO7002

## RELACION ENTRE HIGIENE Y PATOLOGIA BUCAL EN PACIENTES HOSPITALIZADOS.

Gonzalez N\*, Rubio MC, Lewin P, Nicolosi L.  
Cátedra de Patología y Clínica Buco-dental, FOUBA - Hospital Español.

**OBJETIVO:** Estimar la relación entre la higiene bucal y la prevalencia de patologías dentales, gingivo-periodontales y presencia de biofilm en pacientes adultos hospitalizados. **METODO:** Se evaluaron 65 pacientes adultos internados en sala de Clínica Médica del Hospital Español que presentaron como mínimo una pieza dentaria en cada cuadrante de la cavidad bucal. Se excluyeron 12 pacientes por edentulismo. Los 53 restantes fueron 64% mujeres y 36% hombres, media de edad  $72,69 \pm 14$  años (IC 68,38 - 77). En todos los pacientes se confeccionó historia clínica- odontológica evaluando: estado dental y gingivo-periodontal, frecuencia de higiene, concurrencia al odontólogo y educación para la salud. La historia odontológica incluyó odontograma y se evaluaron los siguientes parámetros: Índice de Placa (IP) Silness-Löe, Índice Gingival (IG) Löe-Silness, Índice de Hemorragia Papilar Muhlemann (IH), índice CPOD, CPOS y sus componentes. **RESULTADOS:** La mayoría de los pacientes (83%) cepillaban sus dientes diariamente. El 75% lo hacía en dos o más oportunidades; 71,2% utilizaban pasta dental; 3.7% colutorios. Sólo 2.27% utilizaba elemento interdentario. El 79.62% concurría al odontólogo ante la presencia de una patología bucal, pero no preventivamente. El 72% refirió haber recibido información profesional de educación para la salud bucal. El 9% presentó lesiones estomatológicas. El índice CPOD total fue 14.24 (IC 12.66-15.81): C = 2.02 (IC 1.37-2.67), P = 9.75 (IC 8.19-11.3) y O = 2.49 (IC 1.59-3.39), el IP = 2.43 (IC 2.23-2.63), IG 1.61 (IC 1.46-1.76), IH 0.08 (IC 0,01-0.15). **CONCLUSION:** Se observó una alta frecuencia de cepillado y elevados referentes de educación para la salud. Sin embargo la higiene bucal no fue efectiva, hecho reflejado en altos valores de IP sumado a la baja frecuencia en el uso de elementos interdetales y colutorios. La prevalencia de caries activas fue relativamente baja, pero se observó gran ausencia de piezas dentarias. No se observaron signos objetivos de inflamación gingival reflejados por valores de IG moderado y IH bajo.

Palabras Clave: Paciente hospitalizado - salud bucal - higiene dental.

# 80

PO7003

## PREVALENCIA DE ESTOMATITIS SUBPROTÉSICA EN PACIENTES CON PRÓTESIS REMOVIBLES MAYORES DE 60 AÑOS DE LA CIUDAD DE CÓRDOBA.

Isla C1, Panero M\* 1.  
1Departamento de Rehabilitación Bucal Facultad de Odontología Universidad Nacional de Córdoba.

El conocimiento de la prevalencia de estomatitis subprotésica en sujetos portadores de prótesis dental removible permitirá establecer acciones preventivas curativas adecuadas. El objetivo de este estudio fue determinar la frecuencia de estomatitis subprotésica en adultos mayores de 60 años portadores de prótesis dental removible. **METODOS:** Se realizó un estudio descriptivo en una población de n= 66 de ambos sexos, portadores de prótesis dental removibles, que asistieron al consultorio Odontológico de la Mutual de la Asociación Española de Socorros Mutuos de la ciudad de Córdoba, Argentina, durante un periodo de dos años. Se realizó la exploración clínica en forma visual utilizando espejos bucales planos nº 5, sin aumento, gasa, lámpara dental. Se evaluó la prótesis dental considerando adaptación, ajuste y oclusión. Después de retirada la prótesis se examinó la mucosa palatina y se determinó la presencia de estomatitis subprotésica. **RESULTADOS:** El 41% de la muestra presentó estomatitis subprotésica, la cual fue encontrada con mayor frecuencia en el género femenino, en uso continuo de las mismas, en prótesis mal adaptadas, en prótesis de acrílico. Se destaca la mala higiene de la prótesis. **CONCLUSION:** Se concluye que la estomatitis subprotésica (ESP) disminuye según aumenta la edad. Siendo mayor la aparición de la misma en personas portadores de prótesis parcial con respecto a los pacientes portadores de prótesis total removible. Predominio de ESP grado I.

Palabras Clave: prótesis dental removible- estomatitis subprotésica-prevalencia.

# 81

PO7004

## CONOCIMIENTO Y PRÁCTICAS SOBRE SALUD BUCAL EN ESCOLARES DE LA CIUDAD DE CORDOBA.

EVJANIAN, G, SÁNCHEZ DAGUM E, SÁNCHEZ DAGUM M, TARIFA S\*, ULLOQUE J. LESCANO DE FERRER, A.

Catedras de Odontopediatría y de Odontología Preventiva. Facultad de Odontología. Universidad Nacional de Córdoba.

**OBJETIVO:** Analizar el conocimiento y su relación con la práctica sobre salud bucal en un grupo de escolares primarios en situación de vulnerabilidad social de la ciudad de Córdoba. **MÉTODOS:** Se relevaron 75 niños de 1º a 6º grado de la escuela Gobernador Sabattini de Barrio Yapeyú, Córdoba, distribuidos en dos grupos: 1er Ciclo: 1- 3º grado (n=35) y 2do. Ciclo: 4- 6º grado (n=40). Se aplicó encuesta a preguntas cerradas, de opción múltiple sobre conocimientos y prácticas en relación a hábitos dietéticos, higiene, control profesional; enseñanza del cuidado bucal y sentimiento hacia la consulta profesional. Los datos fueron descriptos por su distribución de frecuencia absoluta y relativa. **RESULTADOS:** Es alto el porcentaje de niños de ambos ciclos que conoce la frecuencia de consumo de Hidratos de Carbono compatible con salud bucal, pero la práctica se encuentra distanciada de dicho conocimiento. Es bajo el porcentaje de niños (8.2%) que expresa "no hace falta visitar al odontólogo," en la práctica un 67.29% nunca visitó al odontólogo. El rol del odontólogo se visualizó vinculado con tratamiento y extracciones con un porcentaje mayor en el 1º ciclo: 75% y 65% en el 2º ciclo. El 90% de los niños de ambos ciclos relató que la frecuencia de cepillado debe ser diaria, pero sólo el 60% lo realiza. Es notable como los encuestados de ambos grupos que relacionan la enseñanza del cuidado de la salud bucal con los padres y escasamente con el docente. **CONCLUSION:** Al contrastar las variables en estudio, encontramos diferencias que manifiestan altos niveles de conocimiento específico y bajos niveles de prácticas saludables, lo cual presenta un desafío a la hora de pensar acciones educativas que puedan vincular más eficientemente lo que los alumnos han internalizado como valores positivos de cuidados de la salud bucal, con las respectivas prácticas en la vida cotidiana.

Palabras Clave: Salud -Escolares- Conocimientos - Práctica.

# 82

PO7005

## PERCEPCIONES Y ACTITUDES ACERCA DE LA SALUD BUCAL EN COMUNIDADES DEL DEPARTAMENTO DE YAVI, JUJUY. ESTUDIO PRELIMINAR.

Peñaloza M<sup>1\*</sup>, Suayter I<sup>2</sup>, Alavar M<sup>1</sup>, Cruz, S<sup>1</sup>, Juárez, D<sup>1</sup>, Delgado A. M.<sup>1</sup>.

Hospital Dr. Jorge Uro, La Quiaca, Jujuy<sup>1</sup>, Cat. Trabajo Social Comunitario Facultad de Filosofía y letras UNT<sup>2</sup>.

**OBJETIVO:** Conocer las percepciones y actitudes en relación con la salud bucal de escolares, docentes y miembros de la Comunidad de la Localidad de Cangrejillos, Departamento de Yavi, Jujuy. **MÉTODOS:** se trabajó desde el paradigma cualitativo con un diseño interpretativo. La técnica empleada fue el Diferencial Semántico (Osgood, 1957) como procedimiento destinado a medir la significación que tienen distintos hechos, situaciones, percepciones y actitudes de la Comunidad a investigar. Se procedió de la siguiente manera: 1) se buscó un elenco de conceptos cuyos significados connotativos se consideraron más oportuno conocer acerca de la salud bucal ("que opinas sobre el cuidado de tus dientes") 2) se determinó que escalas de adjetivos bipolares resultarían más aptas y relevantes para el estudio propuesto, categorizadas en 3 dimensiones: conocimientos, valores y cualificación, a partir de una escala de 5 grados. Además se relevó edad, sexo y ocupación en los miembros de la Comunidad. Los resultados se basaron en pruebas bilaterales con un nivel de significación de 0.05 y se analizó por la Prueba Z de comparación de proporciones. **RESULTADOS:** se aplicó el instrumento a 77 personas de la Comunidad de Cangrejillo, (27 % de la población) con un rango de edad entre 18-79 años; personal de la escuela: 12, de ambos sexos y 53 escolares, se excluyó a los niños de Jardín de Infantes y 1º inferior. En la Comunidad hay una mayor proporción de mujeres que tuvieron una percepción positiva ("coraje"; "sin dolor") en la dimensión valores. Se encontró diferencias porcentuales estadísticamente significativas entre Comunidad y personal de la escuela en la dimensión cualificación ("lejos /cerca"; "muerte/ vida") y en la dimensión valores ("miedo/ coraje"). **CONCLUSION:** Este estudio reveló, como significativo la percepción de la muerte en la salud bucal y ésta considerada una enfermedad. En lo que respecta a la accesibilidad se pondera "lejos"; "caro", "complejo" y se recurre al "médico casero" a pesar de tener cobertura social. Subsidiado por SACyT.

Palabras Clave: diferencial semántico - percepciones - salud bucal.

# 83

## PREVALENCIA DEL USO DE PIERCING.

Ferrari L., Sebelli P\*.

FOUBA Cátedra de Odontología Integral Niños.

PO7006

El piercing es una práctica habitual en adolescentes cada vez más jóvenes identificándose también en la actualidad en esta comunidad otras conductas de riesgo como consumo de alcohol, tabaco y droga. **OBJETIVO:** 1) Estimar la prevalencia del uso de piercings y la localización de las perforaciones en alumnos pertenecientes a una escuela pública secundaria de CABA. 2) Relacionar el uso de Piercing con otras conductas de riesgo. **MÉTODOS:** Se utilizaron como instrumento de recolección de datos, 451 encuestas anónimas de carácter voluntario realizadas por dos docentes de la Cátedra Odontología Integral Niños de FOUBA en una escuela de CABA a alumnos de 13 a 15 años de edad durante los meses de mayo y junio del año 2009. La información se ingresó a una base de datos para el análisis de las siguientes variables: edad, sexo, uso de piercing, ubicación, información previa, consentimiento familiar, consumo de alcohol, tabaco, drogas y experiencias de intoxicación por alcohol. Se formaron dos grupos: G1 los portadores de piercing (N54) y GII (N397) para los no portadores. Se calculó el cociente de probabilidad (odds ratio) con intervalos de confianza de 95%. **RESULTADOS:** La edad media de la muestra fue 14±1 años, perteneciendo el 48,23% a sexo femenino.. La prevalencia de los piercings fue de 18,51% (G1) siendo el 73,32% de sexo femenino. Con respecto a la ubicación el 18,8% era peribucal, localizándose el 70% en el labio. El 63,63% recibió alguna información (no profesional) previa a la perforación. El 87,28 % realizaron la perforación sin consentimiento de un adulto. En relación a consumo de alcohol, correspondió a G1 un 88,88% contra 64,98% del G2 (OR 4.3 IC 95%=1,79-10,32); intoxicación etílica en G1 59,27% y para G2 44,08% (OR= 1,84 IC95% 1,03-3,28). Consumo habitual de droga 42,59% para G1 y 21,41% en G2(OR=2,52 IC95% 1,39-4,56). **CONCLUSION:** En esta población la prevalencia del uso de piercing es baja, siendo su localización más frecuente en el labio. Los estudiantes portadores de piercing tuvieron (en promedio) un odds de 4,3 para consumo de alcohol, de 1,84 para intoxicación etílica y de 2,52 para consumo habitual de droga, respecto de los controles, siendo todos ellos significativos.

Palabras Clave: piercing adolescentes conductas de riesgo.

# 84

## EL SISTEMA DE SALUD BUCAL LOCAL/REGIONAL Y SU RELACIÓN CON EL CAMPO SALUD / ENFERMEDAD/ ATENCIÓN EN LOS GRUPOS TOBAS QOM ASENTADOS EN LOS PUMITAS (ROSARIO).

Azcona, MS\*; Carames, R.; Carracedo, E; Carbó L.

Cátedras de Odontología Social y Farmacología FOUNR.

PO7007

Siguiendo con la línea de investigaciones que considera el análisis de diversos aspectos estructurales institucionales de la práctica odontológica en ámbitos de pobreza urbana, incluyendo: sistema de atención, práctica médico-odontológica hegemónica y las lógicas internas de los procesos salud/enfermedad/atención llevadas a cabo por los conjuntos sociales. Se realiza un avance de investigación, manteniendo un enfoque interdisciplinario, que incluye perspectivas tanto biológicas como sociales. **OBJETIVO:** explicar la calidad de los contactos con el sistema de salud bucal local/regional y sus consecuencias en el desarrollo autogestivo. **MÉTODOS:** Se realizaron entrevistas semiestructuradas a interlocutores de etnia Toba, un total de 12 miembros: 7 del centro comunitario "QADHUUQTE" y 5 de la comisión de salud "NA'MQ'OM". Las entrevistas fueron analizadas cualitativamente por ejes temáticos. **RESULTADOS:** Los datos obtenidos fueron: importancia de la dificultad de acceso a los centros de atención (mediana y alta complejidad ubicados por fuera del barrio), poca /mala información por parte de los dispensarios locales sobre el proceso salud/enfermedad/atención, con relación a las características propias de la cultura Toba y de las pautas de interacción social que ellas generan, discriminación por parte de la sociedad de contacto. Falta de comunicación con profesionales. **CONCLUSION:** El encuentro que genera este espacio de labor comunitario en el marco de los modelos que sustentan las políticas públicas de salud; ha conformado en esta comunidad fuertes procesos autogestivos en salud.

Palabras Clave: Salud/enfermedad, Tobas Qom, Campo de salud.

# 85

PO7008

## PROGRAMA INCREMENTAL DE SALUD BUCAL PARA NIÑOS DE ESCUELAS RURALES EN LOS DEPARTAMENTOS DE TUPUNGATO Y LUJÁN DE CUYO EN LA PROVINCIA DE MENDOZA.

GRILLI S\*, ZABALA R., ALDAO S., BORJAS I., MARTÍN L., ARAYA M., RIZZO P., YELACHICH M., MORAN M., PONCHÓN M., LOPEZ S.  
CLÍNICA PREVENTIVA I Y II F.O. U.N. DE CUYO.

La Asignaturas de Clínica Preventiva I y II desarrollará un Programa Incremental para niños de escuelas rurales en los departamentos de Tupungato y Luján de Cuyo en la Provincia de Mendoza.

**OBJETIVOS:** Promover acciones mediante las cuales los integrantes de la comunidad educativa escolar adquieran conocimientos básicos de auto cuidado. Mantener y recuperar el estado de salud de la comunidad escolar seleccionada. Formar a los docentes y padres para que actúen como agentes multiplicadores en salud. Fomentar la acción coordinada entre el Sector Público y el Sector Educativo. Programar la Atención para lograr altas básicas en la comunidad escolar. **MÉTODOS:** 1-Capacitación del RRHH docente y alumnos de la Facultad de Odontología, para la recolección de datos epidemiológicos. 2-Realización de acciones de promoción de la Salud en la Escuela para docentes y padres. 3-Intervención asistencial en el primer nivel de atención y derivación al Centro de Salud con influencia en la zona de la escuela. 4-Debido a la característica de incremental de este programa en el primer año se trabajará con los niños de 1º grado y 7º grado, en el segundo año con los niños de 1º y 7º y mantener el control de los alumnos de 2º grado y así sucesivamente hasta lograr tener toda la escuela bajo programa. **RESULTADOS:** mediante la instrumentación de este programa esperamos devolver el estado de salud bucal a los niños de la comunidad escolar seleccionada, que la comunidad logre acciones de auto cuidado y se conviertan en agentes multiplicadores de salud en general. **CONCLUSION:** de la aplicación de este programa en conjunto con todas las Asignaturas de Odontología Preventiva de la Facultad de Odontología se logrará formalizar acciones que tienen que ver con el perfil profesional en lo que respecta a su formación, identificación y búsqueda de soluciones mediante la programación de actividades que conlleven a obtener soluciones a los problemas de las distintas comunidades.

Palabras Clave: incremental- autocuidado- comunidad.

# 86

PO7009

## EFFECTO DE UN PROGRAMA DE SALUD BUCAL SOBRE LA PREVALENCIA DE CARIES EN NIÑOS ENTRE 6-36 MESES DE EDAD EN CORRIENTES".

Galiana A\*, Martinez S, Discaciati S, Elizondo M, Lucas G.  
FONUNE - Cátedra de Odontopediatría- CAPS/ SAPS (Corrientes).

**OBJETIVO:** identificar los factores de riesgo asociados a la Caries de Aparición Temprana, determinar la prevalencia de caries en niños de corta edad (6-36 meses) bajo un programa de educación para la salud.

**MÉTODOS:** El estudio fue realizado con una población inicial de 104 mujeres embarazadas concurrentes a centros de salud de la ciudad de Corrientes con distinta distribución geográfica. A todas se les realizó: encuesta (con información acerca de aspectos sociales, económicos y de comportamiento respecto a la salud bucal); historia clínica (HC) y examen buco dental. Posteriormente se dividieron en 2 grupos: un grupo experimental (n=30), que recibió un programa de Educación para la Salud: 7 charlas, confección de HC del niño y controles buco-dentales periódicos cada 6 meses; y un grupo control (n=38) al que solo se realizó HC del niño y controles periódicos, sin recibir el programa de educación para la salud. **RESULTADOS:** La muestra final estuvo compuesta por 68 madres con edad promedio de 24.4 años; el 84% de ellas de bajo nivel socio económico y de instrucción; 37 % había asistido para control odontológico durante el embarazo y 53 % había recibido alguna vez información acerca de los cuidados de salud bucal en su niño. La prevalencia de caries en madres de niños del grupo experimental fue del 50% y 70% en el grupo control. Los niños que recibieron educación para la salud presentaron una prevalencia de caries 7.8 %, en tanto que el grupo de niños sin programa presentó 60% de prevalencia. **CONCLUSION:** En ambos grupos la prevalencia de caries en las madres fue elevada, 50 % en el grupo experimental y 70 % en el grupo control, asociándose ésta como un factor de alto riesgo para la salud bucal del niño; se identificaron otros factores de riesgo como: bajo nivel socioeconómico, pobre nivel instrucción de la madre y baja frecuencia de cepillado dental en el niño. La prevalencia de caries en los niños que no recibieron el programa de educación para la salud fue del 60%, mientras que en los niños bajo programa fue de 7.8 %.

Palabras Clave: Educación, embarazadas, socioeconómico.

# 87

## EVALUACIÓN DE LA ADHERENCIA DE CANDIDA EN ALABRES DE ORTODONCIA.

Brusca MI\*, van Tooren V, Esposito N, Rosa AC.

Catedra de Microbiología.Facultad de Odontología, Universidad de Buenos Aires.

PO8001

El uso de aparatología ortodóncica contribuye a alteraciones gingivo-periodontales y cariogénicas al modificar la microbiota bucal. Numerosos estudios clínicos han demostrado que los pacientes con tratamiento de ortodoncia son más susceptibles a la enfermedad periodontal y a las manchas blancas (66-70). La causa, según algunos autores, radicaría en que los aditamentos ortodóncicos funcionarían como "atrape o trampa" en la retención de microorganismos. **OBJETIVO:** en este trabajo se definió la capacidad de diferentes aditamentos ortodóncicos (AO) para modificar a adherencia y crecimiento de los microorganismos.**MÉTODOS:** se 2 tipos de alambres y Candida albicans y Candida dubliniensis. Las muestras fueron colocadas en frascos tipo Penicilina y en tubos de ensayo conteniendo medio basal con 20% de sacarosa y se inocularon los mismos con la suspensión microbiana. AO fueron incubadas a 37 ° C durante 48 horas, luego se removieron los materiales. El sobrenadante se removió de los tubos y se contaron las células adheridas al vidrio y se estudiaron AO por microscopía electrónica **RESULTADOS:** La adherencia de Candida albicans aumentó en los alambres trenzados.Por microscopía electrónica se demostró que la adherencia variaba dependiendo de los materiales, mayor en el alambre Twist Flex. **CONCLUSION:** los aditamentos ortodóncicos modifican la capacidad de fijación microbiana a un sustrato inanimado, actuando como posibles reservorios y fuente de infección.

Palabras Clave: alambres,ortodoncia, Candida.

# 88

## SENOS MAXILARES PROSIDENTES. DESARROLLO DE UNA NUEVA TÉCNICA PARA EL CIERRE DE ESPACIOS CON MOVIMIENTOS ORTODÓNCICOS. ESTUDIO PRELIMINAR.

PO8002

GELOS, C\*. BASS PLUER, A.  
Fundación Creo

Los movimientos ortodóncicos de elementos dentarios vecinos a senos maxilares neumatizados se limitarán solo a sus porciones coronarias quedando sus raíces inclinadas hacia distal o mesial debido a la interposición sinusal. El cierre del espacio y la verticalización de dichas raíces solo se lograría alejando la porción de seno que invade el espacio edéntulo. **OBJETIVOS:** Evaluar si el levantamiento del piso de senos maxilares neumatizados permite cerrar el espacio edéntulo a través de la mesialización y/o distalamiento de los elementos contiguos a la brecha. **METODO:** En este trabajo se tomaron pacientes de ambos sexos (n=15) entre 25 y 45 años de edad con pérdida y/o agenesias de elementos dentarios superiores relacionados con el seno maxilar y cuya ausencia hubiera generado el descenso del mismo. A cada paciente se le solicitaron teleradiografía de perfil craneal y ortopantomografía, se les tomaron impresiones y se confeccionaron modelos de yeso. Se realizaron también fotos ortodóncicas y específicas de la zona. Se inició el tratamiento ortodóncico, lográndose nivelación, alineación, desrotación de todos los elemento a través de arcos de níquel titanio calibres 014 y 018. Luego se procedió al cierre de espacio colocando previamente arco de 018 acero. Posteriormente se solicitaron TAC y radiografías periapicales para ver la salud de los senos maxilares, localización y planificación de la cirugía La misma consistió en una osteotomía de fenestración incompleta que transformó por elevación, el segmento óseo delimitado por ella en un nuevo suelo del seno maxilar elevado. Se colocó un tornillo que es retirado a los 15 días, momento en el cual se comienza con la tracción de elementos contiguos a la brecha. Una vez cerrado el espacio se procede a la paralelización de las raíces. **RESULTADOS:** Se realizaron 13 cirugías lográndose, al momento, el cierre completo y paralelización de raíces en 6 casos, en 5 casos se completó el cierre de espacio y está en proceso de paralelización de raíces y en 2 casos se está cerrando espacio. **CONCLUSION:** La elevación de piso de senos maxilares para lograr cerrar un espacio edéntulo podría constituirse en un recurso ortodóncico pertinente.

Palabras Clave: cierre de espacios, elevación de piso de seno maxilar, paralelizacion de raices.

# 89

PO8003

## EFFECTO DE LA POSICIÓN Y MOMENTO DE ACTIVACIÓN DE MINI-IMPLANTES DE USO ORTODÓNCICO EN EL REGISTRO DE TORQUE DE REMOCIÓN.

Piacenza A\*, Peralta G, Rocamundi M, Bass Puer A.

Cátedra Integral Niños y Adolescentes "B" - Area Ortodoncia - Facultad de Odontología (UNC) - Fundación CREO.

**OBJETIVO:** El propósito del presente estudio fue establecer el Torque de Remoción de mini-implantes de uso ortodóncico de acuerdo a la posición de los mismos y a su momento de activación. **MÉTODOS:** Se utilizaron conejos machos, n=25, a los cuales se les implantaron dos microtornillos en cada tibia (derechas experimentales, izquierdas control), con un intervalo de seis semanas. Los segundos mini-implantes se colocaron con inclinación a favor de la fuerza aplicada (-20° - Grupo I), perpendiculares (90° - Grupo II) y con inclinación contraria a la fuerza aplicada (30° - Grupo III), activándose de manera inmediata los ubicados en las tibias derechas (experimentales). Las tibias izquierdas fueron utilizadas como controles. Todos los animales de experimentación fueron sacrificados seis semanas después. Se retiraron los microimplantes de las tibias para su estudio al microscopio electrónico de barrido (MEB) y se midió el Torque de Remoción de los mismos con un torquímetro. **RESULTADOS:** Los microimplantes experimentales inclinados a -20° (4,3 N) mostraron una resistencia al retiro significativamente menor que los microimplantes de activación inmediata y los microimplantes controles (p<0,05), mientras que el Torque de Remoción de los microtornillos experimentales de 90° (11,3 N) y 30° (9,3 N) no arrojaron diferencias estadísticamente significativas con los controles y los experimentales de activación tardía (p>0,05). **CONCLUSION:** El Torque de Remoción es menor en mini-implantes inclinados a favor de la fuerza aplicada, con lo cual aumenta el riesgo del desplazamiento fuera del hueso luego de su activación.

Palabras Clave: Mini-implantes, Torque de Remoción, Oseointegración.

# 90

PO8004

## ESTUDIO COMPARATIVO DEL COMPORTAMIENTO DE LOS ARCO TERMOACTIVADOS DE 0,014 DE DIFERENTES MARCAS COMERCIALES.

PEDROSO R L, MORATA M, PEREZ BAZAN M E\*, POLITI MATTAR C, AVELLANEDA R A, PEDROSO L

UNIVERSIDAD NACIONAL DE TUCUMAN. FACULTAD DE ODONTOLOGIA.

Desde los inicios de la terapéutica ortodoncia se usaron fuerzas para la movilización de piezas dentarias, basadas en la transmisión de la energía a través de arcos fabricados con metales de diferentes aleaciones. Actualmente existen arcos de gran elasticidad que ejercen fuerzas livianas, son los termoactivados de niti y de niti cobre. **OBJETIVO:** El objetivo de este trabajo es comprobar si los arcos 0.014 súper elásticos de distintas marcas comerciales generan fuerzas similares o no en diferentes temperaturas en un medio líquido. **MÉTODOS:** Sobre modelo de acrílico se cementó brackets en todas las piezas dentarias y bandas en los 1eros y 2dos molares (técnica de Arco Recto). Se instalaron arcos de nitinol y de niticobre súper elásticos con ligaduras de alambre de 0,20, dicho modelo se fijó en una cuba de acero, a la cual se incorporó el soporte móvil del dinamómetro y un termómetro digital. Se sacó un bracket del elemento 21 donde se realizaron marcas milimetradas que indican la deflexión de 2mm del arco, partiendo con el dinamómetro en 0 se introdujo el líquido y se midió las fuerzas generadas por cada arco en distintas temperaturas. **RESULTADOS:** Los datos de las mediciones (variable dependiente) hechas entre las diferentes marcas (variable independiente) (Sentalloy, ORJ, 3M, Ni-Ti-Cu) fueron analizado, con el test no paramétrico de Kruskal Wallis, no encontrándose diferencias significativas a las temperaturas de 60°, 50°, 37° y 20°. P>0,05. **CONCLUSION:** Si bien observamos una diferencia en el comportamiento de los arcos de Ni-Ti-Cu, todos los alambres de 0,014 estudiados, tienen una variación de fuerzas con los cambios térmicos similares entre sí, lo cual es muy importante en el momento de elegir un arco superelástico en el tratamiento ortodoncia. Trabajo subsidiado por el Consejo de Investigación de la Universidad Nacional de Tucumán. C.I.U.N.T.

Palabras Clave: Arcos Termoactivos. Superelasticidad. Arcos de Nitinol.

# 91

PO8005

## UTILIZACIÓN DE LA PEDIGRAFÍA COMO MÉTODO DE DIAGNÓSTICO EN PACIENTES CON ALTERACIONES DENTOSQUELETALES.

Di Bártolo J\*, Grosso M, Stranieri G, Kremer G, Chiavaro M, Giannunzio G.

Centro Especializado en Ortodoncia y Cirugía Maxilofacial - Cát. de Cirugía Maxilofacial y Ortodoncia III,

Los pacientes con anomalías dentoalveolares presentan conjuntamente alteraciones a nivel postural. **OBJETIVO:** En este estudio preliminar el objetivo fue comparar la relación existente entre postura y dichas anomalías para correlacionar objetivamente ambas alteraciones y determinar el uso de la pedigrafía como método confiable de diagnóstico. **MÉTODOS:** La metodología empleada en este estudio incluyó una población de 30 pacientes en etapa prequirúrgica, con anomalías dentoalveolares, distribuidos en grupos (Grupo 1 Clase II esquelética, grupo 2 Clase III esquelética, grupo 3 Clase II esquelética con asimetría, grupo 4 Clase III esquelética con asimetría) y género, femenino y masculino. En los registros pedigráficos se evaluaron: la fuerza de apoyo, derecha o izquierda, el número de apoyos, el grado de apoyo (1, 2 o 3) y se determinó el predominio de pie cavo o valgo. **RESULTADOS:** Los resultados mostraron en los pacientes del grupo 3 que la laterodesviación concuerda en un 100 % con la fuerza de mayor apoyo; en el grupo 4 existe coincidencia en un 61,5 % de los casos evaluados. Con respecto al número de apoyos no se observaron diferencias significativas entre los grupos. El pie valgo predominó en todos los grupos. **CONCLUSIÓN:** En conclusión, la información proporcionada por el estudio pedigráfico contribuye al análisis diagnóstico y pronóstico del tratamiento de alteraciones del sistema craneofacial y su relación con el sistema postural a nivel prequirúrgico.

Palabras Clave: Pedigrafía, alteraciones dentoalveolares, diagnóstico.

# 92

PO8006

## RELEVAMIENTO DE DESÓRDENES CRÁNEO-MANDIBULARES EN PACIENTES ORTODÓNCICOS.

Páez R\*, Delgado A.M., Sotomayor L, Marquez F, Navarro A., D`Urso M.

Od. Preventiva. Fac. de Odontología, Cát, Bioestadística. Fac. de Medicina. UNT.

**OBJETIVO:** relevar la presencia de desordenes craneo mandibulares en pacientes con necesidad de tratamiento ortodóncico y en tratamiento (ortodoncia-ortopedia). **MÉTODOS:** fueron analizados clínicamente pacientes del Ateneo para el Estudio y Tratamiento de las Disgnacias de Tucumán. Se relevó en una historia clínica ad hoc: dinámica mandibular (apertura y lateralidades en mm), ruidos, saltos y desvío; edad, género, tipo y tiempo de tratamiento (ortopedia/ortodoncia). Además, se auto-administró una encuesta estructurada para indagar la percepción del paciente con respecto a la sintomatología antes y durante el tratamiento. Se categorizó a los pacientes según el tipo de tratamiento en: grupo 1(con ortopedia), grupo 2 (con ortodoncia) y grupo 3 (con necesidad de tratamiento). Se realizó un análisis descriptivo de las variables y de asociación mediante test de chi cuadrado **RESULTADOS:** la muestra quedó constituida por 135 pacientes con un rango de edad de 6 a 31 años. Fueron agrupados en <12 (47%); > de 12 años (53%). Según tipo de tratamiento, al grupo 1: 23 %, al grupo 2: 30% y al grupo 3, 47%. En relación con la dinámica mandibular: 11% de los pacientes presentaban una apertura disminuida, 31 % una o ambas lateralidades inferior a 10 mm. Ruidos: 21% en apertura, y 23% en apertura contra resistencia. 30% presentaba saltos en la articulación. En un 68% de los pacientes se evidenció desvío mandibular en apertura. De acuerdo a la encuesta, 25% de los pacientes manifestaron haber sufrido algún tipo de dolor craneo-facial, y 36% ruidos en la ATM. Al asociar tipo de tratamiento con dinámica mandibular, se encontró que la lateralidad derecha fue significativa (P=0.0001). También fue con ruido en ATM izquierda (P=0.07, a un nivel del 10%) y con el desvío (P= 0.04). La asociación fue significativa entre la percepción del paciente y los signos encontrados en el examen (P=0.022, P= 0.0027, P=0.025). No se encontró asociación significativa entre el tiempo y el tipo de tratamiento con los signos de desordenes craneo mandibulares. **CONCLUSIÓN:** este estudio reveló un importante número de pacientes con desordenes craneo-mandibulares tanto en pacientes en tratamiento como en pacientes con necesidad del mismo.

Palabras Clave: desordenes craneo-mandibulares, ortodoncia, ATM.

# 93

PO8007

## MÉTODO DE EVALUACIÓN DE LA ALTURA DE LA CORTICAL VESTIBULAR DE LOS CANINOS, UTILIZANDO TOMOGRAFÍA LINEAL.

Folco AA, Martínez ME, Dagún H, Benítez Rogé S, Mateu, ME\*.

Cátedras de Ortodoncia y Radiología, Facultad de Odontología, UBA.

La medición de la altura de la cresta alveolar vestibular de los caninos aporta una información de gran utilidad para evaluar la respuesta de la cortical vestibular de las piezas dentarias sometidas a tratamiento ortodóncico. La tomografía computada es un método muy valioso y eficaz, pero su alto costo económico no permite evaluar por este método, un amplio número de pacientes del Servicio, por lo cual, la utilización de tomografía lineal permite obtener información de la altura de cortical de caninos de manera más accesible.

**OBJETIVO:** Comparar los resultados de la medición de la altura de la cortical vestibular de caninos antes y después de alinear ortodóncicamente las arcadas dentarias utilizando tomografía lineal y tomografía computada (Acquitomo). **MÉTODOS:** Se realizó tomografía lineal y tomografía computada pre y post alineación ortodóncica de 12 caninos correspondientes a tres pacientes del servicio de la Cátedra de Ortodoncia de la FOUBA. Se midió en mm. la altura de las corticales óseas por vestibular de caninos por medio de tomografía lineal, y mediante analizador de imágenes para la Tomografía computada Acquitomo. Cada operador realizó las medidas sin conocer los resultados obtenidos por el otro (Ciego). **RESULTADOS:** El promedio de la altura inicial de la cortical de caninos utilizando TC (Acquitomo) fue =  $12.7 \pm 1.8$  mm. y T. Lineal =  $10.45 \pm 1.57$  mm. y el promedio de alturas finales, según TC Acquitomo, fue de  $12,1\text{mm.} \pm 1,71$  y T. lineal de  $10,1\text{mm.} \pm 1,10$ , con una diferencia de  $0,33\text{mm.} + 08$  para TC, y de  $0,08\text{mm.} + 1,9$  para T. Lineal, ( $p=0,6$ ), sin diferencia estadísticamente significativa. **CONCLUSION:** La evaluación de la cortical de la cresta vestibular de caninos utilizando tomografía lineal es un método eficiente. La medida de la altura en milímetros es menor en la tomografía lineal debido a que la resolución de las imágenes es menor y no es apreciable por este método cuando ésta es extremadamente fina.

Palabras Clave: ortodoncia- Acquitomo- tomografía lineal.

# 94

PO8008

## MICROBIOTA EN PACIENTES ORTODÓNCICOS UTILIZANDO BRACKETS AUTOLIGABLES Y CONVENCIONALES.

Folco AA, Brusca M I\*, Benítez Rogé S, Davies M, Iglesias M, Gambardella L, Calabrese D, Pelizardi C, Sayago A, Rosa A, Mateu ME.

Cátedra de Ortodoncia y Microbiología. Facultad de Odontología, UBA.

Los brackets ortodóncicos contribuyen al acúmulo de placa bacteriana en las superficies dentarias, aumentando la dificultad para realizar la higiene de las piezas dentarias. **OBJETIVO:** Comparar la flora microbiana acumulada en pacientes tratados ortodóncicamente con brackets autoligables y convencionales. **MÉTODOS:** Se estudiaron 19 pacientes, entre 16 y 30 años, pertenecientes a la Cátedra de Ortodoncia de la FOUBA que reciben tratamiento ortodóncico. El grupo A fue tratado con brackets autoligables (Sistema Damon). El grupo B fue tratado con la técnica de Arco Recto, brackets convencionales, prescripción de Roth, utilizando elastómeros para fijar los arcos a los brackets. Los elastómeros fueron cambiados cada 14 días. Se realizaron extendidos del material recogido de las piezas 15/25 y se tomaron muestras subgingivales que se colocaron en tubos Eppendorf con 0.5 mililitros de solución fisiológica y transporte VMGAIII especialmente desarrollado para anaerobios a tiempo 0, 14, 28 y 56 días luego de cementar los aditamentos. **RESULTADOS:** A tiempo 0, los pacientes presentaron microorganismos en cantidad y calidad compatible con salud; a partir del día 14 predomina la *Prevotella intermedia*, *Candida dubliniensis*, *Porphyromona gingivalis*, con manifestación clínica de gingivitis, que luego del día 28 volvió a condiciones compatibles con salud. Se realizó test T de Student entre unidades formadoras de colonias (UFC) de los distintos microorganismos en los distintos tiempos de corte entre ambos grupos. Se encontraron especies de *Candida albicans* predominante en tiempo 0, *krusei*, *glabrata*, *dubliniensis*, *Prevotella intermedia*, *Porphyromona gingivalis*, *Aggregatibacter actinomycetemcomitans*.. No hubo diferencias estadísticamente significativas en ninguno de los tiempos de corte entre ambas técnicas ortodóncicas. Sí se encontró diferencia estadísticamente significativa ( $p = 0.001$ ) entre *Candida albicans* y las demás especies en tiempo 0. **CONCLUSION:** los brackets, ya sea autoligables o convencionales, sirven de nicho artificial, zonas de impacto primario de los microorganismos y actuarían como fomites facilitando la infección cruzada.

Palabras Clave: microbiota -ortodoncia-brackets autoligables.



**95**

PO6001

**ESTUDIO DE LOS CAMBIOS MICROBIOLÓGICOS Y PERIODONTALES DE MUJERES CON TRATAMIENTO ORTODÓNCICO QUE INGIEREN ANTICONCEPTIVOS.**

Espósito N, Brusca MI\*.

Catedra de microbiología Facultad de Odontología.Universidad de Buenos Aires

La mayoría de los pacientes adultos que concurren a la clínica de ortodoncia por estética son mujeres, y hay que considerar que muchas están ingiriendo anticonceptivos. **OBJETIVO:** Determinar la influencia de la ingesta de anticonceptivos en el estado periodontal de pacientes con tratamiento ortodóncico con brackets estéticos. **MÉTODOS:** se incluyen en forma consecutiva pacientes mujeres de 18 a 45 años inmunocompetentes, con ciclos menstruales con indicación de tratamiento ortodóncico con aparatología fija. Se les realizó una encuesta y se evaluaron los indicadores clínicos periodontales se midieron: profundidad al sondaje, pérdida de inserción, hemorragia al sondaje, el índice de placa y el índice gingival. Se tomaron radiografías seriadas periapicales de ambos maxilares y toma de muestras microbiológicas previo al cementado de los brackets y con tiempos de corte 0,3,6,12 meses, En las muestras se estudiaron diferentes especies de anaerobios y levaduras. **RESULTADOS:** Se observó que la variable 'poseer o no aparatología ortodóncica' no es significativa. La variable 'ingesta de anticonceptivos' presenta una diferencia estadísticamente significativa ( $p=,0012$ ), con mayor cantidad de anaerobios y *Candida* spp, No hubo diferencia estadísticamente significativa respecto al uso de aparatología ortodóncica en mujeres que ingerían anticonceptivos vs aquellas que no. Aunque si se comprobó mayor acumulo de biofilm en pacientes portadoras de brackets e inflamación gingival. Mujeres con más de tres años de ingesta presentaron un perfil con menor variedad de especies que aquellas con menos tiempo de ingesta (*C. glabrata*, *C. parapsilosis*, *C. krusei* y *C. albicans*) En la mayoría de los pacientes, los aislamientos de *Candida* fueron acompañados de aislamiento de *P. gingivalis* y *P. intermedia*. **CONCLUSION:** ambos factores de riesgo actúan independientemente empeorando el estado periodontal. Las hormonas femeninas inducen cambios microbiológicos al alterar el microambiente y al actuar como nutrientes para los microorganismos.

Palabras Clave: anticonceptivos, ortodoncia, periodontitis.

**96**

PO6002

**MÉTODOS MULTIVARIADOS PARA LA VALIDACIÓN DE CRITERIOS DE SELECCIÓN DE META-ANÁLISIS DE TERAPIA ANTIMICROBIANA PARA PERIODONTITIS CRÓNICA.**

Bono A\*, Brunotto M.N.

Facultad de Odontología. Universidad Nacional de Córdoba

**OBJETIVO:** Fue utilizar métodos multivariados no supervisados (análisis de conglomerados) para la validación de Criterios de Selección que serán aplicados en un Meta-análisis de Ensayos Clínicos sobre Aplicación de Amoxicilina y/o Metronidazol en la Terapéutica de la Periodontitis Crónica. **MÉTODOS:** De un total de 100 artículos sobre utilización terapéutica de metronidazol y /o amoxicilina en pacientes adultos con periodontitis crónica se seleccionaron por muestreo aleatorio simple  $n=11$  artículos. A estos se los evaluó mediante una lista de chequeo completa de 27 preguntas publicada por Donna et al., 2000 y otra de 17 preguntas, reducción de la primera que resultaba de más fácil aplicación y acorde a los criterios de exclusión-inclusión del estudio. El estudio fue realizado a doble ciego por dos investigadores del área de periodoncia (Od. Alejandra Bono y Od. Mauricio Kremer). La aceptación/rechazo de los artículos se estableció mediante el valor de los coeficientes de Kappa considerando "aceptado" el artículo que presentaba un valor mayor a 0.80 de ambos coeficientes obtenidos por los operadores. La clasificación de los artículos por cada operador fue evaluada por análisis de conglomerados. **RESULTADOS:** El análisis de conglomerados mostró que los operadores difirieron en clasificar los artículos 3 y 6. En tanto que cuando se utilizó como medida convencional de concordancia el valor del coeficiente Kappa se observó una falta de concordancia en el artículo 5, en donde los operadores mostraron una diferencia en contestar preguntas relacionadas al diseño, a las mediciones/ observaciones y a la presentación de resultados. **CONCLUSION:** De acuerdo a los resultados obtenidos podemos concluir, a aún presentando disenso en algunos de los ítems a considerar, la lista de chequeo simplificada (reducida) resulta tan confiable como la completa, pero presenta como ventaja, ser más fácil de aplicar, por resultar más comprensible para quien debe utilizarla y porque insume menos tiempo por artículo.

Palabras Clave: meta-análisis-criterios de selección-periodontitis.

# 97

PO6003

## CORRELACIÓN ENTRE ESTRÉS PSICOSOCIAL, TABAQUISMO Y ESTADO PERIODONTAL EN ADULTOS RESIDENTES EN LA PROVINCIA DE MENDOZA.

Pascucci J\*, Albera E, Giaquinta MA; Palmada N, Fernández E, Pesce E, Conill J.  
Módulo de Periodontología Facultad de Odontología UN Cuyo.

**OBJETIVO:** evaluar el nivel de estrés psicosocial mediante análisis de los aspectos físicos, psíquicos, de conducta y examen bioquímico y la capacidad de adaptación a él y correlacionarlo con el estado periodontal en pacientes adultos. **MÉTODOS:** diseño transversal, descriptivo, correlacional, a doble ciego. 166 sujetos voluntarios fueron reclutados, con consentimiento informado. Criterios de inclusión: mayores de 21, ambos sexos, sin enfermedades sistémicas, fumadores y no fumadores, con más de 16 dientes presentes. Se registraron índice de placa, índice gingival, profundidad de sondaje, pérdida de inserción en todos los dientes presentes, en seis puntos dentarios. Se realizaron tests de estrés (Holmes y SSI), test de afrontamiento (COPE), y medición de cortisol salival en  $\mu\text{g/dL}$ . Se evaluó la correlación por medio de análisis estadístico de regresión logística. **RESULTADOS:** se encontró significación estadística ( $p < 0.05$ ) para los factores hábito de fumar, estrés y edad. El OR fue: fumar 3.61, estrés 2.35, edad 1.12, capacidad adaptativa 1.05. Análisis de varianza para profundidad de sondaje y pérdida de inserción para fumar, edad, estrés y conductas adaptativas, se observó significancia estadística ( $p < 0.05$ ) para edad y fumar. Para índice gingival se encontró significancia estadística para edad y estrés ( $p < 0.05$ ). Para índice de placa se encontró significancia estadística ( $p < 0.05$ ) para edad, fumar y la asociación fumar-estrés-conductas adaptativas. **CONCLUSION:** se determinó que el estrés psicosocial y el fumar parecen influenciar sobre el estado periodontal. Los sujetos que presentaron mayor nivel de estrés y fuman demostraron mayor deterioro periodontal. Los sujetos fumadores con estrés e inadecuadas estrategias de afrontamiento presentaron abandono o cambios en el comportamiento y conductas de salud, con mala higiene bucal demostrado por altos índices de placa.

Palabras Clave: estrés psicosocial; tabaquismo; enfermedad periodontal.

# 98

PO6004

## EFFECTOS DEL CONSUMO DE ALCOHOL Y DEL DESARROLLO DE PERIODONTITIS EN LA SALUD ORAL DE RATAS.

Javier Fernández-Solari, Aline Maia-Dantas, Maria Zorrilla Zubilete, Berenice Burdet, César Ossola, Claudia Mohn, Andrea De Laurentiis, Valeria Rettori, Juan Carlos Elverdin.  
Centro de Estudios Farmacológicos y Botánicos (CEfyBO-CONICET/UBA) y Cátedra de Fisiología; Facultad de Odontología, UBA.

La periodontitis es una enfermedad infecciosa progresiva asociada a biofilm de placa bacteriana, caracterizada por la inflamación de los tejidos de soporte dentario, que resulta en la resorción ósea alveolar y en la pérdida de los tejidos blandos de soporte. Dado que el consumo crónico de etanol también se encuentra asociado con efectos deletéreos sobre los tejidos orales, el **OBJETIVO:** del presente trabajo fue estudiar el efecto de la administración repetitiva de etanol sobre la salud oral de ratas sometidas a periodontitis experimental (PE). **MÉTODOS:** Etanol (2 g/Kg, 20% en agua) o su vehículo fueron administrados por gavage, 2 veces al día durante 12 días. La PE fue inducida colocando un hilo de algodón alrededor del cuello de los primeros molares inferiores (PMI) durante 7 días. Los grupos experimentales estudiados (6 ratas/ grupo) fueron: 1) ratas control; 2) ratas con PE; 3) ratas que recibieron etanol en forma repetitiva (ER); 4) ratas con PE+ER. Las encías de los PMI fueron extraídas al final de los experimentos para realizar las distintas mediciones. **RESULTADOS:** la actividad de la enzima NOS inducible (NOSi) se vio incrementada en las encías de ratas con ER ( $p < 0.05$ ) y de ratas con PE ( $p < 0.001$ ) en comparación con los controles, aunque no se observó efecto aditivo en las de ratas con ER+PE. Sin embargo, la expresión del RNAm de iNOS (medida por PCR tradicional) fue mayor en las ratas con ER+PE, no solo al ser comparada con los controles ( $p < 0.001$ ), sino también al ser comparada con las ratas con PE ( $p < 0.01$ ). Más aún, la expresión del RNAm de la citoquina pro-inflamatoria, IL1 (medida por PCR en tiempo real) mostró niveles mayores en ratas con ER+PE comparados con los de ratas con PE ( $p < 0.01$ ). El contenido de prostaglandina E (medido por RIA) se vio incrementado en encías de ratas con PE ( $p < 0.05$ ) en comparación con los controles, pero solo mostró una tendencia a ser mayor en encías de ratas con ER+PE en comparación con ratas con PE. **CONCLUSION:** Estos resultados demuestran que la administración repetitiva de etanol incrementa algunos parámetros inflamatorios en los tejidos orales que podrían agravar las alteraciones fisiopatológicas provocadas por la enfermedad periodontal. (ANPCyT PICT 07-1016 y 06-0258, Fundación Roemmers y UBACyT O007). Palabras Clave: periodontitis, etanol, inflamación.

**99**

PO6005

**ESTUDIO IN VITRO DEL EFECTO DE NANO Y MICROPARTICULAS DE TiO<sub>2</sub> EN MACRÓFAGOS ALVEOLARES DE DISTINTOS GRUPOS ETARIOS.**

Bruno M\*, Olmedo D, Cabrini R, Ferraro S, Tasat D.

Escuela de Ciencia y Tecnología, UNSAM- Cátedra de Anatomía Patológica, Facultad de Odontología, UBA. Consejo Nacional de Investigaciones Científicas y Técnicas - Laboratorio de Radiobiología, CNEA.

El titanio es el biomaterial metálico más utilizado en implantología oral. Este metal desarrolla una capa de dióxido de titanio (TiO<sub>2</sub>) que determina el grado de biocompatibilidad y la respuesta biológica. Como consecuencia de la corrosión pueden liberarse partículas al bioentorno y depositarse localmente o en órganos con actividad macrofágica como hígado, bazo y pulmón. La respuesta biológica podría depender de la estructura, forma, tamaño y concentración de las partículas y de características del individuo como sexo, perfil genético y edad. **OBJETIVO:** evaluar in vitro la respuesta biológica de macrófagos alveolares (MA) provenientes de animales jóvenes (J) y senescentes (S) ante diferentes concentraciones de micro (M) y nanopartículas (N) de TiO<sub>2</sub>. **MÉTODOS:** se obtuvieron MA de ratas Wistar que se cultivaron en medio RPMI-1640 con SBF 10% y se expusieron durante 24 hs a diferentes concentraciones de partículas de TiO<sub>2</sub> (2.5 µg/mL y 10 µg/mL). El tamaño promedio de las partículas fue de 10 y 150 nm, analizado mediante MEB. Se evaluó la generación del anión superóxido O<sub>2</sub><sup>-</sup> mediante la reducción de azul de tetrazolio, la presencia del Factor de Necrosis Tumoral (TNF?) mediante ELISA, la muerte celular por inmunocitoquímica de poli (ADP-ribosa) polimerasa (PARP) y la reducción del número de células mediante recuento celular. **RESULTADOS:** La generación de O<sub>2</sub><sup>-</sup> y la producción de TNF? aumentó significativamente para todas las concentraciones de TiO<sub>2</sub> respecto de los controles (Ej: TNF? para J Co: 61,4±6,6; N2.5: 91,7±3,5; N10: 136,7±18,6). La respuesta observada fue dosis dependiente. Sin embargo, a una misma concentración, las N provocaron un efecto mayor o igual al de las M. Los MA de S manifestaron una mayor respuesta que los MA de J. La reducción en el número de células post exposición para M y N fue dosis dependiente y significativamente mayor respecto de los controles. Dado que la apoptosis fue similar para todos los tratamientos, el aumento de O<sub>2</sub><sup>-</sup> no podría ser asociado a daño del ADN. **CONCLUSION:** La respuesta celular depende del tamaño y concentración de las partículas de TiO<sub>2</sub> así como de la edad de los individuos, observándose una mayor susceptibilidad en los individuos senescentes. SUBSIDIOS UBACYT O006 y Fundación Roemmers. MicroFit S.A. Palabras Clave: macrófagos, titanio, micro y nanopartículas.

**100**

PO6006

**CITOLOGÍA EXFOLIATIVA EN RELACIÓN A IMPLANTES DENTALES DE TITANIO. ESTUDIO PRELIMINAR.**

Nalli G\*, Verdú S, Paparella M, Olmedo D, Cabrini R.

Cátedras de Clínica Estomatológica y Anatomía Patológica. Facultad de Odontología, Universidad de Buenos Aires - Consejo Nacional de Investigaciones Científicas y Técnicas - Laboratorio de Radiobiología. CNEA.

La citología exfoliativa bucal es un método diagnóstico no invasivo realizado en epitelios que descaman y permite diagnósticos iniciales de diferentes cuadros patológicos. El titanio es el biomaterial metálico oseointegrable más utilizado como alternativa terapéutica. Todo metal en contacto con los fluidos biológicos puede desencadenar un proceso de corrosión y la liberación de iones/partículas al bioentorno. **OBJETIVO:** El objetivo de este trabajo fue evaluar la presencia de partículas metálicas en células exfoliadas de la mucosa peri-implantaria con o sin perimplantitis de implantes dentales de titanio. **MÉTODOS:** Se seleccionaron 10 pacientes portadores de implantes dentales de titanio que no poseían la rehabilitación protésica instalada. El rango de tiempo entre la colocación del implante y la toma de la muestra fue de 1 a 63 meses. Se realizaron tomas citológicas con microcepillo en la zona peri-implantaria a nivel de la unión del epitelio del surco con el epitelio gingival. Las muestras correspondieron a pacientes con y sin peri-implantitis. Asimismo se tomaron muestras provenientes de pacientes no portadores de implantes (n:10). Las muestras citológicas fueron fijadas con laca spray y coloreadas con la técnica de Papanicolaou. El análisis citológico se realizó mediante microscopio óptico por 3 operadores previamente calibrados. **RESULTADOS:** En los extendidos citológicos de la zona perimplantaria con y sin peri-implantitis se observó la presencia de partículas metálicas, de diferentes formas y tamaños, libres y en el interior de las células epiteliales. En las citologías provenientes de pacientes no portadores de implantes no se evidenciaron partículas. **CONCLUSION:** A partir de la superficie del implante se liberan iones/partículas hacia el medio biológico, independientemente de una respuesta inflamatoria, que podrían resultar de un proceso de corrosión. La citología exfoliativa perimplantaria constituiría un método de utilidad para el seguimiento de procesos de corrosión de implantes dentales. Agradecimientos: SUBSIDIO UBACYT O006 y Fundación Roemmers.

Palabras Clave: citología exfoliativa, titanio, corrosión.

# 101

PO6007

## DETERMINACIÓN CLÍNICA DEL BIOTIPO PERIODONTAL EN ADULTOS JÓVENES.

Loi José Angel, Flores de Valdivia Graciela, Montero C. Alberto, Elías Adriana.  
Cátedra de Periodoncia. Facultad de Odontología. UNT.

**OBJETIVO:** Determinar validez y confiabilidad de la medición del espesor gingival de la encía insertada en adultos jóvenes, utilizando sonda periodontal. Al no contar con datos estadísticos regionales necesitamos evaluar distintos espesores gingivales por su importancia en diagnóstico, prevención y tratamiento periodontal. **MÉTODOS:** Un operador calibrado realizó las mediciones clínicas en dientes Seleccionados: vestibular anterior a 4 mm del margen gingival; en paladar, entre segundo premolar y primer molar superior a 7 mm de margen gingival; en zona retromolar, a 4 mm del margen gingival. La determinación del espesor gingival se realizó con sonda periodontal recta milimetrada CPC 15.Hu Friedy con y sin tope siliconado y anestesia tópica local. Los registros fotográficos de las mediciones se realizaron con maquina digital Sony P41 de 4.1 Mp zoom digital, a una distancia estandarizada de 20cm. Permitted determinar características cuantitativas y cualitativas del elemento dentario y su periodonto de protección: encía marginal, insertada, límite mucogingival, etc. Los datos de las variables grosor gingival, ancho de encía insertada, morfología coronaria de los elementos dentarios evaluados, fueron volcados en el programa SPSS versión 11 para Windows. El análisis de asociación de estas variables se realizó con el test de regresión lineal (R2) considerando al grosor gingival como variable dependiente. **RESULTADOS:** El estudio estadístico fue realizado mediante análisis de varianza, ANOVA, con dos factores: género y ubicación. No se observaron diferencias significativas por género, en cantidad y en calidad de encía  $p=0,802$ ;  $p=0,275$  respectivamente. Se observó diferencias significativas en ubicación, calidad y cantidad de encía (Test de Tukey). **CONCLUSION:** El biotipo periodontal analizado por género, es delgado y no hay diferencias significativas en cantidad y calidad (espesor) de la encía. La zona de la tuberosidad (retromolar superior) es la de mayor calidad de encía. El maxilar superior tiene mayor cantidad de encía que el maxilar inferior, en el sector anterior y mayor calidad de encía en el sector posterior. Proyecto subsidiado por el CIUNT.

Palabras Clave: biotipo periodontal, grosor gingival.

# 102

PO6008

## ESTUDIO DESCRIPTIVO E HISTOMORFOMÉTRICO DEL HUESO PERI-MICROIMPLANTE ORTODÓNCICO, DE ACUERDO A SU POSICIÓN Y MOMENTO DE ACTIVACIÓN.

Piacenza A, Rocamundi M\*, Peralta G, Bass Puer A.  
Cátedra Integral Niños y Adolescentes "B" - Area Ortodoncia - Cátedra Anatomía Patológica "A" - Facultad de Odontología (UNC) - Fundación CREO.

**OBJETIVO:** El propósito del presente estudio fue realizar un estudio descriptivo e histomorfométrico al microscopio óptico (MO) y Electrónico de Barrido (MEB), del hueso y tejidos blandos formados en contacto con microimplantes de uso ortodóncico, colocados en distintas angulaciones. **MÉTODOS:** Se utilizaron conejos machos,  $n=25$ , a los cuales se les implantaron dos microtornillos en cada tibia (derechas experimentales, izquierdas control), con un intervalo de seis semanas. Los segundos mini-implantes se colocaron con inclinación a favor de la fuerza aplicada ( $-20^\circ$  - Grupo I), perpendiculares ( $90^\circ$  - Grupo II) y con inclinación contraria a la fuerza aplicada ( $30^\circ$  - Grupo III), activándose de manera inmediata los ubicados en las tibias derechas (experimentales). Las tibias izquierdas fueron utilizadas como controles. Todos los animales de experimentación fueron sacrificados seis semanas después. Se realizaron estudios histopatológicos (MO) y estudios ultramicroscópicos (MEB). **RESULTADOS:** Histológicamente al MO se observaron zonas de contacto óseo con el mini-implante en todos los casos estudiados. El hueso en contacto es de tipo reticular, hueso laminar y zonas de remodelación. Existen pocas zonas de contacto fibroso. En contraparte, la menor cantidad ósea en contacto se ha manifestado con los mini-implante experimentales inclinados a  $-20^\circ$  y los controles de 6 semanas. Se realizó un estudio descriptivo al MEB, en el cual se observó zonas de contacto óseo en todos los casos, alternadas con espacios vasculares y zonas de contacto fibroso. El hueso se presentó tipo compacto, con sectores de hueso reticular y hueso laminar. En los mini-implantes perpendiculares a la cortical (controles y experimentales, la formación de hueso es similar en ambos lados, mientras que en los microtornillos angulados (con)troles y experimentales), hubo mayor formación de hueso en el lado contrario a la inclinación de los mismos. El análisis estadístico corroboró estas observaciones, ya que no se encontraron diferencias estadísticamente significativas ( $p>0,05$ ) entre grupos controles y experimentales. **CONCLUSION:** La cantidad de hueso formado por inducción del microimplante no estuvo relacionado al sitio de aplicación de la fuerza, sino a la inclinación del mismo con respecto a la cortical. Palabras Clave: Mini-implante, Histomorfometría, Oseointegración.

# 103

PO6009

## PRESENCIA DE ACTIVIDAD ENZIMÁTICA BACTERIANA DE BOLSAS PERIODONTALES EN PACIENTES DE LA CIUDAD DE CORRIENTES.

Acuña, Miguel\*; Monzón, Javier; Canga, Ernesto; Diez, Ricardo; Azzi, Elías  
Facultad de Odontología - UNNE - Avenida Libertad 5450. 3400 Corrientes.

**OBJETIVO:** El objetivo de este trabajo, determinar la actividad enzimática de las bolsas periodontales en un sector de la población de la Ciudad de Corrientes, mediante la aplicación del Test de diagnóstico bioquímico enzimático o reacción de la N& - benzoil - DL - arginina - 2 - naftil - amida (B.A.N.A), como coadyuvante del diagnóstico clínico convencional. **MÉTODOS:** Se trabajó con 62 pacientes cuya profundidad de bolsa fue mayor a 3 mm. Presentaron un rango de 20 (veinte) a 50 (cincuenta) años de edad y de ambos sexos. Los muestreos se efectuaron en el sector de Clínicas, Servicio de Urgencias y Derivación de Pacientes de la Facultad de Odontología dependiente de la U.N.N.E. -Se tomaron 10 pacientes cuya profundidad de bolsa fuese de 2 mm. como máximo para grupo control. **RESULTADOS:** De los 72 pacientes observados la totalidad de sitios examinados fueron 124 de los cuales la actividad enzimática se manifestó de la siguiente manera: -6 (seis) sitios dieron POSITIVOS con el Test BANA (más de 500.000 CFU anaeróbios en el sitio de la toma de muestra). -80 muestras de las bolsas periodontales dieron como resultado en el Test BANA: LIGERO POSITIVO. Lo que indica la presencia de bacterias periodontopáticas en un rango de 100.000 a 500.000 CFU anaerobios en cada sitio muestreado. - 18 muestras dieron NEGATIVO, lo cual indica que la presencia de bacterias en el sitio muestreado no llega al 100.000 CFU. -De los 10 pacientes Grupo control se observaron en total 20 sitios donde no hubo actividad enzimática. **CONCLUSION:** Mediante los resultados obtenidos en este trabajo podemos resaltar el valor que representa la inclusión de las Técnicas de Diagnósticos no Convencionales como la prueba de hidrólisis B.A.N.A. (N-&-bencil-DL-arginina-2-naftilamida) al examen clínico Periodontal.

Palabras Clave: Bolsa periodontal-Test BANA-Diagnóstico periodontal.

# 104

PO6010

## RESPUESTA TISULAR FRENTE A LA IMPLANTACIÓN DE UN SUSTITUTO ÓSEO EN TEJIDO CELULAR SUBCUTÁNEO. ESTUDIO PRELIMINAR.

Fontana S\*, Plavnik LM, Zanotti AF, Rubio SE, Ayala C, Carpentieri AR.

Grupo Interdisciplinario de Investigación en Biología Ósea. Cátedras de Histología "A", Microbiología, Periodoncia "B", Química y Física Biológicas "A", Facultad de Odontología. UNC.

La formación de nuevos tejidos para el reemplazo y regeneración de estructuras destruidas o perdidas es uno de los mayores avances logrados en el área de la biotecnología y de los biomateriales (ingeniería tisular). Particularmente en las últimas décadas, el uso de sustitutos óseos que promueven la formación ósea, han adquirido un creciente interés. En especial, los rellenos óseos se utilizan con la finalidad de aumentar rebordes óseos reabsorbidos, regenerar pérdidas óseas periodontales y realizar procedimientos implantológicos. **OBJETIVO:** estudiar la respuesta tisular de una lámina ósea desmineralizada, implantada en el tejido celular subcutáneo. **MÉTODOS:** se usaron 10 ratas wistar anestesiadas con solución de Ketamina/Xilazina a las que se les realizaron incisiones de 5mm en la región dorsal superior derecha e izquierda de los animales hasta abordar el tejido celular subcutáneo. En la zona derecha (Grupo Experimental) se colocó un tubo de silicona estéril conteniendo una lámina ósea desmineralizada (LOD) y en la zona izquierda se implantó un tubo de silicona sin relleno (Grupo Control). La LOD fue provista por UNC Biotecnia, la Planta Procesadora de Tejidos Humanos del Laboratorio de Hemoderivados de la UNC, la cual se encuentra habilitada por INCUCAI y ANMAT. Los animales fueron sacrificados por sobredosis de éter a los 30 días post-cirugía y se tomaron biopsias de los sitios de implante. Las muestras fueron fijadas en paraformaldehído al 4%, se realizaron cortes seriados que se colorearon con H/E. **RESULTADOS:** a) En todos los casos experimentales se observó que la lámina ósea desmineralizada se encontraba rodeada por tejido óseo neoformado b) El producto implantado no desencadenó fenómenos inflamatorios. **CONCLUSION:** la lámina ósea desmineralizada, se comportó como un material osteoinductivo y biocompatible, en las condiciones experimentales utilizadas en este trabajo. Se necesita realizar más estudios para determinar los mecanismos moleculares implicados en estos procesos osteoinductivos. Este trabajo es subsidiado por UNC-Hemoderivados Res N° 548/08. Palabras Clave: Rellenos óseos, Tejido celular subcutáneo, Osteoinducción.

# 105

PO6011

## XEROSTOMÍA Y EVOLUCIÓN DE LA PÉRDIDA ÓSEA ALVEOLAR INDUCIDA POR PERIODONTITIS EXPERIMENTAL EN RATAS.

Amer M1, Elverdin JC2, Chiarenza AP3, Fernández Solari J2, Mandalunis P4, Vacas MI3\*. Anatomía1, Fisiología2, Bioquímica Gral y Bucal3 e Histología y Embriología4. FOUBA.

Trabajos previos de nuestro laboratorio han demostrado que la submandibulectomía (SMx) induce pérdida de las corticales alveolares e incrementa la pérdida ósea inducida por 1 semana de periodontitis experimental (PE). **OBJETIVO:** analizar el efecto de la xerostomía inducida por ligadura de los conductos parotídeos (PAx) + SMx sobre la pérdida ósea alveolar y compararla con los efectos individuales de SMx y PAx. **MÉTODOS:** Se utilizaron ratas Wistar adultas machos (300-350g, n=64) divididas en 4 grupos: controles, SMx, PAx, SMx + PAx. Las cirugías en los diferentes grupos se efectuaron el día 0. Dos semanas después se les indujo PE colocando una ligadura con hilo de algodón alrededor del cuello del primer molar inferior derecho (el molar contralateral se usó como control) y a los 7 días se sacrificaron. En la mitad de los animales de cada grupo se estimó la pérdida ósea interradicular por histomorfometría de secciones mesiodistales de los molares y en la otra mitad la pérdida de la cortical alveolar vestibular y lingual por la distancia entre el límite amelo-cementario y la cresta alveolar en 3 puntos: mesial, central y distal (técnica de Crawford). En todos los casos en el tejido mucogingival que rodea los primeros molares inferiores se determinó el contenido de prostaglandina E (PGE) por radioinmunoensayo. **RESULTADOS:** a) los tres grupos experimentales mostraron incremento significativo en la pérdida ósea de las corticales linguales ( $p < 0.05$ ) en relación al control, b) la pérdida inducida por PE fue mayor tanto por lingual como por vestibular en los grupos SMx y SMx + PAx observándose la mayor diferencia en la cara vestibular de los animales con SMx + PAx ( $p < 0.001$ ) c) el análisis histomorfométrico del espacio interradicular no mostró diferencias entre los grupos, ni en volumen óseo ni en altura del ligamento periodontal, d) luego de 21 días de Sx y/o PAx no se observaron modificaciones en los niveles de PGE gingivales y el incremento inducido por PE fue similar al del control. **CONCLUSION:** Los presentes resultados sugieren que en la rata adulta, la secreción de las glándulas salivales mayores participa activamente en el normal remodelamiento óseo de las corticales alveolares. UBACyT 0007.

Palabra Clave: periodontitis, xerostomía, pérdida ósea alveolar.

# 106

PO6012

## ESTUDIO DE LA RELACIÓN ENTRE EL CONSUMO DE CALCIO EN LA DIETA Y LA CONCENTRACIÓN DE CALCIO EN LA SALIVA Y EL FLUIDO GINGIVAL EN PACIENTES CON ENFERMEDAD PERIODONTAL.

Grenón M<sup>(1)</sup>, Fuks D<sup>\*(1)</sup>, Verde ME<sup>(1)</sup>, Bonetto L<sup>(3)</sup>, Sánchez HJ<sup>(2)</sup>. <sup>(1)</sup>Cátedra "A" Periodoncia Facultad de Odontología-UNC, <sup>(2)</sup> Facultad de Matemática, Astronomía y Física -UNC, <sup>(3)</sup> Escuela de Nutrición-UNC.

**OBJETIVO:** Determinar la concentración de calcio (Ca) en saliva total y fluido gingival (FG) utilizando la técnica de Fluorescencia de Rayos X por Reflexión Total (FRX). Relacionar la concentración de Ca en la ingesta diaria (ID) con la concentración de Ca presente en saliva y FG. Valorar el estado periodontal de los pacientes y estudiar posibles correlaciones con la ID y las concentraciones de Ca en los fluidos. **MÉTODOS:** Selección aleatoria de 54 personas entre 25 a 60 años de edad, sistémicamente sanos, que asistieran espontáneamente al consultorio externo de la Cátedra de Periodoncia. Se confeccionó la historia clínica, se realizó la ficha periodontal que incluye el Índice periodontal comunitario (IPC), se realizó una encuesta sociodemográfica y de tendencia de consumo de índole observacional y se tomaron las muestras de FG y de saliva total mediante la utilización de microcapilares calibrados. El FG fue obtenido de los elementos antero-inferiores. La saliva total fue tomada de piso de boca. Las muestras fueron colocadas en un reflector de acrílico (wafers) para ser transportados. Se midieron 20 de las muestras de saliva y FG con la técnica de FRX en el laboratorio LTFNC de la FaMAF-UNC. Los datos fueron analizados con el paquete de programas AXIL para análisis de espectros y cuantificación. Los resultados fueron analizados estadísticamente, se establecieron correlaciones lineales mediante cuadrados mínimos y se determinaron las probabilidades de correlación. Los tres grupos interdisciplinarios actuaron en todo momento "mutuamente ciegos". **RESULTADOS:** de las 54 personas encuestadas el 30% consumía calcio suficiente mientras el 70% era insuficiente. De los pacientes que se midieron al azar las muestras de FG y de saliva, el 50% correspondía a consumo suficiente y el otro 50% insuficiente. La distribución por grado de IPC corresponde 4% a índice 1, 13% a índice 2, 54% a índice 3 y 29% a índice 4. El análisis cuantitativo de Ca en los fluidos muestra estadísticamente una correlación directa entre las concentraciones de Ca en fluido y saliva y la ID de dicho elemento. **CONCLUSION:** hay una correlación estadísticamente significativa entre el consumo de Ca en la dieta y la concentración del ión en FG y saliva. Se estudia la relación entre la ID de Ca y el IPC. Palabras Clave: enfermedad periodontal, calcio, fluorescencia de Rayos X.

# 107

PO2001

## EFFECTO DEL TIEMPO DE APLICACIÓN DE SISTEMAS ADHESIVOS AUTOCONDICIONANTES SOBRE LA RESISTENCIA A LA TRACCIÓN Y EL PATRÓN DE ACONDICIONAMIENTO EN DENTINA BOVINA ESCLERÓTICA.

García E<sup>J</sup>\*, Mena-Serrano A, Muñoz-Perez MA, Martins GC, Loguercio A, Reis A, Grande RHM. Departamento de Materiales Dentales, Facultad de Odontología, Universidad de São Paulo, São Paulo, Brasil. Departamento de Odontología Restauradora, Facultad de Odontología, Universidad Estadual de Ponta Grossa, Paraná, Brasil.

**OBJETIVO:** Analizar el efecto del tiempo de aplicación de adhesivos autocondicionantes en el patrón de acondicionamiento [PC] y en la resistencia de unión [RU] sobre dentina bovina esclerótica. **MÉTODOS:** Fueron evaluados los materiales: GO (SDI) [GO], Adper Self Etch (3M ESPE) [ASE], Amper Single Bond 2 (3M ESPE) [SB] y ácido fosfórico 35% [AC]. Para el análisis del patrón de acondicionamiento la superficie incisal esclerótica de cada incisivo bovino (n=4) fue dividida en tres partes. La primera fue utilizada para la evaluación del grado de esclerosis [control=C]. En los otros dos tercios, los materiales fueron aplicados siguiendo las instrucciones de los fabricantes [TN] o por el doble de tiempo recomendado [TD] y estudiados bajo Microscopia Electrónica de Barrido para el cálculo del porcentaje relativo de área ocupada por túbulos dentinarios. Para la medición de la RU (n=5) los dientes fueron restaurados con los adhesivos de la misma forma descrita anteriormente. Bloques de resina compuesta fueron construidos sobre los adhesivos polimerizados y los especímenes seccionados para la obtención de cuerpos de prueba con una sección transversal de 0,8mm<sup>2</sup>, para la prueba de micro tracción (0,5mm/min). Los datos (PC y RU) de cada adhesivo fueron analizados por ANOVA de un factor y la prueba de Tukey (? =0,05). **RESULTADOS:** El área ocupada por túbulos dentinarios para TN y TD fueron semejantes (p>0,05) y superiores a C (p<0,05). La técnica de aplicación no afectó la RU (MPa) (promedio±DE) de los adhesivos SB y ASE (SBTN=31,05±2,95, SBTD=30,05±5,10; ASETN=33,97±5,02 y ASETD=31,91±3,22). Para el adhesivo GO la técnica TD resultó en valores estadísticamente superiores de RU (GOTN=18,42±7,01, y GOTD=30,01±3,31). **CONCLUSION:** El efecto del tiempo de aplicación en la RU fue adhesivo-dependiente. Duplicar el tiempo de aplicación no mejoró el efecto acondicionante en la dentina esclerótica bovina para ninguno de los materiales. Palabras Clave: Adhesivos Dentinarios; Resistencia a la tracción, Dentina esclerótica.

# 108

PO2002

## ANÁLISIS COMPARATIVO DE MATERIALES PARA BASE DE PROTESIS.

Azzarri MJ\*, Gardiner R, Durso G, de Barrio M, Ciccone F, Toloy H, Iasi R, Carabelli V. Facultad de Odontología U.N.L.P. Departamento de Biomateriales U.T.N. Regional La Plata.

**OBJETIVO:** El objetivo de este trabajo será valorar en forma cuantitativa e in vitro Resistencia Flexural Resistencia al impacto y dureza de distintos materiales para la confección de prótesis. **MÉTODOS:** Las técnicas que se utilizarán son Péndulo para Charppy para impacto, Instron para resistencia flexural y módulo de flexión y durómetro Rockell. **RESULTADOS:** Los resultados obtenidos se analizarán estadísticamente con ANOVA y test de Tukey. Se obtuvieron en los valores diferencias significativas siendo el valor de P< 0,001. **CONCLUSION:** En cuanto a las propiedades estudiadas en este trabajo podemos concluir que las poliamidas marca Deflex obtienen valores superiores con respecto a las poliamidas marca Valplast. Las mismas tienen propiedades intermedias entre los acrílicos de termocurado, los acrílicos curados por microondas y las poliamidas Valplast, por lo tanto se las podría considerar semirígidas.

Palabras Clave: Curado - Poliamidas - Resinas Acrílicas.

# 109

PO2003

## DETERMINACIÓN DE LA ADHESIÓN DE DIFERENTES MEDIOS DE FIJACIÓN ODONTOLÓGICOS DURANTE EL CEMENTADO DE BRACKETS METÁLICOS.

Arias Silvia\* - Paz Alejandro - Raguso Mabel - Breuer Virginia.

Odontología Universidad Argentina J .F. Kennedy.

**OBJETIVO:** El objetivo de este trabajo fue valorar las fuerzas adhesivas de diversos medios cementantes durante la cementación de brackets metálicos sobre el esmalte dentario. **MÉTODOS:** Se utilizaron los siguientes materiales: Composite de fotoactivación Nanosit (Nordiska Dental) con adhesivo dentinario monocomponente Ana Single Bond (Nordiska Dental) con técnica de grabado ácido (Ana Etching.Nordiska dental.). Composite de fotoactivación Nanosit (Nordiska Dental) con adhesivo autoacondicionante Go (SDI) Ionómero Vítreo (Fuji Ortho LC. GC) con acondicionador Dentin Conditioner (GC).Se conformaron tres grupos de diez premolares. A cada muestra se le cementó un bracket metálico Vector (Orthodont) sobre las caras vestibular y palatina siguiendo las indicaciones del fabricante. Los valores adhesivos se obtuvieron con una máquina de ensayos universal Instron modelo 4483 con un desplazamiento del brazo móvil de 0.7 mm/seg. Fue acoplado al brazo móvil un dispositivo metálico para aplicar las fuerzas de corte sobre el sistema analizado. **RESULTADOS:** Los resultados demostraron que los sistemas adhesivos con técnica de grabado ácido lograron los mayores valores de adhesividad seguidos por los sistemas adhesivos autoacondicionantes y por último los cementos de ionómeros vítreos. **CONCLUSION:** Los sistemas adhesivos orgánicos con técnica de grabado ácido o bien con acción autoacondicionante podrían ser utilizados para la fijación de bracket al esmalte, no así los cementos de Ionómeros vítreos.

Palabras Clave: Adhesivos - Bracket – Cementado.

# 110

PO2004

## INFLUENCIA DE DIVERSOS MEDIOS CEMENTANTES ORTODÓNTICOS SOBRE LA ESTRUCTURA ADAMANTINA. ANÁLISIS MICROSCÓPICO.

Paz Alejandro - Arias Silvia - Raguso Mabel - Breuer Virginia.

Odontología Universidad Argentina J. F. Kennedy.

**OBJETIVO:** Visualizar la estructura adamantina antes y después de la acción del medio de fijación o sus acondicionadores adamantinos y cuantificar la descalcificación del esmalte dentario mediante Difracción de rayos X **MÉTODOS:** Para visualizar la estructura adamantina se procedió al acondicionamiento del esmalte dentario de acuerdo al grupo: a) Técnica de grabado ácido, adhesivo monocomponente y composite de fotoactivación. b) Adhesivo autoacondicionantes y composite de fotoactivación. b) ácido poliacrílico con Ionómero Vítreo fotopolimerizable. En una misma cara dentaria se compararon las superficies con y sin tratamiento. Se visualizaron con Microscopio electrónico de barrido marca Philips 500. Conjuntamente con la visualizaciones se determinó mediante sistema EDAX, difracción de rayos X el contenido cálcico antes y después del tratamiento adamantino obteniendo el porcentaje de pérdida de dicho elemento. Los resultados fueron analizados con ANOVA y Tukey para comparación de medias.. **RESULTADOS:** Los resultados mostraron claramente diferencias tanto en la estructura adamantina como en la pérdida de calcio de acuerdo al tratamiento empleado. La técnica de grabado ácido fue quien produjo mayores microsurcos y pérdida cálcica, Los cementos de Ionómeros Vítreos mostraron en menor grado de descalcificación adamantina. **CONCLUSION:** Las alternativas para el cementado de bracket ortodónticos afectan en forma diferente la estructura adamantina produciendo diferentes grados de descalcificación

Palabras Clave: Adhesivos - Esmalte – Ortodontia.



# 111

PO2005

## DETERMINAR LA PROFUNDIDAD DE CURADO DE SEIS COMPOSITOS DENTALES CON DIFERENTES INDICACIONES CLÍNICAS.

Abel Vilma - Paz Alejandro - Arias Silvia - Jordàn Sebastian -Españon Candelaria.  
Facultad de Odontología. Universidad Nacional de La Plata.

**OBJETIVO:** Determinar la profundidad de curados de composites con diferentes indicaciones clínicas.  
**MÉTODOS:** La profundidad de curado fue analizada sobre seis composites, tres para sector anterior y tres para sector posterior, para cada materiales se analizaron dos tonalidades (A1 y A3.5). Grupos a) Solare anterior (GC) b) Solare Posterior (GC) c) Premisa (Kerr) d) Point 4 (Kerr) e) Aelite LS Aesthetic enamel (Bisco) f) Aelite LS Posterior (Bisco). Un molde cilindro metálico de 6 mm de altura y 4 mm de diámetro interno fue utilizado para confeccionar los especímenes. El material fue llevado al molde usando una espátula de titanio y un condensador, a continuación se fotopolimerizó durante 40 segundos. El último paso fue medir la altura de espécimen luego de eliminar la capa no polimerizada y determinar el material no polimerizado. **RESULTADOS:** Los materiales para sector anterior mostraron mayor espesor de polimerización que aquellos indicados para sector posterior. **CONCLUSION:** Todos los composites mostraron un aceptable espesor de curado. Los materiales para sector anterior (menor porcentaje de relleno) polimerizaron mejor, el aumento del relleno y de tonalidad limitan el poder de fotopolimerización.

Palabras Clave: Composite - Curado – Profundidad.

# 112

PO2006

## TÉCNICAS DE APLICACIÓN DE DIFERENTES MEDIOS CEMENTANTES PARA LA FIJACIÓN DE PERNOS DE FIBRA DE VIDRIO.

Españon Candelaria - Paz Alejandro - Arias Silvia - Abel Vilma -Jordàn Sebastián.  
Facultad de Odontología. Universidad Nacional de La Plata.

**OBJETIVO:** El objetivo de este trabajo fue visualizar el poder de penetración de ciertos medios cementantes dentro del conducto radicular durante el cementado de pernos de fibra de vidrio y establecer la técnica apropiada para dicho fin. **MÉTODOS:** Se conformaron nueve grupos para el análisis utilizando los siguientes materiales dentales: grupo 1, cemento de ionomero vítreo Luting and Lining cement ( GC ) grupo 2, cemento de ionomero vítreo Meron ( VOCC ) grupo 3, cemento de ionomero vítreo Secura fix (WP) grupo 4, cemento de ionomero vítreo con resina Fuji Plus ( GC ) grupo 5 , cemento de ionomero vítreo Fuji Cem ( GC ) grupo 6, cementos resinosos Nexus 2 ( Kerr ) grupo 7, cemento dual ( Kleep ) grupo 8, cementos resinosos autocondicionantes Maxcem ( Kerr ) grupo 9, cementos resinosos autocondicionantes G Cem ( GC ). Los pernos utilizados fueron pernos estándar de fibra de vidrio Densell. Se prepararon 15 muestras para cada grupo, en la primera etapa se realizaron los tratamientos endodónticos en cada una de las piezas dentarias uniradiculares. En la etapa siguiente se procedió a la desobturación de los conductos radiculares hasta lograr la longitud adecuada para cada perno, para realizar su cementación seguimos las indicaciones del fabricante y medimos la penetración del agente cementante dentro del conducto radicular. En una segunda experiencia se varió la técnica utilizada para su cementación tomando nuevas medidas de penetración **RESULTADOS:** Los resultados mostraron diferencia significativa entre los distintos medios cementantes, destacando el mejor poder de penetración en los ionómeros vítreos convencionales. **CONCLUSION:** Si lo que se tiene en cuenta es la capacidad de penetración de el medio cementante dentro del conducto radicular los cementos de Ionómeros Vítreos convencionales obtuvieron los mejores valores, no así aquellos en cuya composición existen elementos resinosos. También observamos que en la mayoría de los agentes de fijación la técnica con lentulo obtuvo los mejores resultados.

Palabras Clave: Postes - Fibra de vidrio – Cementos.

# 113

**VALORACIÓN DE LA RADIOPACIDAD DE DIVERSOS MEDIOS CEMENTANTES.**  
Jordàn Sebastián\* - Abel Vilma - Españañ Candelaria - Arias Silvia - Paz Alejandro.  
Facultad de Odontología. Universidad Nacional de La Plata.

PO2007

**OBJETIVO:** Determinar la radiopacidad de diferentes medios cementantes utilizando un software informático. **MÉTODOS:** Se conformaron 9 grupos de acuerdo a los medios cementantes: tres con cementos de Ionómero Vítreo convencional, dos con Ionómeros Vítreos resinosos y cuatro con cementos resinosos. Para cada grupos se realizó la endodoncia correspondiente y se cementó un poste de fibra de vidrio. Se tomó la RX correspondiente y se analizó la densidad radiográfica con un software informático Epson Scan CX 3700 versión 2.70 S. Para la medición se tomó como referencia la radiopacidad dentinaria y se valoró de la siguiente manera: menor, igual o mayor, de acuerdo al porcentaje de luminiscencia. **RESULTADOS:** Los resultados mostraron que los Cementos de Ionómero Vítreo convencionales fueron los únicos que igualaron a la radiopacidad dentinaria **CONCLUSION:** Observando los resultados vemos que ninguno de los materiales utilizados en este trabajo, conjuntamente con los postes de fibra de vidrio, lograron una radiopacidad aceptable para divisar los límites de la estructura protética.

Palabra Clave: Cements - Radiopacidad - Glass fiber posts

# 114

**INVESTIGACIÓN DE LA VARIACIÓN DIMENSIONAL DE LAS IMPRESIONES DENTALES CON ALGINATO VACIADAS DE FORMA INMEDIATA.**

Martín A\*, Noste JL, Granato M., Attorresi B, Di Benedetto S., Galleano S., Girgenti JC, Valdés C., Arancegui N.  
Facultad de Odontología de Rosario- UNR.

PO2008

**OBJETIVO:** Contribuir al conocimiento de las prácticas realizadas por los profesionales odontólogos con respecto al momento ideal de confeccionar el modelo a partir de una impresión realizada con hidrocoloide irreversible. Investigar la estabilidad dimensional del alginato en función del tiempo de almacenamiento desde que fue tomada la impresión hasta la confección del modelo y las condiciones medioambientales de humedad y temperatura a las que está sometida la impresión. **MÉTODOS:** Se parte de un modelo maestro confeccionado en acrílico transparente con máquina de corte con pantógrafo láser, al cual se le anexaron cuatro pilares metálicos torneados. Evaluado y aceptado éste patrón por ingenieros de INTI, se procede a la toma de cinco impresiones bajo temperatura y presión constante con el material hidrocoloide irreversible "Hydrogum" de la línea Zermack. Se confeccionaron los modelos en forma inmediata en yeso densita para troqueles de baja expansión Silky- Rock, amarillo tipo IV. Los modelos obtenidos se remitieron al laboratorio de Metrología Mecánica de INTI pasadas las 24 horas, para asegurarnos la pérdida del excedente de agua logrando la óptima resistencia seca. Las mediciones de los mismos fueron efectuadas con una máquina de medir por coordenadas Brown & Sharpe modelo Xcell 710.7 con programa de aplicación TUTOR for Windows. **RESULTADOS:** habiéndose realizado las mediciones de los parámetros seleccionados del modelo patrón y de las muestras se obtuvieron desvíos (error) detallados en un cuadro de referencia. **CONCLUSION:** analizando los valores obtenidos de las mediciones mencionadas podemos concluir que no hay variaciones significativas. La investigación continuará con el análisis estadístico pertinente.

Palabras Clave: variación dimensional, hidrocoloide irreversible, modelos.

# 115

PO2009

## EVALUACIÓN DE IMPLANTES DE TITANIO-POLIACRILATO COMO SISTEMAS DE LIBERACIÓN DE CLORHEXIDINA: BIOCOMPATIBILIDAD IN VITRO SOBRE

**MACRÓFAGOS MURINOS.** Cortizo M.C\*, Oberti T.G, Cortizo M.S, Fernández Lorenzo M, Cortizo A.M. INIFTA Facultad de Ciencias Exactas-Facultad de Odontología-Facultad de Ingeniería- Cátedra de Bioquímica Patológica- UNLP.

Los implantes dentales de Titanio (Ti) son susceptibles a la contaminación por biopelículas bacterianas. Las películas de poliacrilatos de bencilo (PAB) conteniendo clorhexidina (CLH) han demostrado ser eficaces para reducir la adherencia microbiana, aunque se desconoce su biocompatibilidad. **OBJETIVO:** Evaluar la biocompatibilidad de Ti, Ti-PAB y Ti-PAB-CLH en un cultivo de macrófagos murinos. **MÉTODOS:** Se usaron muestras de Ti grado 1 y muestras Ti-PAB y Ti-PAB-CLH preparadas por casting de cloroformo. Se utilizó clorhexidina al 1,4 % p/p como agente antimicrobiano. Los implantes estériles se depositaron dentro de wells de 5cm<sup>2</sup>. Se plaquearon células monocitos/macrófagos de la línea Raw 264.7 y se cultivaron por 24h. Las células adheridas a los implantes (tinción naranja de acridina) se evaluaron por fluorescencia directa y las adheridas al well se tiñeron con Giemsa y se observó su número y morfología celular. **RESULTADOS:** la microscopia de epifluorescencia demostró que la cantidad de células adheridas sobre el control (Ti) y sobre el de Ti-PAB eran similares no observándose células muertas. Las células crecidas sobre el well mostraron resultados semejantes con preservación de la morfología normal. Los macrófagos sobrevivientes sobre la muestra PAB-CLH mostraron un número reducido (33,4% con respecto al control) con un importante número de células muertas por apoptosis/necrosis. Por otro lado, las células crecidas alrededor de este implante también mostraron una importante reducción en su número con significativas alteraciones morfológicas (pérdida de procesos conectivos, desaparición de citoplasma). El análisis estadístico (Tukey) de los resultados mostró que las muestras con Ti-PAB-CLH presentaron diferencias significativas con respecto a las de Ti y Ti-PCAB en el número de células adheridas. **CONCLUSION:** La utilización de la línea celular Raw 264.7 demostró ser un método conveniente por su sensibilidad y reproducibilidad para evaluar la biocompatibilidad de los biomateriales utilizados. Las células adheridas a Ti y a Ti-PAB no mostraron signos de toxicidad a través de los ensayos realizados pero, la concentración de CLH utilizada para preparar las muestras Ti-PAB-CLH, afectó la adhesión de células las cuales revelaron signos de citotoxicidad. Palabras Clave: Titanio - Clorhexidina – biocompatibilidad.

# 116

PO2010

## UTILIZACIÓN DE UN COLUTORIO A BASE DE DIGLUCONATO DE CLORHEXIDINA Y XILITOL COMO INHIBIDOR DE LA CORROSIÓN DE ALEACIONES DENTALES RICAS EN COBRE.

<sup>a</sup>Morales ML\*, <sup>a,b</sup>Fernández Lorenzo M, <sup>a,c</sup>Mirífico MV.

<sup>a</sup>INIFTA, <sup>b</sup>Fac. Ing., Dpto. Mecánica, U.N.L.P., <sup>c</sup>Fac. Ing., Dpto. Ing. Qca., U.N.L.P.

Las aleaciones base cobre son utilizadas en América del Sur, Japón, EEUU y algunos países de Europa Oriental, en la confección de prótesis fijas, desde hace más de 25 años. Su popularidad se debe principalmente a su bajo costo en relación con aleaciones de metales nobles. Estudios clínicos demuestran que la corrosión de coronas y pernos confeccionados con este tipo de aleaciones, provoca coloraciones y procesos inflamatorios en el tejido gingival circundante y pigmentación azul verdosa en las raíces de piezas dentarias. Entre los métodos más importantes de protección contra la corrosión, se encuentra el uso de sustancias denominadas inhibidores. Para que un inhibidor pueda ser utilizado en odontología no debe ser tóxico ni provocar reacciones adversas en el organismo. **OBJETIVO:** investigar el efecto inhibidor de un antiséptico bucodental a base de clorhexidina y xylitol (Periodent®) sobre la corrosión de una aleación base cobre (Cu: 81.5%, Al: 7%, Ni: 4.5%, Fe: 3%, Mn: 2% y Zn: 2%). **MÉTODOS:** técnicas electroquímicas potenciodinámicas; análisis superficiales: microscopía óptica (MO) y electrónica de barrido (SEM); espectroscopia fotoelectrónica de rayos X (XPS) y espectrofotometría de absorción atómica (EAA). **RESULTADOS:** las técnicas electroquímicas muestran que el antiséptico disminuye marcadamente la corrosión de la aleación. El efecto inhibidor aumenta con el tiempo de pre-tratamiento alcanzando una eficiencia próxima al 90%. El análisis superficial por XPS de la aleación pre-tratada demuestra que el antiséptico se adsorbe sobre la superficie metálica. La morfología (observaciones MO y SEM) de la superficie metálica sin tratar, inmersa en un medio corrosivo que simula la saliva, revela un daño severo debido a la disolución del metal. En cambio, en la superficie pre-tratada con el antiséptico se observa que el daño disminuye, al igual que la concentración de iones liberados al medio corrosivo (analizados por EAA). **CONCLUSION:** el colutorio estudiado es un eficaz inhibidor de la corrosión de la aleación base cobre.

Palabras Clave: aleación base cobre, antiséptico oral, inhibidor de la corrosión.

# 117

PO2011

## CONTROVERSIA SOBRE LA BIOCOPATIBILIDAD DE LA AMALGAMA DENTAL DEBIDO A LA CONOCIDA TOXICIDAD DEL MERCURIO (HG) Y SUS EFECTOS COMO COMPONENTE DE ESTA ALEACIÓN.

Noste JL\*, Attorresi B, Pastaro R, Gonzalez L, Di Benedetto S, Gaspar JL, Fernandez V, Antoneda G.

Facultad de Odontología de Rosario- UNR.

**OBJETIVO:** Indagar el estado actual de las investigaciones referentes a la toxicidad del mercurio generada por la actividad antropogénica. **METODO:** revisión y recopilación de información internacional sobre la contaminación mercurial relacionada con odontología, otras fuentes de contaminación ambiental y formas de ingreso al organismo humano. **RESULTADOS:** El Hg se presenta en nuestro ambiente bajo tres formas: como metal, como ion inorgánico o como una de sus formas orgánicas: metilmercurio o etilmercurio. El Hg metálico tiene acceso al cuerpo humano por la piel y a pulmones como vapores o gases. El intestino absorbe poco Hg metálico (0,01%) y la inhalación de su vapor es la principal vía de entrada. 8/10 amalgamas dentales diarias producen la absorción de entre 1,1/4,4 ng. de vapor por día, los trabajadores en industrias que utilizan Hg inhalan 350 a 500 ng. por día. Se considera que pacientes portadores de amalgamas pueden ingerir diariamente 45 ng. Por día por desgaste como iones y en caso de una restauración que se fractura y se deglute la absorción intestinal es mucho menor. El Hg no procede de las amalgamas, sino de la conjunción de este metal con bacterias y otros sistemas biológicos, forma más tóxica del Hg y el 90/95% es absorbido por el intestino depositándose en tejido graso, nervioso y glándulas, siendo la dieta la forma principal de ingreso. **CONCLUSION:** El ingreso de Hg por vapores, gases e ingesta de iones en portadores de restauraciones se encuentra muy por debajo de los valores tóxicos. El odontólogo debe activar los medios para el manejo seguro del Hg. El metilmercurio contamina atmósfera y aguas de ríos y mares alojándose en carnes de aves y peces ingeridos por el hombre.

Palabras Clave: toxicidad, Mercurio, Metilmercurio.

# 118

PO2012

## DISEÑO Y UTILIZACIÓN DE UN DISPOSITIVO PORTA MATRÍZ PARA RESTAURACIONES CON COMPOSITE DEL SECTOR POSTERIOR.

María Luján López Vallejos\*, Alicia Aguirre Grabre de Prieto y María Eugenia Zamudio.

Facultad de Odontología de la Universidad Nacional del Nordeste

**OBJETIVO:** a- Confeccionar un Dispositivo sencillo que disminuya la filtración marginal. b Comparar la efectividad del dispositivo de nuevo diseño con la utilización del sistema matriz convencional. **METODOS:** Se confeccionó el diseño gráfico y el dispositivo porta-matriz. Muestra: la unidad experimental esta representada por 160 dientes del sector posterior. Se confeccionó una planilla para volcar los siguientes datos: N° de pieza dentaria en sistema doble dígito; caras involucradas por la lesión de caries. Se clasificaron en lesiones de Clase II, según las caras involucradas en simple, compuestas o complejas. Se realizaron las preparaciones y sus respectivas restauraciones dentarias. Luego se realizó la tinción con un colorante, en el cual se sumergieron las piezas dentarias restauradas durante un período de 48hs a 72hs. Se efectuó el corte de cuarenta piezas dentarias seleccionadas por azar estratificado, utilizando un disco de carborundum y luego procedió al corte definitivo con ISOMET. Se visualizó en que restauraciones se produjo filtración marginal en la caja proximal de esas piezas dentarias. Para la visualización se utilizó el microscopio óptico. **RESULTADOS:** Se comprobó que: Técnicamente el número de pasos técnicos de colocación del dispositivo de nuevo diseño es menor comparado al dispositivo tradicional. El nuevo diseño presenta mejor estabilidad a nivel de la cara proximal de la pieza dentaria a restaurar, lo que facilita la inserción del composite. Al llevar el nuevo diseño matriz de acetato, se observa que mejora la visión al operador a la hora de compactar el material restaurador en la caja proximal. Se evaluó la filtración marginal teniendo en cuenta: posibles escalas. Grado 0: No existe filtración. Grado 1: La penetración del tinte sólo afecta al esmalte. Grado 2: Tinte en dentina. Grado 3: En toda la cavidad. No valorable: penetración del tinte a través del ápice. **CONCLUSION:** Luego de la comparación de resultados obtenidos con ambos dispositivos se arribaron a las siguientes conclusiones: el nuevo dispositivo presentó: mejor adaptación marginal y se comprobó menor filtración marginal en las piezas dentarias restauradas por el mismo. Obteniendo porcentajes estadísticamente significativo  $p > 0,05$ .

Palabras Clave: Dispositivo -Porta Matriz- Filtración Marginal.

# 119

PO2013

**ADHESIÓN A LA PARED PULPAR DE CEMENTOS DE IONÓMEROS VÍTREOS CON DISTINTOS TRATAMIENTOS DEL SUSTRATO ESTUDIO CON CONFOCAL LASER SCANNING MICROSCOPY.** Mirta Spadilero de Lutri, Mónica Paola Lutri, Carlos Rozas, Mario Sezín\*, Elba G. Priotto, Jorge Uribe Echevarría. Departamento de Rehabilitación Bucal. Facultad de Odontología. Universidad Nacional de Córdoba.

**OBJETIVO:** El objetivo del trabajo fue comparar la adhesión-adaptación a la pared cavitaria pulpar de preparaciones profundas, de cuatro cementos de ionómero vítreo, dos convencionales y dos fotopolimerizables, con tres tratamientos diferentes del sustrato, a través del Confocal Laser Scanning Microscope. **MÉTODOS:** Se utilizaron 36 terceros molares humanos en los que se prepararon cavidades de Clase 1 oclusales simples, en dentina profunda. Los dientes con las preparaciones fueron divididos en tres grupos de 12 elementos dentarios cada uno, según su acondicionamiento en: Grupo A, lavadas con agua a presión (grupo control); Grupo B, se acondicionaron con ácido poliacrílico al 20%; Grupo C, se trataron con hipoclorito de sodio al 5.25%. Cada grupo de dientes fue subdividido en 4 subgrupos de 4 elementos cada uno, según el material empleado en la pared pulpar: Subgrupos A1 Ionobond; A2 Ketac Molar Easy Mix; A3 GC Gold Label.; y A4 GC Fuji Lining LC. En los subgrupos B1, B2, B3 y B4, y C1, C2, C3 y C4 se aplicaron todos los CIVs igual que en el grupo A. Los cementos de ionómeros vítreos fotopolimerizables fueron curados con una unidad de fotocurado LED. Los elementos dentarios así preparados fueron obturados por técnica incremental con resina Grandio, en capas de 1mm y fotopolimerizando cada capa durante 20 segundos. Los dientes fueron cortados con Isomet 1000. Posteriormente los cortes fueron sumergidos en Rhodamina B al 1.00% y procesadas con Confocal Laser Scanning Microscope. (Zeiss y Olympus). Los valores obtenidos fueron sometidos a análisis estadístico de varianza (ANOVA) de 2 criterios, que comprende el análisis de los promotores de adhesión y de los CIVs. **RESULTADOS:** Se pudo determinar que: a) La adhesión-adaptación de los cementos de ionómero vítreos convencionales y fotopolimerizables fue semejante entre los grupos A, B y C no siendo las diferencias estadísticamente significativas; b) La adhesión-adaptación fue similar entre los 3 subgrupos considerados, no siendo las diferencias estadísticamente significativas; c) La adhesión-adaptación osciló entre 0,08 y 0,13 micrómetros. **CONCLUSION:** El tratamiento del sustrato con agua a presión, con ácido poliacrílico y con hipoclorito de sodio no tendría influencia en la adhesión-adaptación de los CIVs. Palabras Clave: Adhesión, Adaptación.

# 120

PO2014

**EVALUACIÓN CLÍNICA DE IONÓMEROS VÍTREOS EN EL SELLADO DE FOSAS Y FISURAS.**

Sly G\*, Missana L., Kaplan A.

Cátedras de Odontopediatría y Anatomía y Fisiología Patológica de la F.O. U.N.T.y Cátedra de Materiales Dentales de la U.B.A.

**OBJETIVO:** El objetivo del presente estudio fue evaluar en forma comparativa el comportamiento clínico de dos ionómeros vítreos convencionales, uno de alta densidad (Fuji IX) y otro indicado para sellado (Fuji VII). **MÉTODOS:** Fueron sellados 105 primeros molares permanentes en erupción, en un grupo de niños de ambos sexos, entre 5 y 8 años de edad. Se realizó técnica doble ciego con un solo operador. Se evaluaron retención, presencia de caries, adaptación marginal, decoloración marginal y resquebrajamiento de los tratamientos a los 18 meses, utilizando los Criterios de Ryge. **RESULTADOS:** En base a los datos y utilizando la prueba exacta de Fisher se estudió si existe diferencia significativa entre los materiales estudiados, en las variables mencionadas. Los resultados obtenidos fueron los siguientes: retención ( $p=0.013$ ); caries ( $P=0.239$ ); adaptación marginal ( $P=0.999$ ); decoloración marginal ( $P=0.999$ ) y resquebrajamiento ( $P=0.999$ ). Los datos para estos valores fueron: Pares: retención: Alfa:19, bravo:1, Charlie:15; caries: Alfa:35, bravo:0; adaptación marginal: alfa:19, bravo:1; decoloración marginal: alfa: 20, bravo:0, charlie:0; resquebrajamiento: Alfa: 20, bravo:0. Impares: retención: alfa:8, bravo: 1, charlie: 26; caries: alfa: 33, bravo: 2; adaptación marginal: alfa:9, bravo:0; decoloración marginal: alfa:9, bravo:0, charlie: 0; resquebrajamiento: alfa:9, bravo:0. **CONCLUSION:** En las condiciones experimentales aplicadas, los resultados obtenidos sugieren que existe una diferencia estadísticamente significativa, en el uso de los materiales Fuji IX y Fuji VII en cuanto a la retención del material cuando se utilizan como selladores en molares permanentes en erupción.

Palabras Clave: Ionómeros vítreos, selladores.

# 121

PO2015

## NECROSIS EXPERIMENTAL EN FIBROBLASTOS GINGIVALES HUMANOS INDUCIDA POR UN CEMENTO DE IONÓMERO VÍTREO FOTOPOLIMERIZABLE.

Rozas C\*, Rodríguez I.A., Sánchez Quevedo M.C., Alaminos Mignorance M., Ferraris M.E., Campos A., Uribe Echevarría J.

Cát. Operatoria Dental I "A", Cát. Histología "B", Fac. Odontología U.N.C. Argentina. Dep. Histología, Fac. Odont. y Medicina, Universidad de Granada, España.

**OBJETIVO:** El objetivo del presente trabajo fue evaluar la viabilidad de fibroblastos gingivales humanos en contacto con un cemento de ionómero vítreo fotopolimerizable Vitrebond (VT) (3M-ESPE), mediante los métodos de microanálisis por energía dispersiva de rayos X y de cuantificación de ADN libre. **MÉTODOS:** Se utilizaron cultivos primarios de fibroblastos gingivales humanos en placas de 24 pocillos a una concentración de 20000 células/400  $\mu$ l de medio de cultivo DMEM con 10% FBS y antibióticos. Las células fueron expuestas durante 72 horas a discos de 2mm de diámetro por 1mm de espesor de VT, los cuales asentaban sobre insertos con membranas porosas de 4 $\mu$ m. El contenido iónico de Na, K, Cl, S, P y Mg fue evaluado mediante microscopía por energía dispersiva de rayos X (EPXMA). Para su estudio las células fueron: 1) Cultivadas sobre rejillas de oro; 2) Criofijadas y 3) Criodesecadas. Para la determinación cuantitativa de los iones (mmol/kg masa seca) se utilizó el método P/B con sales estándar disueltas en dextrano al 20%. Para identificar fragmentos de ADN libre en el medio de cultivo se utilizó una técnica cuantitativa por espectrofotometría. Las células controles no recibieron tratamiento. **RESULTADOS:** Los resultados permitieron observar que con VT se produce un aumento intracelular del Na y Cl y una disminución simultánea del K, Mg y S siendo las mismas estadísticamente significativas con respecto al control. El P disminuye pero no en forma significativa. La liberación de ADN, por parte de las células expuestas a VT, fue estadísticamente significativa respecto al control. **CONCLUSION:** El EXPMA determinó que VT induce sobre los fibroblastos gingivales humanos cambios iónicos intracelulares que conducen a un mecanismo de muerte celular por necrosis. Asimismo, la cuantificación de liberación de ADN permitió establecer el efecto citotóxico de VT a nivel nuclear.

Palabras Clave: fibroblastos gingivales, cemento de ionómero de vidrio, viabilidad celular. EXPMA.

# 122

PO2016

## APLICACIÓN DE MICROSCOPIA ELECTRÓNICA Y ESTEREOMICROSCOPIA AL ESTUDIO DE LA SUPERFICIE DE DIENTES POST TRATADOS CON TÉCNICAS DE BLANQUEAMIENTO Y MICROABRASIÓN.

Chena E\*, Galván V, Limandri S, Torres de Luigi M, Castellano G.

Cátedra de Operatoria 2 A, Facultad de Odontología, UNC. LABMEM, UNSL. FaMAF-UNC.

**OBJETIVO:** La fluorosis es una patología endémica en diferentes zonas de nuestro país, producida como resultado del alto tenor de flúor en aguas y productos de consumo, y con el tiempo produce alteraciones de la estructura adamantina, manifestándose a través de manchas. En este trabajo se estudia la superficie adamantina de elementos dentarios fluoróticos, in vitro, con el propósito de seleccionar la técnica de tratamiento más adecuada para la corrección estética de la fluorosis dental. **MÉTODOS:** Utilizando las técnicas de microscopía electrónica de barrido en combinación con análisis dispersivo en energía y estereomicroscopía se caracterizaron superficies de 30 dientes veteados, 20 de los cuales fueron sometidos a dos tratamientos distintos de blanqueado: a 10 de ellos se aplicó una profilaxis con partículas de óxido de aluminio + ácido clorhídrico al 18% (2 min) + microabrasión + neutralizante, mientras que para los 10 restantes sólo se incluyó microabrasión (frotado con ácido clorhídrico al 18% y polvo de sílice). Se obtuvieron mapas de altura y parámetros de rugosidad de la superficie de los dientes tratados y se compararon con los correspondientes a los dientes sin tratar. **RESULTADOS:** De los espectros de rayos x se infiere que el uso de ácido clorhídrico como agente erosivo de la técnica no deja residuos de cloro en el diente si es correctamente lavado luego ser aplicado. De los mapas de altura y parámetros de rugosidad determinados puede verse que el aspecto resultante del tratamiento de microabrasión es menos rugoso y se asemeja más al diente sin tratar que los tratamientos que involucran procedimientos más invasivos. **CONCLUSION:** La técnica menos nociva que permite el tratamiento más adecuado del sustrato adamantino es aquella que no involucra partículas de óxido de Al o concentraciones elevadas de ácido clorhídrico, como se utilizaba en un principio. Los resultados obtenidos se extienden no sólo al tratamiento de dientes fluoróticos sino a la estética dental en general. Las técnicas empleadas para la caracterización superficial han sido de gran utilidad para este trabajo y presentan grandes ventajas (rápida aplicación, no es destructiva de las muestras originales, bajo costo, etc.), pudiendo ser utilizadas progresivamente para múltiples estudios. Palabras Clave: blanqueamiento dental; fluorosis; microscopía electrónica de barrido.

# 123

PO2017

## DETERMINACIÓN DEL NIVEL SOCIOECONÓMICO DE PACIENTES REHABILITADOS EN LA FOUNNE Y SU RELACIÓN CON EL CUMPLIMIENTO A PROGRAMAS DE ASISTENCIA ODONTOLÓGICA.

Hidalgo, José Carlos\*; Ruiz Díaz de Centeno, Elena; Chetti, Ana Maria.  
Dpto. Odontología Rehabilitadora Facultad de Odontología UNNE.

**OBJETIVO:** Identificar el nivel socio económico de los pacientes rehabilitados en la cátedra de Clínica de Operatoria Dental de la FOUNNE y relacionarlo con la concurrencia a los controles de un programa de seguimiento. **MÉTODOS:** Los pacientes rehabilitados por los alumnos de la Cátedra de Clínica de Operatoria Dental, pasan a formar parte de un programa de seguimiento que prevee controles a los 6, 12, 18 y 24 meses posteriores al tratamiento. Muestra: pacientes rehabilitados de la cohorte 2005-2006. El instrumento utilizado para medir el NSE fue el Índice Sumatorio Socioeconómico que es el resultado de la suma de puntos obtenidos en las variables nivel educativo y los de la categoría ocupacional **RESULTADOS:** Se pudo determinar que en el total de la muestra coexisten dos categorías de N-S: Bajo y MEDIO-BAJO. De 324 pacientes rehabilitados, 127 asistieron a los 4 controles, 61 no completaron los mismos y 136 nunca concurren. El grupo que cumplió con los cuatro controles, correspondió a la categoría MEDIO-BAJO del N-S. El grupo que no cumplió pertenece al Nivel Bajo. **CONCLUSION:** Se considera que el Nivel socioeconómico de los pacientes es determinante en la concurrencia a los controles del programa de seguimiento.

Palabras Clave: Nivel socioeconómico, Índice Sumatorio, Programa de seguimiento.

# 124

PO2018

## ANÁLISIS COMPARATIVO "IN VIVO" ENTRE MICROFLORA DEL CONDUCTO, ANTISEPSIA Y TIEMPO DE APEXIFICACIÓN.

Evjanián G, Visvisián C\*, Gani O.

Cátedras de Odontopediatría "A" y Endodoncia "A" .Facultad de Odontología. Universidad Nacional de Córdoba.

**OBJETIVO:** Evaluar "in vivo" mediante un método bacteriológico el efecto de tres agentes antisépticos utilizados en el tratamiento de la apexificación, para neutralizar la microflora endodóntica y analizar el tiempo requerido para la reparación y la formación de la barrera apical. **MÉTODOS:** Se seleccionaron 21 pacientes de edades comprendidas entre 7 y 20 años con cuadros clínicos de necrosis pulpar en dientes permanentes, los que se distribuyeron en tres grupos de 7 piezas cada uno. Realizado el acceso cameral y previo a la instrumentación de los conductos, se obtuvieron muestras para efectuar el primer estudio bacteriológico. Para desinfectar los conductos se empleó, en el Grupo A irrigación con hipoclorito de sodio (NaOCl) al 2,5% y antisepsia con NaOCl al 5%; Grupo B yodo yoduro de potasio (IPI) como irrigante y medicación tópica y Grupo C NaOCl al 2,5% como irrigante y paramonoclorofenol alcanforado (PMCFa) como refuerzo antiséptico. En una segunda sesión, efectuada 8 días después, se obtuvo la segunda muestra a los efectos de evaluar la efectividad de los agentes utilizados. **RESULTADOS:** Los agentes más efectivos para reducir la microflora fueron NaOCl (5%) e IPI, ya que se observó que su empleo producía una reducción significativa ( $p < 0.05$ ) en el número de bacterias Aerobias y Anaerobias en el segundo control bacteriológico. Por el contrario, con el empleo de PMCFa, la disminución no fue significativa ( $p > 0.05$ ). Con respecto al tiempo requerido para la apexificación, se comprobó que la media fue de 9 meses para el grupo A, de 7 meses para el grupo B, tiempos significativamente menores ( $p = 0.045$ ) que los registrados en el grupo C que fue de 15 meses. La relación tiempo para la apicoformación y grado de disminución en el desarrollo bacteriano, mostró que existía entre ambas una diferencia estadísticamente significativa ( $p = 0.026$ ). **CONCLUSION:** Los antisépticos más efectivos fueron el NaOCl (2,5% como irrigante y 5% como medicación tópica) y el IPI como agente irrigante y tópico; b. Hubo una evidente correlación entre la persistencia de gérmenes y el tiempo requerido para la reparación y formación del ápice.

Palabras Clave: Microflora endodóntica. Antisépticos. Apicoformación.

# 125

PO2019

## APLICACIÓN DE MICROSCOPIA ELECTRÓNICA Y ESTEREOMICROSCOPIA AL ESTUDIO DE LA SUPERFICIE DE DIENTES POST TRATADOS CON TÉCNICAS DE BLANQUEAMIENTO Y MICROABRASIÓN.

Chena E\*, Galván V, Limandri S, Torres de Luigi M, Castellano G.

Cátedra de Operatoria 2 A, Facultad de Odontología, UNC. LABMEM, UNSL. FaMAF-UNC.

**OBJETIVO:** La fluorosis es una patología endémica en diferentes zonas de nuestro país, producida como resultado del alto tenor de flúor en aguas y productos de consumo, y con el tiempo produce alteraciones de la estructura adamantina, manifestándose a través de manchas. En este trabajo se estudia la superficie adamantina de elementos dentarios fluoróticos, in vitro, con el propósito de seleccionar la técnica de tratamiento más adecuada para la corrección estética de la fluorosis dental. **MÉTODOS:** Utilizando las técnicas de microscopía electrónica de barrido en combinación con análisis dispersivo en energía y estereomicroscopía se caracterizaron superficies de 30 dientes veteados, 20 de los cuales fueron sometidos a dos tratamientos distintos de blanqueado: a 10 de ellos se aplicó una profilaxis con partículas de óxido de aluminio + ácido clorhídrico al 18% (2 min) + microabrasión + neutralizante, mientras que para los 10 restantes sólo se incluyó microabrasión (frotado con ácido clorhídrico al 18% y polvo de sílice). Se obtuvieron mapas de altura y parámetros de rugosidad de la superficie de los dientes tratados y se compararon con los correspondientes a los dientes sin tratar. **RESULTADOS:** De los espectros de rayos x se infiere que el uso de ácido clorhídrico como agente erosivo de la técnica no deja residuos de cloro en el diente si es correctamente lavado luego ser aplicado. De los mapas de altura y parámetros de rugosidad determinados puede verse que el aspecto resultante del tratamiento de microabrasión es menos rugoso y se asemeja más al diente sin tratar que los tratamientos que involucran procedimientos más invasivos. **CONCLUSION:** La técnica menos nociva que permite el tratamiento más adecuado del sustrato adamantino es aquella que no involucra partículas de óxido de Al o concentraciones elevadas de ácido clorhídrico, como se utilizaba en un principio. Los resultados obtenidos se extienden no sólo al tratamiento de dientes fluoróticos sino a la estética dental en general. Las técnicas empleadas para la caracterización superficial han sido de gran utilidad para este trabajo y presentan grandes ventajas (rápida aplicación, no es destructiva de las muestras originales, bajo costo, etc.), pudiendo ser utilizadas progresivamente para múltiples estudios. Palabras Clave: blanqueamiento dental; fluorosis; microscopía electrónica de barrido.

# 126

PO2020

## ESTUDIO BIOMECÁNICO DE POSTES PREFORMADOS UTILIZADOS EN PRIMEROS PREMOLARES SUPERIORES ENDODONCIADOS.

Peralta G, Piacenza A, Spaccesi J\*, Plavnik L, Abate P.

UNC. SIM.

La tendencia hacia una odontología más conservadora, asociada al avance en el sellado y la adhesión, también impulsan a diferentes técnicas en la restauración de elementos tratados endodónticamente como por ejemplo el uso de postes preformados de diferentes tipos de materiales, aún cuando no son bien conocidas sus propiedades biomecánicas. **OBJETIVO:** evaluar, "in vitro", el comportamiento biomecánico de postes preformados de distintos materiales utilizados en elementos dentarios tratados endodónticamente. **MÉTODOS:** La muestra constó de 64 postes y 48 primeros premolares superiores, extraídos a pacientes jóvenes por razones ortodóncicas. A ellos se les realizó la endodoncia, la fijación del poste y confección del muñón correspondiente. Luego fueron divididos en tres grupos, los cuales a su vez, fueron subdivididos en cuatro subgrupos, de acuerdo al material de los postes (titanio, circonia, fibra de vidrio y fibra de carbono) a los fines de aplicar los ensayos previstos para cumplimentar el objetivo. De esta manera, fue analizada, la flexión de los postes en forma individual y también la del conjunto poste-cemento-diente, evaluando la resistencia a la fractura ante fuerzas compresivas incidiendo a 45°, la pérdida de la unión adhesiva bajo fuerzas de tracción y la interfase poste-cemento resinoso-dentina mediante el análisis microscópico. Los resultados fueron analizados estadísticamente con ANOVA y test de Tukey con el programa Infostat 2000 (Infostat versión 1.1, Grupo Infostat, FCA-UNC). **RESULTADOS:** los postes de titanio obtuvieron la mayor resistencia a la flexión; los de fibra de carbono la mayor tensión de ruptura, seguidos por los de fibra de vidrio y de titanio; y con respecto a la fuerza de retiro, los postes de circonia y fibra de carbono, alcanzaron los valores más elevados. **CONCLUSION:** los postes de fibra de vidrio y fibra de carbono responden de forma más favorable desde el punto de vista biomecánico.

Palabras Clave: Postes. Premolares. Rehabilitación.



# 127

PO2021

## EVALUACIÓN IN VITRO DE LA ACCIÓN DE DIFERENTES SUSTANCIAS IRRIGADORAS EN LA ELIMINACIÓN DEL BARRO DENTINARIO O SMEAR LAYER CON DIFERENTES TÉCNICAS DE INSTRUMENTACIÓN. ESTUDIO PILOTO.

Finten SB\*, Gualdoni, GM, Rusas MG, Gómez Russo M, Rocha MT, Soto Mayol, K, De Langhe C. Cátedra de Endodoncia. Facultad de Odontología. Universidad Nacional del Nordeste. Av Libertad 5450. Corrientes. Argentina.

La instrumentación manual o mecanizada produce una capa residual de barro dentinario, que es necesario eliminar para lograr el éxito del tratamiento endodóntico. **OBJETIVO:** Evaluar a través de la microscopia electrónica de barrido (MEB) la capacidad de limpieza final de la dentina con diferentes sustancias, posterior a la limpieza y conformación químico-mecánica. **MÉTODOS:** Se seleccionaron 16 premolares superiores e inferiores, unirradiculares, con desarrollo radicular completo y constricción apical, los cuales fueron aleatoriamente preparados con instrumentación manual (técnica mixta) y mecanizada (Protaper), e irrigados con las siguientes sustancias: Grupo I: hipoclorito al 2,5% + EDTA (17%) y toilette final con EDTA durante 3 minutos sin y con agitación. Grupo II: hipoclorito al 5,25% + EDTA (17 %) y toilette final con EDTA durante 3 minutos sin y con agitación. Grupo III: hipoclorito al 2,5% + Triptón (Laboratorio Tedequim) y acondicionamiento final con ácido fosfórico (36%) durante 15 segundos y con Triptón, durante 1 minuto. Grupo IV: hipoclorito al 5,25% + Triptón y acondicionamiento final con ácido fosfórico (36%) durante 15 segundos y Triptón, durante 1 minuto. Se seccionaron las raíces en sentido bucolingual, se evaluó la presencia o ausencia de barro dentinario a nivel de los tercios cervical, medio y apical por medio del MEB. La pared dentinaria de cada muestra fue evaluada y comparada usando una escala predefinida de ausencia, mínima, moderada a gran cantidad y total obstrucción con barro dentinario. Los datos fueron analizados por medio de la prueba de Chi cuadrado Pearson. **RESULTADOS:** Se encontró diferencia estadísticamente significativa ( $p < 0,05$ ) entre técnicas operatorias siendo superior la técnica Mixta con respecto a la mecanizada. Si bien no se observaron diferencias significativas entre las soluciones irrigadoras, hubo mayor desbridamiento a nivel de los tercios cervical y medio con el acondicionamiento final con EDTA con agitación. **CONCLUSION:** Con las limitaciones de este estudio se observó que las soluciones utilizadas no fueron efectivas en la eliminación total del barro dentinario si bien el acondicionamiento final con EDTA o ácido fosforico mejoró el desbridamiento a nivel de los tercios cervical y medio. Palabras Clave: Barro dentinario. Soluciones irrigadoras. Limpieza del conducto radicular.

# 128

PO2022

## ACCIÓN SOLVENTE DEL XILOL SOBRE CEMENTOS ENDODÓNTICOS.

<sup>1</sup>Arcuri P\*, <sup>1</sup>Pacios G, <sup>2</sup>Olmos J y <sup>1</sup>Zeman L.

<sup>1</sup>Cátedra de Materiales Dentales, <sup>2</sup>Carrera de Endodoncia. Facultad de Odontología. UNT.

**OBJETIVO:** Durante el retratamiento endodóntico es necesario el uso de solventes orgánicos para facilitar la eliminación del cemento y los conos de gutapercha. El objetivo de este trabajo es evaluar la acción solvente del xilol sobre dos tipos de cementos endodónticos. **MÉTODOS:** Para estandarizar la muestra se usaron anillos metálicos de 8 mm de diámetro y 3 mm de altura, que fueron llenados con los siguientes cementos: Grossman (cemento a base de Oxido de cinc eugenol) y Roeko Seal (cemento a base de metil siloxano) y colocadas en estufa a 37° C durante 48 hs. Estas muestras fueron inmersas en xilol y en agua destilada (control) durante 5 minutos, 15 minutos y 30 minutos. La disolución del cemento fue determinada obteniendo la diferencia entre el peso inicial y el peso post inmersión en una balanza digital. Los datos fueron analizados estadísticamente con ANOVA y test de Tuckey. **RESULTADOS:** La solubilidad del cemento de Grossman en xilol no mostró diferencias significativas entre 5 y 15 minutos, pero si entre 15 y 30 minutos, mientras que con Roeko Seal no se observaron diferencias significativas en ninguno de los tiempos considerados. La solubilidad del cemento de Grossman a los 15 y 30 minutos fue significativamente mayor que la solubilidad del Roeko Seal. Tanto el cemento de Grossman como Roeko Seal en contacto con agua destilada no mostraron diferencias significativas en ninguno de lo tiempos considerados. **CONCLUSION:** El cemento endodóntico a base de OZE (Grossman) facilitaría la desobstrucción del conducto radicular en caso de retratamiento al ser más soluble en xilol que el cemento a base de silicona (Roeko Seal).

Palabras Clave: cementos endodónticos - xilol - ´metil siloxano.

# 129

PO2023

## ESTUDIO COMPARATIVO DE FUERZAS DE ADHESIÓN EN DENTINA DE DOS SISTEMAS ADHESIVOS.

García Zeman, P\*; Lagarrigue, G; Pacios, G; Zeman, L.

Cátedra de Materiales Dentales. Facultad de Odontología. UNT.

**OBJETIVO:** El objetivo de este trabajo fue el de comparar las fuerzas de adhesión en dentina de dos sistemas adhesivos diferentes: sistema autoacondicionante (Adper-Silorano) y sistema de grabado ácido total (ácido fosfórico al 37% y Adper Single bond 2). **MÉTODOS:** Se crearon superficies planas en la dentina de caras oclusales de premolares sanos. Las superficies dentinarias fueron tratadas de acuerdo al sistema usado: sistema autoacondicionante (Adper-Silorano) y sistema de grabado ácido total (ácido fosfórico al 37% y Single bond) siguiendo las indicaciones del fabricante. Luego se colocó sobre la superficie tratada un conformador circular de 3 mm de diámetro y 3 mm de altura, el cual se llenó con composite P90 en donde se usó el sistema autoacondicionante Adper-Silorano y con Z350 en donde se realizó la técnica de grabado ácido total y Adper Single Bond 2. Las resinas compuestas se polimerizaron en capas de no más de 2mm de profundidad. Las probetas fueron llevadas a una máquina para ensayos (Instron) y se realizó el test de shear y se calculó las fuerzas de adhesión. El análisis estadísticos fue analizado por prueba T para muestras independientes. **RESULTADOS:** Los datos obtenidos fueron evaluados estadísticamente con la prueba T para muestras independientes, y se observó diferencia estadísticamente significativas ( $p < 0,05$ ) entre el sistema adhesivo autoacondicionante adper- silorano usado con la resina compuesta P90 y el sistema de grabado ácido total con el sistema adper single bond 2. **CONCLUSION:** las resinas compuestas P90 son a base de un monómero que polimeriza por apertura de anillos (siloranos) y su sistema adhesivo es compatible con la resina del material. Este sistema fue estudiado por Cabral y col. y el patrón de penetración en la dentina es similar al del sistema de grabado ácido total. En este estudio de fuerzas a la adhesión dio diferencia significativa con el sistema de grabado ácido total. Como es un sistema adhesivo nuevo es necesario realizar más estudios que confirmen los diferentes resultados.

Palabras Clave: oxiranos, siloranos, adhesivos autoacondicionantes.

# 130

PO2024

## EFFECTOS DE EROSIÓN ÁCIDA EN UN IONOMERO VÍTREO DE ALTA DENSIDAD Y COMPOSITE.

Zeman, L (1) ; Brizuela, H (2) ; Nieva, N (2) ; Heluani, S (2)

(1)Cátedra de Materiales Dentales. Facultad de Odontología. UNT. (2)Laboratorio de Física del Sólido - Facultad de Ciencias Exactas.

**OBJETIVO:** El Objetivo de este trabajo fue comparar los efectos de la erosión ácida (reducción de espesor a los 2 y 15 días, cambios en la textura superficial y la distribución del tamaño de poros a los 15 días) producida por contacto con un jugo gástrico artificial, sobre dos materiales dentales: un ionómero vítreo de alta densidad y una resina compuesta. Dicho estudio se realizó en el contexto de una investigación más amplia que involucra otros materiales. **MÉTODOS:** La experiencia se realizó con probetas de 6mm de diámetro por 4 mm de espesor, cinco de composite Z100 y cinco de ionómero vítreo de alta densidad Ketac Molar. Después de 48 horas las probetas se observaron con un microscopio metalográfico Olympus BX60M, con videocámara digital color SONY Exwave HAD, se pesaron y midieron. Luego se sumergieron en jugo gástrico artificial con un pH de 3. Se aplicó el mismo protocolo con cinco probetas de cada material que se conservaron en agua destilada. Tras 2 días de inmersión, se midieron y pesaron, y se volvieron a colocar en sus respectivos baños por 15 días. Luego de esto, las probetas se pesaron, se midieron y se microfotografiaron. **RESULTADOS:** Los datos obtenidos de erosión fueron evaluados estadísticamente con la prueba de ANOVA y el estudio de los poros, con la de prueba de Mann y Whitney. El estudio de erosión determinó que no hay diferencia significativa entre los efectos a los 2 y los 15 días, pero sí hay diferencia significativa entre los efectos causados por los medios. En el análisis del ionómero vítreo Ketac Molar en cuanto a la porosidad, se observó que en contacto con el ácido hay un aumento similar en la frecuencia relativa de todas las categorías de tamaño de poros considerados. Por otro lado, en la resina compuesta Z100 se observó muy pocos cambios en la frecuencia relativa por categoría de tamaño de poros. Este comportamiento coincide con el resultado del estudio cualitativo de las micrografías. **CONCLUSION:** el ionómero vítreo Ketac Molar sufre los efectos de la erosión ácida en todas las formas estudiadas, mientras que Z100 se mantiene prácticamente inalterable.

Palabra Clave: erosión ácida- porosidad- ionómero vítreo de alta densidad

# 131

PO2025

## EVALUACIÓN IN VITRO DE LA EFICACIA DEL LOCALIZADOR APICAL PROPEX II.

Cuezzo V\*, Gallegos P, Leonardi L, Atlas D, Raiden G.

Cátedra de Endodoncia. Facultad de Odontología. Universidad Nacional de Tucumán.

**OBJETIVO:** Probar in Vitro la eficacia del localizador apical Propex II en la localización del foramen apical, para la determinación de la longitud de trabajo. **MÉTODOS:** Se seleccionaron 30 molares superiores e inferiores humanos, con ápice completamente formado. Estos elementos no presentaban restauraciones metálicas, reabsorciones radiculares o fracturas. Las coronas fueron cortadas en la unión amelo-cementaria con un disco de carborundum a alta velocidad y con abundante refrigeración para obtener un fácil acceso a los conductos radiculares. Los conductos fueron irrigados con una solución de hipoclorito de sodio al 1 %. Se introdujo en cada conducto radicular una lima tipo K.15 (Dentsply Maillefer) hasta observar su extremo en el foramen apical con una lupa X 20. El tope de goma de la lima se ajustó a una referencia marcada en el remanente coronario. Luego se retiró la lima, se midió y se registró. Esta medida fue considerada como la longitud real del elemento (LR). Luego usando un modelo experimental descrito por Altenburger M. J. (2008), se realizaron las mediciones de los conductos con el localizador apical en los niveles 0.0 (Apex) y 1. Se utilizó la misma regla milimetrada para la medición manual y electrónica. **RESULTADOS:** Los resultados mostraron diferencias estadísticamente significativas al comparar las mediciones del localizador apical en 0.0 (apex) con respecto a la longitud real del conducto  $p < 0,040$ . Siendo esta diferencia menor al comparar el localizador apical en 1, con respecto a la longitud real del conducto -1mm.  $p < 0,015$ . **CONCLUSION:** Aunque se observaron diferencias estadísticamente significativas, la eficacia del localizador apical es mayor a nivel 0.0 (apex) que a nivel 1.

Palabras Clave: localizador apical, conductometría, Propex II.

# 132

PO2026

## EFFECTO DEL TRATAMIENTO SUPERFICIAL DE UNA ALEACIÓN BASE (COCRMO) SOBRE LA RESISTENCIA AL PEGADO DE UNA CERÁMICA DENTAL.

\*Gastón Lagarrigue<sup>(1)</sup>, Constanza Arreguez<sup>(2)</sup>, Gabriela Pacios<sup>(3)</sup>, Nicolás Nieva<sup>(2)</sup>.

Cátedra de Materiales Dentales. Facultad de Odontología, Universidad Nacional de Tucumán (UNT). Laboratorio de Física del Sólido. Facultad de Ciencias Exactas y Tecnología, U NT.

**OBJETIVO:** En el presente trabajo se estudió la resistencia de adhesión ( $\sigma_b$ ) entre una cerámica comercial (Dentaurum Carmen) y una aleación comercial CoCrMo (Dentaurum Remanium CD). **MÉTODOS:** Se analizó la variación de  $\sigma_b$  en función del tratamiento superficial de la aleación base. Los ensayos se realizaron en base a la norma IRAM-ISO 9693 utilizando el test de los tres puntos en una máquina de ensayo INSTRON 3369 con una celda de carga de 5 KN. Las probetas son chapitas coladas de la aleación de interés y mecanizadas hasta obtener las dimensiones 25x3x0,5 mm. En su zona central se depositan las diferentes capas de material cerámico hasta las dimensiones finales de 8x3x1mm. Se comparó el efecto de tratar superficialmente a la base metálica de tres maneras diferentes: (a) superficie pulida y oxidada, (b) superficie arenada sin oxidar, (c) superficie arenada y oxidada. **RESULTADOS:** Los resultados obtenidos fueron los siguientes para los valores  $\sigma_b$  obtenidos según indica la norma: para el caso (a) 57,59 MPa, para el caso (b) 55,82 MPa y para el caso (c) 62,75 MPa. **CONCLUSION:** Como conclusión se observa un mayor resistencia de adhesión  $\sigma_b$  en las superficies del metal base con tratamiento de arenado y oxidado.

Palabras Clave: interfase metal/cerámica, resistencia al pegado ( $\sigma_b$ ), tratamiento superficial.

# 133

PO2027

## ACCIÓN DE COMBINACIÓN DE IRRIGANTES SOBRE LA MICRODUREZA DE LA DENTINA RADICULAR.

Cheein E\*, Hero F, Erimbaue M, Galván A, Bulacio MA. Cátedra de Endodoncia. Facultad de Odontología Universidad Nacional de Tucumán.

Para optimizar el tratamiento endodóntico se aconseja la combinación de irrigantes debido a que no hay una solución capaz de actuar sobre la materia orgánica e inorgánica. El hipoclorito de sodio (NaOCl) es recomendado por su capacidad solvente sobre el tejido pulpar vital y necrótico. El Gluconato de clorhexidina (CHX) es empleado por su efecto antibacteriano y sustantividad. EDTA es el agente quelante más usado. Los irrigantes endodónticos pueden alterar la microdureza de la dentina. Los cambios que se producirían en el contenido mineral de la dentina podrían afectar negativamente el sellado apical de la obturación endodóntica y alterar la adhesión de la posterior obturación coronaria. **OBJETIVO:** El objetivo de este trabajo fue comparar la microdureza de la dentina radicular antes y después de la irrigación con soluciones empleadas solas y combinadas. **MÉTODO:** Se emplearon 35 dientes humanos anterosuperiores, se cortaron sus coronas y se instrumentaron los conductos, sus raíces se cortaron en tercios, se incluyeron individualmente en resina acrílica y se pulieron. Las piezas fueron divididas al azar. Posteriormente fueron sumergidas durante 15 minutos en las siguientes soluciones: grupo 1: EDTA 17% (n=5), grupo 2: hipoclorito de sodio (NaOCl) 1 % (n=5), grupo 3: gluconato de clorhexidina (CHX) 0,5% (n= 5) grupo 4: solución salina (n=5) grupo 5: NaOCl 1% + EDTA 17% (n=5), grupo 6: NaOCl 1% + CHX 0,5% (n=5), Grupo 7: EDTA 17% + CHX 0,5% (n=5). La microdureza Vickers fue medida inicialmente y post irrigación a 0,5 mm. y 1mm. del conducto radicular, con dos identaciones perpendiculares empleando 300g. durante 15 segundos. **RESULTADOS:** Los porcentajes de reducción de la microdureza fueron: EDTA 17% (20,71%), NaOCl 1% (11,20%), CHX 0,5% (9%), Sol. Fisiológica (0,9%), EDTA 17%+NaOCl 1% (20,86%), EDTA 17%+CHX 0,5% (11,38%), NaOCl 1%+CHX 0,5% (9,87%). **CONCLUSION:** EDTA 17% y EDTA 17% + NaOCl 1% fueron las más efectivas en la reducción de la microdureza Laboratorio de Ensayos de Materiales FOUNT Parcialmente subsidiado por el CIUNT.

Palabras Clave: irrigación, microdureza, CHX.

# 134

PO2028

## OPTIMIZACIÓN DE UNA TÉCNICA DE EVALUACIÓN DE INTERFASES.

Bejarano P, Fornells S, Prado M, Barreiro M\*, Fernández A, Guraya M. Inst. Sábato (CNEA-UNSAM), Materiales Nucleares (CAB-CNEA), Materiales Dentales (FOUBA) y Materiales Dentales (Fac.Odontología UNCuyo).

**OBJETIVO:** El propósito del presente trabajo es optimizar el ensayo de la resistencia al corte realizado para evaluar la adhesión de resinas compuestas a vidrios y cerámicas. **MÉTODOS:** Fue diseñado y construido un dispositivo para ser utilizado en ensayos mecánicos de resistencia al corte, en muestras con dos interfases similares. Para poner a prueba el dispositivo y la metodología asociada al mismo se utilizaron 30 probetas de vidrio silicato- cemento - vidrio silicato sin tratamiento superficial. Cada probeta se preparó utilizando dos placas cuadradas, una de 10 x 10 mm. con una contracara de 7 x 7 mm. Las superficies fueron adheridas utilizando una resina compuesta (Rely X U100- 3M ESPE). El espesor de cemento estandarizado en todas las muestras fue de 150  $\mu$ m, fotopolimerizado durante 40 seg. Una vez polimerizado el cemento, se incluyó en un anillo de acero sólo la muestra de 10mm, utilizando una resina epoxi, dejando el cemento y la contracara sin incluir. Las dos interfases vidrio-cemento fueron preparadas en forma similar. El anillo se ubicó en el dispositivo diseñado para realizar los ensayos de corte, asegurando el contacto de la cuchilla con el sustrato. Los ensayos se realizaron en una máquina de ensayos universal Instron, a temperatura y presión atmosféricas, con una velocidad de cabezal de 1mm/min, adquiriendo un dato cada 100ms. De esta manera se ensayan dos interfases cerámico-polímero equivalentes. **RESULTADOS:** Primeras mediciones realizadas con este dispositivo permitieron obtener la siguiente información en cada ensayo: Tensión máxima de despegue (resistencia máxima en la interfase) energía absorbida (área bajo la curva tensión-deformación hasta la tensión máxima) y módulo de corte en la interfase (pendiente de la zona elástica). Para las superficies vítreas analizadas se obtuvieron valores de resistencia máxima de despegue en MPa de 6,278 (3,999), energía absorbida de 3.667 (4.910) y módulo de corte de 9.520 (4.967). **CONCLUSION:** El dispositivo utilizado permite controlar la dirección de la carga aplicada y las tensiones de corte generadas en la superficie a evaluar, conocer la respuesta elástica del sistema y la energía absorbida antes del despegue, además de la resistencia adhesiva.

Palabras Clave: ensayos mecánicos, adhesión, resistencia adhesiva.

# 135

PO4001

## TESTOSTERONA EN SALIVA: SU UTILIDAD PARA EL DIAGNÓSTICO DE HIPOGONADISMO EN VARONES CON INSUFICIENCIA RENAL CRÓNICA.

Cardoso EML, Contreras LN, Elbert A, Pazo JH, Monardes EG, Arregger AL.

Laboratorio de Glándulas Salivales, Facultad de Medicina, UBA; IDIM A.Lanari, UBA-IDIM CONICET.

**OBJETIVO:** Previamente hemos comprobado que la testosterona en saliva total (Sal-T) expresa la fracción libre de la testosterona circulante (Free-T) en varones adultos con función renal normal (1). Los pacientes con insuficiencia renal crónica en hemodiálisis padecen endocrinopatías múltiples, siendo frecuente la deficiencia androgénica. En el presente estudio se investigó el valor diagnóstico de Sal-T en pacientes con insuficiencia renal crónica en hemodiálisis con disfunción sexual (HD). **MÉTODOS:** El trabajo se realizó en varias etapas: 1) validación de Sal-T con Free-T; 2) estudio de la correlación de Sal-T con las fracciones circulantes de testosterona (total:TT, biodisponible: Bio-T y Free-T) y 3) detección de hipogonadismo en HD. Además se investigó la relación de Sal-T con parámetros bioquímicos y sobrevida de los pacientes. Se estudiaron 60 HD (20 a 60 años). El grupo control estuvo constituido por 60 varones eugonádicos y 22 pacientes hipogonádicos con función renal normal. Se obtuvieron muestras matutinas (7,00-9,00 hs) simultáneas de saliva total (Sal-T) y de sangre (TT, Bio-T y Free-T). La testosterona en los fluidos se determinó por RIA según lo descrito (1). **RESULTADOS:** Se confirmó en todos los HD que Sal-T expresa Free-T. Sal-T se correlaciona positivamente ( $p < 0.0001$ ) con Free-T ( $r = 0.85$ ), TT ( $r = 0.80$ ) y Bio-T ( $r = 0.76$ ). Sal-T demostró 100% de sensibilidad y especificidad para la detección de hipogonadismo en HD (22%); hipergonadotrófico (69%) e hipogonadotrófico (31%). El nivel androgénico de los HD, expresados mediante Sal-T o las otras fracciones de testosterona circulante, se correlacionó negativamente con la edad y el tiempo de hemodiálisis. Durante el seguimiento de los HD (24 meses) la mayor mortalidad se observó en los pacientes con menores niveles de testosterona. **CONCLUSION:** Nuestros datos avalan el valor de la testosterona en saliva matutina como un método sensible y específico para el diagnóstico de hipogonadismo en pacientes con insuficiencia renal crónica en hemodiálisis. Esta metodología no invasiva es de elección para el estudio de la función testicular en estos pacientes anemizados y con accesos venosos comprometidos. Bibliografía: (1) Arregger et al. 2007 Clin Endocrinol 2007, 67:656-662. Subsidio M825. Palabras Clave: testosterona en saliva, hipogonadismo, insuficiencia renal crónica.

# 136

PO4002

## USO RACIONAL DE MEDICAMENTOS: LA AUTOMEDICACIÓN COMO CONSECUENCIA DE LA PUBLICIDAD.

Virga Carolina, Aguzzi Alejandra, Ricco Verónica, López Marta.

Cátedra de Farmacología y Terapéutica B - Departamento de Patología Bucal - Facultad de Odontología - UNC.

El gasto en productos farmacéuticos viene creciendo de forma notable en todo el mundo y se estima que es una tendencia que va en aumento. La publicidad se dirige, cada vez más, a la incitación del consumo de drogas de venta libre; generando expectativas poco realistas sobre los beneficios de la medicación y una demanda inapropiada de ésta. Un problema difícil de abordar y solucionar. **OBJETIVO:** Estudiar el impacto de la publicidad de medicamentos en pacientes. **MÉTODOS:** Se realizará un estudio descriptivo observacional, analítico de la publicidad de los medicamentos. El instrumento utilizado fue una encuesta anónima con preguntas estructuradas a pacientes afiliados de la Obra Social UOM, para recabar datos acerca de automedicación promovida a través de la publicidad. A partir de los ítems se analizaron las frecuencias de respuestas. **RESULTADOS:** La muestra quedó constituida por 101 encuestas realizadas a pacientes realizadas por 3 odontólogos previamente calibrados. La edad de los pacientes se ubicó en un rango de 14 a 70 años, el 62,37% sexo femenino. Ocupación: 25,74% estudiantes, 22,77% empleados, 16,83% trabajadores por cuenta propia. **CONCLUSION:** Este estudio evidenció la influencia que tiene la publicidad de los medicamentos promoviendo la automedicación en la población.

Palabras Clave: publicidad de medicamento, uso racional de medicamentos, automedicación.

# 137

PO4003

## LA ODONTOLOGÍA BASADA EN LA EVIDENCIA: UNA EVIDENCIA EN EL DICTADO DE FARMACOLOGÍA CENTRADA EN EL USO RACIONAL DE MEDICAMENTOS.

Virga Carolina, Aguzzi Alejandra, Ricco Verónica, Escudero Cristina, Hubert Sergio.  
Cátedra de Farmacología y Terapéutica B - Departamento de Patología Bucal - Facultad de Odontología – UNC.

El paradigma basado en la evidencia tiene como modelo jerárquico a la información basada en la evidencia, que consiste en la revisión sistemática en la que se lleva a cabo una exhaustiva búsqueda bibliográfica para seleccionar sólo una cantidad limitada de estudios valiosos. **OBJETIVO:** Desarrollar competencias en los alumnos que tiendan a la construcción del conocimiento a través de la odontología basada en la evidencia para resolver problemas relacionados al uso racional de medicamentos. **MÉTODOS:** Se realizó un estudio descriptivo observacional, sobre una muestra constituida por 150 alumnos que cursan actualmente la asignatura Farmacología y Terapéutica B. Los alumnos realizaron un autoestudio guiado, con búsquedas en bases de datos informatizadas, eligiendo temas correspondientes a la Unidad de Dolor. En la actividad de cierre se presentaron las producciones en formato póster. Se realizó una encuesta anónima autoadministrada con preguntas estructuradas para evaluar la actitud de los estudiantes frente a esta nueva modalidad de trabajo. Y otra encuesta de opinión sobre aspectos positivos y negativos de esta forma de cursado. A partir de las mismas se analizaron las frecuencias de respuestas. **RESULTADOS:** Los datos obtenidos fueron: al 52,23% de los alumnos le resultó una actividad muy interesante; al 56,71% le pareció buena la metodología aplicada; el 80,59% relató que todos los integrantes del grupo participaron, mientras que el 16,41 % afirmó que sólo algunos lo hicieron; el 83,28% consideró que esta actividad se podría aplicar a todas las unidades de la asignatura; el 76,26% piensan que podría aplicarse la metodología en otras asignaturas de la carrera. **CONCLUSION:** De los resultados obtenidos, concluimos que esta propuesta pedagógica brindaría al alumno las herramientas necesarias para tomar decisiones terapéuticas en el marco de la odontología basada en la evidencia con el objeto de contribuir al uso racional de medicamentos.

Palabras Clave: Odontología basada en la evidencia, Uso racional de medicamentos, Enseñanza de la Farmacología.

# 138

PO4004

## ESTUDIO HISTOMORFOMÉTRICO DEL EFECTO DE BISFOSFONATOS SOBRE TEJIDO ÓSEO.

Virga Carolina, Aguzzi Alejandra, Aramburú Guillermo, De Leonardi Adriana\*.  
Cátedra de Farmacología y Terapéutica B - \* Cátedra de Farmacología y Terapéutica A – Departamento de Patología Bucal - Facultad de Odontología – UNC.

Estudios previos han demostrado que los bisfosfonatos, como alendronato y pamidronato son potentes inhibidores de la resorción ósea, incrementan la densidad mineral del hueso y reducen los riesgos de fracturas en mujeres postmenopáusicas. **OBJETIVO:** Evaluar sobre tejido óseo una formulación subcutánea de Alendronato y Pamidronato. **MÉTODOS:** La fórmula farmacéutica se preparó con una dosificación de 0,5 mg/Kg de peso para Alendronato y de 0,6 mg/Kg de peso para Pamidronato, se les incorporaron buffers especiales, con un pH final de 5,5 en medio estéril. El control consistió en soluciones buffer sin principios activos. El efecto de los bisfosfonatos se evaluó en ratas machos Wistar normales, las que se dividieron en tres grupos, uno control y dos problema, uno para cada droga. Las drogas se inyectaron en tiempos 0, 7, 14, 30, 60 y 90 días postquirúrgica. Los animales se anestesiaron con una solución de Ketamina/xilazina. Se realizaron incisiones en la tibia, las cuales no se rellenaron para observar el efecto de las drogas. Se realizó una evaluación histomorfométrica para analizar los cambios a nivel óseo. La comparación de los datos se realizó por análisis de la variancia a dos criterios. **RESULTADOS:** Los datos obtenidos revelan diferencias cualitativas entre los grupos problema y el grupo control respecto a los parámetros: inflamación, actividad osteoblástica, actividad osteoclástica y fibrosis. No se encontraron diferencias estadísticamente significativas. **CONCLUSION:** Estos estudios preliminares sugieren que tanto el alendronato como pamidronato, colocados en forma parenteral podrían ser efectivos en la prevención de la pérdida ósea en las patologías óseas de la cavidad oral.

Palabras Clave: Bisfosfonatos, Alendronato, Pamidronato, remodelación ósea.

# 139

PO4005

## ESTUDIO DE CITOTOXICIDAD EN PRESENCIA DE ALENDRONATO, PAMIDRONATO Y MONOFLUORFOSFATO DE SODIO.

Virga Carolina, Aguzzi Alejandra, De Leonardi Adriana, Aramburú Guillermo.

Cátedra de Farmacología y terapéutica B- \* Cátedra de Farmacología y Terapéutica A – Departamento de Patología Bucal - Facultad de Odntología UNC.

Antes de iniciar un experimento in vivo, es esencial llevar a cabo ensayos preliminares in vitro para detectar y caracterizar los posibles efectos nocivos de los principios activos a nivel de los tejidos. **OBJETIVO:** Estudiar la citotoxicidad in vitro de Alendronato (AL), Pamidronato (PA) y Monofluorofosfato de sodio (MFP), en una línea celular derivada de fibroblastos para establecer concentraciones óptimas. **MÉTODOS:** Este estudio se realizó por medio del Neutral Red Uptake Method (NR Sigma). La viabilidad celular se estimó mediante la medición de enzimas presentes en vacuolas celulares en células vivas. Las muestras se observaron a través de microscopio de fase de contraste. También el material fue analizado por densidad óptica, a una longitud de onda 546:1 nm, siendo el de referencia 404 nm. En el experimento in vitro, cada bifosfonato fue añadido al medio de cultivo, medio esencial mínimo (MEM), g/ml. El suplementado con suero, en concentraciones crecientes hasta 40 material fue incubado a 37°C. Para MFP se realizó una solución madre conteniendo 900 ppm. Dicha solución se diluyó en medio de cultivo MEM de manera seriada, factor 10 para realizar un Screening. **RESULTADOS:** AL a una concentración de 5µg/ml presentó una viabilidad celular de 99,3% mientras que para PA fue 94,99%. AL usado a 10 µg/ml su viabilidad fue de 98,5% y el mismo punto para PA fue de 55,82%. A 20 µg/ml AL se comportó con un valor de 87,5% y PA 32,37%. Con MFP se observó luego de esto la presencia de un precipitado cristalino en todas las diluciones, motivo por el cual no se continuó con el ensayo. **CONCLUSION:** A los 10 µg/ml PA es 28,78 veces más tóxico a nivel celular que AL, y a los 20 µg/ml PA es 5,38 veces más tóxico que AL.

Palabras Clave: viabilidad celular, Alendronato, Pamidronato, Monofluorofosfato de sodio.

# 140

PO4006

## ESTILOS DE VIDA SALUDABLES EN ESTUDIANTES DE LA FACULTAD DE ODONTOLOGIA DE LA UNIVERSIDAD NACIONAL DE TUCUMAN (FOUNT).

Bottcher, Sabina\*; Cardinale, Marcela; Coromina, Estela; D'Urso, Marcela y Cuneo Christian.

Cátedra de Fisiología, Facultad de Odontología (UNT), Avda. Benjamin Aráoz al 800. San Miguel de Tucumán (4000).

**OBJETIVO:** Identificar y comparar los estilos de vida saludables en un grupo de estudiantes de la FOUNT. **MÉTODOS:** Estudio descriptivo-comparativo, entre alumnos del Ciclo Básico (CB) de la carrera y del Ciclo Clínico (CCL). Se aplicó un Cuestionario de Estilos de Vida Saludables. La muestra fue de 150 alumnos de ambos ciclos, durante 2009. Edad promedio: 23 años, IC95%=(22.4; 23.7). Eran de sexo femenino el 78%(117). **RESULTADOS:** 38%(23) de los alumnos del CB y 17%(15) del CCL siempre realizan ejercicio. 54%(33) del CB y 53%(47) del CCL algunas veces y 8%(5) y 30%(27), respectivamente, nunca. Existe evidencia suficiente para asegurar que los alumnos del CB realizan más ejercicio que los del CCL (Test chi cuadrado, p=0.0007). El 43%(26) de los alumnos del CB siempre incluyen momentos de descanso en su rutina diaria, cifra que es significativamente menor en el CCL 26%(23). El 3%(2) y el 16%(14), respectivamente, nunca lo hacen. Existe evidencia suficiente para asegurar que la frecuencia con la que incluyen momentos de descanso es significativamente diferente según el ciclo de la carrera en que se encuentren (test chi cuadrado, p=0.014). En el CB el 30%(18) siempre mantiene un horario en las comidas, el 57%(35) algunas veces y el 13%(8) nunca. Para el CCL los resultados son: 29%(26), el 40%(36) y el 30%(27) respectivamente. Existe evidencia suficiente para asegurar que la conducta en cuanto a mantener los horarios en las comidas de los alumnos del ciclo clínico es significativamente diferente a la de los alumnos del ciclo básico (test chi cuadrado, p=0.033) **CONCLUSION:** Podemos afirmar que entre los alumnos del CB y del CCL existen diferencias significativas entre los hábitos de vida saludables comparados, siendo menor la frecuencia en los alumnos del CCL. Se debe seguir estudiando este colectivo para planificar, si fuera necesario, medidas de acción.

Palabras Clave: hábitos saludables, estudiantes, FOUNT.

# 141

PO4007

## ANÁLISIS DE LA EFICACIA DE DETERGENTES ENZIMÁTICOS NO IÓNICOS BIODEGRADABLES EN LUGARES DE TRÁNSITO DE PACIENTES EN AMBIENTES HOSPITALARIOS.

Butler, T.A.\*, Casariego Z., Jotko C., Iantosca A., Pólvora B., Gagliardi R., Cattaneo M., Ameri C., Solari E.

Asignatura de Farmacología y Terapéutica de la F.O.L.P. de la U.N.L.P.

**OBJETIVO:** Demostrar el potencial de eficacia de un detergente enzimático no iónico biodegradable, utilizado para desinfectar el lugar de tránsito de personal sanitario y pacientes en un centro hospitalario determinado. **MÉTODOS:** Se seleccionó una sala del hospital "Cestino" de Ensenada, provincia de Buenos Aires. Se tomaron muestras sobre 1 m<sup>2</sup> de una de sus salas, antes y después de haberse realizado la limpieza de rutina, con el detergente elegido. Se aplicó el mismo procedimiento para otras muestras. Se procesaron los materiales obtenidos por los métodos microbiológicos indicados según los estándares internacionales para determinar la actividad antimicrobiana en presencia de sustancias interferentes. Los resultados se analizaron estadísticamente. **RESULTADOS:** El valor medio de las UFC/m<sup>2</sup> de los microorganismos sésiles totales fue estadísticamente significativo en relación a los tiempos de tomadas las muestras, siendo  $p < 0.05$ . **CONCLUSIÓN:** En nuestra experiencia, el detergente enzimático no iónico biodegradable demostró tener una importante actividad antimicrobiana contra las especies presentes habitualmente en las superficies de tránsito hospitalario. De acuerdo a estos resultados podríamos afirmar su eficacia como producto desinfectante.

Palabras Clave: Pasajes de tránsito- detergentes enzimáticos- desinfección.

# 142

PO4008

## DETECCIÓN DE PRODUCTOS DEL METABOLISMO DE DROGAS 5-FLUOROURACILO (5-FU) Y LEUCOVORINA CÁLCICA EN SALIVA DE PACIENTES ONCOLÓGICOS, MEDIANTE MICROSCOPIA ELECTRÓNICA DE BARRIDO (SEM) Y DIFRACCIÓN DE RAYOS X (XRD).

MAZZEO M.<sup>1</sup>, LINARES J.<sup>1</sup>, LÓPEZ M.<sup>1</sup>, GALVÁN V.\*<sup>2</sup>, CRESPO E.<sup>2</sup>, RIVEROS A.<sup>2</sup>, FINKELBERG A.<sup>1</sup>.

<sup>1</sup> Cátedra de Fisiología - Fac. de Odontología / <sup>2</sup> FaMAF – UNC

**OBJETIVOS:** la administración de drogas citostáticas produce complicaciones en la cavidad bucal capaces de limitar la continuidad del tratamiento oncológico. Hasta el momento, no es claro el efecto específico de los citostáticos sobre las glándulas salivales. Trabajos de otros autores y propios demuestran alteraciones en la cantidad y calidad del flujo salival. Nuestro objetivo es analizar la presencia de metabolitos de drogas oncológicas en saliva de pacientes sometidos a quimioterapia. **MÉTODOS:** se tomaron muestras de saliva de pacientes tratados con citostáticos en tres etapas del tratamiento: inicial (I), media (M) y final (F). Luego del centrifugado, el sedimento obtenido se depositó sobre un soporte de cobre y desecó en estufa a 37°C durante 24 horas. Debido al origen orgánico de la muestra fue necesario el uso de un soporte de buena conducción térmica y eléctrica y la metalización con oro o carbono. Se utilizó un SEM para caracterizar zonas de distinta composición química, mediante imágenes de electrones retrodifundidos (BEI) y espectros de rayos x. El uso de XRD permitió identificar la presencia de posibles productos del metabolismo de las drogas. **RESULTADOS:** el análisis de sedimento de saliva en pacientes en I permitió observar la presencia de cristales muy pequeños y aislados sobre un fondo homogéneo. En cambio en M aparecen conglomerados de cristales de mayor tamaño. El análisis por EDS y XRD demuestra la presencia de flúor en esta etapa, lo que indicaría la presencia de metabolitos de 5FU en saliva. **CONCLUSIÓN:** los resultados obtenidos nos permiten avanzar en la comprensión de los efectos adversos del tratamiento con citostáticos sobre la cavidad bucal.

Palabras Clave: SEM, XRD, citostáticos en saliva.



# 143

PO4009

## LA LIDOCAÍNA PROMUEVE LA APOPTOSIS EN FIBROBLASTOS DE GÍNGIVA HUMANA A TRAVÉS DE PROTEÍNAS QUINASAS Y LA ESTIMULACIÓN DE LA CASPASA-3.

Gonzalo Emmanuel Quinteros Villarruel\*, Enri Borda, Leonor Sterin-Borda, Betina Orman. Cátedra de Farmacología, Facultad de Odontología, Universidad de Buenos Aires y CONICET. Buenos Aires, Argentina.

Los anestésicos locales son fármacos que alivian o previenen el dolor al interrumpir la conducción nerviosa siendo los fármacos de mayor uso en odontología. Su principal blanco de acción son los canales de  $\text{Na}^+$  voltaje dependiente. A su vez, el canal de  $\text{Na}^+$  es modulado mediante la fosforilación de dos enzimas: proteína quinasa A (PKA) y proteína quinasa C (PKC). **OBJETIVO:** En este trabajo estudiamos la capacidad de la lidocaína de modular la muerte celular programada de los fibroblastos de gíngiva humana y los mecanismos involucrados en este proceso. **MÉTODOS:** La muerte celular programada inducida por la lidocaína se estudió en fibroblastos de gíngiva humana mediante la técnica de cultivo primario y de transferencia terminal de deoxinucleótidos (TUNEL), la fragmentación de ADN en células individuales y de la actividad de caspasa-3 como señal de apoptosis. Se cuantificaron los niveles de AMPc y la actividad de PKC por la técnica de ELISA. **RESULTADOS:** Se pudo observar que la lidocaína estimuló el proceso apoptótico y la actividad de caspasa-3 de los cultivos primarios en forma concentración dependiente. El efecto estimulador inducido por la lidocaína resultó atenuado en presencia de HA 1004, un inhibidor de la PKA y estimulado por la inhibición de la PKC con staurosporina y Go 6976 (un inhibidor de la PKC?). Se observó una correlación positiva entre el número de núcleos apoptóticos y los niveles de AMPc inducidos por lidocaína y una correlación negativa con la actividad de la PKC. **CONCLUSION:** Estos resultados muestran que la lidocaína promueve el proceso apoptótico en fibroblastos de gíngiva humana en las concentraciones utilizadas en la clínica como anestésico local. En este proceso están involucradas la PKA y la PKC, teniendo estas un efecto antagónico y a su vez se estimula a la caspasa-3 dando lugar a la muerte celular programada. (PICT 01647).

Palabras Clave: lidocaína, apoptosis, caspasa-3.

# 144

PO4010

## CONTAMINACIÓN SOBRE SALIVADERAS DENTALES DE ACERO INOXIDABLE, OPALINA Y CERÁMICA DE EQUIPOS ODONTOLÓGICOS, 24 Y 64 HORAS DESPUÉS DE REALIZADA LA HIGIENE. Butler T\*, Casariego Z.

Asignatura de Farmacología y Tereapéutica.

**OBJETIVO:** Evaluar comparativamente la contaminación de las salivaderas de acero inoxidable, opalina y cerámica de equipos odontológicos de La Plata. **MÉTODOS:** se seleccionaron, prepararon y analizaron desde el punto de vista físico- químico y microbiológico, cortes de 36 salivaderas en total, de los tres materiales, en dos períodos de tiempo 24 y 64 horas después de realizada la higiene. Se analizaron estadísticamente los resultados obtenidos. **RESULTADOS:** Se obtuvo una diferencia estadísticamente significativa  $P < 0,05$  de las UFC/cm<sup>2</sup> de bacterias y hongos entre los tres materiales. En orden creciente fue: acero inoxidable < opalina < cerámica. La adhesividad del biofilm fue aumentando en relación a tiempo después de la higiene. **CONCLUSION:** El biofilm presente en nuestra investigación, demuestra un importante significado estadístico. El acero inoxidable podría ser el material que muestra menor contaminación. El tiempo de higiene de las unidades dentales podría ser factor importante en la formación del biofilm.

Palabras Clave: Contamination- salivaderas dentales- diferentes materiales.

# 145

PO4011

**IMPORTANCIA DE LA APOPTOSIS Y PROLIFERACIÓN CELULAR EN EL SÍNDROME DE SJÖGREN.** Busamia B<sup>\*1</sup>, Gonzalez-Moles M<sup>2</sup>, Brunotto M<sup>1</sup>, Gobbi C<sup>3</sup>, Albiero E<sup>3</sup>, Finkelberg A<sup>1</sup>. <sup>1</sup> Cátedra de Fisiología, Facultad de Odontología, UNC<sup>2</sup> Departamento de Medicina Oral, Escuela de Odontología, Granada, España. Unidad de Reumatología. Hospital Córdoba. UNC.

El Síndrome de Sjögren (SS) es una enfermedad autoinmune caracterizado por la infiltración de células mononucleares y destrucción del parénquima secundario de las glándulas salivares y lagrimales, que resulta en sequedad oral y ocular. Las células infiltrantes son predominantemente linfocitos T CD4+ agrupados cerca a las estructuras acinares y ductales. El mecanismo subyacente para que se produzca la destrucción de glándulas salivales característica del SS aún no fue establecido. **OBJETIVO:** Determinar la frecuencia de apoptosis y el porcentaje de proliferación celular en epitelio ductal y acinar de glándulas labiales y linfocitos infiltrantes de pacientes con hiposalivación. **MÉTODOS:** Se analizaron muestras de glándulas de labio inferior de: pacientes con diagnóstico de SS; pacientes con hiposalivación no SS y controles. Se realizaron estudios de inmunohistoquímica usando anticuerpos monoclonales contra Ki 67 y caspasa-3. El número de células totales y el número de células positivas para cada marcador fue contado en campos de 40x, obteniendo el porcentaje de expresión aproximado por caso. **RESULTADOS:** La expresión de Ki-67 fue significativamente más alta en las muestras de pacientes con SS en todos los tejidos analizados. La expresión de ki - 67 en linfocitos fue significativamente más alta que la expresión epitelial, en ambos grupos de pacientes con hiposalivación. La expresión de caspasa-3 en el epitelio acinar y el infiltrado inflamatorio fue significativamente más alta en el grupo de SS. **CONCLUSIÓN:** Los pacientes con SS presentan menos tasa de apoptosis y mayor porcentaje de proliferación linfocitaria comparado con los otros grupos estudiados, lo cual podría ser parte de una respuesta inmune sostenida. La comprensión del papel de la apoptosis y la expresión proliferativa en las glándulas salivales podría conducir al desarrollo de nuevos abordajes terapéuticos específicos.

Palabras Clave: Síndrome de Sjögren, apoptosis, proliferación celular.

# 146

PO4012

**LA PERIODONTITIS EXPERIMENTAL DISMINUYE LA RESPUESTA SECRETORIA SALIVAL INDUCIDA POR METACOLINA EN LA GLÁNDULA PARÓTIDA DE LA RATA.** Chiarenza AP<sup>\*1</sup>, Amer M<sup>2</sup>, Elverdin JC<sup>3</sup>, Ossola C<sup>4</sup>, Medina V<sup>3</sup>, Vacas MI<sup>1</sup>. Bioquímica Gral y Bucal<sup>1</sup>, Anatomía<sup>2</sup> y Fisiología<sup>3</sup>, FOUBA. Laboratorio de Radioisotopos<sup>4</sup>, Facultad de Farmacia y Bioquímica, UBA.

Recientemente hemos demostrado que la periodontitis experimental (PE) en la rata induce cambios tiempo dependientes en la sensibilidad colinérgica de la glándula submandibular. El Objetivo de este trabajo fue determinar si la PE afectaba también la funcionalidad de la glándula parótida (GP). A tal fin se determinó la respuesta secretoria salival, al agonista colinérgico metacolina (MET) a 24 hs, 7 días y 45 días post PE y se realizaron estudios histológicos de las GP. Métodos: Ratas macho adultas Wistar (250-300 g) se sometieron durante 1, 7 y 45 días a PE bilateral colocando una ligadura con hilo de algodón alrededor del cuello de los primeros molares inferiores derecho e izquierdo y se dejó in situ durante el tiempo de la experiencia. Al final de estos períodos en 8 animales por grupo, se efectuaron: (1) curvas dosis-respuesta (CDR) a MET (0.3, 1, 3, 10 y 30 µg/kg) y a 6 animales de cada grupo se les extrajeron las GP para el estudio histológico de cortes mediante tinción con Giemsa. **RESULTADOS:** a todos los tiempos estudiados las CDR presentaron un desplazamiento significativo hacia la derecha ( $p < 0.01$ ) con la consecuente disminución de la respuesta a todas las dosis estudiadas. El mayor desplazamiento se observó a los 7 días con una disminución en la respuesta a la dosis más elevada del 59,8 % en relación a su control. Histológicamente no se observan cambios significativos en las glándulas a ninguno de los tiempos estudiados. **CONCLUSIÓN:** Aunque preliminares, nuestros resultados sugieren que la PE, produciría subsensibilidad colinérgica de la GP, efecto que se mantiene luego de 45 días de EP sin que se observe, al menos histológicamente, modificaciones inflamatorias en la GP. La disminución en la respuesta secretoria podría deberse 1) a los altos niveles de catecolaminas circulantes inducidos por la PE que, al interactuar sobre los receptores adrenérgicos  $\alpha 1$ , generan una desensibilización heteróloga, al menos a 7 y 45 días y/o 2) a la acción directa y/o indirecta tanto de los LPS como de las citoquinas inflamatorias, inducidas por LPS de la bolsa periodontal, (e.g . IL-1b, IL-6 y TNF) que liberados a circulación afectan la GP. Sub.UBACyT 0007.

Palabras Clave: periodontitis experimental, glándula parótida, secreción salival,

# 147

PO4013

## COMPARACIÓN DE LA EFECTIVIDAD ANTIMICROBIANA ENTRE DETERGENTES ENZIMÁTICOS NO IÓNICOS CON HIPOCLORITO DE SODIO EN LUGARES DE TRANSITO HOSPITALARIO.

Jotko C\*, Butler T, Serrano V, Ameri C, Solari E, Cattaneo M, Casariego Z.  
Farmacología y Terapeutica FOUNLP.

**OBJETIVO:** Comparar la actividad de detergentes enzimáticos no iónicos con la solución al 1% de hipoclorito de sodio sobre las bacterias Gram +, bacilo subtilis y hongos adheridos a las superficies hospitalarias de alto transito de pacientes y personal de salud. **MÉTODOS:** Se seleccionó el piso más transitado del Hospital "Horacio Cestino" de la Ciudad de Ensenada y de él, se tomaron muestras sobre 1 m<sup>2</sup>, antes y después de haberse realizado la limpieza con Hipoclorito de Sodio al 1%. Se aplicó a otras muestras del mismo lugar, en la misma forma y tiempo, el detergente enzimático. Se procesaron los materiales obtenidos por los métodos microbiológicos indicados según los estándares internacionales, y se compararon los resultados obtenidos. Para el análisis estadístico se realizaron los test de Pearson y ANOVA. **RESULTADOS:** Se obtuvieron las medias correspondientes al detergente sobre bacterias gram + = 1,74 UFC/m<sup>2</sup> y 3,29 UF/m<sup>2</sup> para el hipoclorito. Sobre el Bacilo subtilis, la media del detergente enzimático fue de 1,08 UFC/m<sup>2</sup> y 2,42 UFC/m<sup>2</sup> del hipoclorito. Respecto a los hongos, las medias fueron de 2,29 UFC/m<sup>2</sup> y 2,51 UFC/m<sup>2</sup>, respectivamente. Al analizar los resultados en conjunto, la diferencia fue estadísticamente significativa : (p=0.0078), Igualmente en la actividad sobre Bacilo subtilis y hongos (P=0,049 y 0,0003 respectivamente. Contrariamente, no hubo diferencia estadísticamente significativa al comparar la actividad de ambos productos sobre las bacterias Gram + (p= 0,66). **CONCLUSION:** La actividad antimicrobiana de los detergentes enzimáticos es significativamente mayor que la de la solución del hipoclorito de sodio, al 1%, especialmente sobre Bacilo subtilis y hongos.

Palabras Clave: detergentes, hipoclorito, actividad antimicrobiana.

# 148

PO4014

## ANÁLISIS ESTADÍSTICO PARA SELECCIONAR UNA FÓRMULA PARA AJUSTE DE DOSIS EN PACIENTES CON INSUFICIENCIA RENAL AGUDA (IRA).

Jotko C\*, Casariego Z.  
Farmacología y Terapeutica FOUNLP.

**OBJETIVO:** Seleccionar una fórmula para el ajuste de dosis farmacológica en pacientes con Insuficiencia Renal aguda (IRA). **MÉTODOS:** Aplicamos dos formulas, que calculan el clearance de creatinina (ClCr): Crockcroft-Gault (C-G) y Walser-Drew (W-D). Según la bibliografía la segunda sería más exacta. ( el ClCr se utiliza para realizar el cambio de la dosificación) . La fórmula de (C-G), utiliza edad, peso y creatininemia junto con dos valores predeterminados :140 y 72. La de W-D , es una combinación de 9 operaciones matematicas y cuyas constantes difieren entre el cálculo para el hombre y la mujer. Ambas se aplicaron sobre 12 pacientes ( 10 hombres y 2 mujeres) y los resultados fueron sometidos a las pruebas de análisis de Varianza y Pearson. Mediante éste análisis se buscó demostrar estadísticamente, si existe una diferencia significativa entre ambas, lo cual nos llevase a elegir una determinada. **RESULTADOS:** La media del Cl-Cr con C-G fue de 14,38 ml/min y con W-D, 10,71. Correlacionando, la diferencia no fue estadísticamente significativa (P= 0,42). **CONCLUSION:** En conclusión y de acuerdo a las pruebas estadísticas aplicadas a nuestra población, sería igual utilizar una u otra fórmula.

Palabras Clave: Insuficiencia renal aguda, Fórmulas, Ajuste dosis.

# 149

PO4015

## INCREMENTO DE LA ACTIVIDAD DE AMILASA MEDIADA POR AMPc EN LA GLÁNDULA PARÓTIDA DE RATAS CON PERIODONTITIS.

Miozza V\*, Borda E, Sterin-Borda L, Busch L.

Cátedra de Farmacología, Facultad de Odontología, UBA.

En la enfermedad periodontal, la respuesta inflamatoria y la presencia bacteriana modifican la composición y la concentración proteica salival, con incremento de amilasa. **OBJETIVO:** El objetivo del presente trabajo fue evaluar si la periodontitis experimental inducía cambios en la actividad de amilasa en la glándula parótida, principal productor de la enzima. **MÉTODOS:** La periodontitis experimental se provocó en ratas mediante la colocación de un hilo estéril alrededor del cuello de los dos primeros molares del maxilar inferior. A los 22 días de colocada la ligadura se evaluó la actividad de amilasa en la glándula parótida, total y liberada, en ausencia (basal) y presencia de un agonista y un antagonista del receptor  $\beta$ -adrenérgico, un inhibidor de la enzima adenilato ciclasa (AC), inhibidores de la enzima ciclooxigenasa (COX) y un bloqueante del receptor del péptido intestinal vasoactivo (VIP). La amilasa se evaluó utilizando un método colorimétrico que usa como sustrato el almidón. A través de un inmunoensayo se determinó la concentración de AMP cíclico en ausencia y presencia de los mismos antagonistas. **RESULTADOS:** Se observó un aumento del 24.7 % en la actividad de amilasa total y un aumento del 28.6 % en la amilasa liberada. No se observaron cambios en la respuesta secretora al isoproterenol. El incremento en la actividad de amilasa fue revertido en presencia del inhibidor de la AC (SQ 22536,  $5 \times 10^{-6}$  M), de la COX-1 (FR 122047,  $5 \times 10^{-8}$  M) y por el bloqueo del receptor del VIP (VIP 6-28,  $2 \times 10^{-6}$  M) pero no en presencia del antagonista del receptor  $\beta$ -adrenérgico, propranolol. Las glándulas parótidas de ratas con periodontitis experimental mostraron un incremento de AMPc del 74 %, revertido también por SQ 22536, FR 122047 y VIP 6-28. **CONCLUSION:** La periodontitis, provocada por la ligadura, induce la liberación de los mediadores de la inflamación prostaglandinas y VIP en la glándula parótida quienes, actuando sobre sus propios receptores, inducen una acumulación de AMPc lo que lleva a un aumento en la actividad y liberación de amilasa.

Palabras Clave: Periodontitis experimental, glándula parótida, amilasa.

# 150

PO4016

## CAMBIOS MORFOLÓGICOS E HISTOLÓGICOS EN CRÍAS DE RATAS EXPUESTAS A FLUORUROS DURANTE LA ETAPA FETAL.

Fontanetti P\*, Choi E, Vermouth N.

Facultad de Odontología UNC.

Los fluoruros ( $F^-$ ) son utilizados en odontología para la prevención de la caries dental. Sin embargo está demostrado que el exceso de este ión en el organismo provoca daños en numerosos órganos y tejidos. Además los  $F^-$  atraviesan la placenta alcanzando al feto en desarrollo. **OBJETIVO:** Determinar si la administración de fluoruro de sodio (NaF) a ratas durante la gestación influye sobre su ingesta de alimento y además, si afecta el peso corporal y el desarrollo mandibular de sus crías. **MÉTODOS:** Se conformaron dos grupos de ratas preñadas (control y tratadas). Al grupo tratado se le administró NaF (i. p.) en dosis de 100mg/kg, 50mg/kg ó 20mg/kg, desde el día 10 al 20 de gestación. La ingesta de alimento fue medida una vez por día y a la misma hora durante toda la preñez. Las crías fueron pesadas y sacrificadas los días 3 ó 20 de vida postnatal. Sus mandíbulas fueron pesadas y fijadas en formol inmediatamente después del sacrificio. Una hemimandíbula de cada animal fue radiografiada para el estudio del crecimiento y desarrollo mandibular y la contralateral, procesada histológicamente y teñida con H/E para el conteo de los osteoclastos asociados a la erupción del primer molar inferior y de sus núcleos. **RESULTADOS:** Las dosis de 100 y 50mg/kg fue letal en el 100% de las ratas. En el grupo tratado con 20mg/Kg se observó una disminución significativa en la ingesta de alimento y las variables postnatales determinadas en sus crías fueron significativamente menores en comparación con las del grupo control ( $p < 0.05$ ). **CONCLUSION:** La ingesta de NaF (20mg/Kg) durante la gestación no posee un efecto letal aunque afecta el crecimiento y desarrollo postnatal de las crías. Asimismo, los fluoruros modificarían en las crías, el crecimiento del maxilar inferior y la funcionalidad de los osteoclastos, ambas variables involucradas en el proceso normal de erupción dentaria.

Clave: fluoruros - desarrollo mandibular – osteoclastos.

# 151

PO4017

## ENZIMAS INTRACITOPLASMÁTICAS EN FLUÍDO GINGIVO-CREVICULAR (FGC) DE PACIENTES HIV/SIDA CON PERIODONTITIS.

Salúm M.K.<sup>\*1</sup>, Castro C.E.<sup>2</sup>, Koss M.A.<sup>1</sup>, Luna E.<sup>3</sup>, López M.E.<sup>1</sup>.

<sup>1</sup>Cátedra Química Biológica, <sup>2</sup>Cátedra Periodoncia, FOUNT <sup>3</sup>Servicio Infectología, Hospital Centro de Salud.

**OBJETIVO:** Determinar enzimas intracitoplasmáticas en FGC de pacientes HIV/SIDA con Periodontitis (P-HIV) y comparar sus niveles con los de pacientes con Periodontitis Agresiva Generalizada (PAG), Periodontitis Agresiva Localizada (PAL) y sin Periodontitis (sP). **MÉTODOS:** Se trabajó con 30 pacientes HIV-P, entre 18 y 52 años, ambos sexos y con pacientes con diagnóstico periodontal de PA (n=41), PAG (n=20) y PAL (n=21) y con individuos sP (n=21) con edades entre 20 y 43 años. Las muestras de FGC fueron tomadas en 6 sitios de la cavidad bucal, luego el FGC fue eluido con agua bidestilada, centrifugado a 3500 rpm 15 min y conservado a -15 °C hasta el momento de realizar las determinaciones químicas. Se analizaron en FGC: Lactato Deshidrogenasa (LDH) (Wiener Lab, Arg.), Glutámico Oxalacético Transaminasa (GOT) (Wiener Lab, Arg.), Fosfatasa Alcalina (FA) (Wiener Lab, Arg.). Los datos fueron evaluados estadísticamente con el programa SPSS por Anova One Way, y para determinar las diferencias entre los grupos se utilizó el Test de Tukey. **RESULTADOS:** Por Anova se observaron diferencias estadísticamente significativas entre los grupos para todas las enzimas intracitoplasmáticas determinadas en FGC ( $p < 0,0001$ ), con el Test de Tukey se observaron diferencias para LDH entre los datos en pacientes P-HIV respecto de pacientes sin HIV con diagnóstico de PAG, PAL y sP. Para GOT y FA se observaron diferencias significativas entre los pacientes P-HIV respecto de los grupos PAL y sP ( $p < 0,005$ ). **CONCLUSION:** Las enzimas intracitoplasmáticas GOT y FA en pacientes PHIV e individuos con PAG presentaron valores similares, con lo cual, su presencia en FGC podría ser de utilidad para diferenciar diagnósticos de EP.

Palabras Clave: Fluido Gingivo-Crevicular, HIV/SIDA, enzimas intracitoplasmáticas.

# 152

PO4018

## DIAGNÓSTICO DIFERENCIAL DE LA ENFERMEDAD PERIODONTAL MEDIANTE EL USO DE MARCADORES QUÍMICOS DEL FLUIDO GINGIVO CREVICULAR.

Koss M.A.<sup>1</sup>, Castro C.E.<sup>2</sup>, Salúm K.M.<sup>\*1</sup>, López M.E.<sup>1</sup>.

<sup>1</sup>Cát. Química Biológica, <sup>2</sup>Cát. Periodoncia. Facultad de Odontología, UNT.

**OBJETIVO:** Evaluar integralmente los resultados de las determinaciones químicas realizadas en FGC como contribución al diagnóstico de la Enfermedad Periodontal Crónica. **MÉTODOS:** Se incluyeron 90 pacientes con periodontitis leve, moderada y avanzada y 40 sujetos control periodontal y sistémicamente sanos. Se determinó: flujo, proteínas totales (Lowry y col., 1951), aspartato aminotransferasa (AST), lactato dehidrogenasa (LDH), fosfatasa alcalina (FA), (Wiener Lab), elastasa (Nakajima y col., 1979), colagenasa (Ingmar y col., 1994), e hidroxiprolina (Jamall y col., 1981). **RESULTADOS:** Los niveles de FA mayores a 300 UI/L y de LDH mayores a 3300 UI/L asociados a actividad de colagenasa con bandas de peso molecular menor a 97kDa y flujo de FGC superior a 0,25 ul/30 s podrían vincularse con la presencia de Enfermedad Periodontal. La asociación de estos parámetros junto a niveles de hidroxiprolina iguales o menores a 0,25 ug/ul permitirían diferenciar el estadio correspondiente a Periodontitis leve. La obtención de valores de AST mayores a 800 UI/L, actividad de FA superior a 600 UI/L, junto a un incremento en el flujo de FGC superior a 0,6 ul/30 s se vincularían al estado avanzado de la Enfermedad Periodontal. Si los niveles de AST no alcanzan los 800 UI/L y la actividad FA es inferior a 600 UI/L el diagnóstico de la enfermedad correspondería a la forma moderada. **CONCLUSION:** El análisis químico del FGC constituiría una herramienta en el diagnóstico de la Enfermedad Periodontal.

Palabras Clave: determinaciones químicas, Fluido Gingivo Crevicular, Enfermedad Periodontal.

# 153

PO4019

## EFFECTOS MANDIBULARES DE LA INTOXICACIÓN CRÓNICA CON ALUMINIO EN LA RATA INMADURA EXPUESTA A HIPOXIA HIPOBÁRICA.

Dmytrenko G\*, Martínez MP, Bozzini C, Olivera MI, Champin GM, Conti MI.

Cátedra de Fisiología. Facultad de Odontología. Universidad de Buenos Aires.

La intoxicación crónica con aluminio (Al) afecta la síntesis de colágeno y la mineralización de la matriz ósea. La hipoxia (HX) conduce a hipertrofia de la médula ósea y deterioro de la competencia biomecánica del hueso. **OBJETIVO:** El objetivo del presente trabajo fue evaluar el efecto crónico de la administración de Al en condiciones de HX sobre la estructura y calidad biomecánica de la mandíbula. **MÉTODOS:** Ratas hembra al destete fueron inyectadas con dosis de 27 mg de Al elemental por Kg, durante 3 meses 3 veces por semana. Ratas control fueron inyectadas con vehículo. La mitad de cada grupo fue mantenida en HX. La antropometría general se evaluó mediante estimaciones seriadas de peso y longitud total. La morfometría mandibular se realizó mediante medidas tomadas entre puntos anatómicos estables del hueso. Para determinar las propiedades mecánicas, la mandíbula fue sometida a un test de flexión en un equipo Instron 4442. **RESULTADOS:** La administración de Al y la exposición a HX no afectaron la antropometría mandibular. El Al disminuyó la rigidez extrínseca del hueso, es decir la resistencia a la deformación como posible consecuencia de alteración en la mineralización. Los tratamientos por separado afectaron negativamente las propiedades estructurales del hueso, disminuyendo su máxima capacidad de soportar cargas y la carga elástica límite. Los grupos mantenidos en HX disminuyeron su capacidad de absorber energía en condiciones elásticas. El análisis de las propiedades materiales mostró un deterioro de la calidad del material en los grupos experimentales. Hubo una tendencia de disminución del momento de inercia en el grupo AlHX. **CONCLUSION:** Los resultados sugieren que la mandíbula, por ser un hueso que no soporta carga, responde a la disminución de sus propiedades materiales con una lenta adaptación de su arquitectura para mantener las propiedades estructurales. UBACyT O407.

Palabras Clave: aluminio-hipoxia-biomecánica ósea.

# 154

PO4020

## ¿ES POSIBLE RECUPERAR RATAS EN CRECIMIENTO CON BAJO PESO CORPORAL, CON UNA ÚNICA FUENTE DE LÍPIDOS?.

Pellegrini G\*, Gamba A, González-Chaves M, Hernández E, Suarez C, Ferreira Monteiro A, Rodriguez P, Zeni S, Friedman S. Cátedra de Bioquímica General y Bucal. FOUBA.

La transición de lactancia a dieta mixta condiciona el crecimiento del individuo, más aún en caso de bajo peso corporal al destete. Numerosos trabajos postulan la dependencia del desarrollo respecto de la calidad y cantidad de grasa dietaria. Hasta el momento se vinculó la recuperación nutricional solamente al aporte proteico. Sin embargo, hay evidencias de la importancia de la fuente y la relación AGPI  $n6/n3$  en el crecimiento y composición corporal. **OBJETIVO:** Estudiar a través de la evaluación antropométrica y la composición corporal, la influencia de la cantidad de grasa dietaria capaz de recuperar individuos de bajo peso. **MÉTODOS:** A los 21 días de edad, 72 ratas Wistar hembras se dividieron según el peso corporal (P) en dos grupos: Control C (n=24) de P >33.5 g y Experimental E (n=48) de P <33.5 g. Se alimentaron "ad libitum" con una dieta cuya fuente lipídica fue un aceite vegetal rico en ácidos grasos poliinsaturados n-6 (AGPI n-6), de uso habitual en Argentina. C recibió una dieta cuyo contenido de grasa fue 7% p/p mientras E se subdividió en dos subgrupos: E7 (n=24), y E15 (n=24) que recibieron dietas 7% p/p y 15% p/p de grasa, respectivamente. A los 28, 35 y 49 días de edad (t28, t35 y t49), se sacrificaron 8 ratas por grupo y se evaluó: peso corporal (P,g), % grasa corporal (%G) por método químico (AOAC) y contenido mineral óseo total (CMO,mg) por DXA (Lunar DPX-L). Se calcularon las velocidades de ganancia de peso (VGP, g/100g de rata/día) en los períodos 21-28, 29-35 y 36-49 días (t21-28, t29-35 y t36-49). **RESULTADOS:** Expresados Media  $\pm$  ES. Análisis estadístico: ANOVA, test de Dunnett a posteriori. A t28 y t35, PC > PE (E7 y E15)(p<0.001) a pesar de que en la etapa de crecimiento rápido VGPE (E7 y E15) > VGPC(p<0.01). A partir de t35, sólo E7 mostró una VGP mayor que C(p<0.01). A t28, t35 y t49, E7 y E15 no mostraron diferencias significativas en %G y CMO, respecto a C. **CONCLUSION:** No fue posible la recuperación del tamaño corporal en individuos de bajo peso al destete, con una única fuente de lípidos, aún a concentraciones que duplicaron el requerimiento de lípidos. Esto permitiría afirmar la importancia del uso de fuente/s de lípidos con una adecuada relación AGPI  $n6/n3$ , cubriendo además los requerimientos de AGPI.UBACyT O008 y O015.

Palabras Clave: lípidos, peso corporal, composición corporal.

# 155

PO4021

## ACCIÓN QUÍMICA DE UNA SOLUCIÓN COMERCIAL DE GLUCONATO DE CLORHEXIDINA.

VARGAS CF, SÁEZ M DEL M\*, LÓPEZ ME.

Cátedra de Química Biológica Facultad de Odontología UNT.

La saliva contribuye con el estado de salud bucal. De sus componentes, los iones colaboran con la integridad del tejido dentario, fundamentalmente en el proceso de remineralización. Sin embargo, está poco estudiado el efecto que sobre ellos tienen los antisépticos bucales. **OBJETIVO:** Analizar in vivo e in vitro el efecto que produce sobre el calcio y el fósforo de la saliva total un enjuagatorio comercial a base de digluconato de clorhexidina. **MÉTODOS:** Se trabajó con 6 individuos sanos. Se recogió saliva total sin estimulación obtenida por salivación. Para este estudio se seleccionó clorhexidina 0,12% (pH: 6,68) (Periobacter®) y como control se utilizó agua destilada. Para el ensayo in vivo se tomaron muestras antes del enjuague, y después del mismo, a los tiempos 1, 5, 10, 15, 30, 45 y 60 min. En el ensayo in vitro se incubó la saliva con igual volumen del enjuagatorio a 37°C con agitación a los tiempos 1, 5, 10 y 15 min. Luego se la centrifugó y se cuantificó calcio y fósforo en el sobrenadante por un método colorimétrico (Wiener Lab). Los datos se analizaron por ANOVA. **RESULTADOS:** Respecto del control, el calcio in vivo mostró diferencias estadísticamente significativas ( $p < 0,05\%$ ) a los tiempos 10 y 15 min; in vitro hubo diferencias significativas solo a los 10 min. Para fósforo se observaron diferencias significativas ( $p < 0,05\%$ ) al tiempo 10 min tanto in vivo como in vitro. **CONCLUSION:** El enjuague con digluconato de clorhexidina 0,12% (Periobacter®), no afectaría la concentración salival de los iones calcio y fósforo a los tiempos estudiados. Conocido por reducir el índice de placa y el índice gingival (Cuenca Sala E, Baca García P, 2005), la propiedad analizada en este trabajo contribuiría a considerar a la clorhexidina como un enjuagatorio de selección. Trabajo parcialmente subsidiado por CIUNT.

Palabras Clave: clorhexidina, calcio, fósforo, saliva.

# 156

PO4022

## INFLUENCIA DE PASTAS Y VEHÍCULOS DE HIDRÓXIDO DE CALCIO SOBRE LA MICRODUREZA DENTINARIA.

Pacios MG<sup>1\*</sup>, Lagarrigue G<sup>2</sup>, López ME<sup>1</sup>, Nieva N<sup>3</sup>.

<sup>1</sup>Cátedra de Química Biológica, <sup>2</sup>Cátedra Materiales Dentales, Facultad Odontología, UNT.

<sup>3</sup>Laboratorio Física del Sólido, Facultad Ciencias Exactas, UNT.

**OBJETIVO:** El hidróxido de calcio ( $\text{Ca}(\text{OH})_2$ ) con diferentes vehículos es usado en Endodoncia como medicación tópica. Este altera la superficie y composición de la dentina con lo que afectan propiedades biomecánicas como la microdureza. El objetivo fue evaluar el efecto con el tiempo de pastas y vehículos de  $\text{Ca}(\text{OH})_2$  sobre la microdureza de dentina radicular. **MÉTODOS:** Se trabajó con 60 dientes humanos anteriores recientemente extraídos. Se eliminó la corona y se instrumentó el conducto. Se cortó transversalmente obteniendo 120 discos de 2 mm de espesor, se los incluyó en resina acrílica y se realizó pulido de la superficie. Luego los dientes fueron tratados con los siguientes vehículos en presencia y ausencia de  $\text{Ca}(\text{OH})_2$ : agua destilada (AD), solución anestésica (SA), clorhexidina (CLX), propilenglicol (PG), p-monoclorofenol alcanforado (PMCF) y PMCF-PG, a 37°C. Se midió la microdureza al tiempo 0 (control) y a 3, 7 y 14 días con durómetro Vickers, aplicando una fuerza de 300 g durante 15 segundos. Cada disco recibió 5 indentaciones a 1 mm del conducto radicular. Los resultados fueron analizados con ANOVA y Test de Tuckey. **RESULTADOS:** Los segmentos de dentina radicular tratados con  $\text{Ca}(\text{OH})_2$ +AD,  $\text{Ca}(\text{OH})_2$ +SA,  $\text{Ca}(\text{OH})_2$ +CLX y  $\text{Ca}(\text{OH})_2$ +PG mostraron una disminución estadísticamente significativa a 7 y 14 días respecto al control, mientras que aquellos tratados con  $\text{Ca}(\text{OH})_2$ +PMCF y  $\text{Ca}(\text{OH})_2$ +PMCF-PG lo hicieron a 3, 7 y 14 días. A los 14 días  $\text{Ca}(\text{OH})_2$ +PG,  $\text{Ca}(\text{OH})_2$ +PMCF y  $\text{Ca}(\text{OH})_2$ +PMCF-PG mostraron valores significativamente menores respecto al resto de las pastas. Los segmentos tratados con AD, SA y CLX no mostraron diferencias significativas en los tiempos estudiados, mientras que PG, PMCF y PMCF-PG lo hicieron a partir de 7 días respecto al control. A los 14 días PG, PMCF y PMCF-PG mostraron valores significativamente menores respecto al resto de los vehículos. **CONCLUSION:** El vehículo usado para preparar la pasta de  $\text{Ca}(\text{OH})_2$  influye en la microdureza de la dentina radicular, siendo los vehículos oleosos y viscosos los que producen una mayor disminución en la microdureza respecto a los vehículos acuosos, solos como asociados al  $\text{Ca}(\text{OH})_2$ .

Palabras Clave: hidróxido de calcio- microdureza- dentina.

# 157

PO4023

## REPERCUSIÓN MORFOMETRICA Y MECANICA DEL EFECTO DE DISTINTAS CONCENTRACIONES DE PROTEINA DIETARIA SOBRE EL HUESO MANDIBULAR.

Bozzini C\*, Olivera MI, Huygens PM, Ossola C, Bozzini CE, Alippi RM.

Cátedra de Fisiología, Facultad de Odontología, UBA.

**OBJETIVO:** En trabajos previos demostramos: 1) que el crecimiento generalizado y armónico de la mandíbula (M) de ratas jóvenes es función del contenido de caseína dietaria, y 2) que la restricción proteica extrema postnatal afecta el crecimiento mandibular e induce cierta deformación del hueso. Este estudio fue realizado con el objeto de estimar la influencia de la concentración de proteína dietaria sobre parámetros biométricos y mecánicos de M de ratas inmaduras con la finalidad de establecer la dieta óptima que asegure un adecuado comportamiento mecánico del hueso. **MÉTODOS:** Se emplearon ratas Sprague-Dawley hembras de 30 días de edad, alimentadas durante 60 días con dietas isocalóricas conteniendo distintas concentraciones de proteína (P = Caseína, 5-10-15-20%). Un grupo fue sacrificado a tiempo inicial (T0) para obtener valores de referencia. Los estudios morfométricos fueron realizados entre puntos anatómicos estables del hueso. La aptitud biomecánica fue ensayada en flexión en un equipo Instron 4442 con el objeto de registrar las curvas carga/deformación. Mediante absorciometría de doble haz de rayos X (DXA) se evaluó la masa de mineral, absoluta (contenido mineral óseo, CMO) y relativa a su área de proyección (densidad mineral ósea areal, DMO). **RESULTADOS:** Con la excepción de la porción anterior de la mandíbula que no sufrió variaciones edad/dieta dependientes, los demás parámetros morfométricos analizados aumentaron a partir de C15%. Área (A) y momento de inercia de la sección fracturaria (CSMI) fueron afectados por dietas con contenido proteico menor a 15%. Los huesos 5% y 10% mostraron menor resistencia a la deformación (Wy/dy) y a la fractura (Wf) con respecto a 15% y 20%. Sin embargo, no se afectó el módulo elástico (E), propiedad intrínseca del material óseo. **CONCLUSION:** El análisis de los datos sugiere que C5% y C10% no favorecen la mejora natural de la distribución arquitectónica lo que induce menor rigidez y resistencia óseas. La ausencia de diferencias entre los grupos C15% y C20% sugiere que una concentración dietaria de C15% es apropiada para asegurar una adecuada performance biomecánica mandibular. UBACyT 0002- PIP 5501.

# 158

PO4024

## INTERACCIÓN DE ANTICUERPOS SÉRICOS DE PACIENTES CON ENFERMEDAD PERIODONTAL CON EPITOPES ANTIGÉNICOS GINGIVALES Y CARDÍACOS.

Segovia M\*, Borda E, Sterin-Borda L.

Cátedra de Farmacología, FOUBA.

**OBJETIVO:** Es aceptado que la autoinmunidad contribuye en la patogénesis de la enfermedad periodontal. En este trabajo se exploró la presencia de anticuerpos séricos con potencialidad para interactuar con los receptores  $\alpha$  adrenérgicos gingivales y cardíacos con el fin de estudiar la respuesta inmune humoral en la enfermedad periodontal crónica. **MÉTODOS:** Mediante la purificación de membranas cardíacas y de fibroblastos gingivales y el uso de un péptido sintético correspondiente al receptor humano  $\alpha$ 1 adrenérgico, se comprobó la presencia de anticuerpos séricos dirigidos al adreno receptor  $\alpha$ 1 de los fibroblastos gingivales y del miocardio. Estos anticuerpos se comportaron como agonistas  $\alpha$ 1 adrenérgicos parciales ya que, por un lado, incrementaron la actividad cardíaca "in vitro" e inhibieron la proliferación de los fibroblastos gingivales en cultivo, pero, a la vez, impidieron el efecto del agonista exógeno. El efecto agonístico de los anticuerpos fue inhibido específicamente por el péptido  $\alpha$ 1 adrenérgico y por un bloqueante  $\alpha$ 1 específico (atenolol). **RESULTADOS:** Los resultados demuestran que en el suero de pacientes con enfermedad periodontal crónica existen anticuerpos capaces de interactuar con epitopes antigénicos  $\alpha$ 1 adrenérgicos de la gingiva y del miocardio. **CONCLUSION:** Esta reacción cruzada podría jugar un rol, junto a otros factores, en el desarrollo de enfermedades sistémicas (cardiomiopatía) durante el curso crónico de la enfermedad periodontal.

Palabras Clave: enfermedad periodontal, miocardiopatías.



# 159

PO4025

## CORRELACIÓN ENTRE LA CONCENTRACIÓN DE NITRITO Y VARIABLES SALIVALES.

Belardinelli P\*, Morelatto R, Benavidez T, Baruzzi A, López de Blanc S.

Cátedra de Clínica estomatológica B, Fac. de Odontología y Dpto de fisicoquímica. Fac. de Ciencias Químicas. U.N.C.

**OBJETIVO:** Muchos autores han investigado la concentración de NO<sub>2</sub><sup>-</sup> en saliva y su posible rol en la etiología de enfermedades bucales, considerando las ventajas de esta muestra biológica. A su vez el pH salival tiene influencia en la reducción de nitrato, que es el precursor de estos compuestos. A causa de la naturaleza compleja de esta muestra, existe dispersión en los resultados publicados. El objetivo de este trabajo fue optimizar las condiciones experimentales para encontrar correlaciones entre la concentración de NO<sub>2</sub><sup>-</sup> y las variables salivales (pH, volumen minuto y capacidad buffer). **MÉTODOS:** se incluyeron diez voluntarios sanos, no fumadores, en ayunas y luego del cepillado dentario habitual. Las muestras fueron recolectadas sin estimular en tres horarios diferentes: 8:30, 10:30 y 12:30 hs. Inmediatamente se determinó pH, volumen minuto y capacidad buffer. Una alícuota de la muestra fue estabilizada con Na(OH) 1M (20µL/1mL de saliva), desproteinizada con ZnSO<sub>4</sub> 0,15M (750µL/750µL de saliva) y centrifugada a 9000g durante 15 minutos. El sobrenadante fue utilizado para medir por triplicado la concentración de NO<sub>2</sub><sup>-</sup>. Se utilizó la reacción colorimétrica de Griess y la absorbancia fue medida con un espectrofotómetro Shimadzu. Para determinar si las variables dependen de la hora de recolección se aplicó el ANOVA en bloque, y para analizar la correlación entre las distintas variables aplicó el test de correlación de Pearson. **RESULTADOS:** Se incorporaron 8 voluntarios femeninos y 2 masculinos, edad promedio 31, rango: 21-39. A las 8,30hs se encontraron los valores más altos de nitrito (media = 118µM) (p < 0,05) y los más bajos de pH (media=6,98) (p < 0,05) respecto a 10:30 y 12:30hs. Existe una correlación negativa (-1) p= 0,003 entre las medias de nitritos y pH en los distintos horarios. No se encontraron diferencias significativas en la capacidad buffer, ni en volumen minuto en los diferentes horarios estudiados. Se observó correlación entre la capacidad buffer y el pH de las muestras a las 10:30hs y 12:30hs. **CONCLUSION:** se evidencia una notable correlación entre las variables estudiadas, confirmando la importancia de controlar parámetros analíticos de muestreo, recolección y almacenamiento.

Palabras Clave: pH, nitrito salival, capacidad buffer.

# 160

PO4026

## EVALUACION DEL EFECTO DE SOLUCIONES DE IRRIGACION ENDODONTICAS SOBRE LA MICRODUREZA Y EL CONTENIDO ORGANICO E INORGANICO DE LA DENTINA RADICULAR.

López GL\*, Pacios MG, de la Casa ML, Salas MM, López ME.

Cátedra de Endodoncia, Cátedra de Química Biológica, Laboratorio de Materiales Dentales. Facultad de Odontología. UNT.

**OBJETIVO:** Relacionar el efecto de soluciones de irrigación utilizadas en Endodoncia, solas o combinadas, sobre la microdureza y el contenido de proteínas totales y de los iones calcio y fosfato de la dentina radicular a los 5 minutos. **MÉTODOS:** Se utilizaron 72 segmentos del tercio medio de dentina radicular humana de 12 premolares inferiores recientemente extraídos. Los mismos fueron divididos en 2 grupos. En el Grupo A se determinó microdureza utilizando el Test de Vickers: 54 segmentos fueron incluidos en resina acrílica y pulidos. En el Grupo B se determinó proteínas por el método de Lowry, iones calcio por absorción atómica y fosfatos por espectrofotometría (Wiener Lab): 18 segmentos, permanecieron almacenados a 4°C. Los segmentos de ambos grupos se dividieron al azar en 6 subgrupos según la solución de irrigación empleada: agua destilada (AD); hipoclorito de sodio (NaClO) 1%; Ácido cítrico (AC) 1%; EDTA 17%; Ácido cítrico (AC) 1% + hipoclorito de sodio (NaClO)1%; EDTA 17% + hipoclorito de sodio (NaClO) 1%. Cada segmento permaneció en contacto con 1 ml de la solución correspondiente durante 5 min a 37°C. Los resultados fueron analizados con ANOVA one way, Test de Tuckey y test de correlación. **RESULTADOS:** A los 5 minutos AC redujo la microdureza de modo significativo (p<0,05), no existiendo diferencias estadísticas (p>0,05) al usarse solo o combinado con NaClO. NaClO no presentó diferencias estadísticamente significativas (p>0,05) con AD. La eliminación de proteínas resultó significativamente mayor con NaClO sólo o combinado con EDTA (p<0,05). AC y EDTA solos o combinados con NaClO eliminaron significativamente más calcio de la dentina respecto de AD e NaClO (p = 0,05). AC eliminó más fosfatos en relación al resto de las soluciones empleadas (p<0,05). Se evidenció correlación positiva entre la reducción de la microdureza y la eliminación de iones calcio y fosfatos. No hubo correlación entre la microdureza y los valores de proteínas. **CONCLUSION:** La reducción de la microdureza dentinaria producida por soluciones de irrigación endodónticas durante 5 min se relacionaría con el efecto sobre el componente mineral más que por el componente orgánico de la dentina radicular.

Trabajo parcialmente subsidiado por CIUNT. Palabras Clave: microdureza, proteínas, calcio.

# 161

PO4027

## EFFECTOS DE ENJUAGATORIOS BUCALES SOBRE PROTEINAS SALIVALES IN VIVO E IN VITRO.

Vargas CF, Torres PF\*, Lopez ME.

Facultad de Odontología de la Universidad Nacional de Tucumán.

La saliva cumple múltiple funciones en la cavidad bucal tales como digestión de carbohidratos por amilasa o protección contra bacterias por peroxidasa. Son conocidos los beneficios de los enjuagues bucales, pero poco se sabe de sus efectos sobre las proteínas salivales. **OBJETIVO:** Estudiar el efecto de enjuagatorios bucales sobre amilasa y peroxidasa. **METODOS:** Se trabajó con 6 individuos sanos. La saliva total fue obtenida por salivación. Los principios activos de los enjuagatorios son: fluoruro de sodio 0,05% (FS), alcoholes aromáticos (Timol 0,06%/Eucaliptol 0,09%/Salicilato de metilo 0,06%) (AA) y digluconato de clorhexidina 0,12% (CL). Como control se usó agua destilada (AD). In vivo se recogieron muestras antes y después del enjuagatorio a: 1, 5, 10, 15, 30, 45 y 60 min. In vitro se incubó la saliva con igual volumen del enjuagatorio a 37°C con agitación a 1, 5, 10 y 15 min, se centrifugó y se determinó amilasa y peroxidasa por espectrofotometría. Los datos se analizaron por ANOVA, expresando con  $p < 0,05$ . **RESULTADOS:** Para peroxidasa in vivo AD, FS Y AA mostó diferencias significativas a todos los tiempos y CL lo hizo a 1 y 60 min. En relación al tiempo cero FS no presentó diferencias significativas, AA lo hizo a 1, 5 y 10 min y CL presentó diferencias significativas a 5 y 10 min. In vitro AA a partir de 1 min, FS de 10 min, y CL en 15 min presentaron diferencias estadísticas respecto a AD. Todos los enjuagatorios mostraron diferencias en todos los tiempos con el salivación tiempo cero. Para amilasa in vivo se observaron diferencias estadísticas en relación a AD en AA a los 10 min y en CL a 5 y 10 min, para FS se observaron diferencias significativas sólo a 45 min. AA presentó diferencias solo en 10 min y CL de 1 a 30 min en relación al tiempo cero. In vitro AA a partir de 1 min presentó diferencias significativas pero no los otros enjuagatorios en relación a AD. Sólo AA mostró diferencias significativas a partir del 5 min con el tiempo cero. **CONCLUSION:** Todos los enjuagatorios bucales produjeron alteración en la concentración de amilasa y peroxidasa en algunos de los tiempos especialmente alcoholes aromáticos que afectó peroxidasa a todos los tiempos.

Palabras Clave: enjuagatorios, amilasa, peroxidasa.

# 162

PO5001

## ESTUDIO IN VITRO DE LA ADHESIÓN DE LEVADURAS A DIFERENTES LIGADURAS ORTODÓNCICAS.

Labate LM\*, Brusca MI, Rosa AC.

Catedra Microbiología Facultad Odontología UBA.

La viabilidad de los microorganismos está relacionada con la cantidad y calidad del inóculo, la adherencia y la capacidad de interacción de los mismos con los componentes del soporte, ya sean dientes, mucosas, prótesis (fijas o removibles) o aditamentos ortodóncicos. **OBJETIVO:** Evaluar la viabilidad de levaduras en distintas ligaduras ortodóncicas. **METODOS:** se estudiaron dos gomas diferentes y ligaduras metálicas, y cepas de *Candida albicans* y *Candida dubliniensis*. Las gomas y ligaduras fueron acondicionadas en sobres de papel uso médico, cada paquete con cinco gomas, y se esterilizaron en autoclave a 134°C durante 20 minutos. Una vez esterilizadas se ligaron con alambre de ligadura de 0.20 a un alambre de acero inoxidable de 0.8 y se colocaron dentro de tubos con agar BHI. Se inocularon con cada una de las especies. Los grupos control fueron los materiales sin inoculas. Para incubar los tubos se inclinaron en ángulo de 25° y se llevaron a 37° C en microanaerobiosis. Se realizó análisis macroscópico. Se retiraron las varillas con las gomas y, con pinza de corte de ligaduras estéril, se separaron de su soporte. De cada grupo experimental se observó n: 8 por microscopía electrónica de barrido. El resto de las muestras de cada grupo se procesó en los siguientes tiempos de corte: 0, 1, 3, 7, 15, 18 días (con n: 8 en cada tiempo). La capacidad de adhesión de las levaduras se midió a través de la persistencia de las mismas en las gomas y alambres. **RESULTADOS:** En las gomas la recuperación fue menor que en los alambres en cuanto al número de UFC. La recuperación fue mayor para ambas especies en las gomas extraorales que en las gomas intraorales, correspondiendo esto a su mayor tamaño. La recuperación fue mayor en ambos tipos de ligaduras para la *Candida albicans* que para la especie de *Candida dubliniensis*. El desarrollo de levaduras aumentó las primeras 24 horas y luego empezó a disminuir, sin embargo se pudo recuperar hasta el día 15. **CONCLUSION:** las ligaduras de goma permiten mayor adherencia que las metálicas, actuando como posibles fuente de infección.

Palabras Clave: ligaduras. Candida. Ortodoncia.

# 163

PO5002

## ALTERACIÓN DE LA SECRECIÓN SALIVAL POR ANTICUERPOS ANTIMUSCARÍNICOS PRESENTES EN EL SUERO DE PACIENTES CON SÍNDROME DE SJÖGREN PRIMARIO.

Passafaro D\*, Reina S, Sterin-Borda L, Borda E.  
Cátedra de Farmacología, Facultad de Odontología, UBA.

Los pacientes con Síndrome de Sjögren primario (SSp) poseen autoanticuerpos (Ac) séricos que interaccionan con los receptores colinérgicos muscarínicos  $M_3$  (mAChR  $M_3$ ) de las glándulas salivales. **OBJETIVO:** Estudiar la modulación que dichos Ac anti mAChR  $M_3$  producen sobre la secreción salival. **MÉTODOS:** Se utilizaron glándulas submaxilares de rata y se determinó la producción de amilasa (liberación de maltosa), la actividad de la  $Na^+K^+$ -ATPasa (liberación de fosfato inorgánico) y la producción de mucina (técnica colorimétrica) en presencia de los Ac anti mAChR  $M_3$  de pacientes con SSp y en presencia del agonista muscarínico pilocarpina. **RESULTADOS:** La producción de amilasa no fue modificada ni por la pilocarpina ni por los Ac. La actividad de la  $Na^+K^+$ -ATPasa disminuyó por acción del Ac y de la pilocarpina, efecto que fue bloqueado por el 4-DAMP. La producción de mucina aumentó por acción de la pilocarpina, efecto bloqueado por pirenzepina, 4-DAMP y tropicamida. Los Ac anti mAChR  $M_3$  inhibieron la producción de mucina. Asimismo en presencia de los Ac anti mAChR  $M_3$  el efecto de la pilocarpina sobre la actividad de la  $Na^+K^+$ -ATPasa no se puso de manifiesto. **CONCLUSION:** Estos resultados sugieren que los Ac anti mAChR  $M_3$  del SSp actuando como agonistas parciales de los mAChR  $M_3$  glandulares modifican la secreción salival por: -inhibición en la secreción de mucina y -disminución en el efecto de la pilocarpina sobre la secreción acuosa.

Palabras Clave: Ac anti mAChR  $M_3$ , Mucina,  $Na^+K^+$ -ATPasa.

# 164

PO5003

## DETERMINACIÓN: DE PARÁMETROS DE LA INMUNIDAD INNATA EN PACIENTES CON PERIODONTITIS AGRESIVA.

Atala J<sup>1\*</sup>, Ocampo M<sup>1</sup>, Porporatto C<sup>3</sup>, Riera C<sup>3</sup> Olmedo L<sup>2</sup>.  
Departamentos Rehabilitación Oral<sup>1</sup>, Biología Oral<sup>2</sup> Facultad de Odontología, Inmunología Clínica<sup>3</sup> Facultad Ciencias Químicas. UNC.

**OBJETIVO:** Evaluar patrones de la inmunidad innata en pacientes con periodontitis agresiva (PA). **MÉTODOS:** Estudio transversal de pacientes con PA (según criterio de International Workshop 1999) de ambos sexos, de edades entre 15 y 30 años, y pacientes periodontalmente sanos, sin patologías sistémicas, compromiso inmunológico ni medicados. (n=12). Se recogieron muestras de fluido gingival (FG) y sangre venosa periférica (SV) para determinar citocinas: IL-1? y TNF? y quimioquina IL-8. Solo en FG se midieron nitritos y arginasa. La determinación de valores de citocinas y quimioquinas se realizó por ELISA de captura, mientras nitritos y arginasa empleando técnica de Falk y Albina respectivamente. Para el análisis de los datos se usaron los percentiles 25-50-75. La comparación de grupos sanos y pacientes se realizó con la Prueba de Wilcoxon para muestras independientes fijando un valor  $p < 0.05$  para significación estadística. **RESULTADOS:** En las mediciones realizadas en muestras de suero se observó que los valores de todas las variables mostraron una gran dispersión, observándose en algunos pacientes valores extremos (muy altos) en sustancias como IL-1? y TNF?. En FG, no hubo presencia de valores extremos. En general se observó una distribución asimétrica, con tendencias a valores elevados. Realizando el estudio comparativo, las citocinas y quimioquinas estudiadas mostraron diferencias significativas entre los grupos de pacientes y sanos para IL8 en suero ( $p=0,0265$ ), IL-1? en suero ( $p=0,0112$ ) e IL-1? en fluido gingival ( $p=0,0124$ ). **CONCLUSION:** Los valores hallados de citocinas y quimioquinas en todas las determinaciones fueron superiores en pacientes con PA a los encontrados en pacientes sanos, lo que indica que estos parámetros en FG podrían ser usados como marcadores de actividad y progresión de la enfermedad, aunque adquieren un valor relativo cuando las determinaciones se realizan en forma aislada, por cuanto estas citocinas no se almacenan sino que se producen y liberan al momento de mediar una acción biológica específica.

Palabras Clave: periodontitis agresiva. Inmunidad.

# 165

PO5004

## DETERMINACIÓN DE PARÁMETROS DE LA INMUNIDAD INNATA EN PACIENTES CON PERIODONTITIS CRÓNICA.

Ocampo M<sup>1\*</sup>, Atala J<sup>1</sup>, Porporatto, C<sup>3</sup>, Riera C<sup>3</sup>, Olmedo L<sup>2</sup>.

Departamentos: Rehabilitación Oral<sup>1</sup>, Biología Oral<sup>2</sup> Facultad de Odontología, Inmunología Clínica<sup>3</sup> Facultad Ciencias Químicas.UNC.

**OBJETIVO:** Evaluar patrones de la inmunidad innata en pacientes con periodontitis crónica (PC).

**MÉTODOS:** Estudio transversal de pacientes con PC (según criterio de International Workshop 1999) de ambos sexos, de edades entre 35 y 65 años y pacientes periodontalmente sanos, sin patologías sistémicas, compromiso inmunológico ni medicados. (n=27). Se recogieron muestras de fluido gingival (FG) y sangre venosa periférica (SV) para determinar citocinas: IL-1?; y TNF? y quimioquina IL-8. Solo en FG se midieron nitritos y arginasa. La determinación de valores de citocinas y quimioquinas se realizó por ELISA de captura, mientras nitritos y arginasa empleando técnica de Falk y Albina respectivamente. Para el análisis de los datos se usaron los percentiles 25-50-75. La comparación de grupos sanos y pacientes se realizó con la Prueba de Wilcoxon para muestras independientes fijando un valor  $p < 0.05$  para significación estadística.

**RESULTADOS:** En las mediciones realizadas en muestras de suero ambos grupos presentaron una alta variabilidad en los perfiles de estas citoquinas .con valores extremos muy altos, tanto en IL-1? como TNF? En tanto en FG no hubo presencia de valores extremos significativos y una distribución asimétrica, con tendencia a valores elevados. En FG no hubo presencia de valores extremos. En general se observó una distribución asimétrica, con tendencias a valores elevados. Realizando el estudio comparativo, las citocinas y quimioquinas estudiadas mostraron diferencias significativas entre los grupos de pacientes y sanos para IL8 en suero ( $p=0,0265$ ), IL-1?; en suero ( $p=0,0112$ ) e IL-1? en fluido gingival ( $p=0,0124$ ). **CONCLUSION:** Los valores hallados de citocinas y quimioquinas en todas las determinaciones de FG fueron superiores en pacientes con PC a los encontrados en pacientes sanos, lo que indica que estos parámetros en FG podrían ser usados como marcadores de actividad y progresión de la enfermedad, aunque adquieren un valor relativo cuando las determinaciones se realizan en forma aislada, por cuanto estas citocinas no se almacenan sino que se producen y liberan al momento de mediar una acción biológica específica.

Palabras Clave: periodontitis crónica, inmunidad.

# 166

PO5005

## ESTUDIO PRELIMINAR : CORRELACIÓN ENTRE LOS VALORES DE INTERLEUCINA IL-1? CON LA RESORCIÓN DEL HUESO ALVEOLAR EN PACIENTES CON PERIODONTITIS CÓNICA Y AGRESIVA.

Ocampo M<sup>1\*</sup>, Atala J<sup>1</sup>, Giménez E<sup>2</sup>, Porporatto C<sup>4</sup>, Riera C<sup>4</sup>, Olmedo L<sup>3</sup>.

Departamentos: Rehabilitación Oral<sup>1</sup>, Patología Bucal<sup>2</sup>, Biología Oral<sup>3</sup> Facultad de Odontología, Área Inmunología-4. Facultad Ciencias Químicas. UNC.

**OBJETIVO:** Evaluar niveles de interleucina 1? (IL-1?) en pacientes con periodontitis agresiva (PA) y periodontitis crónica (PC) y correlacionar resultados con resorción del hueso alveolar.

**MÉTODOS:** Estudio transversal, observacional-analítico de pacientes con PA y PC (según criterio de International Workshop 1999), de ambos sexos, de edades entre 15 y 30 años para PA y de 35 a 65 para PC. (n=31). Se recogieron muestras de fluido crevicular gingival (FGC) y se determinó por ELISA de captura IL-1?. Para el análisis de datos se usaron los percentiles 25-50-75. Para comparar valores de IL-1? entre PA y PC se aplicó la prueba de Irwin-Fisher, fijando un valor  $p < 0.05$  para significación estadística. La resorción de hueso alveolar se determinó por imágenes radiográficas (RX periapicales), las cuales se digitalizaron mediante programa Image-pro-Plus. Para correlacionar IL-1? y resorción ósea entre con PA y PC se usó el índice de Spearman con 95 % de confianza. **RESULTADOS:** Los pacientes con PA y PC presentaron diferencias significativas en los valores de IL-1? con  $p < 0.05$ . No se observó correlación entre IL-1? y resorción ósea en pacientes con PA ( $p=0,41$ ), en tanto si hubo correlación entre IL-1? y resorción ósea en pacientes con PC ( $p=0,02$ ). **CONCLUSION:** IL-? estaría relacionada con la patogénesis de periodontitis crónica y podría ser un marcador de expresión de la fase activa de la enfermedad.

Palabras Clave: periodontitis cronica-agresiva -interleucina1? .

# 167

PO5006

## RELACIÓN DE STREPTOCOCCUS MUTANS Y CANDIDA EN LESIONES CARIOSAS.

Paniagua S\*, Gonzalez M M, Ortega S, Rodriguez V.

Departamento de Estomatología Clínica y Quirúrgica/ Cátedra de Microbiología. Facultad de Odontología. U.N.N.E.

**OBJETIVO:** Determinar la presencia de Candida y sus especies en saliva, relacionar la presencia de Streptococcus mutans y Candida en placa supragingival y dentina cariada estableciendo su posible asociación en el inicio y desarrollo de la lesión de caries. **MÉTODOS:** Se incluyen en el proyecto a pacientes de ambos sexos, de entre 30-40 años de edad que asisten al Hospital Odontológico Universitario de la Facultad de Odontología de la U.N.N.E. en la ciudad de Corrientes. Se confecciona ficha odontológica para registro de datos del paciente y odontograma; se realiza toma de muestras de saliva, placa supragingival y dentina cariada; las mismas se procesan en el Laboratorio de la Cátedra de Microbiología de la F.O.U.N.N.E. Se siembra en Medio Caldo Mitis Salivarius con telurito de potasio al 1% y Bacitracina al 0,2 U/ ml para aislamiento de Streptococcus mutans y Medio de Saboureaud para aislamiento del Género Candida. **RESULTADOS:** Hasta el momento se obtuvieron muestras de 10 pacientes, procesando un total de 30 muestras, en 20 obtuvimos cultivo positivo para Streptococcus mutans y en 10 muestras cultivo positivo para Candida. **CONCLUSION:** Hasta el momento el aislamiento de Streptococcus mutans y Candida sp en las muestras procesadas nos hace suponer que podría haber una asociación entre estos microorganismos en el desarrollo de la lesión caries.

Palabras Clave: Microbiología Oral-Microorganismos Cariogénicos-Levaduras..

# 168

PO5007

## ESTUDIO PRELIMINAR DE ESPECIES PERIODONTOPATÓGENICAS Y PERFIL DE SUSCEPTIBILIDAD ANTIMICROBIANO.

Maccarone, G<sup>1\*</sup>; Brusca, M<sup>1\*</sup>; Silva Steffens, N<sup>2\*</sup>; Rosa, A1; Gliosca, L<sup>1\*</sup>. <sup>1</sup>Laboratorio de Diagnóstico Microbiológico. Cátedra de Microbiología y Parasitología. FOUBA. <sup>2</sup>Laboratorio de microbiología Bucal. Facultad de Odontología. Universidad de Chile, Proyecto FONDECYT N1090046 \*Proyecto UBACyT O 404 Equipos en Formación 2008-2010.

Los microorganismos periodontopáticos presentan diversos patrones de frecuencia y sensibilidad. Los antibióticos sistémicos se usan en forma complementaria al tratamiento mecánico en algunas formas de periodontitis, aún cuando su empleo es controversial, los resultados son satisfactorios. La susceptibilidad de los diferentes periodontopatogenos in vitro, varía ampliamente en las poblaciones en el mundo y muy poca evidencia tenemos sobre el comportamiento de estos microorganismos en América Latina. **OBJETIVO:** establecer la prevalencia de patógenos pertenecientes a los grupos Rojo y Naranja en pacientes con enfermedad periodontal crónica (EPC) en una muestra poblacional local. **MÉTODOS:** Se han estudiado 15 pacientes con diagnóstico clínico y radiográfico de EPC, seleccionados de acuerdo a los criterios de inclusión previa firma del consentimiento. Se tomó muestras de bolsa periodontal, introduciendo por 20 segundos 2 conos de papel estériles, seleccionado un sitio por cuadrante, posterior a la eliminación del biofilm supragingival. Los conos se depositaron en viales con medio de transporte anaerobio (VMGA III) para su posterior procesamiento en el laboratorio de diagnóstico microbiológico de FOUBA. Las muestras se procesaron para obtener aislamiento e identificación de los microorganismos, empleando técnicas microbiológicas clásicas. Se realizaron pruebas de susceptibilidad por dilución en agar según Normas CLSI M11"CA7 y detección de enzima beta-lactamasa por técnica de nitrocefín. **RESULTADOS:** Se aislaron e identificaron especies de los géneros Porphyromonas, Prevotella y Fusobacterium en un 50 %; 70 % y 40% respectivamente. El 100% de los aislados de los géneros Porphyromonas y Fusobacterium fueron sensibles a los antibacterianos estudiados, un 14,3% del género Prevotellas fue resistente a ampicilina, ampicilina sulbactam y mostró susceptibilidad disminuida a azitromicina, así como reacción positiva para Á-lactamasa. **CONCLUSION:** Las cepas de Porphyromonas spp y Fusobacterium spp presentaron una distribución homogénea y un perfil sensible de susceptibilidad a los antibióticos estudiados. Sin embargo, la presencia de enzimas modificantes de betalactámicos parece ser por el momento, una característica inherente al género Prevotella.

# 169

PO1001

## EFECTO DEL ALENDRONATO EN CAVIDADES ÓSEAS NEOFORMADAS. ESTUDIO MORFOLÓGICO E HISTOMORFOMÉTRICO.

Gait María Teresa<sup>(1)\*</sup>, Plavnik Luis Mario<sup>(2)</sup>.

1-Cátedra de Ortodoncia B. Facultad de Odontología (FO) UNC. 2-Cátedra de Histología A.FO.UNC. Fundación CREO.

Diferentes biomateriales y drogas son capaces de iniciar la recuperación de tejido óseo perdido. El alendronato (ALN) provocan la inhibición de la resorción ósea mediada por osteoclastos y aumentan la densidad ósea. Sin embargo no están clarificado sus mecanismos de acción molecular ni sus efectos en la cicatrización ósea. El objetivo de este trabajo es estudiar morfológica e histomorfométricamente el efecto del Alendronato en la regeneración tisular de cavidades óseas neoformadas. **Materiales y METODOS:** Se utilizaron 34 ratas Wistar machos. Se los anestesió intraperitonealmente con una solución de ketamina/xilazina y luego se expusieron las diáfisis tibiales de cada pata trasera realizándose una cavidad de 1.5 mm de diámetro, las del lado izquierdo fueron rellenas con alendronato en polvo agregado al sangrado propio de la intervención y las del lado derecho no tuvieron relleno (controles). Los animales fueron sacrificados a los 0,7,15 y 30 días y las patas fueron fijadas en formol tamponado al 10 %, desmineralizadas con ácido nítrico al 7% y procesadas para su posterior inclusión en parafina. Se obtuvieron cortes seriados que se colorearon con H/E y se observaron microscópicamente, con un programa Image Pro Plus 4.1 se midieron los anchos de las trabéculas neoformadas y se cuantificaron los elementos celulares del tejido óseo. Los datos obtenidos fueron analizados estadísticamente con el Test t Student y Mann-Whitney. **RESULTADOS:** En todos los tiempos experimentales el ALN no interfirió con la regeneración ósea. A los 15 días podemos observar núcleos cartilaginosos en la zona de reparación y a los 30 osificación endocondral que termina en la formación de hueso compacto. Histomorfométricamente se observó un aumento del ancho trabecular sin diferencias estadísticamente significativas con los controles. Hubo también un aumento de la densidad celular por mm<sup>2</sup> con diferencias estadísticamente significativas a los 30 días en relación a sus controles **CONCLUSION:** El ALN se comporta como un material osteoinductivo y osteoconductor que mejora la calidad del tejido óseo neoformado, favoreciendo así la reparación del tejido óseo. Palabras Clave: alendronato, cavidad ósea neoformada, osteoinducción, osteoconducción.

# 170

PO1002

## EFECTO DEL HIDRÓXIDO DE CALCIO SOBRE LA REGENERACIÓN ÓSEA. ESTUDIO EXPERIMENTAL.

Gait María Teresa<sup>(1)\*</sup>, Plavnik Luis Mario<sup>(2)</sup>

1-Cátedra de Ortodoncia B. Facultad de Odontología (FO).UNC. Cátedra de Histología A.FO.UNC. Fundación CREO.

Ante diversas situaciones ya sea la extracción de un diente o la instalación de un implante, el hueso puede reconstruirse por medio de procesos fisiológicos de remodelación o cicatrización. Pueden además incorporarse materiales para favorecer o estimular el crecimiento óseo. El fosfato tricálcico es capaz de generar un andamiaje (osteoconducción) sobre el cual encontramos la formación de nuevo hueso y osteoide, sin embargo no se conoce si posee capacidad osteoinductiva. **OBJETIVO:** Estudiar el efecto del Hidróxido de Calcio en el proceso de reparación ósea. **METODOS:** Se utilizaron 34 ratas Wistar machos. Se las anestesió intraperitonealmente con una solución de ketamina/xilazina y luego se expusieron las diáfisis tibiales de cada pata trasera realizándose una cavidad de 1.5 mm de diámetro, las del lado izquierdo fueron rellenas con Hidróxido de Calcio purisimum, en polvo, agregado al sangrado propio de la intervención y las del lado derecho no tuvieron relleno (controles). Los animales fueron sacrificados a los 0,7,15 y 30 días y las patas fueron fijadas en formol tamponado al 10 %, desmineralizadas con ácido nítrico al 7% y procesadas para su posterior inclusión en parafina. Se obtuvieron cortes seriados que se colorearon con H/E y se observaron microscópicamente, con un programa Image Pro Plus 4.1 se midieron los anchos de las trabéculas neoformadas y se cuantificaron los elementos celulares del tejido óseo. Los datos obtenidos fueron analizados estadísticamente con el Test t Student y Mann-Whitney. **RESULTADOS:** Estructuralmente a los 15 días se observa osificación endocondral en la zona de reparación, y a los 30 días hueso compacto con una vascularización aumentada con respecto a los controles. El análisis estadístico de los tiempos experimentales de Ca(OH)<sub>2</sub> entre los casos problemas y controles, mostró que hay diferencias significativas en relación al ancho trabecular, no así con respecto al N° de células. **CONCLUSION:** El hidróxido de calcio acelera y promueve la regeneración ósea, se comporta como material osteoinductivo, mejorando la calidad del tejido óseo neoformado con un aumento del ancho trabecular El hecho de ser el un material osteoinductivo, es muy beneficioso por su bajo costo y su uso extendido en odontología. Palabras Clave: Hidróxido de Calcio, regeneración ósea, osteoinducción.

**171**

PO1003

**EFFECTO DE LAS RADIACIONES LÁSER DE BAJA POTENCIA EN PROCESOS TUMOROGÉNICOS INDUCIDOS EN GLÁNDULAS SALIVALES.**

Plavnik ML\*, Brunotto M, Malberti A.

Area Biología Oral. Facultad Odontología (U.N.C.)- Instituto Biología Celular. Facultad Ccias. Médicas (U.N.C.).

Las radiaciones láser baja potencia (RLBP) producen modificaciones de la conducta celular en diferentes tejidos, dependiendo de la densidad de energía depositada. En presentaciones anteriores (SAIO 1998 al 2007), demostramos que densidades altas de láser de He-Ne inducían procesos apoptóticos en glándulas submandibulares (GSM) de cobayo. **OBJETIVO:** estudiar el efecto de la RLBP de He-Ne en altas densidades de energía sobre tumores de GSM de rata inducidos por 9, 10-dimethyl 1, 2 benzantracene (DMBA). **MÉTODOS:** ratas machos Wistar (n=24),  $\pm$  180 g, se anestesiaron y se les realizó una incisión exponiendo ambas glándulas GSM. Cada glándula fue inyectada con una solución de 0,5mg/ml de DMBA para inducir la tumorigénesis. Se suturó la herida y los animales se separaron en dos grupos: a) experimental (n=12), y b) control (n=12). Sesenta días más tarde se expusieron las GSM del grupo experimental y fueron irradiadas con láser de He-Ne, con una densidad de energía de 10J/cm<sup>2</sup>. Los animales fueron sacrificados a las 2, 4, 10 y 12 h después de la irradiación. Los animales del grupo control fueron sometidos a operación simulada (sin láser), y sacrificados a los mismos tiempos. Se fijaron las GSM de ambos grupos en formol al 10% pH 7, y se procesaron según técnica de inclusión en parafina. Coloración. H-E y ATO. **RESULTADOS:** en las hiperplasias adenomatosas de las GSM tratadas con DMBA se observaron modificaciones parenquimatosas que aumentaban con los distintos tiempos experimentales: acinos serosos con disminución de la basofilia, vacuolización y signos de alteraciones nucleares. Las células de los acinos mucosos presentaban pérdida de sus límites celulares, "balonización" citoplasmática y cambios nucleares. Los conductos presentaban edematización y homogeneización citoplasmática y el estroma glandular mostraba fragmentación fibrilar, marcada vasodilatación y presencia de mastocitos. **CONCLUSION:** la irradiación en alta densidad con láser de He-Ne sobre tumores inducidos con DMBA en GSM de rata, producen alteraciones parenquimatosas que se podrían relacionar con procesos apoptóticos. Palabras Clave: Palabras Claves: glándula submandibular, láser, tumorigénesis.

**172**

PO1004

**PRESENTACIÓN DE UNA METODOLOGÍA DE CUANTIFICACIÓN DENSITOMÉTRICA POR ANÁLISIS DE IMAGEN EN INMUNOMARCACIÓN.**Brandizzi D\*, Schlegel G, Vidal SM, Santini-Araujo E, Cabrini RL. Servicio de Patología Hospital General Hospital Militar Central CR M<sup>a</sup> Cosme Argerich; División Patología, Departamento de Radiobiología de la Comisión nacional de Energía Atómica y LANAIS- MEF (CONICET- CNEA).

Las inmunomarcación es una técnica que permite detectar moléculas en especial proteínas que representan un actividad metabólica celular específica. En los laboratorios de patología quirúrgica estas técnicas son utilizadas como herramienta de ayuda en el diagnóstico de patologías y en algunos casos para tumores malignos define un tipo de tratamiento a realizar. Estas determinaciones tanto a nivel científico como asistencial se hace de manera subjetiva por el observador. **OBJETIVO:** En este trabajo presentamos una metodología de cuantificación por densitometría y análisis de imagen para estudiar los diferentes niveles de reacción. **MÉTODOS:** Se realizó expresión de proteína SAT1 en carcinomas de células escamosas de cabeza y cuello del Servicio de Patología Hospital General Hospital Militar Central. Se utilizó la técnica microarray con modificaciones de nuestro laboratorio SAIO 2009. Las imágenes fueron tomadas en un microscopio Zeiss MPM 400 objetivos x 5/0,075 y x 40/0,75. Se determinó el pico máximo de absorción para la reacción inmunohistoquímica. Para la medida se utilizó un filtro interferencial de 560nm. Las medidas densitométricas fueron realizadas con programa de análisis de imagen IMAGE PRO-PLUS. **RESULTADOS:** Las medidas se realizaron en objetivo x 5/0,075 en una muestra de contorno circular. Se realizaron la medida de las siguientes: primero un área rectangular en sentido longitudinal y en sentido transversal; segundo un área circular de 1195  $\mu$ m<sup>2</sup> en tres zonas del preparado máxima, media y mínima y tercero con un objetivo x 40/0,75 en áreas circulares similares al tamaño de un núcleo de 113  $\mu$ m<sup>2</sup> también en zonas del preparado máxima, media y mínima reacción de STA1. Los parámetros utilizados sumatoria de densidad óptica (TOD), densidad óptica (OD) por pixel. **CONCLUSION:** Se presenta una metodología de cuantificación por densitometría y análisis de imagen sobre muestras biopsias provenientes de bloques de parafina por microarray que permite valorizar en forma numérica la cantidad de reacción de diferentes técnicas inmunohistoquímica, caracterizando la homogeneidad de la respuesta, valores máximos y desvíos. Subsidio: UBACyT O006. Palabras Clave: Inmunomarcación, densitometría, análisis de imagen.

# 173

PO1005

**DESARROLLO DE UN DISPOSITIVO PARA REALIZAR MICROARRAY EN UN LABORATORIO CONVENCIONAL DE PATOLOGÍA QUIRÚRGICA.** Cabrini RL, Brandizzi D\*, Schlegel G, Vidal SM, Santini-Araujo E. Servicio de Patología Hospital General Hospital Militar Central CR M<sup>a</sup> Cosme Argerich, División Patología, Departamento de Radiobiología de la Comisión Nacional de Energía Atómica y Laboratorio Nacional de Microespectrofotometría LANAIS- MEF (CONICET- CNEA).

El rápido avance de las técnicas de inmunohistoquímica ha hecho posible la detección de un número de moléculas en especial proteicas con una técnica sencilla y con escasa instrumentación. En los laboratorios de patología las reacciones inmunohistoquímicas se hacen para casos problemas con la utilización del corte histológico completo del tejido. Sin embargo, en algunos casos individuales, y para la utilización de series, es ventajoso el empleo de métodos que puedan procesar un número grande de reacciones. El costo de estos equipos es muy elevado. **OBJETIVO:** En este trabajo presentamos los detalles técnicos de la ejecución de nuestra sencilla metodología. **MÉTODOS:** La extracción de cilindros se hace a partir de bloques de parafina utilizados en forma convencional en los laboratorios de patología. El patólogo selecciona para cada caso a someter a inmunomarcación, las áreas más representativas de la toma biopsica sobre cortes con hematoxilina y eosina. El técnico procederá a introducir el "punch dermatológico 1, 2, y 3 mm". Se extrae muy fácilmente el cilindro de parafina del interior del mismo. Para realizar la comparación de casos hay que preparar un bloque de parafina muestra (BPM). Una vez perforado el BPM se procede a introducir cada uno de los cilindros obtenidos de los tacos de parafina que contiene las biopsias en las perforaciones previamente realizada. Se asegura el cilindro dentro del bloque con parafina fundida en estado líquido. Se procede al corte convencional con micrótopo el correspondiente montaje en portaobjetos siliconados. **RESULTADOS:** Nuestra metodología es sencilla, rápido, económica, utiliza tecnología que se disponible en los laboratorios de Patología Quirúrgica, y los punch tipo dermatológicos que son fáciles de conseguir en el mercado de instrumentos de medicina. **CONCLUSION:** Se presenta la realización de una técnica de tipo microarray con materiales de bajo costo y con excelente calidad técnica fácil de ejecutar en un laboratorio convencional de anatomía patológica. Subsidio: UBACyT O006

Palabras Clave: Microarray, Inmunomarcacion.

# 174

PO1006

**ACCIÓN OSTEOPROMOTORA DE ACIDO POLILÁCTICO-POLIGLICÓLICO EN ALVEOLOS POST-EXTRACCIÓN.**

Juárez J.N.\*, Pastorino N., Kosuszko S., Missana L.

1. Cát. de Anat. Patológica. Fac. Odont. Univ. Nac. Tucumán. 2. PROIMI-CONICET. Av. Benjamín Aráoz 800. Tucumán. Argentina.

Los biomateriales poliméricos presentan una amplia variedad de aplicaciones en la clínica humana por su biocompatibilidad y se utilizan en osteopromoción, aunque hay escasas evaluaciones sobre la presentación en polvo. **OBJETIVO:** evaluar la formación ósea utilizando Acido Poliláctico-Poliglicólico (PLA-PGA), en polvo usando alvéolos pos-extracción de ratas. Materiales y Método: se utilizaron 15 ratas Wistar (90 gr) de peso, las que recibieron extracciones de 1º molar superior derecho (experimental) e izquierdo (control). A los alvéolos del Grupo Experimental (GE) se les colocó PLA-PGA en forma de polvo (N.C. Fisiografit, Ghimas, Italy,) y el Grupo control (GC) no recibió ningún relleno. Los sacrificios fueron a 1, 2 y 3 semanas (s). Se disecaron los maxilares, se fijaron en formol buffer al 10% y se descalcificaron con solución Morse modificada. Las muestras recibieron procesamiento histológico de rutina. Se realizaron cortes seriados y orientados en el plano frontal. La coloración fue con H&E. Se realizaron estudios histológicos e histométricos. **RESULTADOS:** GC a 1ºs se observó tejido de granulación. Infiltrado inflamatorio y células gigantes multinucleadas. A la 2ºs se observó tejido fibroso, escaso infiltrado inflamatorio y hueso reticular al fondo del alveolo. En la 3ºs se observó tejido óseo neoformado. A la 1ºs en GE, se observó tejido fibroblástico, partículas de PLA-PGA rodeado por células gigantes multinucleadas e infiltrado crónico. A la 2ºs vasos congestivos, neoformación ósea y material hialino vecino al PLA-PGA. En la 3ºs se observó tejido óseo neoformado incluyendo a partículas de PLA-PGA relleno el alvéolo. Histometría: al comparar los niveles de hueso neoformado entre GC y GE utilizando el Test de Kruskal y Wallis, se observó que a la 1ºs hubo diferencias significativas ( $p=0,028$ ), mientras que a la 2 y 3 presentaron valores semejantes y (0.916 y 0.076). **CONCLUSION:** bajo las condiciones experimentales utilizadas concluimos que el PLA-PGA es osteoconductor aunque generó inicialmente una respuesta inflamatoria, que fue compensada a partir de la 2da semana.

Palabras Clave: Acido Poliláctico-Poliglicólico, alvéolo dentario, biomateriales.



# 175

PO1007

**EFFECTO BIOLÓGICO DE LA PARATHORMONA RECOMBINANTE INTERMITENTE EN DEFECTOS ÓSEOS CRÍTICOS.** Jammal MV, Abate CM, Missana LR. Cátedra de Anatomía y Fisiología Patológicas. Laboratorio de Patología Experimental Bucal. CONICET FOUNT. Plana Piloto de Procesos Industriales y Micribiológicos. PROIMI. CONICET.

La parathormona recombinante humana (rhPTH) es una terapéutica eficaz para el tratamiento de la Osteoporosis, sin embargo se desconoce su respuesta en pérdidas óseas de diferentes etiologías. **OBJETIVO:** evaluar el efecto biológico de la rhPTH intermitente durante la regeneración ósea de defectos óseos críticos (DOC) en calota. **MÉTODOS:** en 43 ratas Wistar hembras (150± 50 g) se realizaron DOC de 5 mm de diámetro en hueso parietal. Se dividieron en dos grupos: control (GC), no recibió ningún tratamiento postquirúrgico; y grupo experimental (GE), una inyección diaria de 20 ug/kg/día (rhPTH) vía subcutánea. Se recogieron muestras de sangre y orina (pre y post tratamiento), para estudiar marcadores bioquímicos óseos. la regeneración ósea se evaluó a la 1°, 3° y 6° semana (s) post quirúrgica; utilizando rayos X blandos, estudios histológicos y morfométricos. **RESULTADOS RADIOGRÁFICOS:** En ambos grupos se observó áreas radiolúcidas circulares correspondientes al DOC, áreas radiopacas internas e irregulares de mayor tamaño en GE. **RESULTADOS HISTOLÓGICOS:** GC: a la 1° y 3° s se observó neoformación ósea incipiente en extremos del DOC, con presencia de osteoblastos y células lining y escasos osteoclastos. A la 6° s se observó formación ósea incipiente en extremos y en el área central del DOC. En el GE: a la 1° s: aumento del número y actividad de osteoblastos, células lining y osteoclastos; a la 3° s hueso reticular, laminar y mineralización ósea desordenada; a la 6° s el hueso parietal presentó formación ósea perióstica y endóstica, dispuesta en capas arremilnadas. **RESULTADOS BIOQUÍMICOS:** calcemia, calciuria, fosfatasa alcalina y fosfatasa ácida tartrato resistente presentaron valores semejantes al nivel basal y a la 1°, 3° y 6° semanas post tratamiento. **RESULTADOS HISTOMÉTRICOS:** GC: 0.21%, 0.65%, 1.06% a la 1°, 3° y 6° s respectivamente. Mientras que en GE: 0.84%, 0.42% y 2.81% en iguales períodos. Los datos obtenidos fueron analizados estadísticamente con el Test de Kruskal Wallis, observándose diferencias significativas entre el GC y GE a la 6° semana (p=0.023) **CONCLUSION:** la rhPTH activó e incrementó la actividad de la Unidad Multicelular Ósea, presentando un cuadro semejante a la Hiperostosis (AFIP 1993).

Palabras Clave: rhPTH, defectos óseos críticos, hiperostosis.

# 176

PO1008

**ESTUDIO MORFOLÓGICO DE CITOLOGÍAS EXFOLIATIVAS ORALES DE LA POBLACIÓN ODONTOPEDIÁTRICA CON PATOLOGÍAS VIRALES DE LA PROVINCIA DE CÓRDOBA.** Ochonga G, Cuffini C, Kiguen X, Lescano de Ferrer A, Tomasi R, Sollazzo M L, Ferreyra de Prato R S\*. Cátedra Anatomía Patológica A, Cátedra de Niños y adolescentes, Área B, F. Odontología. Instituto de virología "Dr. Vanella" UNC.

La patología estomatológica pediátrica es variada e incluye a las lesiones virales producidas por herpes, VEB y HPV entre otros, en ocasiones se asocian a situaciones de abuso y maltrato infantil. En la bibliografía consultada no se encuentran datos sobre características citológicas normales en niños o en relación con lesiones producidas por abuso, por lo cual se emprendió el presente trabajo. **OBJETIVO:** Encontrar métodos fácilmente aplicables en la población infantil que permitan identificar precozmente patologías virales y otras ETS, así como reconocer sus características citopatológicas. **MÉTODOS:** Se realizó en 58 pacientes de 0 a 13 años ( A: Controles y B : experimentales ) que concurren por demanda espontánea en la Cátedra de Odontopediatría Facultad de Odontología, UNC y de hogares de niños de la provincia de Córdoba, mediante examen estomatológico, toma de citología exfoliativa con citobrush, luego su parte activa, fue enviada al instituto Viroológico para confirmar HPV por PCR, previo consentimiento informado (por padre, madre o tutor) y asentimiento informado en los niños de 7 a 13 años. Fijados con Laca, Coloreados con PAP, MGG y PAS para su diagnóstico, siguiendo criterios y clasificación de Papanicolau. **RESULTADOS:** Se encontró un mayor porcentaje de células intermedias en los pacientes del grupo A de 0-8 años, que presentan menor fluorescencia residual, plegamiento y agrupamiento a microscopía confocal, mientras que el grupo A de 9 a 13 años, adquiriendo mayor eosinofilia y aumentando el porcentaje de células superficiales (Prueba de Irwin-Fisher). En los grupos de riesgo con lesiones virales se observan gránulos intracitoplasmáticos, queratocitos además de imágenes tipo coilocíticas descritas en la literatura, en casos HPV positivos (17 pacientes: Grupo B). **CONCLUSION:** Mediante citología exfoliativa, que es un método fácil, indoloro, no invasivo ha permitido observar muestras de niños de diferentes edades, encontrando signos indirectos de HPV, confirmados por PCR comparados con pacientes controles. La incorporación en la rutina de atención odontopediátrica de métodos como la citología exfoliativa permitirá detectarlos precozmente. Se proyecta elevar el número de la muestra para determinar la prevalencia de HPV en Provincia de Córdoba. Palabras Clave: citología exfoliativa oral, mucosa bucal, HPV.

# 177

## IMPORTANCIA DE LA RADIOGRAFIA OCLUSAL EN LA PRACTICA DIARIA.

SUBIRAN B, BOSQUED R, BENITEZ L, CAROSI M J, MARELLO F\*.  
CATEDRA DE RADIOLOGIA FOUBA.

PO1009

La radiografía oclusal es un método de diagnóstico muy utilizado en ortodoncia y como complemento de otras técnicas radiográficas para confirmar y/o ampliar determinados diagnósticos. Pero a pesar de esto no se indica con tanta frecuencia por el practico general como otras técnicas, quizás por creer dificultoso su diagnóstico. **OBJETIVO:** El objetivo de este trabajo es demostrar que aun un observador novato puede distinguir imágenes patológicas con esta técnica. **METODOS:** se tomaron 50 radiografías oclusales superiores y 50 inferiores, y fueron analizadas en un negatoscopio, por un especialista en diagnóstico por imágenes, un odontólogo general y un estudiante de 4º año de la Facultad de Odontología de la Universidad de Buenos Aires. **RESULTADOS:** La importancia de los resultados radica en que aun cuando las patologías no pudieron ser diagnosticadas por el estudiante o por el práctico general, si detectaron que la imagen no correspondía con el patrón normal. **CONCLUSION:** la radiografía oclusal es un excelente método de diagnóstico en si mismo así como el perfecto complemento de otras técnicas, por otro lado ofrece gran cantidad de información fácilmente interpretable y la simplicidad de su técnica hace que pueda ser tomada en casos donde otra técnica falla.

Palabras Clave: OCLUSAL, PATOLOGIA, DIAGNOSTICO.

# 178

## EVALUACIÓN MULTIVARIADA DE LA RELACIÓN ENTRE LESIONES POTENCIALMENTE MALIGNAS Y MALIGNAS Y PRESENCIA DE CANDIDA SPP.

Gilligan G\*, Secchi D, Panico R, Calamari S, Barembaum S, Scatena G, Castillo G, Azcurra A, Brunotto M. Cátedras de Química Biológica "B", Biología Celular "A" y Clínica Estomatológica "A", Facultad de Odontología, Universidad Nacional de Córdoba.

PO1010

La sobreinfección por Candida en lesiones potencialmente malignas y malignas ha sido asociada como factor de riesgo; sin embargo no existen estudios contundentes al respecto. **OBJETIVO:** Evaluar, desde un contexto multivariado, la relación entre lesiones potencialmente malignas y malignas y presencia de Candida en pacientes adultos. **METODOS:** Estudio transversal en pacientes adultos (n=39; 20 a 85 años) que concurren a la Cátedra de Clínica Estomatológica "A", Fac. Odontología, UNC. Los datos se recolectaron mediante historia clínica, examen clínico, diagnóstico presuntivo, luego confirmado por anatomía patológica -cáncer (CA), leucoplasia (LP) o líquen (LI)-. Se analizó un extendido de cada lesión (coloración de Gram). Se obtuvo material de las lesiones por cepillado que fue cultivado 24-48 hs a 37°C para el aislamiento e identificación de levaduras (CHROMAgar®). Se aplicó el análisis de correspondencia para evaluar asociaciones entre las variables clínicas, micológicas y el tipo de lesión. **RESULTADOS:** En las lesiones estudiadas (n=48) se observó la presencia de levaduras y/o hifas en el 73% de los extendidos y se aisló Candida en un 52%. C.albicans representó el 77% de las cepas aisladas, mientras que C.tropicalis, el 23%. En CA se aisló sólo C.albicans (75% de los casos) mientras que en las lesiones potencialmente malignas se aisló C.albicans en un 40% de LP y en un 32,5% de LI y C.tropicalis en el 20% de LP y 23% de LI. Mediante el análisis de correspondencia se observaron asociaciones entre CA, C. albicans, presencia de hifas en el extendido y localización de lesión (lengua). En LP y LI se observó asociación entre presencia de levaduras en el extendido y localización de lesión (mucosa yugal) (inerencia acumulada 34,73%). **CONCLUSION:** Estos hallazgos, abordados desde un análisis multivariado, demuestran la importancia de controlar la sobreinfección por Candida en pacientes con lesiones potencialmente malignas y malignas de la cavidad bucal, considerando que se ha descrito recientemente en bibliografía que Candida spp puede contribuir al desarrollo y la progresión del LI, inducir a la displasia oral y a la transformación maligna de la LP.

Palabras Clave: lesiones potencialmente malignas y malignas, Candida spp, análisis multivariado.

# 179

PO1011

## EVALUACIÓN DE LA CONTAMINACIÓN DEL EQUIPO PANORÁMICO DURANTE LA TOMA RADIOGRÁFICA EN PACIENTES PERIODONTALES.

Vázquez DJ\*; Subirán BT; Bálsamo MF; Brusca MI, Rosa AC.  
Cátedra de Radiología-Cátedra de Microbiología FOUBA.

El procedimiento en el cual se lleva a cabo la toma de la radiografía panorámica puede permitir la transmisión de enfermedades infectocontagiosas en pacientes que presentan riesgo periodontal. **OBJETIVO:** Evaluar la contaminación del equipo panorámico producida durante la toma radiográfica con esta técnica, en pacientes periodontales y un grupo control. **MÉTODOS:** Se realizó el estudio con un total de 20 pacientes, Un grupo experimental un grupo control. Se realizó la descontaminación estricta con desinfectantes con nivel microbiológico en la superficie del equipo panorámico antes de ubicar al paciente en el mismo. Se ubicó una caja de Petri con agar BHI en una zona cercana al apoyo del paciente y se procedió a la toma. A posteriori se incubaron las cajas de Petri a 37 ° C durante 7 días y se procedió a la tipificación de *Enterococcus faecalis*, *Cándida spp*, *Staphylococcus aureus*. **RESULTADOS:** las muestras obtenidas presentaron una diferencia estadísticamente significativa en lo pacientes periodontales con respecto al grupo control en un promedio mayor a 300 UFC con predominio de *Cándida albicans*, *Staphylococcus aureus*, *Enterococcus faecalis*. **CONCLUSION:** El procedimiento en el cual se lleva a cabo la toma de la radiografía panorámica puede permitir la transmisión de enfermedades infectocontagiosas en pacientes que presentan riesgo periodontal, por lo tanto la desinfección del equipo debe ser obligatoria previo a cada toma con la técnica panorámica para evitar una posible infección cruzada.

Palabras Clave: Ortopantomografo- Enfermedad periodontal- Contaminación.

# 180

PO1011

## TERCEROS MOLARES EN RADIOGRAFIAS PANORAMICAS.

Ibero Nicolás \*, Ditter Emiliano, Aguirre Johana, Subirán Beatriz.  
Cátedra de Radiología - Facultad de Odontología - Universidad de Buenos Aires.

**OBJETIVO:** El objetivo de este trabajo fue diagnosticar terceros molares en radiografías panorámicas. Número, posición y su relación con el conducto dentario inferior (CDI) en el caso de los molares inferiores. **MÉTODOS:** Un equipo calibrado para tal fin , observó en un negatoscopio de luz regulable 100 radiografías panorámicas derivadas por distintos profesionales , cuyo diagnóstico presuntivo involucraba a los terceros molares. .Se incluyeron solo pacientes de 18 a 30 años de edad .Los parámetros a tener en cuenta fueron los siguientes: AUSENTES-RETENIDOS-EN VIAS DE ERUPCION Y ERUPCIONADOS .Posición: Normo, mesio o distovercion .Relación con la cortical del CDI o superpuesto con el mismo. **RESULTADOS:** La edad promedio fue de 25,75 y hubo una marcada prevalencia del sexo femenino. Se informaron los terceros molares de la siguiente manera: Ausentes 79 - Retenidos 99 - En vías de erupción 114 y erupcionados 108. De los 99 retenidos 48 pertenecían al maxilar Superior y 51 al inferior. En distovercion 23 superiores y 7 inferiores, en mesioversion 17 y 41 respectivamente .Solo 7 en normovercion. De todos los molares inferiores estudiados el 75% tenían relación con el CDI.Tuvimos también 4 terceros molares retenidos por otras patologías o anomalías asociadas (2 odontomas,un supernumerario y una microdoncia). **CONCLUSION:** En la práctica se solicita como rutina una radiografía panorámica para el diagnóstico de terceros molares. En la radiografía panorámica , el rayo central tiene una angulación aproximada de 10º negativos, lo que explica la relación con el CDI. Estos resultados ameritaron un segundo trabajo con el auxilio de Tomografía Computada.

Palabras Clave: Terceros molares - Conducto dentario - Radiografía panorámica.

# 181

PO1013

## TERCEROS MOLARES INFERIORES RETENIDOS. ESTUDIO COMPARATIVO DE SU RELACION CON EL CDI EN RADIOGRAFIAS PANORAMICAS Y TOMOGRAFIA COMPUTADA.

Lubieniecka E E, Ditter E.R\*, Ibero N.J, Estevez A .E, Subirán B. T.  
CATEDRA DE RADIOLOGIA-ENTIDAD PRIVADA.

**OBJETIVO:** Comparar la relación existente entre los terceros molares inferiores y el conducto dentario inferior (CDI), utilizando radiografías panorámicas (Rx.P) y un programa dental (Dent-Scan) de tomografía computada (DS). **MÉTODOS:**El trabajo incluyó 60 pacientes y 90 terceros molares inferiores retenidos, derivados por cirujanos buco-maxilo-faciales para realizar estudios previos a la extracción de los mismos. En todos los casos se realizó una Rx.P y un DS. A partir de cortes axiales se reconstruyeron con el DS imágenes panorámicas, para-axiales y en algunos casos reconstrucciones 3D. En la Rx.P se estableció la relación entre los ápices y el CDI en: A distancia (D) , en contacto (C) y dentro (A). Luego con el DS se observó la verdadera ubicación en el plano buco-lingual. **RESULTADOS:** Del total de piezas dentarias 44 fueron izquierdas (49,88%) y 46 derechas (51,11%). En la Rx.P 4 casos se encontraron a D del CDI. En el DS, 3 casos se mantuvieron en la misma posición y 1 estaba en C. 23 casos en la Rx.P estaban en C con el techo del CDI y en el DS, 20 en iguales condiciones , 2 a D y 1 dentro del CDI. 63 molares según la Rx.P se observaban A del CDI. En el DS en ningún caso se comprobó dicha relación. 10 estaban a D y el resto (53) en C. **CONCLUSION:** La Rx.P no es suficientemente confiable para el estudio de la relación entre el CDI y los ápices de los terceros molares. Las imágenes tomográficas permiten conocer la verdadera relación entre los terceros molares y el CDI. El aporte de este estudio es advertir respecto del daño neurovascular que puede ocasionarse al utilizar estudios poco confiables. En la Rx.P la mayoría de los ápices de los terceros molares (70%) parecen estar dentro del CDI. En este trabajo la presencia de los ápices de los terceros molares dentro del CDI no fue significativa (1,11%).

Palabras Clave: Panorámica-Tomografía-Dent-Scan.

# 182

PO1014

## ESTUDIO HISTOMORFOMÉTRICO DE LA ARQUITECTURA ÓSEA EN RATAS CON DIABETES EXPERIMENTAL.

G.E Pulitano Manisagian\*, M.E Villarino, R.C De Lucca, A.M Ubios.  
Cátedra de Histología y Embriología-Facultad de Odontología-Universidad de Buenos Aires.

Entre las complicaciones a largo plazo encontradas en pacientes diabéticos es común observar una alteración en el metabolismo óseo. En estudios previos, hemos comprobado que la osificación endocondral y la remodelación ósea son afectadas por la diabetes aguda. No se conocen estudios comparativos entre las alteraciones del tejido óseo inducidas por la diabetes a corto y a largo plazo. Por lo tanto, el objetivo del presente trabajo fue realizar un estudio histomorfométrico comparativo de la microarquitectura ósea en tibias de ratas a una y seis semanas de la inducción de diabetes en una zona subcondral predeterminada. Para ello se utilizaron 34 ratas Wistar macho que fueron divididas en 5 grupos: I) control, II) diabetes experimental aguda (DBT Ag), III) diabetes experimental aguda tratada con insulina (DBT Ag+INS), IV), diabetes experimental crónica (DBT Cr), y V) diabetes experimental crónica tratada con insulina (DBT Cr+INS). La diabetes se indujo con una única inyección i.p. de 60 mg/kg de estreptozotocina en los grupos II, III, IV y V; Los animales del grupo I recibieron un volumen equivalente del vehículo. A las 24 hs de la inyección se constató la glucemia en forma cuantitativa. En los grupos III y V se administró insulina NPH. Al sacrificio se obtuvieron las tibias, que fueron procesadas para su estudio histológico obteniéndose cortes longitudinales frontales que fueron coloreados con hematoxilina y eosina, fotografiados y evaluados histomorfométricamente. En los animales del grupo II y IV se detectó una disminución del volumen óseo, superficie ósea y número trabecular siendo esta diferencia estadísticamente significativa respecto a los controles en los animales del grupo IV. El tratamiento con insulina en los grupos III y V mostró valores semejantes a los animales controles. No se observaron diferencias estadísticamente significativas del número de trabéculas, grosor trabecular y la distancia intertrabecular en ninguno de los grupos estudiados. Los resultados de este trabajo muestran que las alteraciones de la microarquitectura ósea que se hacen manifiestas tempranamente en ratas diabéticas, se acentúan significativamente a largo plazo. Subsidio: UBACyT O013.

Palabras Clave: diabetes, insulina, tibia, microarquitectura ósea.

# 183

PO1015

## ESTUDIO DE LA CICATRIZACIÓN PATOLÓGICA DE FRACTURAS OSEAS EXPERIMENTALES.

<sup>1</sup>Leccese MP\*, <sup>1</sup>Rospide MA, <sup>2</sup>Abate CM, <sup>1,2</sup>Missana LR.  
<sup>1</sup>Cátedra Anatomía y Fisiología Patológicas. Laboratorio de Patología Experimental Bucal. CONICET -FOUNT. <sup>2</sup>Planta Piloto de Procesos Industriales Microbiológicos. PROIMI-CONICET. Tucumán. Argentina.

Los modelos experimentales utilizados en el área de patología ósea deben ser entre otras cosas, precisos, reproducibles y permitir distinguir las variables que pueden afectar el proceso de cicatrización. Los modelos de osteotomía de unión demorada (OUD) y osteotomía de no unión (ONU) constituyen modelos animales especiales para estudiar la fractura ósea. **OBJETIVO:** El objetivo del presente estudio fue comparar el proceso de cicatrización de la fractura ósea en huesos largos utilizando los modelos animales de ONU y OUD. **MÉTODOS:** Se utilizaron 14 ratas *Wistar* de  $200 \pm 50$  gr. de peso, que recibieron: Grupo A) OUD defectos longitudinales de 10x3x3 mm y Grupo B) ONU defectos transversales en todo su espesor, ambos en tibia. Los animales fueron sacrificados a la 1<sup>o</sup> y 6<sup>o</sup> semana (s) post-quirúrgica. Se realizaron estudios histológicos. **RESULTADOS:** Grupo A (OUD) se evidenció cicatrización patológica de la fractura ósea en todos los casos. A la 1<sup>o</sup> s: todas las muestras presentaron un exudado inflamatorio, restos óseos necróticos, miositis. A la 6<sup>o</sup> s: el 75% presentó Seudoartrosis Falsa (SF) y el 25% restante Seudoartrosis Verdadera (SV). El Grupo B) presentó cicatrización patológica de la fractura ósea en todas las muestras. A la 1<sup>o</sup> s: se observó SF, SV y Seudoartrosis Combinada (SC) en iguales proporciones. A la 6<sup>o</sup> s: demostró SV en todos los casos. **CONCLUSION:** A partir de los resultados obtenidos, podemos concluir que la ausencia de inmovilización en ambos modelos, condicionó el tipo de reparación, observándose cuatro situaciones diferentes: inflamación, SV, SF y SC. El modelo ONU resulta más adecuado para estudiar condiciones fisiopatológicas durante la cicatrización de fracturas óseas, debido a la ausencia del componente inflamatorio. Subsidiado por CIUNT.

Palabras Clave: seudoartrosis, fractura ósea, modelos experimentales.

# 184

PO1016

## HIPERPLÁSICAS BUCALES, MANIFESTACIONES CLÍNICAS ESTOMATOLÓGICAS.

VERDÚ, SD\*; NALLI, GA; SCOLA, MJ; TOLCHINSKY, M; LANFRANCHI, H.  
Cátedra de Clínica Estomatológica. Facultad de Odontología. Universidad de Buenos Aires.

Las hiperplasias inflamatorias incluyen una gran variedad de crecimientos tumorales de la mucosa bucal. El aspecto histológico se refleja en la amplia gama de características clínicas que muestran estas lesiones y en los nombres clínicos que han adquirido, muchos de ellos sugieren un origen o evolución específico; dentro de estas entidades se encuentra el granuloma reparador de células gigantes o granuloma periférico de células gigantes. **OBJETIVO:** relacionar las manifestaciones clínicas entre todas las lesiones hiperplásicas benignas y compararlas con el granuloma gigantocelular periférico. **MÉTODOS:** Se realizó un trabajo retrospectivo seleccionando pacientes que concurren al Servicio de Estomatología de la Cátedra de Clínica Estomatológica durante los años 1995 al 2008. Se incluyeron un total de 340 pacientes. La edad promedio fue de 52 años con una mediana de 53. Los datos clínicos recopilados son: tiempo de evolución, tamaño, localización y relación con una causa probable. **RESULTADOS:** Observamos que la mayor localización del granuloma gigantocelular corresponde a la encía dentada, pero no fue significativa la relación entre encía dentada y desdentada, mientras que para las hiperplasias fue significativo para la encía dentada. Se observó que el tiempo de evolución al momento de la consulta, fue menor para el granuloma gigantocelular periférico de 1 a 6 meses, mientras que para las lesiones hiperplásicas fue de 1 a 2 años. En cuanto al tamaño en el granuloma gigantocelular fue de 1 a 1.5 cm, mientras que en las lesiones hiperplásicas fue de 0.5 a 1 cm. **CONCLUSION:** El granuloma gigantocelular periférico se presenta al momento de la consulta con un tamaño mayor que las hiperplasias y los pacientes concurren antes, probablemente debido al crecimiento rápido de ésta entidad.

Palabras Clave: tumor benigno, hiperplasia, granuloma gigantocelular.

# 185

PO1017

## EVALUACIÓN MULTIVARIADA DE LA RELACIÓN ENTRE LESIONES POTENCIALMENTE MALIGNAS Y MALIGNAS Y PRESENCIA DE CANDIDA SPP.

Gilligan G\*, Secchi D, Panico R, Calamari S, Barembaum S, Scatena G, Castillo G, Azcurra A, Brunotto M. Cátedras de Química Biológica "B", Biología Celular "A" y Clínica Estomatológica "A", Facultad de Odontología, Universidad Nacional de Córdoba.

La sobreinfección por *Candida* en lesiones potencialmente malignas y malignas ha sido asociada como factor de riesgo; sin embargo no existen estudios contundentes al respecto. **OBJETIVO:** Evaluar, desde un contexto multivariado, la relación entre lesiones potencialmente malignas y malignas y presencia de *Candida* en pacientes adultos. **MÉTODOS:** Estudio transversal en pacientes adultos (n=39; 20 a 85 años) que concurren a la Cátedra de Clínica Estomatológica "A", Fac. Odontología, UNC. Los datos se recolectaron mediante historia clínica, examen clínico, diagnóstico presuntivo, luego confirmado por anatomía patológica -cáncer (CA), leucoplasia (LP) o líquen (LI)-. Se analizó un extendido de cada lesión (coloración de Gram). Se obtuvo material de las lesiones por cepillado que fue cultivado 24-48 hs a 37°C para el aislamiento e identificación de levaduras (CHROMAgar®). Se aplicó el análisis de correspondencia para evaluar asociaciones entre las variables clínicas, micológicas y el tipo de lesión. **RESULTADOS:** En las lesiones estudiadas (n=48) se observó la presencia de levaduras y/o hifas en el 73% de los extendidos y se aisló *Candida* en un 52%. *C.albicans* representó el 77% de las cepas aisladas, mientras que *C.tropicalis*, el 23%. En CA se aisló sólo *C.albicans* (75% de los casos) mientras que en las lesiones potencialmente malignas se aisló *C.albicans* en un 40% de LP y en un 32,5% de LI y *C.tropicalis* en el 20% de LP y 23% de LI. Mediante el análisis de correspondencia se observaron asociaciones entre CA, *C. albicans*, presencia de hifas en el extendido y localización de lesión (lengua). En LP y LI se observó asociación entre presencia de levaduras en el extendido y localización de lesión (mucosa yugal) (inercia acumulada 34,73%). **CONCLUSION:** Estos hallazgos, abordados desde un análisis multivariado, demuestran la importancia de controlar la sobreinfección por *Candida* en pacientes con lesiones potencialmente malignas y malignas de la cavidad bucal, considerando que se ha descrito recientemente en bibliografía que *Candida spp* puede contribuir al desarrollo y la progresión del LI, inducir a la displasia oral y a la transformación maligna de la LP. Palabras Clave: lesiones potencialmente malignas y malignas, *Candida spp*, análisis multivariado.

# 186

PO1018

## COMPARACIÓN ENTRE DOS MÉTODOS DE MEDICIÓN SOBRE IMÁGENES RADIOGRÁFICAS SISTEMATIZADAS EN ZONA DE GÉRMINES DE CANINOS SUPERIORES.

Wuscovi LF, Aragón HN\*, Gordillo ME, López ME. Cátedra de Radiología. Sala de Rayos X. Cátedra de Química Biológica. Facultad de Odontología UNT.

El estudio del desarrollo del germen del canino superior en forma sistematizada, permite realizar mediciones de variables tales como ángulos y distancias. Estos valores son seleccionados porque no son modificados por factores como la variación de la dirección del rayo central y la posición de la película. En un trabajo previo (Acta Odontol. Latinoam. 2009;22: 33-39) presentamos un método digital de medición de estas variables en imágenes radiográficas. **OBJETIVO:** Comparar la confiabilidad de dos métodos, uno convencional y otro digital, de mediciones de ángulos y distancias de gérmenes de caninos superiores de pacientes niños, sobre imágenes radiográficas sistematizadas. **MÉTODOS:** Se utilizaron 43 estudios radiográficos sistematizados en niños de 6 a 11 años de ambos sexos. Se midieron distancia de cúspide de canino a sutura intermaxilar en milímetros y el ángulo externo formado por el eje mayor del canino superior y el plano que corta la sutura intermaxilar en forma perpendicular, en grados. Estos estudios fueron medidos: 1) en forma directa sobre negatoscopio con regla de Ortodoncia 2) Con método digital, con el programa Image Tool para Windows, luego de escanear los estudios radiográficos (escáner Genius). Los datos fueron analizados con el programa estadístico SPSS. **RESULTADOS:** La media de la variable distancia con el método convencional fue  $X \pm ES = 15.31 \pm 0.41$ , en tanto que con el método digital fue  $X \pm ES = 15.66 \pm 0.37$ . Con respecto a la media de la variable ángulo con el método convencional fue  $X \pm ES = 92.70 \pm 1.56$ , mientras que con el método digital fue  $X \pm ES = 88.96 \pm 1.44$ . El análisis comparativo entre los datos de los métodos convencional y digital con el test T pareado de la variable distancia no mostró diferencias estadísticamente significativas ( $p > 0,05$ ), mientras que el análisis de la variable ángulo mostró diferencias significativas ( $p < 0,05$ ) entre ambos métodos. **CONCLUSION:** Las mediciones de la variable distancia serían confiables tanto por el método convencional como por el digital, mientras que la variable ángulo debe ser determinada por el método digital. Trabajo parcialmente subsidiado por CIUNT. Palabras Clave: canino superior, mediciones radiográficas, desarrollo dental.

# 187

PO1019

## ESTADO BUCAL Y PREVALENCIA DE PATOLOGIAS ESTOMATOLOGICAS EN PACIENTES HIV SEGÚN EDAD, SEXO, C.V Y CD4.

Allende A.\*,Nazer P., Dutra Gontijo de Moura M., Zapata M., Sanchez Zurlo D.; Femopase F.,Hernandez S. Catedra de Estomatologia Facultad de Odontologia U.N.C.

**OBJETIVO:** El objetivo del presente trabajo fue estudiar el estado bucal y la prevalencia de patologías estomatológicas en pacientes inmunocomprometidos por HIV en relación a la edad, sexo, recuento de CD4 y Carga Viral (C.V.). **MÉTODOS:** se examinaron 95 pacientes durante el periodo agosto 2007- agosto 2009. A cada paciente se le confeccionó una historia clínica consignando sexo, edad, recuento de CD4, C.V. y patología estomatológica; como así también datos referidos al estado bucodental. Se correlacionaron las lesiones estomatológicas con respecto al Recuento de: > de 200 CD4, < de 200 CD4 y con respecto a: la carga viral (CV), >de 100000 copias, < de 100000 copias. Las patologías estomatológicas se clasificaron en Micóticas, Bacterianas, Virósicas, Tumorales, otras y sin lesión. **RESULTADOS:** 67 pacientes fueron de sexo masculino, el rango etario fue de 17 a 72 años y la edad promedio de 35 años. Al analizar la prevalencia según sexo se observó que en ambos sexos las lesiones más frecuentes fueron las micóticas (M: 48.5%, F: 44.74%), dentro de éstas, la más frecuente la Candidiasis Crónica Eritematosa (CCE), seguida de la pseudomembranosa. Al evaluar las patologías bacterianas la mas observada fue el Eritema Gingival Lineal (EGL) (M:40.54%, F:53.33%). Dentro de las patologías virósicas las provocadas por el virus del Epstein Barr (EBV) (M:65.22%, F:40%) fueron las mas frecuentes. La mayoría de las lesiones, en ambos sexos, se presentaban en la cuarta y tercer década. Solo el 9.47% de los pacientes no presentaron lesiones. Los pacientes con valores de CD4 bajo < 200 (68,42%) y CV > 100.000 copias (33,68%), presentaron mas lesiones que aquellos con Cd4 >200 (31,58%) y CV < a 100000 (66,32%). **CONCLUSION:** La frecuencia de lesiones estomatológicas en éstos pacientes estaría en relación, por un lado, al grado de compromiso inmunológico, y por otro a la carga viral.

Palabras Clave: lesion estomatologica, HIV.

# 188

PO1020

## PREVALENCIA DE LESIONES ESTOMATOLÓGICAS 5324 PACIENTES DE UN SERVICIO (ENERO 1995- ENERO 2001).

Robledo G, Blanc F\*, Caciva R, Bachmeier E, Morelatto R, Criscuolo I, Belardinelli P, Liandro F, Bolesina N, López de Blanc S. Clínica Estomatológica B. Facultad de Odontología UNC.

El conocimiento de datos de prevalencia es indispensable para la planificar los servicios de salud, con escasas excepciones la literatura carece de datos en la población en Argentina. **OBJETIVO:** estudiar la prevalencia de lesiones en nuestro servicio desde enero de 1995 a enero de 2001. **MÉTODOS:** se analizaron en forma retrospectiva 5324 historias clínicas de pacientes examinados por docentes calibrados durante el período estudiado. El 62% fueron de sexo femenino. Se clasificaron las patologías en potencialmente malignas, infecciosas, inmunológicas y tumorales. Se estudió la distribución de las patologías según sexo, edad, localización, antecedentes heredo-familiares, afecciones sistémicas, hábito de fumar, consumo de alcohol y hábitos traumatizantes. **RESULTADOS:** Las patologías más frecuentes fueron las lesiones potencialmente malignas (PM) 36%, seguidas de las infecciosas (I) 21% y de un 16% de las tumorales (T). Las PM más frecuentes fueron las queilitis en un 39%, seguidas por la leucoplasia 26% y el liquen plano bucal en un 13%. Las infecciosas más frecuentes las candidiasis y las lesiones tumorales predominantes fueron las hiperplasias simples (55%), correspondiendo sólo el 5% a neoplasias malignas. Se mostrará la distribución de frecuencia de las patología por sexo y edad y la relación con los factores generales y locales. **CONCLUSION:** Si bien los presentes resultados nos permiten organizar nuestro servicio, haciendo especial énfasis en el diagnostico, tratamiento y seguimiento de enfermedades potencialmente malignas seria importante comparar los resultados con la prevalencia de lesiones y factores en la población de Córdoba, para poder aplicar medidas preventivas adecuadas a la realidad de nuestra provincia.

Palabras Clave: Prevalencia de lesiones, patologia potencialmente maligna.

# 189

PO1021

**PREVALENCIA DE FACTORES HEREDITARIOS, PERSONALES Y BUCALES EN 8153 PACIENTES DE UN SERVICIO (ENERO 1995-DICIEMBRE2004).** Robledo G, Caciva R\*, Bachmeier E, Críscuolo I, Sanchez Zurlo D, Morelatto R, López de Blanc S. Facultad de Odontología. Universidad Nacional de Córdoba.

El conocimiento de datos de prevalencia es indispensable para planificar los servicios de salud; en la literatura hay escasos datos referidos a la población de Argentina. **OBJETIVO:** estudiar la prevalencia de factores hereditarios, personales y locales en pacientes con lesiones estomatológicas. **MÉTODOS:** se analizaron en forma retrospectiva 8153 historias clínicas de pacientes examinados por docentes calibrados durante el período estudiado. Se analizaron los factores generales como diabetes, hipertensión, hepatitis, estrés y otros, y factores bucales como portador de prótesis, patologías infecciosas, tumorales, etc. **RESULTADOS:** Los antecedentes heredo-familiares fueron la diabetes y el cáncer (15 y 14% de los pacientes); entre los antecedentes personales más importantes estuvieron el estrés y la hipertensión en el 26% y el 17% de los pacientes respectivamente. Respecto al consumo de tabaco el 49% fumaba y sólo el 26% de los pacientes eran entre mediano y grandes consumidores. Respecto al hábito de beber alcohol el 25% relató ser bebedor ocasional, el 4% bebedor social y sólo el 7% relató consumir alcohol en exceso. El 42% de los pacientes usaba prótesis removible, siendo la más usada la de acrílico superior en el 36% de los casos; en el 27% de los casos se registró trauma dentario y/o protético y en el 44% de los casos se registraron hábitos traumatizantes. Al considerar los datos de consumo de tabaco y alcohol publicados por el INDEC, se observa el 31% de la población de Córdoba es fumadora y el 43% consume alcohol en exceso. **CONCLUSION:** La comparación con los datos del INDEC (49 % vs 31%) indica claramente que el fumar en exceso predispone a lesiones estomatológicas; por otro lado se debe trabajar para evitar el subregistro en el consumo de alcohol de nuestros pacientes ya que los datos de consumo, según el INDEC, en la población superan los de nuestros registros y es un hecho conocido que el alcohol es un factor de riesgo en especial para el cáncer bucal.

Palabras Clave: lesión estomatológica, factores, hábitos.

# 190

PO1022

**ESTIMACIÓN DE LA EDAD CRONOLÓGICA EN NIÑOS TRATADOS CON HORMONA DE CRECIMIENTO.**

Auad D, Avellaneda R, Bazán MC, Aragón HN\*, Singh F, López ME, Gordillo ME. Facultad de Odontología, UNT. Hospital del Niño Jesús. San Miguel de Tucumán.

Estudios sobre la erupción y madurez dentaria indican que ambos aspectos pueden estar relacionados con los niveles de la hormona de crecimiento (GH). No obstante, sigue estando bajo debate si el déficit de GH influye directamente sobre el desarrollo y la erupción dentarios. **OBJETIVO:** Analizar la precisión del método de Haavikko en la determinación de la edad cronológica a través de la calcificación dental de los distintos grupos dentarios, en niños tratados con GH. **MÉTODOS:** La muestra seleccionada correspondió a 14 niños ambos sexos con retardo de crecimiento y bajo tratamiento con GH, con edad media de  $11 \pm 2,2$  años. Se confeccionaron historias clínicas ad-hoc para cada paciente. Se tomaron radiografías panorámicas digitales (Panoramic X-Ray System Vatech, Korea). Las imágenes fueron digitalizadas con scanner (Genius) de resolución 600 dpi y a partir de ellas se calculó la edad dental según el método de Haavikko para cada grupo dentario (incisivos centrales y laterales, caninos, primeros y segundos premolares, primeros y segundos molares) de ambos maxilares. La variable edad cronológica fue obtenida entre la fecha de nacimiento y la fecha del estudio. El análisis de edad dental en relación a la edad cronológica fue realizado con el test T pareado, previo análisis de la distribución de normalidad de las variables. **RESULTADOS:** El análisis de la edades dental y cronológica mostró diferencias altamente significativas en todos los grupos dentarios del maxilar superior ( $p < 0,05$ ). Lo mismo ocurrió en el maxilar inferior, excepto en el primer premolar que no mostró diferencias significativas entre ambas variables ( $p > 0,05$ ). **CONCLUSION:** En los grupos dentarios analizados se encontró una subestimación estadística de la edad cronológica de niños con retardo de crecimiento y bajo tratamiento con hormona de crecimiento, excepto en el primer premolar inferior en el cual la estimación de la edad cronológica fue más exacta. Trabajo parcialmente subsidiado por CIUNT.

Palabras Clave: hormona de crecimiento, diagnóstico radiográfico, estimación de la edad.



# 191

PO1023

**PREDICCIÓN DE LA EDAD CRONOLÓGICA A PARTIR DE VARIABLES DENTARIAS.**  
Avellaneda R<sup>1</sup>, Singh F<sup>2</sup>, Ibañez R<sup>1</sup>, Fernandez P<sup>1</sup>, Ibañez H<sup>1</sup>, Aragón HN<sup>\*3</sup>, López, ME<sup>2</sup>.  
<sup>1</sup>Cátedra de Odontopediatría, <sup>2</sup>Cátedra de Química Biológica, <sup>3</sup>Sala de Rayos X. Facultad de Odontología, Universidad Nacional de Tucumán. Av. Benjamín Aráoz 800. CP.4000. S. M. Tucumán.

La edad dental puede utilizarse para estimar la edad biológica de un individuo. Para ello se han desarrollado métodos basados en los estadíos de calcificación de dientes permanentes. **OBJETIVO:** Predecir la edad cronológica a través del peso, talla y grado de calcificación de incisivos superiores y molares inferiores por el método de Haavikko. **MÉTODOS:** Se seleccionaron al azar 150 fichas de niños, ambos sexos, entre 4 y 8 años. Se estudió la edad dental según el método de Haavikko a partir de radiografías retroalveolares y se determinó el grado de calcificación de incisivos superiores y molares inferiores. La edad cronológica fue calculada entre las fechas de nacimiento y del estudio. Peso y talla se midieron con instrumental y técnicas estandarizadas. Las variables dependiente (edad cronológica) e independientes (peso, talla, edad dental) fueron analizadas con el test de regresión lineal y la exactitud del método de Haavikko, con el test T pareado. Se usó el paquete estadístico SPSS. **RESULTADOS:** En niñas el coeficiente de regresión entre edad cronológica, talla y peso para incisivos fue bajo ( $p < 0,05$ ). Para el molar inferior izquierdo (36), entre edad dental y talla fue  $R^2 = 0,51$ , mientras que entre edades dental y cronológica en incisivos superiores y molar inferior derecho (46) hubo diferencias significativas ( $p < 0,05$ ), no así para el molar inferior izquierdo. En niños el coeficiente de regresión entre edad cronológica, talla y peso para el incisivo central izquierdo (21) y molares fue bajo ( $p < 0,05$ ). Para el incisivo superior derecho (11) entre edad dental y peso fue  $R^2 = 0,40$ , mientras que entre edades dental y cronológica en el incisivo (11) y molares no hubo diferencias significativas ( $p > 0,05$ ), aunque se encontraron diferencias con el incisivo central izquierdo (21). **CONCLUSION:** Hubo una alta asociación en el valor predictivo, edad dental y talla en niñas, para el primer molar inferior izquierdo y en niños para el incisivo central superior derecho. La mayor exactitud del método Haavikko se dio para el primer molar inferior izquierdo en niñas, mientras que en niños fue mayor en el incisivo central derecho y en molares inferiores. Trabajo parcialmente subsidiado por CIUNT

Palabras Clave: Haavikko, edad dental, edad cronológica.

# 192

PO3001

**ASENTAMIENTO DE MASTOCITOS EN TEJIDOS CONECTIVOS LINGUALES DE RATAS RECIENTE NACIDAS.**

Zavala Walter\*, Foscolo Mabel, Davila Juana. Cavicchia Juan Carlos.  
Facultad Odontología, Universidad nacional de Cuyo. Mendoza.

**OBJETIVO:** describir la morfología de los mastocitos en ratas recién nacidas y establecer su momento de asentamiento en los tejidos linguales. **MÉTODOS:** se utilizaron muestras de tejidos linguales provenientes de ratas Wistar, tomadas desde el primer día de nacimiento y en forma consecutiva hasta el día 14. Las muestras fueron incluidas en parafina. Los cortes seriados de 5 micras fueron teñidos con Azul de Toluidina y Azul alcian-Safranina para determinar la presencia de mastocitos. Las muestras fueron observadas, fotografiadas y procesadas determinando su distribución/mm<sup>2</sup> y características morfológicas en forma comparativa durante la primera y segunda semana posterior al nacimiento. **RESULTADOS:** se detectaron mastocitos desde el primer día de vida posnatal, pero con importantes modificaciones en la morfología y en la distribución por mm<sup>2</sup> al comparar los mastocitos de las muestras provenientes lengua de rata de la primera semana con los de la segunda semana de nacida. **CONCLUSION:** los datos en conjunto sugieren una pronta adaptación de los mastocitos a su nuevo asentamiento y una distribución estratégica de los mismos, lo cual les permitiría responder rápidamente a los antígenos que ingresan a la cavidad oral.

Palabras Clave: mastocitos-lengua.

# 193

PO3002

## EFFECTO DE DISTINTOS SISTEMAS ADHESIVOS DENTALES SOBRE LA VIABILIDAD DE FIBROBLASTOS GINGIVALES HUMANOS.

RODRIGUEZ M.A.<sup>1</sup>, RODRIGUEZ I.A.<sup>1</sup>, NIETO-SERRATO R<sup>3</sup>, ALAMINOS MIGNORANCE M<sup>3</sup>, CAMPOS A<sup>3</sup>, URIBE ECHEVARRIA J<sup>2</sup>, FERRARIS M.E<sup>1</sup>.

Cát. Histología "B"<sup>1</sup> y Cát. A Operatoria Dental I<sup>2</sup>, Facultad Odontología, U.N.C. Argentina. Dep. Histología, Facultad Odontología y Medicina, Universidad de Granada, España<sup>3</sup>.

**OBJETIVO:** El objetivo del presente trabajo fue evaluar la viabilidad de fibroblastos gingivales humanos en contacto con distintos sistemas adhesivos dentales mediante la utilización del método de cuantificación de LDH libre y de un análisis morfológico. **MÉTODOS:** Se utilizaron fibroblastos gingivales humanos cultivados en placas de 24 pocillos a una concentración de 20000 células/500 $\mu$ l de medio de cultivo DMEM con 10% FBS y antibióticos. Los materiales evaluados fueron: Adper SE Plus (ADSE) (3M-ESPE), Adper Single Bond (SB) (3M-ESPE), Futurabond M (VM) (VOCO), Futurabond NR (VNR) (VOCO), One Coat (OC) (COLTENE). En cada pocillo, sobre insertos de membrana se colocaron 10 $\mu$ l cada sistema adhesivo y se fotopolimerizaron siguiendo las indicaciones del fabricante. A las 24 horas se realizó la cuantificación de la liberación de la enzima lactato deshidrogenada (LDH) que se determinó tomando 100 $\mu$ l del sobrenadante de medio de cultivo y 100 $\mu$ l de una solución Kit de citotoxicidad (Roche). El análisis se llevo a cabo en un lector de placas ELX-800 (Biotek). Para el análisis morfológico las células adheridas en los pocillos fueron fijadas con alcohol 96% y sometidas a un proceso de tinción de H/E. Las células controles no recibieron tratamiento. **RESULTADOS:** Al evaluar LDH los valores fueron para: ADSE 42,1%, SB 46,5%, VM 4,1%, VNR 24,6%, OC 39,6%. A nivel morfológico las células en contacto con los distintos materiales usados en la experiencia mostraron alteraciones caracterizadas por células que toman formas esféricas y que presentan ruptura de sus membranas plasmáticas. **CONCLUSION:** Los hallazgos permiten concluir que los distintos sistemas adhesivos dentales utilizados generarían alteraciones irreversibles de la viabilidad celular en los fibroblastos gingivales humanos por la ruptura de sus membranas plasmáticas.

Palabras Clave: Sistemas adhesivos dentales, fibroblastos gingivales humanos, citotoxicidad.

# 194

PO3003

## ESTUDIO CITOLÓGICO DE LA MUCOSA BUCAL EN PACIENTES CIRRÓTICOS

ALCOHÓLICOS Y DIABÉTICOS TIPO II. Rodríguez I.A.<sup>1</sup>; Pérez Bacete M.<sup>2</sup>; Sancho-Tello M.<sup>2</sup>; Grunberg K.<sup>1</sup>; Montoliu C.<sup>2</sup>; Mosquera N.<sup>3</sup>; Ruiz-Sauri A.<sup>2</sup>; Armengot M.<sup>2,3</sup>; Carmen Carda<sup>2</sup>; Gómez de Ferraris ME<sup>1</sup>.

Facultad de Odontología, UNC (Argentina)<sup>1</sup>-Facultad de Medicina y Odontología, Universidad de Valencia (España)<sup>2</sup> - Hospital General Universitario de Valencia (España)<sup>3</sup>.

La diabetes tipo 2 y el consumo crónico de alcohol son factores etiológicos de sialosis. Esta patología provoca cambios tanto en la estructura del parénquima glandular como en su función; la hiposalivación resultante trae aparejado alteraciones tanto a nivel de los tejidos duros dentarios como de la mucosa bucal. **OBJETIVO:** En este trabajo nos planteamos analizar posibles cambios del epitelio de la mucosa bucal mediante citología exfoliativa en pacientes cirróticos y diabéticos tipo II. **MÉTODOS:** Se estudiaron las muestras citológicas obtenidas de la porción lateral de la lengua con citobrush. Los grupos experimentales fueron los siguientes: A- diabetes tipo II (14 pacientes), B- diabéticos tipo II con cirrosis alcohólica (11 pacientes), C- cirróticos puros (19 pacientes) y D- sin estos antecedentes (controles) 21 pacientes. Las muestras obtenidas fueron extendidas en portaobjetos, fijadas con citofix spray y coloreadas con el método de Papanicolau. Para determinar el índice eosinófilo (IE) de cada preparado se obtuvieron imágenes fotográficas a 100 aumentos de 10 campos aleatorios, con un fotomicroscopio Leica DM2500. Las imágenes fueron tratadas informáticamente con un programa de reconocimiento (Image Pro Plus). **RESULTADOS:** Los resultados del IE fueron los siguientes: A- 41%, B- 52,3%, C- 58,7%, D- 72,4%. En todas las muestras patológicas aumentó la basofilia de las células intermedias y en el grupo diabético predominó la anofilia citoplasmática. En los grupos patológicos (B y C) los extendidos mostraron abundante flora bacteriana y numerosos leucocitos polimorfonucleares. **CONCLUSION:** Todos los grupos presentaron diferencias estadísticamente significativas del IE con respecto al control ( $p=0,012$ ) y las características morfológicas observadas es similar al cuadro citológico de las inflamaciones inespecíficas. El análisis citológico aporta otros datos de interés para el diagnóstico diferencial de dichas enfermedades productoras de sialosis y con afectación indirecta en la mucosa bucal. Subsidio Secyt UNC Res 159/09.

Palabras Clave: Citología Bucal-Diabetes tipo II-Cirrosis.

# 195

PO3004

## CARACTERIZACIÓN HISTOLÓGICA DE FIBROBLASTOS PERIODONTALES SOMETIDOS A FUERZAS ORTODÓNCICAS.

GILI, M.A\*, AGUIRRE, M.V, ALMIRON, M.S, LATYN, K.

Facultad de Odontología. UNNE. Cátedra de Histología y Embriología General y Dentaria. Servicio de Ortodoncia. Laboratorio de Anatomía Patológica.

**OBJETIVO:** Describir las características del tejido conectivo periodontal y de los fibroblastos sometidos a fuerzas ortodóncicas mediante microscopía óptica con técnicas de coloración histológica convencionales (Hematoxilina-Eosina) y especiales (Tricrómica de Masson), como así también su caracterización con microscopía electrónica. Se pretende determinar la histomorfología de los fibroblastos periodontales tras la aplicación de una fuerza ortodóncica, como así también posibles modificaciones ultraestructurales que podrían sufrir en dicha situación, en comparación con fibroblastos de tejido periodontal de piezas dentarias no sometidas a dichas fuerzas. **MÉTODOS:** Descriptivo-analítico. Se obtuvieron muestras del tejido periodontal de pacientes sistémica y periodontalmente sanos en los cuales se requiere de exodoncia de las piezas dentarias que fueron previamente sometidas a fuerzas ortodóncicas. Los pacientes concurren al Servicio de Ortodoncia de la Facultad de Odontología. Las fuerzas aplicadas son de tipo leve con arcos iniciales elásticos de Niti 0,12. El tiempo de aplicación de la fuerza varía entre 15 y 30 días aproximadamente. Las muestras de tejido fueron procesadas con Hematoxilina-Eosina. **RESULTADOS:** No se destacan importantes cambios morfológicos a nivel celular. Los fibroblastos se evidencian paralelos a los haces de fibras lo que hace suponer su intensa actividad remodeladora de fibras colágenas durante la aplicación del movimiento ortodóncico. Los núcleos mantienen su forma elíptica de localización central y grande. A nivel del tejido conectivo de variedad fibrosa se evidencian aislados focos de hemorragia como así también tejido conectivo laxo perivascular. **CONCLUSION:** Dado que las observaciones realizadas corresponden a la primer variable de análisis que es la coloración con H/E los resultados parciales obtenidos hasta el momento permiten suponer que durante el tiempo de aplicación de fuerzas ortodóncicas de entre 15 a 30 días no da lugar a cambios histomorfológicos importantes en el tejido periodontal aunque en etapas sucesivas la aplicación de técnicas de coloración específicas (Tricrómica de Masson), como así también la observación al Microscopio electrónico de barrido permitirían complementar estas observaciones y profundizar el análisis. Palabras Clave: fibroblastos periodontales, histomorfología, fuerzas ortodóncicas.

# 196

PO3005

## LA RESTRICCIÓN DIETARIA EN EL CRECIMIENTO MANDIBULAR Y DE HUESOS LARGOS.

Martín A\*, Pani M, Ruiz Holgado N, Lopez Miranda L, Rodriguez G, Garat J, Meheris H, Cát. Histología. Facultad de Odontología. UNT.

**OBJETIVO:** Analizar el mínimo grado de restricción dietaria capaz de causar alteraciones en el crecimiento de huesos largos y/o mandíbula. **MÉTODOS:** Se utilizaron ratas Sprague Dawley destetadas a los 21 días. Luego del destete, los animales fueron adaptados durante dos días a una dieta balanceada (DB) en pellets al término de los cuales fueron pesados y asignados a los siguientes 4 grupos: Control: alimentados ad libitum con DB (La cantidad de alimento consumido se registró diariamente). Experimentales 90, 80 y 75 : los animales recibieron el 90, 80 y 75% respectivamente de la cantidad de alimento que consumieron los animales controles el día anterior. Todos los animales fueron sacrificados a los 25 días de experiencia, se disecaron tibias y mandíbulas, se fijaron en formol al 10% y se removieron los tejidos blandos. Las mandíbulas se separaron a nivel de la línea media. A una hemimandíbula de cada animal se le realizaron marcas metálicas a nivel del agujero mentoniano y del agujero mandibular, posteriormente fueron radiografiadas. A partir de proyecciones de las radiografías se obtuvieron trazados sobre los que se realizó el estudio cefalométrico. Se determinaron los siguientes parámetros en todos los grupos (1) Longitud de las tibias en forma directa con un calibre de precisión. (2) Longitudes de diferentes parámetros cefalométricos sobre proyecciones de las radiografías. **RESULTADOS:** Los resultados indicaron que la longitud de las tibias fue significativamente menor en el grupo experimental 75 con respecto al grupo control. No se registraron diferencias significativas en los parámetros cefalométricos mandibulares del grupo control con respecto a ninguno de los experimentales. **CONCLUSION:** Estos resultados sugieren que la restricción dietaria impacta en forma distinta en el crecimiento mandibular y de huesos largos. Subsidiado por CIUNT.

Palabras Clave: Restricción dietaria-Hueso-Crecimiento y desarrollo.

# 197

PO3006

## EVALUACIÓN DEL EPITELIO BUCAL EN PACIENTES DIABÉTICOS TIPO II MEDIANTE CITOLOGÍA EXFOLIATIVA.

Escandriolo Nackauzi J\*; Flores V; Sanz A; Gómez de Ferraris ME; Arriaga A.  
Departamento de Biología Bucal, Facultad de Odontología, UNC.

La citología exfoliativa bucal ha sido revalorizada como examen complementario para el diagnóstico de diferentes patologías con incidencia en la región bucal, ya que es una técnica de fácil realización, no invasiva, que permite identificar en forma temprana cambios celulares en la mucosa clínicamente sana. La diabetes tipo II provoca, entre otras alteraciones, cambios en la cantidad y calidad de saliva que pueden causar modificaciones en la mucosa bucal. **OBJETIVO:** El presente trabajo tuvo el propósito de comprobar la utilidad del examen microscópico de rutina de preparados de citología exfoliativa, para detectar la presencia de alteraciones morfológicas en el epitelio bucal de pacientes diabéticos. **MÉTODOS:** Se analizaron preparados de citología exfoliativa de la porción lateral posterior de la lengua y de la mucosa yugal de 10 pacientes diabéticos y 6 pacientes controles, de edades entre 45 y 60 años. Las muestras tomadas con "cytobrush" se extendieron en portaobjetos, se fijaron con "citofix" spray y se colorearon con el método de Papanicolaou. Los preparados se observaron con microscopio óptico con objetivo de 40x y se calculó el índice eosinófilo en base a 100 células examinadas en 5 campos elegidos al azar en diferentes zonas del extendido, analizando además la proporción de células cariopícnóticas y registrando la presencia de diferentes tipos de alteraciones celulares. Se utilizó el programa estadístico "Infostat" para la comparación de los resultados. **RESULTADOS:** El índice eosinófilo fue significativamente menor en los pacientes diabéticos con respecto a los controles, tanto en mucosa lingual como yugal. La proporción de células cariopícnóticas fue baja, especialmente en los extendidos de mucosa yugal, y no registró diferencias significativas respecto al control. Figuras atípicas tales como células binucleadas y/o con micronúcleos se encontraron con mayor frecuencia en pacientes diabéticos. **CONCLUSION:** Se corroboró la utilidad de la técnica de la citología exfoliativa bucal de rutina, como auxiliar en el diagnóstico y en el control del tratamiento de la diabetes tipo II; se propone continuar esta línea de investigación para profundizar el estudio de las alteraciones en la mucosa bucal de pacientes diabéticos. Subsidio SECyT UNC res. 159/09  
Palabras Clave: Diabetes, Citología, Mucosa bucal.

# 198

PO3007

## AISLAMIENTO DE CÉLULAS MADRE HUMANAS ALTAMENTE VIABLES DE LA PULPA DENTAL PARA LA GENERACIÓN DE DENTINA ARTIFICIAL.

Nieto-Aguilar R<sup>2</sup>, Serrato D<sup>2</sup>, Rodríguez IA<sup>1</sup>, Garzón I<sup>2</sup>, Ferraris ME<sup>1</sup>, Sánchez-Quevedo MC<sup>2</sup>, Campos A<sup>2</sup>, Alaminos M<sup>2</sup>. Cat Histología "B", Fac Odon UNC (Arg)<sup>1</sup>, Dep Histología, Fac Odon y Med, Univ Granada (España)<sup>2</sup>.

Uno de los requisitos principales de las células madre para generar tejidos artificiales autólogos es poseer una alta viabilidad. En este contexto, las células madre de la pulpa dental (DPSCs) han demostrado ser pluripotentes y de forma más importante, las DPSCs pueden diferenciarse en células preodontoblásticas, las cuales podrían ser utilizadas en odontología restaurativa y conservadora. **OBJETIVO:** El objetivo de este trabajo fue aislar DPSCs de origen humano con alta viabilidad e inducirlos a células de tipo dentinario. **MÉTODOS:** Los cultivos primarios de las DPSCs humanas fueron obtenidos de pulpas dentales de terceros molares mediante odontosección y digestión enzimática. Luego, las DPSCs fueron cultivadas en frascos de cultivo tipo Falcon hasta el V pase. Posteriormente, se realizó un análisis de tinción por exclusión mediante azul trypan en todos los pases para evaluar la viabilidad de las células cultivadas. Finalmente, las células con la viabilidad más alta fueron inducidas a células de tipo dentinario con medio de cultivo dentinogénico y el proceso de diferenciación fue verificado por inmunofluorescencia con marcadores de tipo preodontoblástico. **RESULTADOS:** Nuestros resultados sugieren que las DPSCs humanas del tercer pase tienen el nivel más alto de la viabilidad, las cuales fueron inducidas con éxito a la estirpe odontoblástica. **CONCLUSION:** Las DPSCs humanas del tercer pase pueden ser útiles para la generación de dentina artificial para fines odontológicos mediante ingeniería tisular. Apoyado por P06-CTS-2191 de la junta de Andalucía.

Palabras Clave: Células madres, dentina, pulpa.

# 199

PO3008

## CÉLULAS MADRE HUMANAS DERIVADAS DE TEJIDO ADIPOSO COMO FUENTE PARA LA GENERACIÓN DE HUESO ARTIFICIAL EN INGENIERÍA TISULAR MAXILOFACIAL.

Rodríguez IA<sup>1</sup>, Nieto-Aguilar R<sup>2</sup>, Serrato D<sup>2</sup>, González-Andrades M<sup>2</sup>, Campos A<sup>2</sup>, Alaminos M<sup>2</sup>. Cat Histología "B", Fac Odon UNC (Arg)<sup>1</sup>, Dep Histología, Fac Odon y Med, Univ Granada (España)<sup>2</sup>.

La generación de hueso artificial autólogo mediante ingeniería tisular podría tener una gran utilidad para los procedimientos de injerto de tipo oral y maxilofacial, debido a que es posible evitar los problemas que pueden originarse con procedimientos de injertos de tipo inorgánico y mineral. En este contexto, una de las fuentes más prometedoras de células madre para los huesos que involucran las regiones orales y maxilofaciales podrían ser las células madre derivadas de tejido adiposo (ADSCs) que son pluripotentes y de hecho tienen el mismo origen mesenquimal. **OBJETIVO:** El objetivo de este trabajo fue aislar las ADSCs y diferenciarlas a tejido óseo artificial. **MÉTODOS:** Las ADSCs humanas fueron obtenidas del tejido adiposo subcutáneo, el cual fue seccionado y sujeto a digestión enzimática. Entonces, las ADSCs se cultivaron en frascos tipo Falcon hasta que las células alcanzaran un estado subconfluyente. Después de esto, las células fueron inducidas a la estirpe ósea mediante medio osteogénico por 20 días. El proceso de la diferenciación fue evaluado por medio de análisis histológico y de inmunofluorescencia. **RESULTADOS:** Las ADSCs inducidas a hueso generaron pequeños depósitos cálcicos en la matriz extracelular después de 20 días de inducción que fueron verificados con la tinción de rojo de alizarina S. Por otra parte, la inmunofluorescencia para la fosfatasa alcalina demostró una señal intensa en las células inducidas después de 20 días de inducción ósea. **CONCLUSION:** Nuestros resultados sugieren que las ADSCs pueden ser una fuente celular importante para la generación de hueso artificial autólogo humano. Este hueso generado mediante ingeniería tisular pudiera ser utilizado para los procedimientos de injerto de tipo oral y maxilofacial.

Palabras Clave: células madres, tejido adiposo, ingeniería tisular.

# 200

PO3009

## DETECCIÓN CLÍNICA DE SURCO NO TIPIFICADO EN LA CARA OCLUSAL DEL PRIMER MOLAR SUPERIOR PERMANENTE

Bessone, G. González, M\*. Guigliani, M.

Facultad de Odontología - UNNE Av. Libertad 5.450 - Corrientes – Argentina.

**OBJETIVO:** Observar las características que presenta la apófisis oblicua en el primer molar superior permanente (PMSP) y verificar la existencia de surco no tipificado para registrar nueva forma de presentación. **MÉTODOS:** El trabajo se llevó a cabo en la Facultad de Odontología y el Servicio Odontológico del Hospital Vidal de la ciudad de Corrientes. Se trabajó con un muestreo de tipo aleatorio sobre 50 PMSP derechos e izquierdos, con corona completa, libre de restauración, de pacientes de ambos sexos y de entre 14 y 20 años. El método utilizado fue la observación indirecta con espejo bucal. Los datos observados in vivo se registraron en planilla, según las siguientes categorías: Tipo I: Cara romboidal descripta por Figún y Garino Tipo II: Cara romboidal con surco que interrumpe parcialmente la Apófisis Oblicua. Tipo III: Presencia de elementos arquitectónicos nuevos. **RESULTADOS:** sobre una muestra de 50 piezas in vivo, los hallazgos fueron: el 56% de los casos observados corresponde a la morfología tipo II, el 42% al tipo I y un 2% al Tipo III. **CONCLUSION:** en la cara oclusal del PMSP aparece un surco que interrumpe parcialmente la Apófisis Oblicua no descripto en la literatura.

Palabras Clave: Anatomía Dentaria - configuración externa.

# 201

PO3010

## INMUNOHISTOQUÍMICA DE CICLOOXIGENASA 2 (COX-2) EN UN MODELO DE PERIODONTITIS EXPERIMENTAL.

Goya JA\*, Mandalunis PM.

Cátedra de Histología y Embriología, Facultad de Odontología. UBA.

La periodontitis se caracteriza por un proceso inflamatorio producido como consecuencia de la presencia y mantenimiento de placa bacteriana en relación a la pieza dentaria y sus tejidos periodontales. Este proceso comienza en el tejido conectivo de encía marginal, y de allí se extiende hacia el hueso alveolar generando un mayor reclutamiento de osteoclastos, lo cual produce pérdida ósea y una menor inserción de la pieza dentaria en el maxilar. La ciclooxigenasa 2 (COX-2) es una de las isoformas de la enzima que cataliza la formación de prostaglandinas, sustancias mediadoras de la inflamación, que se encuentra en diferentes células con actividad en procesos inflamatorios. **OBJETIVO:** del presente trabajo ha sido poner a punto la inmunohistoquímica de COX-2 para ser utilizado en el modelo de periodontitis experimental. **MÉTODOS:** Se utilizaron ratas Wistar a las que se les indujo periodontitis experimental (PE) mediante la colocación de un hilo de algodón en el primer molar izquierdo. El contralateral se utilizó como control. Los animales fueron sacrificados a las 96 horas de iniciada la experiencia, se extrajeron las mandíbulas las cuales se fijaron en formol buffer por 48 horas a 4°C y su posterior desmineralización en EDTA a 4°C. Una vez descalcificado el material fue procesado para su inclusión en parafina. Se obtuvieron cortes orientados en sentido mesio-distal del primer molar inferior. Sobre los cortes orientados se realizó la inmunohistoquímica de COX-2. Se tomaron microfotografías digitales sobre las cuales se evaluaron las células COX-2 + en la médula ósea del hueso interradicular mediante el software Image Pro-Plus. Los datos obtenidos fueron analizados estadísticamente mediante el test de t para grupos apareados. **RESULTADOS:** Los resultados obtenidos mostraron un aumento significativo en la expresión de COX-2 en la periodontitis experimental. Grupo PE: 3.19%; 1.51 y Grupo Control: 1.13%; 0.98. **CONCLUSION:** El presente estudio demuestra que la detección de COX-2 mediante inmunohistoquímica es una técnica útil que permitirá no sólo evaluar la evolución del cuadro inflamatorio de la PE a diferentes tiempos experimentales sino también asociada a cuadros sistémicos y al tratamiento con diferentes drogas. Fundación Roemmers.UBA O406.

Palabras Clave: Inmunohistoquímica, COX-2, Periodontitis Experimental.

# 202

PO3011

## LA CÉLULA EPITELIAL Y LA INFECCIÓN POR VPH. MORFOLOGÍA DE LA CÉLULA COILOCÍTICA POR MICROSCOPIA ÓPTICA Y ELECTRÓNICA DE TRANSMISIÓN.

Micinquevich S\* ; Mayocchi K ; Dorati P ; Gomez M.

Patología y Clínica Estomatológica. FOLP. UNLP.

La célula coilocítica representa la transformación de la célula epitelial infectada por el Virus del Papiloma Humano (VPH). Fue descrita por Koss y Durfee en 1956. Es una célula epitelial escamosa, por lo general superficial e intermedia, aunque también puede verse en células parabasales y metaplásicas. **OBJETIVO:** Caracterizar por Microscopía óptica (MO) y fundamentalmente Electrónica de Transmisión (MET) el coilocito. **Materiales y Método :** Se utilizaron muestras de material de archivo correspondiente a lesiones precursoras (LP) y carcinomas a células escamosas (CCE)VPH + por la técnica de reacción en cadena de la polimerasa (PCR). Se realizaron nuevos cortes con inclusión en parafina, tinción con hematoxilina-eosina y observación por MO. Se realizaron cortes semifinos para seleccionar áreas a analizar posteriormente por MET. Los cortes ultrafinos se deshidrataron con alcoholes crecientes e incluyeron en resina epoxi. Se contrastaron con acetato de uranilo y citrato de plomo. **RESULTADOS:** Con MO se observó morfología celular redondeada u ovoide, citoplasma opaco con condensación periférica, halo con margen definido de forma oval o ligeramente festoneado, hiperromatismo, vacuolización citoplasmática, núcleos excéntricos y la posibilidad de encontrar material fagocitado. Con MET en lesiones precursoras: Membrana nuclear conservada, núcleos redondos o ovalados, cromatina dispuesta hacia la carioteca, zona electronlúcida alrededor del núcleo, vacuolas en relación al Golgi y RER organizado, alta organización de desmosomas. En carcinomas observamos, desorganización citoplasmática, carioteca interrumpida, bilobulación del núcleo, membrana nuclear interrumpida, cromatina dispuesta hacia la carioteca, cromatina dispersa, nucleolos prominentes, escotaduras a nivel nuclear, desorganización de organoides y falta de desmosomas. En ambos casos se detectan partículas virales en disposición ordenada o difusa. **Conclusión.** Con técnica convencional no hay diferencias morfológicas significativas en LP y CCE. La imagen no difiere de la descrita por Koss y Durfee. Hay escasos datos de la caracterización por MET de coilocitos bucales. El escaneo precisa las modificaciones celulares, y en esta serie difieren en el grado de diferenciación ( LP o CCE).

Palabras Clave: célula epitelial - coilocito – VPH.

# 203

PO3012

## EFFECTO PREVENTIVO DEL ESTRONCIO EN LA PÉRDIDA ÓSEA DE LA TIBIA Y HUESO INTERRADICULAR EN RATAS WISTAR OVARIECTOMIZADAS.

Nenda MM\*, Lewicki M, Goya JA, Escudero ND, Mandalunis PM.

Cátedra de Histología y Embriología, Facultad de Odontología, UBA.

En los últimos años, se comenzó a utilizar el ranelato de estroncio como fármaco de acción dual para el tratamiento de osteoporosis postmenopáusica. Estudios experimentales han sugerido que dicha droga podría tener acción antirresortiva y/o anabólica sobre el tejido óseo, si bien aún no se encuentra totalmente clarificado su efecto. **OBJETIVO:** de este trabajo ha sido estudiar experimentalmente el posible efecto preventivo del estroncio sobre la pérdida ósea inducida por ovariectomía a nivel de la tibia y del hueso interradicular. **MÉTODOS:** Se utilizaron 40 ratas Wistar hembras separadas en 4 grupos: Grupo I: Sham , Grupo II: OVX (ovariectomía), Grupo III: Sham + Sr (estroncio), Grupo IV: OVX + Sr. A los grupos II y IV se les realizó ovariectomía bilateral. A los grupos III y IV a partir del día 15 de la experiencia, se les administró cloruro de estroncio en el agua de bebida (4g/l). Todos los animales fueron sacrificados a los tres meses y medio de experiencia. Se extrajeron tibias y maxilares inferiores, se procesaron histológicamente para la obtención de cortes orientados y se colorearon con H&E. Sobre microfotografías digitales, se midió el volumen óseo (BV/TV) (%) de tibias y maxilares inferiores. Los resultados obtenidos fueron evaluados estadísticamente. **RESULTADOS:** Tibias: Grupo Sham: 23.3± 8.0, Grupo OVX: 8.9±3.2, Grupo Sham+Sr: 18.7± 6.8, Grupo OVX+Sr: 12.0±4.0. Ambos grupos OVX presentaron menor volumen óseo con diferencias estadísticamente significativas en relación a los grupos no OVX. Maxilar inferior: Grupo Sham: 42±3.0, Grupo OVX: 35±3.5, Grupo Sham+Sr: 44.5±7.4, Grupo OVX+Sr: 43±6.7. El grupo OVX presentó menor volumen óseo con diferencias estadísticamente significativas en relación a los restantes grupos, mientras que el grupo OVX+Sr no presentó diferencias estadísticamente significativas en relación a los grupos sham. **CONCLUSION:** Los resultados en este trabajo experimental muestran el diferente efecto del estroncio sobre el volumen óseo en dos huesos cuyo origen es diferente. Mientras que el estroncio no previene la pérdida ósea producida por la ovariectomía en el hueso subcondral de la tibia, la misma; puede prevenirse en el hueso interradicular del primer molar inferior.

Palabras Clave: estroncio, osteopenia por ovariectomía, osteoporosis postmenopáusica.

# 204

PO9001

## ODONTÓLOGO Y PACIENTE: LA MIRADA EN LA RELACIÓN CLÍNICA.

Giaquinta MA\*, Samar ME, Pascucci J.

Módulo de Periodontología Facultad de Odontología UNCuyo.

**OBJETIVO:** indagar la relación humana entre el odontólogo y el paciente. El abordaje de la comunicación implica el conocimiento y la comprensión de los aspectos no verbales, entre ellos la mirada. Siendo la odontología una profesión donde los aspectos técnicos implican un paciente que tiene impedimento para expresarse oralmente, es de interés la consideración de la mirada en la comunicación. Abordamos el tema desde los fundamentos filosóficos que sustentan el trabajo: la filosofía de Levinas. **MÉTODOS:** se realizaron entrevistas a profesionales y pacientes de diferentes ámbitos de trabajo: hospitales y centros de salud, consultorios privados, obras sociales y facultad de Odontología pública. Las entrevistas se interpretaron por hermenéutica. **RESULTADOS:** la lectura de la mirada del paciente informa sobre los síntomas, la angustia y el temor a la atención. La mirada del profesional informa al paciente sobre aspectos de diagnóstico y tratamiento (riesgos). **CONCLUSION:** la base de la relación es la confianza y el eje es la responsabilidad. El conocimiento y utilización de los aspectos no verbales, como la mirada, colabora positivamente en el ejercicio clínico.

Palabras Clave: bioética; comunicación; relación clínica.

# 205

## RELACIÓN ENTRE ESTRATEGIAS DE ENSEÑANZA Y EVALUACIONES.

Domínguez G. E.\*, Tosti S. B., Peñalva M. A., Cecho A. C. y Sambartolomeo P. M.  
Facultad de Odontología de la UNLP.

PO9002

La evaluación dentro de la planificación de una asignatura o de un curso constituye una comprobación de la validez de estrategias didácticas y debe ser un recurso de la investigación científica en conexión con la propia acción, un elemento interno e imbricado en el propio sistema didáctico. Desde la perspectiva científico didáctica la evaluación tiene dos funciones básicas: comprobación de estrategias metodológicas y una información que ayude al alumno a progresar hacia el autoaprendizaje. **OBJETIVO:** comprobar el rendimiento académico de los alumnos a partir de la utilización de distintas estrategias de enseñanza como clases expositivas, realización de preguntas a libro abierto, mapas conceptuales y aprendizaje basado en problemas, puestas a prueba en el primer cuatrimestre del año 2008 en la asignatura Fisiología de la FOUNLP. **MÉTODOS:** el universo estudiado fue de 238 alumnos divididos en dos grupos: un grupo "A" de 119 estudiantes, donde las distintas unidades temáticas fueron desarrolladas con diferentes estrategias y otro grupo "B" de 119 alumnos, donde la enseñanza se desarrolló únicamente con estrategia de clase expositiva. Durante el curso se evaluó con el mismo instrumento de evaluación a los dos grupos, en tres oportunidades. Al finalizar el primer cuatrimestre, a cada grupo se le presentó un mismo examen integrador, que consistió en una prueba de cinco preguntas abiertas. **RESULTADOS:** Evaluaciones parciales: con estrategias de preguntas abiertas a libro abierto hubo 59,13% aprobados (grupo "A") mientras que con clase expositiva (grupo "B") 41,25% aprobados; con mapas conceptuales 53,04 % aprobados en el grupo "A", 41,14% en el grupo "B"; con estrategia de aprendizaje basado en problemas 50,78 % de aprobados en el grupo "A" y 34,85% en el grupo "B". Con respecto al examen integrador, 86% de aprobados en el grupo "A" y 90,24 %, en el grupo "B". **CONCLUSION:** se produjo una diferencia positiva en las evaluaciones parciales en cuanto al rendimiento académico, en aquellos estudiantes presentes en clases desarrolladas con estrategias de enseñanza diferentes. En cuanto al examen integrador, hubo una pequeña diferencia a favor del grupo de alumnos que recibieron clases expositivas

Palabras Clave: estrategias, enseñanzas, evaluaciones.

# 206

## ANÁLISIS Y EVALUACIÓN DEL RENDIMIENTO ACADÉMICO EN EXÁMENES FINALES DE BIOFÍSICA, FOUNT.

ALDERETE, M.S.; MERLETTI, S.M.; PÉREZ, L.I\*.; CÓRDOBA, J.E.

Cátedra de Biofísica. Facultad de Odontología, Universidad Nacional de Tucumán.

PO9003

Las autoridades de Universidad Nacional de Tucumán manifiestan desde hace varios años en forma permanente una gran preocupación por la Articulación Nivel medio - Universidad en el sentido de una relación vertical entre lo que se enseña y aprende en el nivel medio con lo que se enseña y aprende en el nivel superior. Los egresados del nivel medio o polimodal llegan a la Universidad con serias fallas académicas que se evidencian en las evaluaciones de rendimiento en los primeros años de estudios universitarios. En el cursado de Biofísica en 1º año de la FOUNT los estudiantes presentan, entre otras, dificultades en: la expresión oral y escrita, la comprensión de textos, la interpretación de consignas y jerarquización de conocimientos, tendencia a la memorización más que a la comprensión, preferencia por el estudio de apuntes de clase, propios y ajenos y no consultar la bibliografía recomendada. En consecuencia tienen serias dificultades para enfrentar con éxito el examen final de la materia, ya sea oral o escrito, a pesar que se encuentran en condición de alumnos regulares. **OBJETIVO:** analizar y evaluar el rendimiento académico en los exámenes finales escritos de los alumnos de Biofísica de la FOUNT, durante el período lectivo 2008-2009. **MÉTODOS:** se analizaron 258 exámenes escritos. Cada estudiante extrajo dos bolillas del programa con tres temas cada una de los que eligió uno para desarrollar y los profesores señalaron otros dos. Para aprobar el examen, debieron escribir conceptos fundamentales de los tres temas. **RESULTADOS:** se encontró que de los 258 exámenes, 178 (69%) desaprobaron y 80 (31%) aprobaron. De los 80 aprobados, 41 (51,25%) obtuvieron 4; 18 (22,5%) 5. Hubo 1 (1,25%) con 9 y ninguno con 10. En los aplazados hubo errores conceptuales, incoherencia en la redacción, uso incorrecto o imparcial del vocabulario propio de la materia, mezcla de conceptos de distintos contenidos y además temas no desarrollados por falta de estudio. **CONCLUSION:** se observa un muy bajo rendimiento en los exámenes finales que demuestran la necesidad de profundizar en la articulación nivel medio - superior y generar cambios viables con el fin de favorecer un aprendizaje significativo.

Palabras Clave: examen escrito, examen final, rendimiento académico.



# 207

PO9004

**DIFICULTADES DE APRENDIZAJE EN EL CURSO DE INICIACIÓN DE LA FACULTAD DE ODONTOLOGÍA DE LA UNT.** Erimbaue Marta\*. Wuscovi Luis. Aragón Hugo. Ferrari M. Isabel. Olmos fassi Jorje. García Daniel. Facultad de Odontología de la Universidad Nacional de Tucumán (FOUNT) Avda. Benjamin Aráoz al 800.

**OBJETIVO:** fue conocer la opinión de los alumnos con respecto a las dificultades que tuvieron sobre los procesos de enseñanza y aprendizaje en el Curso de Iniciación de la Facultad de Odontología de la UNT año 2009. **MÉTODOS:** se realizó un estudio descriptivo, en una población de 203 alumnos. El instrumento utilizado fue una encuesta anónima con 10 preguntas referidas a dificultades en la comprensión y 5 preguntas de sus antecedentes. **RESULTADOS:** Los datos fueron analizados estadísticamente con la prueba del chi cuadrado, y en frecuencias menores de 5 el test de fisher. (74,4%) de los estudiantes son del sexo femenino y un 25,6% masculino. La edad media para ambos sexos es de 18,42. El 52,7% reside en San Miguel de Tucumán. Un porcentaje alto egresó de instituciones privadas (63,8%) y dentro de estas las diferencias significativas fueron encontradas en la orientación biológica  $p < 0,05$ . Las dificultades encontradas referidas en porcentaje proporcional son: temas de difíciles interpretación, 54% a Física, 31% a Anatomía, 30% a biología, 25% a química y 0,24% no tuvo dificultades. Al considerar comprensión 51% establecen a falta conocimientos previos, 18% a que estudian de memoria, 31% dice que dedica tiempo, 13% posee comprensión de textos, 5,4% integración a grupos, 5,4% ta motivado, 16% tiene autoestima frágil, 23% estudian solos y 9,3% estudian acompañados. **CONCLUSION:** Los alumnos poseen aprendizajes memoristas, carentes de procesos constructivos, lo cual dificulta su tránsito en la universidad, y nos alerta en cuanto a estrategias didácticas y a la necesidad de articulación en todo nivel para la consolidación de los sistemas educativos.

Palabras Clave: Dificultades de aprendizaje. Estrategias de aprendizaje.

# 208

PO9005

**EVALUACIÓN DEL NIVEL POSTCONVENCIONAL DEL RAZONAMIENTO MORAL EN ESTUDIANTES DE ODONTOLOGÍA.**

Ariasgago Olga L. \*, Monzón Jorge E., Monzón Wyngaard Alvaro.  
Facultad de Odontología.

Se afirma que la ética puede ser enseñada y que se puede aprender a razonar moralmente. Kohlberg, describe tres niveles de desarrollo moral: Preconvencional, Convencional y Postconvencional, siendo este último el más apropiado por cuanto responde a una reflexión de principios éticos como la vida y la libertad. La media obtenida en este nivel en estudiantes de Odontología de la UNNE fue de 27,50%. **OBJETIVO:** Determinar la distribución de los alumnos según el valor IP. Relacionar el IP con las respuestas del test que indican un nivel postconvencional. **MÉTODOS:** La muestra estuvo conformada por 116 alumnos de la carrera de Odontología, distribuida en 5 cursos académicos. Se aplicó el DIT - "Prueba de definición de criterios", que recoge respuestas que identifican el nivel de desarrollo moral. El puntaje obtenido en el nivel Postconvencional se denomina Índice P (IP) y fue sistematizado en Bajo, Medio y Alto, ubicando la media del IP de la muestra (27,50%) en el rango "intermedio". Se realizaron tablas de frecuencia y se aplicó la prueba del chi cuadrado para establecer si existe relación entre las categorizaciones del IP y las respuestas generales del test que indican un pensamiento postconvencional. **RESULTADOS:** La muestra presentó un IP distribuido de la siguiente manera: el 42% de los alumnos obtuvieron un IP "bajo", el 26% un IP "medio. y el 32%, "alto". Con respecto al factor "cursos académicos", las puntuaciones mas bajas se encuentran repartidas en los cinco cursos y el porcentaje mas elevado de alumnos con puntuación "alta" se halló en 5º año. En el factor "edad" ambos grupos presentaron similar distribución. **CONCLUSION:** La puntuación "baja" del IP, es la predominante. La distribución de IP en los cursos académicos es homogénea, encontrándose en 5º año que el 50% de los estudiantes presentaron un IP "Alto". En cuanto a la edad, ambos grupos presentaron las mismas características. No se encontraron relaciones estadísticamente significativas entre el IP y las respuestas generales del test. Se considera importante conocer la distribución del IP, para considerarlo en las estrategias pedagógicas destinadas a estimular el crecimiento moral de los alumnos. Palabras Clave: Desarrollo Moral, Ética, Educación moral.

# 209

PO9006

## CANTIDAD DE MATERIAS PREVIAS CON FINAL APROBADO Y EL PROMEDIO DE NOTAS OBTENIDO EN LOS CURSOS I Y III.

Rimoldi M\* ; Iriquin SM ; Milat E ; Rancich L; Mendes C; Oviedo Arévalo J ; Iriquin MS.

Facultad de Odontología U.N.L.P. Odontología Integral Niños.

**OBJETIVO:** Este estudio forma parte de un proyecto más amplio que puede implicar un nuevo sistema de correlatividades por exámenes finales en una reforma o próxima actualización del plan de estudios vigente en la Facultad de Odontología de la U.N.L.P. Muchos docentes notan aparentemente una marcada disminución año tras año en el rendimiento académico de los alumnos. El desarrollo curricular adopta frente al proceso de enseñanza - aprendizaje una metodología de trabajo que contiene diferentes criterios didácticos y pedagógicos para obtener resultados de calidad educativa. **OBJETIVO:** Comparar el rendimiento de los alumnos que cursaron niños I y niños III, teniendo en cuenta la cantidad de materias previas con final aprobado con el promedio de notas obtenido en los cursos. **MÉTODOS:** Se procedió a procesar la información de 291 alumnos con los siguientes campos por registro tanto para Niños I como para Niños III: A) Promedio de Cursada; B) Cantidad de Materias Previas con Final Aprobado. Después de realizar un análisis exploratorio de todos los datos recabados y de interpretarlos estadísticamente, se aplicó un modelo de Regresión Lineal y se obtuvo el análisis descriptivo de los mismos por medio de gráficos de caja y bigotes (boxplot o box and whiskers plot). **RESULTADOS:** La estadística reveló que hay alumnos que ingresaron al Curso I con un mínimo de 17 materias previas con final aprobado y un máximo de 47; para el Curso III hubo alumnos que cursaron con un mínimo de 21 materias previas con final aprobado y con un máximo de 53. La Mediana del promedio de cursadas es de 7 en los Cursos I y III, la de cantidad de materias previas con final aprobado para el Curso I es de 44 con un Desv.Tip. de 6.34 y para el Curso III es de 47 con un Desv.Tip. de 8.10. Se observa un rango muy amplio (30 materias para el Curso I y 48 para el Curso III), lo que hace que algunos alumnos hayan accedido al Curso I con 17 materias previas aprobadas y otros con 47, y que al Curso III hayan accedido algunos con 21 materias con final aprobado y otros con 53. **CONCLUSION:** Luego de aplicar un análisis de regresión simple, se comprobó que la cantidad de materias previas con final aprobado no tiene incidencia significativa con relación al promedio de notas en los Cursos.

Palabras Clave: Promedio - Materias – Notas.

# 210

PO9007

## ANÁLISIS EXPLORATORIO DE LOS CURSOS I Y III EN ODONTOLOGÍA INTEGRAL NIÑOS.

Iriquin SM\*, Milat E, Rancich L, Rimoldi M, Mendes C, Oviedo Arévalo J, Iriquin MS.

Facultad de Odontología UNLP. Odontología Integral Niños.

**OBJETIVO:** Realizar un análisis exploratorio de los Cursos I y III de la Asignatura Odontología Integral Niños en el año 2008 con la finalidad de observar el sistema de correlatividades del plan de estudios vigente e introducir posibles mejoras en próximos reajustes del mismo. **MÉTODOS:** Se procesa la información de 291 alumnos con los siguientes campos por registro para ambos cursos: 1- Promedio de cursada, 2- Cantidad de materias previas con final aprobado, 3- Promedio general de materias previas con final aprobado, 4- Cantidad de correlativas directas con final aprobado, 5- Promedio de correlativas directas. Se utilizó como indicador de Rendimiento Académico para obtener la calificación final de los Cursos I y III, punto 1 Promedio de cursada, de la Asignatura Odontología Integral Niños, el promedio de notas a partir de las evaluaciones de conocimientos, actitudes, valores y destrezas para cada alumno de las 5 comisiones de cada curso de las listas de los docentes por comisión y los datos de los puntos 2 a 5 se obtuvieron de los certificados analíticos de estudio solicitados a la Dirección de Enseñanza. Luego de realizar el análisis exploratorio de los datos recabados y de interpretarlos estadísticamente, se aplicó un modelo de regresión lineal y se obtuvo el análisis descriptivo de los mismos por medio de gráficos de caja y bigotes (boxplot o box and whiskers Plot). **RESULTADOS:** Teniendo en cuenta los 2 cursos y la mediana los resultados obtenidos ofrecen un promedio de cursada con valor 7 en ambos cursos, cantidad de materias previas con final aprobado 44 y 47 respectivamente, promedio general de materias previas con final aprobado 5.34 y 5.39, cantidad de correlativas directas con final aprobado 8 y 1 y promedio de correlativas directas 5.4 y 7 respectivamente. **CONCLUSION:** Llegamos a la conclusión que la cadena de materias correlativas con final aprobado no tiene incidencia significativa con el rendimiento académico de los alumnos en esta Asignatura.

Palabras Clave: correlatividades - rendimiento académico - plan de estudios.

# 211

## PROMEDIO GENERAL DE MATERIAS PREVIAS CON FINAL APROBADO.

Mendes, C.\*; Rancich, L.; Iriquin, S. M.; Milat, E.; Rimoldi, M.; Oviedo Arévalo, J.; Iriquin, M. Facultad de Odontología UNLP. Odontología Integral Niños.

PO9008

El presente trabajo pretende concientizar la importancia del Rendimiento Académico en el alumno para garantizar la calidad educativa. **OBJETIVO:** comparar el promedio general de los alumnos con el promedio de notas de los cursos I y III de Odontología Integral Niños y determinar la incidencia del nivel de aprendizajes acreditados previamente en el curso I, sobre el rendimiento académico obtenido en el curso III. **MÉTODOS:** La información fue procesada de 291 alumnos en diferentes campos por registros: Niños I y III: Promedio de Cursada, Cantidad de Materias Previas con final Aprobado, Promedio General de Materias Previas con final Aprobado, Cantidad de Correlativas directas con final Aprobado y Promedio de Correlativas Directas. **RESULTADOS:** El análisis estadístico en el promedio general para el Curso I evidencio una media de 5.33, con un límite inferior de 5.22 y un límite superior de 5.43, para un intervalo de confianza para la Media al 95% y para el Curso III, la Media fue de 5.42 con un límite inferior de 5.32 y un límite superior de 5.53 para un intervalo de confianza para la Media al 95%. Para el promedio de notas en el Curso I la Media es de 6.59, un límite inferior de 6.43 y un límite superior de 6.75 para un intervalo de confianza para la Media al 95% y para el Curso III la Media fue 6.69, el límite inferior de 6.55 y el límite superior 6.83 para un intervalo de confianza para la Media al 95%. **CONCLUSION:** Para estas dos variables el rendimiento de los alumnos del Curso III no se puede explicar por medio del rendimiento en el Curso I.

Palabras Clave: Promedio general - Materias previas - rendimiento académico.

# 212

## PROMEDIO DE CORRELATIVAS DIRECTAS COMO PREDICCIÓN DE RENDIMIENTO ACADÉMICO.

Iriquin, M. S\*.; Iriquin, S. M.; Milat, E.; Rancich, L.; Mendes, C.; Rimoldi, M.; Oviedo Arévalo, J. Facultad de Odontología UNLP. Odontología Integral Niños.

PO9009

**OBJETIVO:** Este estudio tiene por objetivo comparar el promedio de las materias correlativas directas, en los alumnos que cursan Odontología Integral Niños de la Carrera de Odontología para observar su incidencia en el rendimiento académico. **MÉTODOS:** Se procedió a procesar la información de 291 alumnos para el promedio de correlativas directas y promedio de cursada. Después de realizar un análisis exploratorio de todos los datos recabados y de interpretarlos estadísticamente, se aplicó un modelo de Regresión Lineal y se obtuvo el análisis descriptivo de los mismos por medio de gráficos de caja y bigotes. **RESULTADOS:** Para el promedio de materias correlativas directas en el Curso I, Media de 5.15, Límite inferior 5.00 y Límite superior 5.30, para un Intervalo de confianza para la media al 95%, y para el Curso III una Media de 5.33, Límite inferior 4.94 y Límite superior 5.72, con un Intervalo de confianza para la media al 95%. Para el promedio de notas en el Curso I, Media 6.59, Límite inferior 6.43 y Límite superior 6.75, para un Intervalo de confianza para la media al 95%, y para el Curso III, Media de 6.69, Límite inferior 6.55 y Límite superior 6.83, para un Intervalo de confianza para la media al 95%. Los resultados se contemplaron en gráfico de caja y bigotes. Se plantea la hipótesis de investigación "el promedio de cursada de Niños III puede ser explicado por el promedio de cursada de Niños I". Luego de aplicar un modelo de regresión lineal, se comprueba que esta hipótesis no es válida en este modelo ( $p > 0.05$ ). **CONCLUSION:** Podemos concluir que el promedio de las materias correlativas directas es mayor para el Curso III que tiene dos correlativas directas para tener en cuenta y eleva el rendimiento académico de los alumnos.

Palabras Clave: conceptos previos- rendimiento académico.

# 213

PO9010

## MOMENTO DE REFLEXIÓN SOBRE APRENDIZAJES PREVIOS Y SU INFLUENCIA EN EL RENDIMIENTO ACADÉMICO.

Rancich, L.\*; Iriquin, S. M.; Milat, E.; Mendes, C.; Rimoldi, M.; Oviedo Arévalo, J.; Iriquin, M.S. Facultad de Odontología UNLP. Odontología Integral Niños.

**OBJETIVO:** El objetivo de éste trabajo es analizar la influencia que tienen los aprendizajes previos en el rendimiento académico de los alumnos que cursan Odontología Integral Niños. **MÉTODOS:** El análisis exploratorio constó de 291 datos sacados de los anlíticos de los alumnos del año 2008. Después de realizar un análisis exploratorio de todos los datos y de interpretarlos estadísticamente se aplicó un modelo de regresión lineal y se obtuvo el análisis descriptivo de los mismos por medio de gráficos de cajas y bigotes. **RESULTADOS:** Se obtuvo como resultado que para el Curso I la Media es de 6.59, un Límite inferior de 6.43 y un Límite superior de 6.75, para un Intervalo de confianza para la media al 95%, y para el Curso III la Media fue de 6.69, el Límite inferior de 6.55 y el Límite superior de 6.83, para un Intervalo de confianza para la media al 95%. **CONCLUSION:** Se plantea la hipótesis de investigación "el promedio de cursada de Niños III puede ser explicado por el promedio de cursada de Niños I", luego de aplicar un modelo de Regresión Lineal, podemos concluir que la hipótesis planteada no es válida en éste modelo ( $p > 0.05$ ).

Palabras Clave: aprendizajes previos - rendimiento académico - calidad educativa.

# 214

PO9011

## FACTORES QUE CONDICIONAN EL RENDIMIENTO ACADÉMICO DE ALUMNOS RECURSANTES DE BIOFÍSICA EN LA FOUNT.

MERLETTI, S.M\*.; ALDERETE, M.S.; PÉREZ, L.I.; JUÁREZ, T.; CÓRDOBA, J.E.; CATALÁN, P. E.; SINGH, F.

Cátedra Biofísica, Facultad de Odontología. San Miguel de Tucumán.

Biofísica se dicta en 1º año de la carrera de Odontólogo de la UNT con un promedio aproximado de 300 alumnos por año. Más del 50% no logra regularizar la materia y los alumnos libres de cada año académico algunas veces deben recurrir hasta tres o cuatro veces. El fracaso de este grupo de alumnos ha generado creciente preocupación en los docentes y necesidad de indagar los motivos que producen estos resultados indeseables. El **OBJETIVO:** de este trabajo es investigar la metodología de estudio, dedicación, actitud hacia la asignatura en alumnos recursantes con el fin de implementar estrategias que los motiven a lograr un aprendizaje significativo. **MÉTODO:** se administró una encuesta a 80 recursantes, antes del 1º examen parcial. Se indagó acerca de la metodología de estudio de la asignatura, consultas con docentes de la Cátedra, apoyo con profesores particulares, indicadores de comprensión de textos de cada tema, conocimientos previos, dedicación al estudio, interés por la materia, asistencia a clases teóricas, comprensión de enunciados de los parciales, comunicación con los docentes, entre otros. **RESULTADOS:** en el estudio de un tema, el 81% dice identificar los conceptos claves; el 60% los relacionan; el 62% los organizan jerárquicamente. Sólo el 20% consulta con docentes de la Cátedra y el 40% asiste a profesores particulares. El 50% hace un resumen del texto que estudia, pero solamente 8% realiza síntesis. El 59% manifiesta falta de conocimientos previos; el 47% expresa falta de dedicación e interés por la materia y sólo el 20% asiste a clases teóricas. En cuanto a la comprensión de enunciados de parciales, el 21% dice que son difíciles y el 22% que no hay buena comunicación con los docentes. **CONCLUSION:** Se evidencia en los recursantes un abordaje superficial de los textos de la asignatura, poco aprovechamiento de las oportunidades de interactuar académicamente con los docentes, poco interés, poca dedicación y conocimientos previos deficientes. Es necesario profundizar en la investigación de los factores que condicionan el rendimiento de los recursantes a fin de desarrollar estrategias personalizadas que les posibiliten involucrarse activamente en el proceso de aprendizaje.

Palabras Clave: Recursantes, desinterés, aprendizaje significativo.

# 215

PO9012

## ESTRATEGIAS MOTIVADORAS PARA MEJORAR EL RENDIMIENTO ACADÉMICO DE ALUMNOS RECURSANTES DE BIOFÍSICA EN 2009 EN LA FOUNT.

ALDERETE, M.S.; MERLETTI, S.M\*, PÉREZ, L.I.; COMBES, J.; JUAREZ, T.; CATALÁN, P. E. Cátedra Biofísica, Facultad de Odontología. San Miguel de Tucumán.

Los docentes de la Cátedra de Biofísica investigaron las modalidades de estudio, dedicación y actitud de los alumnos recursantes con el fin de plantear estrategias motivadoras de aprendizaje. Se estableció que los repitentes realizan un abordaje superficial de los textos de la asignatura, poco aprovechamiento de las oportunidades de interaccionar con los docentes, desinterés y conocimientos previos deficientes. **OBJETIVO:** proponer estrategias motivadoras que favorezcan el rendimiento académico en alumnos recursantes de Biofísica. (Work in progress). **MÉTODOS:** se formaron 8 (ocho) comisiones de Trabajos Prácticos con cupo reducido a 10 (diez) recursantes cada una para personalizar la relación docente - alumno a fin de favorecer la reflexión activa y consciente del aprendizaje. Se solicitó a los estudiantes jerarquizar de mayor a menor los temas en los que encontraron dificultades en el cursado previo. Se dedicaron más horas a los temas con mayor dificultad. Se pactó un compromiso con los alumnos en torno al objetivo de lograr la regularidad. El plan de trabajo puso el acento en la producción permanente y sostenida tanto oral como escrita que diera cuenta de la lectura y análisis de la bibliografía, con devoluciones de los docentes para la corrección de errores. Esto evidenció un compromiso activo de ambas partes involucradas. Docentes y alumnos realizaron autoevaluaciones periódicas de los avances o retrocesos del aprendizaje. En clase se rescataron conocimientos previos, se sugirió bibliografía cuando estos conocimientos eran deficitarios y aspectos positivos de la anterior experiencia de cursado de Biofísica. **RESULTADOS:** hasta el momento, 80 alumnos recursantes rindieron el primer parcial, 76 (95%) aprobaron el mismo o su recuperación. 59 estudiantes rindieron el segundo parcial, 49 (83%) aprobaron el 1º examen o su recuperación. 21 estudiantes no se presentaron a rendir. **CONCLUSION:** los porcentajes obtenidos reflejan que la implementación de estrategias motivadoras en alumnos recursantes de Biofísica mejoraría el rendimiento académico en Biofísica, si bien es necesario analizar las causas de las deserciones. Es posible que los resultados definitivos indiquen la necesidad de implementar un sistema de docente-tutor para recursantes en años venideros.

Palabras Clave: recursantes, estrategias motivadoras, rendimiento académico.

# 216

PO9013

## RELACIONES ENTRE EL RENDIMIENTO ACADÉMICO DE LOS ASPIRANTES AL INGRESO Y NIVEL EDUCATIVO DE LOS PADRES.

PÉREZ, L.I.\*; ALDERETE, M.S.; MERLETTI, S.M.; JUÁREZ, T.; CÓRDOBA, J.E.; RODRIGUEZ, N.; GUNSET, V.  
Cátedra Biofísica. Facultad de Odontología. Universidad Nacional de Tucumán.

El Instituto Nacional para la Evaluación de la Educación (INEE) indica que el 65% de las dificultades en el área académica de los alumnos se relaciona con las condiciones socio-familiares de los mismos y a la vez las explica. Por otro lado, hay una tendencia natural en las estadísticas a ponderar el rendimiento académico considerando las notas de los estudiantes. No obstante, existen otros factores que deberían incluirse en un análisis del rendimiento, tales como los dependientes del entorno del alumno y otros inherentes a la institución. El **OBJETIVO** de este trabajo es relacionar el nivel educativo de los padres y el rendimiento académico de los aspirantes a ingresar a la carrera de Odontología. Se supone que un mayor nivel de educación formal parental influye y estimula mejores resultados en las evaluaciones. **MÉTODOS:** Sobre una población de 248 aspirantes a ingresar a la carrera de Odontología de la FOUNT en el período lectivo 2009 se extrajo en forma aleatoria una muestra de 78 estudiantes. Se administró una encuesta estructurada que indagó acerca de estudios primarios, secundarios, universitarios y postgrado de los padres. En el procesamiento de las encuestas se relacionó el nivel educativo de los progenitores con las calificaciones obtenidas por los postulantes en el CINO (Curso Introductorio de Nivelación en Odontología). **RESULTADOS:** De los alumnos que obtuvieron notas entre 7 y 10, el 10.7% de los padres posee nivel primario, el 50% completó el ciclo medio, y el 39.3% realizó estudios universitarios y/o de postgrado. Los estudiantes con notas entre 4 y 6 registran el 22% de padres con nivel primario, el 58% con nivel secundario, y el 19.4% con nivel universitario o de postgrado. Los alumnos aplazados tienen un 42.1% de padres que completó el nivel primario, un 47.4% el tramo secundario y el 10.5% realizó estudios universitarios. **CONCLUSION:** Aunque parece evidente que un mayor nivel de educación de los padres, se corresponde con un mejor rendimiento académico de los hijos, estimamos conveniente profundizar en futuras investigaciones la relación entre el rendimiento académico y los hábitos de estudio y el estilo de vida familiar.

Palabras Clave: nivel educativo, rendimiento académico, aspirantes.

# 217

PO9014

## VALORACIÓN DE LA PERCEPCIÓN ANSIÓGENA, SU RELACIÓN CON LOS NIVELES DE ALFA AMILASA Y CONSUMO DE CARBOHIDRATOS REFINADOS EN ESCOLARES.

Carranza M.<sup>1-2</sup>, Ferraris M.E.<sup>2</sup>, Bregains L<sup>2</sup>, Messi S.<sup>3</sup>, Viramonte M.<sup>3</sup>.

<sup>1</sup> Cátedras Morfología Animal. Fac Ciencias Exac, Fís y Naturales.<sup>2</sup>Histología y Embriología B. Fac Odontología. <sup>3</sup>Centro Investigaciones Lingüísticas. UNC.

En estudios previos observamos en niños y adolescentes escolarizados, una tasa normal de crecimiento y desarrollo y un estado de salud bucal aceptable pero con dificultades en las aptitudes afectivo-cognitivas para la comprensión lectora. Los hábitos alimenticios sumados a situaciones de estrés diario serían factores no favorables en el rendimiento escolar. Un método para valorar la ansiedad y la percepción de estrés en niños, es la determinación de los niveles basales matutinos de cortisol y  $\alpha$ -amilasa en saliva. **Objetivo.** Se evaluó en alumnos de primaria la percepción de situaciones ansiógenas en relación con el nivel basal de alfa amilasa salival (AAS) en la mañana y el consumo de carbohidratos refinados. **Material y Método.** Se trabajó con 60 niños(as) de 4º, 5º y 6º grado, turno mañana y tarde de una escuela periurbana de la ciudad de Córdoba, con consentimiento informado. La saliva fue recolectada por los niños dentro de los 30 minutos de levantarse, en tubos plásticos estériles. Para ello, los padres, alumnos y docentes fueron instruidos en el procedimiento de recolección. Las AAS se determinó por el método amilasa 405 cinética. La percepción ansiógena se estimó con un cuestionario confeccionado ad hoc. Se aplicó el análisis estadístico a los datos y se aceptó un nivel de significación de  $p < 0.05$ . **Resultados.** Se hallaron diferencias en la percepción de situaciones ansiógenas entre sexos y alumnos del turno mañana y tarde. La alfa amilasa salival mostró variabilidad individual y los alumnos fueron distribuidos en grupos de bajos, intermedios y altos niveles de AAS. Estos no se modificaron con la edad, sexo, peso y talla corporal, sin embargo, se correlacionaron significativamente e inversamente proporcional con la escala de percepción. En los niños que no consumían azúcares diariamente hubo tendencia a mostrar valores superiores de  $\alpha$ -amilasa. **Conclusiones.** La correlación entre las variables percepción de ansiógenos y niveles de AAS fue positiva, sin embargo, el amplio desvío de los datos no arrojó resultados concluyentes. Será necesario el análisis de un mayor número de casos para indicar a la AAS como un posible indicador de situaciones ansiógenas. **Colaboradores:** Beas C. y Aime S., Sorbera L., **Financiado:** PICTOR II BID 1728/OC-AR, N° 20293 y SECYT N°69/08. **Palabras Clave:** Percepción ansiógena- alfa amilasa salival-escolares.

# 218

PO9015

## FACTORES PERSONALES Y FAMILIARES ASOCIADOS AL RENDIMIENTO ACADÉMICO DE LOS ALUMNOS DE LA FOLP.

Albarracín, S\*; Medina, M; Irigoyen, S; Coscarelli, N; Mosconi, E; Rueda, L; Papel, G; Seara, S; Tomas, L. Facultad de Odontología. Universidad Nacional de La Plata.

**OBJETIVO:** evaluar la relación entre el rendimiento académico y los antecedentes familiares de los alumnos de quinto año de la FOLP que cursaron en el año 2007. **MÉTODOS:** Se realizó una investigación exploratoria de tipo descriptivo y de diseño longitudinal. Se utilizó información de fuentes primarias y secundarias. El universo de estudiantes, en total 48 lo constituyeron los ingresantes en el año 2003 que cursaron 5º año completo en el año 2007. Se utilizó una encuesta estructurada y los registros de calificaciones de las asignaturas de 5º año. Se tomaron como indicadores la media de notas de materias cursadas y la condición final. **RESULTADOS:** 48 alumnos con una media de notas  $x=6,76$ . Las variables utilizadas en relación con el rendimiento académico fueron: a) profesión del padre; b) profesión de la madre; c) elección de la carrera porque le interesa; d) estudios del padre; e) estudios de la madre; f) lugar de nacimiento; g) estado civil; h) edad; i) sexo. **RESULTADOS:** Los padres y madres cuya ocupación era profesional obtuvieron mejores resultados,  $x=7,15$  y  $x=7,26$  respectivamente. Los que eligieron la carrera por propio interés  $x=7,25$ . El rendimiento según los estudios del padre fue mejor para aquellos con estudios de posgrado  $x=7,33$ . Las madres con estudios universitarios completos  $x=7,66$ . Los alumnos nacidos en La Plata dieron mejor rendimiento con  $x=7,21$ . Los alumnos solteros mejor calificación  $x=6,85$ . Los alumnos más jóvenes mejor rendimiento  $x=7,23$ . Y el grupo femenino mejor rendimiento con  $x=7,18$ . **CONCLUSION:** Por lo expuesto podemos concluir que el hogar del que provienen no ejerció una influencia significativa en el rendimiento académico de los alumnos. A excepción de la ocupación y nivel de estudios de los padres, en el cual se evidenciaba un mejor rendimiento en aquellos estudiantes cuyos padres desarrollaban actividades profesionales y poseían estudios universitarios completos y posgrado.

Palabras Clave: Rendimiento-Antecedentes-Familia.

# 219

PO9016

## RENDIMIENTO ACADÉMICO/ SITUACIÓN LABORAL EN LA COHORTE 2003.

Coscarelli N.\*; Medina M.; Mosconi E.; Rueda L.; Albarracín S.; Irigoyen S.; Papel G.; Seara S.; Tomas L.

Facultad de Odontología Universidad Nacional de La Plata.

**OBJETIVO:** establecer la relación entre el rendimiento académico y la situación laboral de los alumnos de la cohorte 2003 de 1ro a 5to año de la carrera. **MÉTODOS:** es un estudio longitudinal-descriptivo, el universo lo constituyen los alumnos de la cohorte 2003 de la F.O.LP. Para la obtención de los datos se utilizó una encuesta estructurada; y los registros de calificaciones de las asignaturas de 1ro a 5to año de la carrera. Las variables analizadas son la situación laboral y el rendimiento académico. Se estableció la "f" y "f.%", se tomaron como indicadores del rendimiento la media de notas, de materias cursadas y la condición final. **RESULTADOS:** ingresantes 2003 n = 474. El 62,87% no trabajan, quedando regulares en 1º año el 73,49%, con una media de notas de 5,36 y de materias cursadas de 3,44; en 2º año el 41,95%, con una media de notas de 5,44 y de materias cursadas de 3,70; en 3º año el 15,10%, con una media de notas de 5,90 y de materias cursadas de 6,60; en 4to año el 14,09%, con una media de notas de 5,40 y de materias cursadas de 6,38; en 5to año el 13,08%, con una media de notas de 6,74 y de materias cursadas de 5,85. El 25,32% de los ingresantes trabajan, obteniendo la regularidad en 1º año el 64,17% con una media de notas de 5,17 y de materias cursadas de 3,20; en 2º año el 35% con una media de notas de 5,26 y de materias cursadas de 3,38; en 3º año el 11,67% con una media de notas de 5,96 y de materias cursadas de 6,36; en 4to año el 10% con una media de notas de 5,83 y de materias cursadas de 5,08 y en 5to año el 7,5% con una media de notas de 6,65 y de materias cursadas de 5,77. **CONCLUSION:** hay un mayor porcentaje de alumnos libres entre aquellos que trabajan. En cuanto a los que obtuvieron la regularidad no existe una diferencia significativa en la media de notas y materias cursadas, a excepción de 4to año donde la media de materias cursadas es menor entre los alumnos que trabajan.

Palabras Clave: Formación - Rendimiento – Trabajo.

# 220

PO9017

## INCIDENCIA DE LAS ESTRATEGIAS ÁULICAS EN EL RENDIMIENTO ESTUDIANTIL.

Irigoyen, S\*; Albarracín, S; Medina, M; Coscarelli, N; Mosconi, E; Rueda, L; Papel, G; Seara, S; Tomas, L.

Facultad de Odontología. UNLP.

**OBJETIVO:** Demostrar el impacto de una metodología de enseñanza en el rendimiento estudiantil. **MÉTODOS:** El estudio está enmarcado en el paradigma interpretativo de investigación cualitativa y para su realización se utilizó un diseño etnográfico, de tipo estudio de casos. La etapa de trabajo de campo se realizó en un curso de primer año de la carrera de Odontología de la UNLP; los informantes clave fueron 150 estudiantes de este curso, no existió manipulación de variables, lo que permitió obtener una visión holística del fenómeno estudiado. Se utilizaron como técnicas de recolección de datos, la observación participante, entrevistas no estandarizadas y abiertas, el pensamiento en voz alta. Como instrumentos, cuaderno de notas, protocolos, cuestionario cognitivo y los problemas resueltos por los alumnos en forma escrita; además grabador y cámara fotográfica. El análisis y recolección de datos se realizó simultáneamente en la medida que iban ocurriendo los hechos. En el proceso se consideraron las fases de descripción, categorización y triangulación. **RESULTADOS:** El análisis realizado puso en evidencia los siguientes **RESULTADOS:** los alumnos utilizan las estrategias cognitivas de: (a) asociación; (b) elaboración, y (c) organización, en el aprendizaje de la Biofísica por resolución de problemas, el uso de estas estrategias involucra una serie de acciones que les permiten resolver con éxito los problemas planteados. **CONCLUSION:** De lo expuesto se concluye que los patrones de pensamiento y razonamiento, son indicadores del uso de diferentes procesos cognoscitivos por parte de los alumnos, evidenciando el impacto que una metodología de enseñanza basada en la resolución de problemas tiene en el aprendizaje de la Biofísica.

Palabras Clave: Educación, Investigación etnográfica, Resolución de Problemas, Estrategias, Rendimiento.

# 221

PO9018

## GRADO DE SATISFACCIÓN, FORTALEZAS Y DEBILIDADES DE LA CARRERA DE ODONTOLOGÍA SEGÚN LOS GRADUADOS DE LA FOLP.

Papel, G\*; Mosconi, E.; Medina, M.; Irigoyen, S.; Albarracín, S.; Coscarelli, N.; Rueda, L.; Tomas, L.; Seara, S. Facultad de Odontología - Universidad Nacional de La Plata.

**OBJETIVO:** Determinar el grado de satisfacción, fortalezas y debilidades encontradas durante la formación académica recibida en la FOLP. **MÉTODOS:** Estudio transversal de tipo descriptivo constituido por los egresados de la FOLP 2001-2005. La información fue recopilada a través de una encuesta estructurada y registros documentales de la FOLP y del CeSPI - La administración de la encuesta se realizó vía telefónica, e-mail y en forma personal, para su procesamiento se utilizó el paquete estadístico SPSS. Sobre un total de 1984 egresados, se recibieron 437 encuestas, correspondiendo 51 a los egresados del año 2001, 151 a los egresados del año 2002, 96 a los egresados del año 2003, 91 a los egresados del año 2004 y 48 a los egresados del año 2005. **RESULTADOS:** La variable calidad de la formación fue Muy buena:103, Buena:267, Regular:60, Mala:3, Ns/Nc:4; fortalezas: buen nivel docente 27,46%, prestigio institucional 35,24%, amplitud horaria de cursadas 90.39%, organización administrativa e higiene edilicia 88.78%, adecuada cantidad de prácticas clínicas 37,30%, docente como orientador en la enseñanza 47,37%, adecuadas de extensión universitaria 8,47%, consideran buena la enseñanza recibida 48,28%, adecuado acercamiento a la comunidad 69,34%, en referencia a debilidades: escasa disponibilidad de aulas 40,27%, escaso espacio físico en las clínicas 65,21%, numerosa cantidad de asignaturas correlativas 25,63%, textos desactualizados en la biblioteca 53,32%, deficiente equipamiento clínico 62,01%, ausencia de un banco de paciente 79,18%, escasa cantidad de docentes en las clínicas 42,33%, escasa capacidad física y silencio en la sala de lectura de la biblioteca 54,92%, ausencia de instalaciones para refrigerio 70,25%, prácticas clínicas escasas 34,10%. **CONCLUSION:** la calidad de formación para ejercer la profesión fue buena. Predominan fortalezas en el plan de estudio.

Palabras Clave: Egresado - Fortalezas – Debilidades.

# 222

PO9019

## CORRELACIÓN RENDIMIENTO ACADÉMICO/ DURACIÓN DE LA CARRERA EN EGRESADOS 2001-2005.

Seara, S.\*Medina, M.; Irigoyen, S.; Coscarelli, N.; Mosconi, E.; Rueda, L.; Albarracín, S.; Tomas, L.; Papel, G. Facultad de Odontología. UNLP.

**OBJETIVO:** Determinar la dirección de correlación del rendimiento académico de los egresados de la FOLP 2001-2005, con la duración de la carrera. **MÉTODOS:** Se realizó una investigación de tipo descriptivo, transeccional y correlacional, en la que se revisaron los promedios con aplazos de los alumnos que egresaron de la FOLP entre el 1-1-2001 y el 31-12-2005. Se trabajó con la población total y las variables correlacionadas fueron duración de la carrera y rendimiento académico. La información se recolectó a partir de la base de datos del Programa de Evaluación y Seguimiento de Egresados de la FOLP. Se conformaron pares de valores (Duración-Rendimiento) que se distribuyeron en 5 grupos según año de egreso. La exploración tuvo carácter inductivo. Se trabajó con una muestra que concentró 2017 egresados. Se construyeron tablas de distribución de frecuencias. Se calcularon los indicadores de las variables: coeficiente de rendimiento académico ( $CRA = M/A \cdot P$ ), media aritmética, mediana, máximos y mínimos. Se confeccionaron gráficos de dispersión para cada correlación. La correlación entre variables se calculó usando la fórmula  $r$  de Pearson. Para establecer su influencia se aplicó el coeficiente de determinación  $R^2$ . Se utilizó el programa estadístico SPSS 10.0. **RESULTADOS:**  $x_{CRA} = 50.27$ ; mediana = 48.85; max = 99.36 y min = 9.31. Duración media = 7.28; mediana = 7; max = 20 y min = 5.  $x_{PR} = 5.55$ ; mediana = 5.51; max = 8.28 y min = 3.65. La correlación general fue -0,54; las correlaciones por año -0,52 (2001); -0,54 (2002); -0,51 (2003); -0,52 (2004) y -0,53 (2005). El cómputo de variable arrojó un  $R^2$  de 0,31 para la influencia de la duración de la carrera en general. En cuanto a los 5 años, el cálculo de  $R^2$  determinó 0,27 (2001); 0,30 (2002); 0,26 (2003); 0,27 (2004) y 0,28 (2005). **CONCLUSION:** en general hay una dirección de correlación entre las variables que puede calificarse como significativa.

Palabras Clave: Rendimiento-Duración-Correlación.



# 223

PO9020

## ESTILOS DE APRENDIZAJE Y RENDIMIENTO ACADÉMICO EN ESTUDIANTES DE LA FOLP.

Tomas, L.\*; Mosconi, E; Medina, M; Albarracin, S; Irigoyen, S; Coscarelli, N; Rueda, L  
Papel, G. Facultad de Odontología.UNLP.

**OBJETIVO:** Determinar el grado de correlación entre los estilos de aprendizaje y el rendimiento académico de los estudiantes de la FOLP. **MÉTODOS:** Se aplicó el cuestionario Honey-Alonso de Estilos de Aprendizaje, que consta de 80 preguntas a las que se responde dicotómicamente manifestando si está de acuerdo (signo +), o en desacuerdo (signo -). Se trabajó con el registro de evaluaciones para identificar las calificaciones y se los interrelacionó. La muestra conformada por 452 estudiantes de ambos sexos fue seleccionada por un muestreo aleatorio simple. El cuestionario se aplicó durante de 30 minutos. Se efectuó una breve presentación de la investigación y del cuestionario, para no introducir variables extrañas y no controladas al momento de la aplicación de los instrumentos, haciendo especial hincapié en que se contestara todos los ítems. La puntuación máxima que se puede alcanzar en cada estilo es 20. Para conocer el grado de confiabilidad del cuestionario, se utilizó el coeficiente Alfa de Cronbach. Los datos de estilos de aprendizaje y rendimiento académico fueron correlacionados y se aplicaron pruebas estadísticas para identificar correlaciones significativas. **RESULTADOS:** el Coeficiente Alfa de Cronbach.- (80 ítems , 452 estudiantes) fue  $r = 0.81$ . Los estilos de aprendizaje predominantes en los estudiantes de la FOLP fueron el Reflexivo (14,94 +/- 2,71), seguido por el Teórico (13,77 +/- 2,68), Pragmático (13,39 +/- 2,63) y Activo (11,46 +/- 2,71). La media del rendimiento académico fue respectivamente de 6,82, 6,72, 6,90, 6,78 y 6,98. La correlación entre el rendimiento académico y los estilos de aprendizaje, aplicando el coeficiente de correlación r de Pearson fue para el estilo Teórico 0.64, para el Pragmático 0.62, para el activo 0.55 y para el Reflexivo 0.68. **CONCLUSION:** Los estilos de aprendizaje tienen correlación significativa con el rendimiento académico de los estudiantes.

Palabras Clave: Estilo - Aprendizaje – Rendimiento.

# 224

PO9021

## COMPARACIÓN DE DOS CURSOS DE UNA ASIGNATURA COMO INDICADORES DE RENDIMIENTO ACADÉMICO.

Oviedo Arévalo, J.; Iriquin, S. M.; Milat, E.; Rancich, L.; Mendes, C.; Rimoldi, M.; Iriquin, M.S. Facultad de Odontología UNLP. Odontología Integral Niños.

**OBJETIVO:** es determinar la incidencia en el nivel de aprendizajes acreditados en el Rendimiento Académico de los alumnos cursantes en Odontología Integral Niños, Cursos I y III. Materiales y **MÉTODOS:** Se emplearon como indicadores de rendimiento académico la cantidad de correlativas directas con final aprobado con el promedio de notas de los Cursos I y III, datos obtenidos del análisis exploratorio de 291 certificados analíticos y su interpretación estadística, con la aplicación de un modelo de regresión lineal y su representación por medio de gráficos de cajas y bigotes. Como resultado, el análisis estadístico reveló que hay alumnos que ingresaron al Curso I sin correlativas directas con final aprobado y con un máximo de 10 materias correlativas directas con final aprobado, con un rango de 10; para el Curso III hubo alumnos que cursaron sin finales aprobados para las correlativas directas, con un máximo de 2, con un rango de 2. La mediana del promedio de cursada es de 7 para el Curso I y III, la de correlativas directas con final aprobado del Curso I es de 8 y para el Curso III es de 1. Un rango amplio para las correlativas en el curso I de 10 materias, y de 2 materias para el Curso III, que significa que algunos alumnos accedieron al Curso I sin ninguna correlativa directa aprobada y otros con 10, igual situación para el Curso III. Podemos concluir que la cantidad de materias correlativas directas con final aprobado no tiene incidencia significativa con relación al promedio de los Cursos.

Palabras Clave: Correlativas Directas - Rendimiento académico.

# 225

PO9022

## IMPACTO DE ACTIVIDADES EXTRAMURALES EN LA CURRICULA DE ODONTOLOGÍA PREVENTIVA Y SOCIAL, FACULTAD DE ODONTOLOGÍA, U.N.C.

Sánchez Dagum M, Mandozzi M\*.

Cátedra de Odontología Preventiva y Social I y II. Facultad de Odontología. U.N.C.

Los docentes conscientes de los complejos procesos sociales y económicos actuales se plantean e interrogan si la oferta académica se ajusta a las necesidades reales de la sociedad, y si el modo, de las actividades, en las que los alumnos son los protagonistas satisfacen sus expectativas. **OBJETIVO:** evaluar el impacto de las actividades extramurales de la curricula de Odontología Preventiva y Social I, identificando, a través de las debilidades y fortalezas en la propuesta académica extramural, mejora en la calidad del proceso enseñanza - aprendizaje. **MÉTODOS:** Se realizó un estudio Cuanti-Cualitativo, Descriptivo, Transversal. Se obtuvo una muestra (n=125), por muestreo sistemático, de los alumnos de ambos sexos con edades de 20 a 24 años, que cursaron la Asignatura en el año 2008. Se estudiaron las dimensiones: Calificación de la experiencia, Adecuación, Dificultades en su ejecución y Utilidad de la misma, y Sugerencias para mejorar. Se confeccionó un cuestionario semi-estructurado y auto suministrado. Se hizo prueba piloto (n=12). Se realizó descripción estadística mediante frecuencia relativa en porcentajes y se aplicó la prueba binomial para diferencias significativas en variables binarias; en tanto para Calificación de la Experiencia, se usó la prueba Chi- cuadrado, en ambos casos fijando  $p < 0,05$  para significancia estadística. **RESULTADOS:** El 80,8% de los alumnos calificó la experiencia como muy buena, el 97,6% la consideró útil en su formación profesional, el 55,2% reveló que con la actividad se brindaba servicio a la comunidad, 15,2% de los encuestados manifestó haber tenido dificultades, en todos los casos las proporciones fueron estadísticamente significativas. **CONCLUSION:** Una de las dimensiones de la calidad es la satisfacción de los usuarios, en este contexto, es necesario proporcionar a los alumnos espacios académicos adecuados a sus necesidades, y ahondar en el conocimiento del área de la prevención, presentándole contextos sociales particulares, en los cuales deberá realizar las acciones pertinentes a esta área. Además los resultados de la encuesta permitieron reformular la propuesta en aquellos puntos débiles.

Palabras Clave: Odontología preventiva, actividades extramurales, curricula.

# 226

PO9023

## PROCESO DE CONSENTIMIENTO INFORMADO. PERSPECTIVAS BIOÉTICAS Y LEGALES EN ESTUDIANTE DE ODONTOLOGÍA.

MIGUEL R, COCCO L, ZEMEL M, SAPIENZA\* M, PÓLVORA B, IANTOSCA A, SAPORITTI F, RUIZ R, DI GIROLAMO G, BLANCO N.

Facultad de Odontología de la Universidad Nacional de La Plata.

La Educación Odontológica ha incorporado en los últimos años espacios referidos al análisis bioético de la relación clínica. Este área incluye el estudio de los procesos de enseñanza y aprendizaje del PCI (Proceso de Consentimiento Informado) en los trayectos formativos de los futuros graduados odontólogos. **OBJETIVO:** evaluar la enseñanza y aprendizaje de aspectos bioéticos del PCI en estudiantes que cursaban el Ciclo Clínico-Socio-Epidemiológico de la Carrera de Odontología de la FOUNLP. **MÉTODOS:** Se realizó un estudio observacional descriptivo sobre las variables: nivel de conocimientos teóricos y ejecución del proceso de consentimiento informado. Se registró un autorreporte estructurado, voluntario y anónimo a una muestra azarosa de 104 alumnos regulares del quinto año de la Carrera de Odontología de la FOUNLP. **RESULTADOS:** La edad mínima fue 22 y máxima 37, promedio 24.91, moda y mediana 25 años. En relación con la variable "implementación del PCI", la totalidad de la muestra demostró implementar el PCI en las prácticas clínicas curriculares. Sobre la variable nivel de conocimientos teóricos, sobre un total de 3120 opciones, se contestaron 976 (31,28%) correctamente. En relación con la dimensión bioética de la variable, la distribución fue: identificación de conceptos fundamentales de la Especialidad = 32 (30,77%), identificación de teorías y reglas bioéticas = 21 (20,19%), conocimiento teórico relacionado a la elaboración de protocolos bioéticos = 43 (41,35%), resolución teórica de problemáticas ético-clínicas = 32 (30,77%). **CONCLUSION:** A partir de los datos tomados de la muestra procesada se puede concluir hasta el momento: a) Los conocimientos teóricos sobre el PCI son escasos aún cuando existe su implementación regular en las prácticas clínicas realizadas por estudiantes; b) El bajo conocimiento teórico para la resolución de problemáticas bioéticas denotan la necesidad de promover espacios educativos relacionados con la temática. Investigación subsidiada por U.N.L.P.

Palabras Clave: Consentimiento - odontología – estudiantes.

# 227

## PREVALENCIA DE CANDIDA SPP EN PROCESOS PERIAPICALES CRÓNICOS.

Brusca MI\*, Gliosca L, Jewtuchowicz V, Mauriño N, Rosa AC.

Cátedra de Microbiología. Facultad de Odontología. Universidad de Buenos Aires.

PO1001

Las modificaciones microbiológicas e inmunológicas en los pacientes periodontales podrían crear un medio ecológico rico y diferente para la microbiota habitual y para la oportunista. La pulpa dental y la región periapical provee un hábitat selectivo para el establecimiento de una microbiota compleja incluyendo microorganismos aerobios y anaerobios. Nosotros estamos interesados en los hongos, especialmente especies de *Candida* en pacientes con procesos periapicales crónicos, por la importancia clínica de las candidiasis. **OBJETIVO:** evaluar la prevalencia de *Candida* spp en pacientes con procesos periapicales crónicos. **MÉTODOS:** 32 pacientes con enfermedad periodontal y procesos periapicales mayores a 2 mm. Se realizaron evaluaciones periodontales. Se dividió a los pacientes en dos grupos: apicectomía y extracción. Se tomaron muestras microbiológicas de las mucosas, las bolsas periodontales, la encía y el proceso periapical. **RESULTADOS:** en las muestras del grupo extracción las bacterias pigmentadas fueron las halladas más frecuentemente y luego *Candida* spp. En el grupo de apicectomía las bacterias anaerobias Gram - fueron las halladas más frecuentemente y fue difícil aislar *Candida* spp. *Candida* spp fueron comparadas en los distintos sitios de toma de muestra, encía, bolsa periodontal del diente a tratar y el homólogo contralateral. No se hallaron diferencias estadísticamente significativas entre los dos tratamientos en los aislamientos de *Candida*. Dentro de las especies *C. albicans* fue la más frecuente con el 15%. **CONCLUSION:** *Candida* spp participa en la enfermedad periodontal y a través de este camino podría diseminarse desde la bolsa periodontal al resto del organismo.

Palabras Clave: proceso periapical, *Candida*, cirugía.

# 228

PO10002

## NO PRESENTADO

# 229

PO10009

## ESTUDIO DE LA EVOLUCION CLINICA DE CELULITIS ODONTÓGENAS EN NIÑOS. EFECTIVIDAD TERAPEUTICA.

Márquez F\*<sup>1</sup>; Caro J.<sup>1</sup>; Delgado A.M.<sup>1</sup>; González Páez M<sup>1</sup>, Belluni C.<sup>1</sup>; D'Urso M<sup>2</sup>.  
Gabinete de Investigación Hospital del Niño Jesus1. Cat. de Bioestadística Facultad de Medicina UNT.2

**OBJETIVO:** Estudiar la evolución clínica de pacientes pediátricos del Servicio de Odontología del Hospital del Niño Jesús de Tucumán, con diagnóstico de celulitis facial odontógena y evaluar la efectividad de los protocolos implementados. **MÉTODOS:** Se realizó un estudio analítico de corte transversal. Se relevaron 154 Historias Clínicas (HC) en el periodo Enero - Agosto de 2009, con diagnóstico de celulitis facial odontógena, clasificadas en Leve (CL), Moderado (CM) y Severo (CS). En los pacientes con Celulitis Leve y Moderadas, se siguió el protocolo (P1) por vía oral durante 7 días (amoxicilina-acido clavulánico y/o azitromicina+ibuprofeno) y tratamiento local. En los casos con CS, se indicó la hospitalización y se siguió el protocolo (P2) (ceftriaxona y/o clindamicina+diclofenac), administrado por vía parenteral y tratamiento local. Se relevó edad, sexo, días de internación, remisión de la celulitis, patologías sistémicas, elementos dentarios causales. Se realizó análisis descriptivo y de asociación mediante test de chi cuadrado y Kruskal-Wallis. **RESULTADOS:** El 51% (79) de los pacientes eran de sexo masculino, con un rango de edad entre 1 y 14 años, divididos en Grupo I: 1-5 años, 21%; Grupo II: 6-10 años, 58%; Grupo III: 11-14 años 14%. El 75% correspondió a CL; 12% y 13% a CM y CS respectivamente. Del total de HC sólo el 67% (103) alcanzaron el alta. Los casos de CS correspondieron al grupo II (11). El promedio de días de internación fue de 3.5 días, continuando el tratamiento en forma ambulatoria con P1 hasta el alta, con un rango de tiempo entre 3-7 días para la remisión total. Elemento causal: 42% molares inferiores temporarios; 25% superiores temporarios; 23% inferiores permanentes. Se encontró que el tiempo necesario para alcanzar el alta es significativamente diferente entre CL y CS (test Kruskal-Wallis  $p < 0.0001$ ); como así también el tipo de tratamiento con la severidad de la celulitis (test chi cuadrado  $p = 0.0012$ ). **CONCLUSION:** Se evidenció que los protocolos implementados en pacientes ambulatorios e internados fueron efectivos en los diferentes niveles de severidad de celulitis, que la evolución clínica es acorde a la gravedad de la patología odontológica y al cumplimiento de la prescripción farmacoterapéutica.

Palabras Clave: Celulitis, antibioticoterapia, niños.

# 230

PO10004

## INCIDENCIA DE LA EXTRACCIÓN DEL PRIMER MOLAR INFERIOR PERMANENTE EN LOS RUIDOS ARTICULARES.

María Julia López Vallejos, Carlos Eduardo Buffil y María Mercedes González.  
Facultad de Odontología de la Universidad Nacional del Nordeste.

**OBJETIVO:** Establecer si la extracción del primer molar inferior incide en la presencia de ruidos articulares. **MÉTODOS:** Se trata de un estudio descriptivo, transversal en la Cátedra de Cirugía Buco-Máxilo-Facial. Se trabajó mediante el examen clínico-observacional con 52 pacientes, del total de 100 que formarán parte de la muestra. El universo está compuesto por pacientes que concurren a la Cátedra mencionada, originarios de varios puntos de la ciudad de Corrientes Capital. La muestra se dividió en dos grupos. El primero, integrado por pacientes con ausencia del primer molar inferior permanente, que no debe ser menor a 5 años, y no deben faltar más de cuatro piezas dentarias en boca. En el segundo grupo se incluyeron pacientes que conservan el primer molar inferior permanente y que no presentaron ausencia de más de cuatro piezas dentarias. Se excluyeron de la muestra a mujeres embarazadas, pacientes que presenten más de cuatro extracciones dentarias en boca, con prótesis fija y parcial removible y aquellos que presentaron patologías de orden sistémico. Se les confeccionó una Historia Clínica, se explicó el motivo del estudio y se pidió su aceptación para formar parte de él, mediante la firma del consentimiento informado. **RESULTADOS:** De los 52 pacientes observados se registraron los siguientes datos, fueron examinados 22 varones (43,3%) y 30 mujeres (57,6%). De los primeros molares ausentes predomina el 46 (primer molar inferior derecho) observándose ausente en un 69, 18 % en los varones y 86,36% en las mujeres. Las piezas dentarias que se toman en cuenta son: primer molar inferior permanente derecho (46) y primer molar inferior permanente izquierdo (36) y la no ausencia de los mismos. Hasta el momento la pieza dentaria que se extrajo con mayor frecuencia es el 36, con un 36%, sin embargo no hay una marcada diferencia con el 46 que se encuentra ausente en un 31%. **CONCLUSION:** hasta ahora se puede determinar que la ausencia del primer molar inferior permanente incide en los ruidos articulares.

Palabras Clave: ruidos articulares- ATM- primer molar.

# 231

PO10005

## UTILIZACION DE POLIDOCANOL EN EL TRATAMIENTO DE NEOPLASIAS Y MALFORMACIONES VASCULARES. PRESENTACION DE PROTOCOLO DE TRATAMIENTO Y RESULTADOS PRELIMINARES.

Federico Stolbizer\*, Néstor R. Mauriño, José Luis Ferrería, Graciela Giannunzio, Fabián Blasco, Peláez Anabel. Cátedra de Cirugía y Traumatología BMF III - Facultad de Odontología – UBA.

Para el tratamiento de neoplasias y malformaciones vasculares se utilizan la escleroterapia, laser, criocirugía, embolización y cirugía, entre otras. la primera es una técnica sencilla, económica y conservadora utilizada para disminuir el tamaño de la lesión, lograr su remisión total o como coadyuvante de la técnica quirúrgica disminuyendo el riesgo de hemorragia incontrolable. Los agentes esclerosantes mas utilizados y que encontramos en la literatura internacional son el polidocanol y oleato de etanolamina, pero ninguno de ellos es empleado bajo protocolo estandarizado como tampoco hay estudios que confirmen o no su eficacia. por este motivo realizamos un protocolo de tratamiento de estas lesiones con polidocanol como agente esclerosante y evaluamos los resultados preliminares obtenidos. **OBJETIVO:** realizar una evaluación parcial de los resultados obtenidos de la aplicación del protocolo de tratamiento. **MÉTODOS:** se utiliza a agentes esclerosante en dosis y concentraciones establecidas según el tamaño de la lesión y calibradas según dosis utilizadas en el tratamiento de varices y varicosidades. **RESULTADOS:** la utilización de polidocanol nos permite obtener disminución y fibrosis de la lesión. **CONCLUSIÓN:** esta evaluación preliminar nos permite identificar la evolución de la lesión pero debemos continuar con nuestro estudio para comprobar su eficacia y realizar su calibración.

Palabras Clave: agentes esclerosantes, hemangiomas, polidocanol.

# 232

PO10006

## APLICACIÓN DEL GEL DE DIGLUCONATO DE CLORHEXIDINA AL 0,12% PARA LA PREVENCIÓN DE ALVEOLITIS EN LA EXTRACCIÓN DEL TERCER MOLAR INFERIOR NORMALMENTE ERUPCIONADO. Gilligan Jorge, Ulfohn Adrián, Spadilero de Lutri Mirta, Alcazar Viviana\*, García Fernando, Bononi Lucas, Peralta de Elías Nicolás, Greco Mauricio, Lenher Rosales Enrique, Malatesta César, Ratti Mauricio, Fiore Alejandro. Cátedra de Cirugía II"B". Facultad de Odontología de Córdoba. UNC.

La extracción de terceros molares inferiores normalmente erupcionados es una práctica odontológica común llevada a cabo en los consultorios. Este como la mayoría de los tratamientos quirúrgicos conlleva riesgos. La alveolitis es un riesgo mediano en el proceso de cicatrización post-extracción, producida por el desprendimiento, fragilidad y lisis del coágulo que conduce a la infección del alvéolo. De etiología aún hoy desconocida. La principal arma terapéutica es la prevención. Por esto empleamos el gel de digluconato de clorhexidina al 0,12% con el propósito de prevenir la alveolitis mediante la colocación sobre el alvéolo post-extracción del tercer molar inferior normalmente erupcionado. **OBJETIVO** General: Búsqueda de medidas preventivas a la aparición de la alveolitis. **Objetivos Específicos:** A) Establecer la acción profiláctica o no del gel de digluconato de clorhexidina al 0,12% como preventivo de alveolitis post-extracción del tercer molar inferior normalmente erupcionado. B) Controlar clínicamente el proceso de cicatrización post-extracción, a través de un protocolo preestablecido. **MÉTODOS:** Presentamos un estudio clínico, prospectivo, sobre 26 pacientes que concurren espontáneamente a los consultorios de la Cátedra de Cirugía II"B". Post-extracción de un tercer molar inferior normalmente erupcionado se aplicó sobre el alvéolo gel de digluconato de clorhexidina al 0,12% y valoramos la aparición o no de alveolitis. **RESULTADOS:** No encontramos desarrollo de alveolitis entre los pacientes tratados. **CONCLUSIÓN:** Pensamos que el uso del gel de digluconato de clorhexidina al 0,12% post-extracción mejora el proceso de cicatrización del alvéolo. Consideramos a este trabajo como un estudio piloto base para otras investigaciones con muestras más grandes y a doble ciego o comparando en el mismo paciente al que se le realicen sendas extracciones una con gel y la otra no.

Palabras Clave: clorhexidina, alveolitis, prevención.

# 233

PR1001

## RESPUESTA ÓSEA ALVEOLAR EN UN MODELO DE INTOXICACIÓN CON PLOMO Y PERIODONTITIS EXPERIMENTAL.

Responsable: Mitre P. Tutor: Garat J.

Cátedras de Histología y Farmacología y Terapéutica. FOUNT.

**OBJETIVOS:** El objetivo del presente proyecto es evaluar los efectos de la intoxicación con plomo en hueso alveolar con enfermedad periodontal experimental, usando parámetros histomorfométricos. **MÉTODOS:** Se usarán ratas Wistar de 250grs de peso asignadas a uno de los siguientes grupos: Grupo I: Control (sin tratamiento); Grupo II: Intoxicadas con plomo; Grupo III: Periodontitis; Grupo IV: Intoxicadas con Plomo y periodontitis. Los animales recibirán dieta dura convencional ad limitum y serán sacrificados a los 30 días de experiencia. La intoxicación se logrará con acetato de plomo disuelto en agua desionizada en cantidad suficiente para lograr una concentración de 1000 p.p.m. en el agua de bebida. Se adicionará ácido acético en una concentración de 0.00125 % para permitir la disolución del mismo. El agua de bebida del grupo control contendrá igual concentración de ácido acético. La enfermedad periodontal será provocada mediante la colocación bajo anestesia de una ligadura de hilo de algodón en el cuello del primer molar inferior de la rata. Luego del sacrificio las mandíbulas serán fijadas en formol buffer y procesadas según técnica para inclusión en parafina, previa descalcificación en EDTA al 10%. Se realizarán cortes orientados mesiodistales del primer molar inferior y se colorearán con hematoxilina eosina. Los siguientes parámetros en el tercio cervical del hueso interradicular serán analizados en los grupos control y experimentales según los principios de la estereología: 1.- Porcentaje de superficie de formación ósea (osteoblastos / superficie total X 100). 2.- Porcentaje de superficie de reabsorción ósea (reabsorción / superficie total X 100). 3.- Porcentaje de superficie de reposo (lining cells / superficie total X 100) 4.- Número de osteoclastos. 5.- Volumen óseo (volumen trabecular / volumen óseo total). 6.- Pérdida ósea (HEP/HEI X 100). Donde: HEP: Altura del espacio periodontal comprendido entre la cresta ósea interradicular y la furcación de las raíces mesial y distal. HEI: Altura total del espacio interradicular. Los datos recolectados se analizarán con métodos estadísticos convencionales.

Palabras clave: Periodontitis experimental-Intoxicación con plomo-Histomorfometría ósea.

# 234

PR1002

## EL ROL DE LOS HUESOS DEL CARPO COMO INDICADOR BIOLÓGICO DE LA MADURACIÓN ESQUELETAL. SU RELACIÓN CON EL ESTADO NUTRICIONAL.

Responsable: Romero Susana\*. Tutor: Garat J\*\*.

Sala de Rayos X\*, Cátedra de Histología\*\*. FOUNT.

La madurez ósea se determina por el grado de mineralización de los huesos que la forman, y por eso es usual el pedido del estudio radiográfico carpal, La mayoría de los métodos de valoración ósea, han utilizado par su elaboración, radiografías de niños normales sanos (eutróficos). Clínicamente muchos individuos están fuera de los límites de estos métodos. **OBJETIVOS:** a) Determinar el grado de desarrollo y maduración de los huesos del carpo, como indicador biológico de la maduración esquelética, a través del diagnóstico radiográfico. b) relacionar la edad cronológica con la edad ósea en niños de ambos sexos, según el estado nutricional. **MÉTODOS:** El diseño de esta investigación clínica será observacional, analítico de corte transversal. La población estará constituida por niños de 6 a 9 años de ambos sexos. Se tendrá en cuenta las siguientes variables dependientes de factores externos: a) organización familiar; b) nivel de educación de la madre; c) servicio de agua potable; d) cobertura de obras sociales; e) ocupación del jefe de familia; f) hogares con hacinamiento. Para la valoración de la maduración ósea, se estudiarán los signos radiográficos del Desarrollo y Calcificación del Carpo basándose en el método Planimétrico: utilizando el tamaño o la superficie de determinados huesos carpianos de acuerdo a la edad cronológica, siguiendo el orden de aparición de los mismos. Se evaluará radiográficamente los siguientes parámetros: 1) morfología ósea, 2) superficie articular, 3) comienzo del desarrollo óseo; 4) presencia de placas cartilaginosas, 5) Grado de densidad ósea, 6) Grado de fusión de los huesos carpianos con otros huesos de la mano. Se calculará las medidas de tendencia central e intervalos del 95% de confianza y se hará un análisis de asociación mediante test de comparación de medias (test t y /o ANOVA), comparación de medianas (test Mann-Whitney, test Kruskal-Wallis) y coeficiente de reproducibilidad R. Se pedirá el consentimiento informado a los padres y /o tutores de los niños.

Palabras clave: Radiografía Carpal-Desnutrición-Salud Pública

# 235

PR1003

## USO DE AGENTES REMINERALIZANTES PARA PREVENCIÓN DE CARIES EN PACIENTES SOMETIDOS A RADIOTERAPIA DE CABEZA Y CUELLO.

Responsable: Bolesina Nicolás Jorge. Tutor: Morelato Rosana.

Facultad de Odontología, Universidad Nacional de Córdoba, Cátedra de Clínica Estomatológica B, Cátedra de Materiales Dentales.

**OBJETIVO:** Evaluar la acción de dos agentes remineralizantes en pacientes con cáncer de C y C, previo al tratamiento, durante y luego de finalizada la RT. Comparar su efecto con otras soluciones usadas con anterioridad. **MÉTODOS:** Serán incorporados aquellos pacientes con diagnóstico de tumores de cabeza y cuello (C y C) que requieran tratamiento radioterápico (RT), con o sin quimioterapia (QT) complementaria. A todo lo pacientes se les determinará riesgo de caries (pH y vol. Min. salival recuento de St, momentos de azúcar). Se confeccionará Historia clínica completa índice de placa, odontograma Índices de CPO CPOD, se solicitará ortopantomografía-rx periapicales, modelos. A todos los pacientes se los instruirá sobre técnica de cepillado, se indicará el uso de Saliva artificial y colutorios de Clorhexidina. Serán asignados al azar a 2 grupos: G1: aplicación diaria de 5' de fluoruro de Na al 1.1%\*. G2: aplicación diaria de 5' de pasta de caseinato + fosfato amorfo de Ca\*.

Resultados esperados: obtener mejor respuesta en alguno de los grupos. Adecuar un protocolo preventivo y terapéutico a las posibilidades de los pacientes de nuestro medio. Proveer a los pacientes una mejor calidad de salud bucal para limitar el daño producido por la RT.

Palabras clave: Caries de radiación, prevención, remineralización percepción referida al componente bucal de la salud.

# 236

PR1004

## ANÁLISIS DE LAS CARACTERÍSTICAS HISTOPATOLÓGICAS DEL ÓRGANO CEMENTO-DENTINO-PULPAR EN DIENTES CON ENFERMEDAD PERIODONTAL SEVERA.

Responsable: Almirón María Silvia. Tutor: Vallejos Arnaldo Rafael. UNNE

Facultad de Odontología- Cátedra Anatomía Patológica- Servicio de Anatomía Patológica.

**OBJETIVOS:** -Determinar las alteraciones histopatológicas del órgano cemento-dentino pulpar en dientes con enfermedad periodontal severa que presenten movilidad dentaria tipo II o Tipo III al momento de la extracción. -Establecer las alteraciones histopatológicas que presente la dentina, el cemento y tejido pulpar. -Analizar y Describir con criterios morfológicos, citológicos e histológicos las diferentes lesiones encontradas en el tejido pulpar. -Categorizar y relacionar las diferentes lesiones de acuerdo al sexo, edad y tipo de pieza dentaria. **MÉTODOS:** Tipo de diseño: Descriptivo-Analítico. Se recolectaran aproximadamente 100 piezas dentarias de pacientes diagnosticados clínicamente con enfermedad periodontal severa y en los cuales esté indicada la extracción dentaria por presentar movilidad al momento de la extracción y 100 piezas dentarias sin enfermedad periodontal como grupo control. Se discriminarán en distintos grupos de acuerdo al sexo, edad y tipo de pieza dentaria. Criterios de inclusión: Piezas dentarias sin caries diagnosticadas clínicamente con enfermedad periodontal severa que presenten movilidad dentaria tipo II y III con indicación de extracción. Pacientes ambulatorios, de 20 a 80 años y de ambos sexos. Criterios de exclusión: Piezas dentarias diagnosticadas clínicamente con enfermedad periodontal que presentan movilidad dentaria pero sin indicación de extracción. Pacientes internados. Piezas dentarias con enfermedad periodontal que presentan movilidad dentaria y cavidad de caries o con algún tipo de restauración. La recolección de las piezas dentarias se realizará en diferentes Centros de Salud de la Provincia de Corrientes; previo consentimiento informado del paciente. Después de ser extraída se colocarán las piezas dentarias en frascos con formol al 10% con su respectivo protocolo de biopsia. Previa descalcificación con ácido nítrico al 7% e inclusión en parafina se realizará coloración Hematoxilina- Eosina. A nivel de microscopía óptica se evaluará con criterios morfológicos, histológicos y citológicos el tejido cemento-dentino-pulpar. Se discriminarán de acuerdo al tipo de pieza dentaria y se lo relacionará con la edad y el sexo. Los hallazgos se volcarán en una planilla ad hoc y se aplicará bioestadística.

Palabras clave: Enfermedad periodontal-histología-patología dentaria

# 237

## ESTUDIO MORFOLÓGICO DE LA SILLA TURCA EN LA TELERRADIOGRAFÍA CEFALOMÉTRICA LATERAL.

Responsable: Subiran B.T. Tutor: Hetch, J.P.

PR1005

Cát.de Radiología de la Universidad de Buenos Aires.

**OBJETIVO:** demostrar el valor de la Telerradiografía Cefalométrica para correlacionar la morfología de la silla turca con: el crecimiento esquelético de los maxilares, el desarrollo alveolar, la oclusión e índices anátomo-antropológicos. **MÉTODOS:** Telerradiografías cefalométricas laterales tomadas con vertical verdadera en equipo Cranex Tome con valores estándar de acuerdo a medidas antropométricas del paciente. Negatoscopio. Lupa. Medios de radioprotección paciente-operador. Procesadora A/T 2000. Películas y pantallas intensificadoras de tierras raras marca Kodak. Compás de punta seca. Cinta metálica milimetrada. Cámara fotográfica digital de 4 mega píxeles, marca Nikon. Dispositivo creado para la medición cráneo-mandibular.: estativo "ad-hoc". Hoja de datos de doble entrada a 10 columnas Microsoft office Excel. 1) Mediciones: A) Sobre paciente: Parámetro cefálico: perímetro a la altura del reborde orbitario superior y protuberancia occipital externa (M1). A1) Parámetro vertical: punto extremo inferior de la sínfisis mentoniana a punto más alto de la calota craneal con dispositivo "ad hoc" con paciente descalzo y en oclusión céntrica (M2). A2) Parámetro abdominal: perímetro a nivel umbilical (M3). A3) Peso: balanza de precisión (M4). B) Medidas sobre la teleradiografía: B1) Interclinoidea distancia entre corticales internas de las clinoides anterior y posterior, representada por un segmento (M5). B2) Altura de la silla: perpendicular desde el segmento (M5) que une las apófisis clinoides hasta la cortical interna del punto más declive del piso de la silla turca., segmento (M6). 2) Formas de la silla turca: "U", "J", Aplanada. 3) Observación clínica de la relación molar: normo relación, mesio-relación, disto-relación. 4) Hipótesis de trabajo: Hipótesis 1: Las anomalías de crecimiento y desarrollo dentomaxilares están asociadas a cambios morfológicos de la silla turca. Hipótesis 2: Las distintas morfologías de la silla turca están relacionadas con cambios anátomo-antropométricos.

Palabras clave: silla turca- telerradiografía- antropométrico

# 238

## VALORACION DEL DIAGNOSTICO POR IMAGENES EN LA A.T.M. EN PACIENTES CON ARTRITIS REUMATOIDEA.

Responsable: Rhys Karen Vanesa. Tutor: Busamia Beatriz.

PR1006

Lugar de Trabajo: Cátedra de Fisiología, Facultad de Odontología; U.N.C. Servicio de Reumatología, Hospital Córdoba. Servicio de Radiología. Sanatorio Allende, Córdoba, Argentina.

La artritis reumatoidea es una enfermedad autoinmune que produce alteraciones articulares con manifestaciones dolorosas, razón por la cual el paciente se encuentra ampliamente medicado. Afecta sobre todo articulaciones periféricas, principalmente manos y pies. En este contexto, los primeros síntomas de patologías relacionadas con la A.T.M quedan enmascarados, por lo que el enfermo relata alteraciones cuando la mecánica está francamente afectada. El diagnóstico por imágenes, en pacientes que aún no acusan síntomas clínicos, demuestra estados graves de lesiones óseo articulares (erosiones de las zonas corticales condilares, desgastes marcados del tubérculo del hueso temporal, disminución del espacio interarticular) que podrían haber sido atenuadas de haber efectuado un estudio más específico y exacto previamente. **OBJETIVO:** Avanzar en una metodología que permita el diagnóstico precoz de patologías que afectan la A.T.M. en artritis reumatoidea, de manera de disminuir los efectos deletéreos de las mismas. **MÉTODOS:** Se analizarán pacientes que concurren al Servicio de Reumatología del Sanatorio Allende y Hospital Córdoba, distribuidos en los siguientes grupos experimentales: 1- Controles sanos. (C) 2- Pacientes con diagnósticos de artritis reumatoidea apareados por sexo y edad. (AR). Luego del consentimiento informado, se realizará un examen clínico de la cavidad bucal, con especial énfasis en ATM. Se realizaran ecografías "power" de alta resolución, ortopantomografías y condilografías bilaterales a boca abierta y boca cerrada. Estos métodos constituyen importantes marcadores orientativos e inoocuos que permitirán la prevención de patologías que afecten la A.T.M.

Palabras clave: Artritis Reumatoidea, A.T.M., Diagnóstico por Imágenes.



# 239

PR1007

## ESTADO BUCAL DE PACIENTES BAJO TRATAMIENTO CON BIFOSFONATOS.

Responsable: Bachmeier E., Esper M, Calafel M, Menso J, Missana Liliana. Tutor: López de Blanc S.

Anatomía Patológica UNTucumán, Clínica Estomatológica B. Facultad de Odontología UNC. Servicio de Oncohematología del Hospital Nacional de Clínicas.

Los bifosfonatos son fármacos que se comportan como inhibidores específicos de la actividad osteoclástica, siendo ampliamente utilizados en la actualidad para el tratamiento de la osteoporosis, de las metástasis óseas de tumores de mama, próstata y pulmón, así como también de la hipercalcemia maligna. A partir el año 2003 se comenzó a publicar en la literatura la relación existente entre osteonecrosis de los maxilares y alteraciones en la mucosa bucal en dichos pacientes. **OBJETIVO:** Evaluar características clínicas de la cavidad bucal y de la saliva en pacientes tratados con bifosfonatos por vía oral y endovenosa. Analizar la prevalencia de lesiones estomatológicas y de complicaciones bucales durante el tratamiento con estas drogas. Analizar el estado periodontal. Aplicar un protocolo preventivo y estudiar la evolución de los pacientes. **METODOS:** Se estudiarán dos grupos de pacientes GE: Grupo A: Pacientes oncológicos que son tratados con bifosfonatos por vía endovenosa. Grupo B: pacientes menopáusicas tratadas con bifosfonatos por vía oral para la prevención de osteoporosis. Los pacientes serán agrupados según patología de base, tipo, dosis y tiempo de tratamiento con bifosfonatos. Se tomará como grupo control a pacientes oncológicos y a pacientes menopáusicas que nunca hayan recibido tratamientos con bifosfonatos, apareados por sexo y edad. Se les confeccionará historia clínica completa, incluyendo ficha periodontal y CPOD, solicitaremos Rx panorámica y análisis de laboratorio. Se realizará toma de saliva basal y estimulada para análisis de flujo salival, proteínas totales e ionograma. Se realizará toma citológica de la mucosa clínicamente sana de los pacientes del grupo de estudio y grupo control. En los casos que se disponga material de tejido óseo se realizará el análisis morfométrico, y luego se correlacionará con las variables clínicas y de laboratorio, analizando ambos grupos. Se aplicará el ANOVA en bloque para analizar los resultados obtenidos.

Palabras clave: bifosfonatos, mucosa bucal, CPOD, cáncer, metástasis.

# 240

PR2001

## EVALUACIÓN "IN VITRO" DE LA DIFUSIÓN DE YODO Y CALCIO DE UN BIOMATERIAL PARA OBTURACIÓN ENDODÓNTICA.

Responsable: Sabaté RE. Tutor: Maresca, BM.

Cátedra de Materiales Dentales. FOUBA.

Siguiendo los paradigmas del siglo XXI, proponemos una endodoncia regenerativa cuyo éxito se mide por la dinámica de los tejidos del complejo ápico periradicular a los cuales debemos estimular buscando la integración con la materia viva y la función, y lograr la regeneración in situ de los tejidos ayudados por la acción medicamentosa de biomateriales de 3° generación que actúen en el conducto radicular, en conductillos dentinarios, en su área de influencia y en el mismo foco lesional, alterando el ecologismo bacteriano y modulando la respuesta de células inmunocompetentes para eliminar selectivamente microorganismos y estimular las defensas y la reparación de los tejidos. Los elementos a nivel molecular en la obturación que utilizamos en nuestra terapéutica medicamentosa son el calcio y el yodo. **OBJETIVO:** verificar y caracterizar la liberación controlada y sostenida de calcio y yodo de un biomaterial de 3° generación en medio acuoso a una proporción de microesferas de alginato de calcio (MAC) que no altera el comportamiento reológico del material de obturación endodóntico, in vitro, en raíces de piezas dentales ex vivo. En base a los datos obtenidos establecer una unidad de pasaje de calcio y yodo. **METODOS:** preparación de la formulación LICOND incorporando MAC a la pasta de Maisto (PLRM). Se empleará un diseño caso-control. Se emplearán 240 piezas dentales cadavéricas humanas preparadas quirúrgicamente y obturadas con PLRM y formulación LICOND. Se utilizará un modelo de difusión unicompartimental en medio líquido a temperatura constante y se medirán las concentraciones de calcio y de yodo en el medio de difusión a 0, 1, 2, 7, 10, 15, 21, 30, 45 y 60 días, se determinarán el flujo y la densidad de flujo del forámen y conductillos para calcio y yodo y se analizará la influencia del pH del medio de difusión. El calcio se determinará por espectrofotometría y el yodo con un electrodo ión selectivo. Los datos obtenidos se expresarán como  $X \pm ES$ . La diferencia entre medias de grupos se estudiará a través del test t de Student con un nivel de significación de  $p < 0,05$ . El ajuste de curvas y la obtención de parámetros de interés (liberación máxima, tiempo medio y velocidad de liberación para los iones en estudio) se llevarán a cabo a través del método de Gauss-Newton.

Palabras clave: calcio, yodo, materiales de obturación endodóntica.

# 241

PR4001

## ALTERACIONES FISIOPATOLÓGICAS EN GLÁNDULAS SUBMADIBULARES DE RATAS CON INGESTA CRÓNICA DE ALCOHOL.

Responsable: Mariani, María Catalina. Tutor: Finkelberg, Ana Beatriz.  
Cátedra de Fisiología. Facultad de Odontología. UNC.

La saliva juega un importante rol en el mantenimiento de la homeostasis sistémica y local. El Alcoholismo, denominación que incluye trastornos muy diversos, acarrea graves consecuencias socio sanitarias y económicas, con elevada prevalencia en nuestro país. En las personas alcohólicas, se producen alteraciones de la homeostasis del sistema estomatognático, pudiendo provocar xerostomía con consecuencias tanto a nivel de tejidos duros como blandos, tales como: caries, candidiasis, periodontitis estomatitis, halitosis, disgeusia, entre otras. **OBJETIVO:** Identificar los efectos fisiopatológicos, producidos por el consumo crónico de alcohol en glándulas submandibulares(GSM) de ratas Wistar machos, lo que permitirá avanzar en el conocimiento de efectos deletéreos del alcohol en la cavidad bucal. **MÉTODOS:** Se utilizarán ratas Wistar machos, de un mes de edad, con un peso de 200 a 250 gramos con temperatura y fotoperiodo controlado. Se separaran los siguientes grupos experimentales a) Controles: con alimentación ad libitum y libre acceso al agua de bebida b) Animales con dieta ad libitum, con agua de bebida con endulzante + 5% de etanol, aumentando hasta el 10%, durante un periodo de cuatro meses. Se controlará el peso corporal y la ingesta de comida y bebida. c) Animales con dieta apareada, según la cantidad promedio que ingiere el grupo tratado con alcohol y como bebida una solución isocalórica a la del grupo b). En los diferentes grupos se analizará: 1- Flujo salival Se tomará un lote de cada grupo, que se anestesiaron con Ketamina/Xilacina según peso corporal. Se aislarán los conductos de las glándulas submandibulares izquierda y derecha, canalizándolos según técnica original modificada. La secreción será inducida por la administración ip conjunta de 5mg/Kg. peso corporal de isoproterenol y pilocarpina 2- Composición salival: Se determinarán algunos componentes orgánicos e inorgánicos 3- Se evaluará el efecto de dosis crecientes de agonistas simpáticos y parasimpáticos sobre el flujo salival 4- Estudio de las (GSM): Se analizarán los niveles de glucógeno glandular por el método de Joham y Lentini. 5- Estudios histomorfométrico.

Palabras clave: alcoholismo, salud bucal, glándulas salivales.

# 242

PR4002

## ALTERACIONES FISIOPATOLÓGICAS EN SALIVA Y MANIFESTACIONES ODONTOESTOMATOLÓGICAS DE PACIENTES SOMETIDOS A TRANSPLANTE DE MEDULA OSEA (TMO).

Responsable: Bachmeier Evelin. Tutor: Ana Finkelberg.  
Cátedra de Fisiología. Facultad de Odontología.

Gran número de pacientes sometidos a altas dosis de quimioterapia durante el acondicionamiento para TMO manifiestan alteraciones en la mucosa oral, en los tejidos periodontales y disfunciones de las glándulas salivales. **OBJETIVO:** Evaluar diferentes parámetros de salud oral en pacientes sometidos a TMO. Analizar las alteraciones físico-químicas de la saliva y su posible correlación con distintas manifestaciones orales. Correlacionar la incidencia y severidad de la mucositis oral con los distintos esquemas terapéuticos utilizados. Correlacionar la prevalencia y el tipo de lesiones estomatológicas con cambios inmunológicos a nivel sistémico y salival. Detectar metabolitos de citostáticos en saliva. **MÉTODOS:** Se realizará un estudio observacional longitudinal sobre pacientes que ingresen al Servicio de Oncología del Sanatorio Allende (Córdoba) durante el periodo 2009-2011, con indicación de TMO. El estudio comprenderá tres etapas: Inicial: previa al acondicionamiento para TMO; Intermedia: entre el séptimo y décimo día posterior al TMO. Final: treinta días posteriores al egreso del aislamiento. Luego de firmar el consentimiento informado, se realizará la Historia Clínica, el examen clínico de la cavidad oral, y recolección de saliva basal y estimulada. Luego del procesamiento, las muestras de saliva serán sometidas a análisis de componentes orgánicos e inorgánicos. El sedimento salival se analizará con microscopía electrónica de barrido y difracción de rayos x para evaluar posible existencia de metabolitos de la droga.

Palabras clave: TMO, saliva, quimioterapia.

# 243

PR4003

## APLICACIÓN DEL ANÁLISIS BIOQUÍMICO EN SALIVA TOTAL PARA LA DETERMINACIÓN DEL ESTADO INMUNOLÓGICO DE PACIENTES HIV/SIDA.

Responsable: María Karina Salúm. Tutor: María Elena López

Cátedra de Química Biológica. Facultad de Odontología. UNT.

**OBJETIVO:** Seleccionar marcadores bioquímicos en Saliva Total (ST) de pacientes HIV/SIDA que diferencien el estadio inmunológico. **MÉTODOS:** A) Registro de aspectos clínicos de pacientes infectados e individuos control y toma de muestras de ST. Las muestras de saliva total sin estimulación serán recogidas durante 15 min. Una vez recolectadas, serán centrifugadas y conservadas a -15 °C, hasta el momento de sus determinaciones químicas. B) Determinaciones bioquímicas en ST de: pH, Volumen, Capacidad Buffer (Método de Ericson), Proteínas (Método de Lowry), Mucinas (Método de Folin-Cicolteau), Peroxidasa (Método de Manson-Raetmula), Hidroxiprolina (Método de Jamall), Calcio (Kit Wiener), Fósforo (Kit Wiener) Ig A (Inmunodifusión Radial), Electroforesis en geles de poliacrilamida (SDS-PAGE), Colagenasa (Zimografía). C) Determinación del virus HIV por Elisa. D) Detección de virus HIV por PCR. E) Comparación de los métodos determinados en ST de pacientes HIV/SIDA y grupo control. F) Aplicación de métodos estadísticos sobre los resultados. Criterios de inclusión: los individuos serán clasificados en dos grupos: Grupo Enfermo (E) pacientes con HIV/SIDA, Grupo Control (C) pacientes sin infección por HIV. Los individuos control serán seleccionados de los pacientes atendidos en el Centro Odontológico de la Facultad de Odontología Universidad Nacional de Tucumán (UNT). También se trabajará con pacientes HIV/SIDA que asisten a los servicios públicos de la ciudad de San Miguel de Tucumán (se calcula poder recoger alrededor de 100 muestras de ST y FGC). Se elegirán pacientes ambos sexos, adultos jóvenes edades comprendidas entre 18 y 55 años de edad. De acuerdo al estadio inmunológico serán subdivididos según el recuento de CD 4 en: 1- >500 cél/μl, 2- 500-200 cél/μl y 3- <200 cél/μl. Criterios de exclusión: no se incluirán en la población individuos con enfermedades inmuno supresoras tales como diabetes, historia de transplantes, con leucemia o alguna enfermedad de la serie blanca sanguínea, tumores malignos, enfermedades tiroideas, con patologías de glándulas salivales previa a su diagnóstico de HIV, pacientes que consuman diariamente algún medicamento que ocasionen disminución del flujo salival. La metodología a emplear para llevar a cabo las tomas de muestras de ST, fueron estudiadas y aprobadas por los Comité de Ética de los Hospitales Padilla y Centro de Salud de la Ciudad de San Miguel de Tucumán.

# 244

PR5001

## MICROORGANISMOS PERIODONTOPATÓGENOS Y SURELACIÓN CON LA ENFERMEDAD PERIODONTAL.

Responsable: Silvia Ortega. Tutor: Rodríguez Victoria J.

Departamento de Estomatología Clínica y Quirúrgica.

**OBJETIVO:** Determinar la presencia de microorganismos periodontopatógenos presentes en la placa subgingival en sujetos sanos y en sujetos con diabetes mellitus y relacionarlos con el grado de enfermedad Periodontal. **MÉTODOS:** estudio observacional, transversal. Se seleccionarán 15 sujetos sanos sin enfermedad periodontal, 15 sujetos sanos con enfermedad periodontal y 15 sujetos con diagnóstico de diabetes tipo 1 ó 2 con enfermedad periodontal entre 35 y 65 años de edad, de ambos sexos. Los criterios de inclusión serán pacientes no fumadores, que no hayan recibido terapia antibiótica por lo menos 10 días antes, que no hayan recibido tratamiento periodontal ni tratamiento tópico con antisépticos. Luego del consentimiento informado se realizará historia clínica médica y dental y examen de los tejidos periodontales determinando distintos grados de severidad con el índice de placa, sangrado al sondaje con sonda periodontal; los estadios de enfermedad periodontal se determinarán de acuerdo a la profundidad de sondaje que se realizará con sonda periodontal: leve hasta 4 mm, moderada hasta 6 mm grave más de 6 mm. Se tomarán muestras de placa subgingival de sitios seleccionados con conos de papel absorbente estériles que se dejarán por unos segundos en el surco gingival y se transportarán en medio de cultivo adecuado para su transporte y serán procesadas en el laboratorio de la misma. Para el aislamiento bacteriano se sembrarán las muestras en medios de cultivo enriquecidos como agar tripteína soya con bacitracina y vancomicina (TSBV) y agar Brucella con sangre y vitamina K, colistina y amikacina en técnica anaerobia y anaerobia facultativa con técnica de Scapini y col. Se incubarán durante siete días para permitir la recuperación de anaerobios de lento crecimiento. Las placas se examinarán con lupa para diferenciar las colonias y apreciar sus características. Se detallarán sus características de tamaño, forma, bordes, color, pigmento o hemólisis. Para una identificación presuntiva se observarán colonias con pigmentos negros o rojizos cuya aparición podría darse a los 5 ó 7 días, otra prueba será la fluorescencia a la luz ultravioleta (366 nm); se realizarán pruebas de sensibilidad con discos de antibióticos de vancomicina y colistina. Como identificación definitiva se utilizará la fermentación de carbohidratos.

Palabras clave: Porphyromona gingivalis, Prevotella intermedia, Actinobacillus actinomycetemcomitans.

# 245

PR5002

## REMOCIÓN DEL BARRO DENTINARIO EN EL TRATAMIENTO ENDODONTICO.

Responsable: Basal R, Etchegoyen L, Procacci M, Cantarini M, García Gadda B, García Gadda G. Tutor: Milat, E  
Facultad de Odontología de la UNLP. Cátedra de Radiología y Fisioterapia.

**OBJETIVO:** demostrar la acción del láser de Er. YAG sobre las paredes dentinarias del conducto radicular luego de la preparación biomecánica. **MÉTODOS:** para la ejecución de este proyecto de investigación In vitro se utilizarán 80 incisivos centrales superiores permanentes extraídos por enfermedad periodontal teniendo en cuenta criterios clínicos y radiográficos. Las piezas serán lavadas y desinfectadas con formol al 10%, para luego ser sumergidas en timol al 0,1 % y refrigeradas a 9° °C hasta 24 hs. antes de ser utilizadas. Luego se lavarán durante 24 hs. con agua destilada y se secarán con aire. En una etapa posterior se dividirán en cuatro grupos de cinco unidades cada uno. Al primer grupo se le realizará la apertura de la cámara pulpar, se extraerá el filete, se lavará con hipoclorito al 2,5 % y agua de cal, se secarán con conos de papel. Al grupo 2 se le realizará el mismo procedimiento que al 1 y se instrumentará hasta lima tipo K nº 60., se secará con conos de papel. Al grupo 3 se le realizará el mismo procedimiento que al grupo 2 y se le aplicará el láser de clase IV de Er. YAG con una potencia de 140 mj y una frecuencia de 15 Hz, 300 impulsos con una pieza de mano E-2055 KaVo utilizándose una fibra de 0'373 mm de diámetro la que se introducirá en el interior del conducto hasta la constricción apical del mismo. La irradiación se hará con movimientos helicoidales y continuos de tracción de la fibra óptica en dirección apical cervical durante 20" completando las 300 pulsaciones. El grupo 4 se tratará igual que el anterior, con una frecuencia de 160 mj. Las piezas se marcarán y cortarán para ser observadas al MEB. Se realizará el estudio estadístico.

Palabras clave: barro dentinario, endodoncia, láser Er Yag.

# 246

PR6001

## NIVELES DEL LIGANDO DEL RECEPTOR ACTIVADOR DEL FACTOR NUCLEAR KAPPA-B (RANKL) Y OSTEOPROTEGERINA (OPG) EN FLUIDO CREVICULAR EN PACIENTES CON ENFERMEDAD PERIODONTAL Y TRATADOS.

Responsable: Verde, María Eugenia. Tutor: Grenón, Miriam.  
Cátedra de Periodoncia "A" - Facultad de Odontología - Universidad Nacional de Córdoba.

**OBJETIVO:** Evaluar los niveles de OPG y RANKL en fluido crevicular en pacientes con enfermedad periodontal y comparar sus variaciones antes y después de la terapia básica. **MÉTODOS:** Selección aleatoria de 30 pacientes entre 35-55 años con periodontitis crónica que asisten al consultorio de la Cátedra de Periodoncia "A". Los pacientes seleccionados deberán presentar buen estado de salud general, sin antecedentes de periodontitis agresiva y no deben haber recibido terapia antibiótica o antiinflamatoria ni tampoco tratamiento periodontal, durante un período de 6 y 12 meses respectivamente, previos al inicio de la investigación. Deberán tener un mínimo de 14 dientes naturales con 5 o más sitios con un registro mínimo de profundidad de sondaje (PS) de 5mm y nivel de inserción clínica (NIC) de 3mm. En la primera consulta se confeccionará la historia clínica y se firmará el consentimiento informado. En la segunda cita, se removerá cuidadosamente la placa supragingival con curetas y se aislará con rollos de algodón para reducir al mínimo la contaminación de las muestras, la toma se realizará en los 5 sitios con mayor PS mediante Periopapers, introduciéndolos a 1mm de profundidad durante 30 segundos. La recolección de muestras se realizará en el mismo sitio en tres instancias diferentes, una inicial previa a la obtención de los registros clínicos, una el día de finalizar la terapia básica antes de realizar pulido y topicación con flúor y la última 45 días posteriores al tratamiento. El volumen obtenido de estas será medido con Periotron o por centrifugado y de cada una se analizará el contenido de RANKL y OPG mediante el test de ELISA. Para el diagnóstico periodontal se registrarán presencia de biofilm, hemorragia al sondaje, PS y NIC (en seis sitios por elemento dentario) con sonda periodontal tipo Marquis y estudios radiográficos. Posteriormente, se confeccionará y llevará a cabo el plan de tratamiento adecuado a cada paciente y se repetirán las muestras según lo expresado. Se espera encontrar diferencias significativas entre los tres registros de fluido gingival que permitirá comprender con mayor detalle la etiopatogenia de la enfermedad periodontal y evaluar la posibilidad de utilizar el RANKL y OPG como indicadores del estado de salud-enfermedad periodontal.

# 247

PR7001

## EVALUACIÓN DE INDICADORES CLÍNICOS Y PARÁMETROS SIALOQUÍMICOS Y MICROBIOLÓGICOS EN LA DETERMINACIÓN DE RIESGO CARIOGÉNICO.

Responsable: Bojanich María Alejandra. Tutor: Lescano de Ferrer Alfonsina.

Cátedras Química Biológica B e Integral Niños, Area Odontopediatría B. Facultad de Odontología. Universidad Nacional de Córdoba.

En los últimos años se ha producido un cambio de paradigma en el abordaje de la caries dental desde el criterio mecanicista o quirúrgico hacia el científico o médico, donde se investigan y controlan las causas que llevan a generar la lesión. Se ha incrementado el interés en la aplicación de indicadores clínicos y parámetros sialoquímicos y microbiológicos para la determinación de riesgo cariogénico con finalidad diagnóstica. Esta diversidad de parámetros hace necesario establecer niveles que permitan determinar el aporte real de cada uno de ellos y/o la interacción entre los mismos. **OBJETIVO:** el propósito de este trabajo es determinar, en niños, la relación entre los indicadores clínicos de riesgo cariogénico con los parámetros sialoquímicos y microbiológicos. **MÉTODOS:** la muestra estará conformada por niños de ambos sexos (5 a 8 años) que asistan a la Cátedra de Integral Niños, Facultad de Odontología, UNC. Se dividirá, según criterios clínicos, en dos grupos: bajo riesgo (grupo control) y alto riesgo cariogénico. Se analizarán indicadores clínicos (hábitos alimentarios, higiene oral (Green y Vermillon modificado), presencia de nichos ecológicos, surcos profundos y lesiones de caries en el último año) y los parámetros sialoquímicos (flujo salival, pH, capacidad amortiguadora y proteínas totales) y microbiológicos (recuento de microorganismos, UFC de *Streptococcus mutans*, *Lactobacillus spp* y *Candida spp* por peso de placa dentobacteriana). Estos datos serán recogidos por un período de tres años y serán categorizados y sometidos a tratamiento estadístico (Test t, análisis de correspondencia y OR) considerando para la significación estadística un  $p < 0,05$ .

Palabras clave: riesgo cariogénico, indicadores clínicos, sialoquímicos y microbiológicos.

# 248

PR7002

## MANIFESTACIONES BUCALES EN ADOLESCENTES ADICTOS INTERNOS Y AMBULATORIOS DEL HOSPITAL DE SALUD MENTAL SAN FRANCISCO DE ASÍS DE LA PROVINCIA DE CORRIENTES.

Responsable: Carolina E Barrios. Tutor: Vilma G Vila.

Hospital de Salud Mental San Francisco de Asís. Facultad de Odontología U.N.N.E.  
Cátedra Práctica Clínica Preventiva I.

El consumo de drogas, constituye un problema de salud pública muy importante. Los riesgos y daños provocados en cavidad bucal asociados al consumo, varían para cada sustancia en relación a cantidad, frecuencia y asociación de múltiples sustancias. Si bien la drogadicción no interviene como factor desencadenante de enfermedades de la cavidad bucal ha demostrado ser un determinante cuando no se aplican correctamente las medidas de higiene bucal. **OBJETIVO:** determinar la relación entre el consumo de sustancias psicoactivas en adolescentes, la presencia de manifestaciones bucales y su repercusión en salud bucal. **MÉTODOS:** El estudio descriptivo observacional se llevara a cabo en pacientes adolescentes de entre 12 y 26 años atendidos durante los años 2009 y 2010. La muestra incluirá un mínimo de 100 pacientes divididos en dos grupos uno expuesto y otro no expuesto. Grupo expuesto: adolescentes adictos internos y ambulatorios de la unidad N° 7 del Hospital de Salud Mental San Francisco de Asís, con diagnóstico F19 (trastornos mentales y del comportamiento por múltiples sustancias) que manifiestan más tres años de adicción, diagnosticados por profesionales especializados en toxicomanía. Grupo no expuesto: Serán incluidos pacientes adolescentes sin diagnóstico F19 atendidos en la Cátedra de Práctica Clínica Preventiva I, seleccionados con similar distribución de sexo y edad que los pacientes en estudio, excluyendo todo aquel que consuma cualquier tipo de sustancia. Para salvaguardar los derechos de privacidad de los pacientes involucrados en el estudio, previa información de los objetivos y métodos a utilizar, se obtendrá el consentimiento informado, firmado por parte del tutor o médico responsable. En cada uno de ellos, se realizara un examen clínico buco dental e Índice de Løe, O'Leary y CPOS para determinar prevalencias de caries u otras lesiones existentes. La recolección de datos se volcara en una hoja de cálculo Microsoft Excel para luego analizar estadísticamente las diferencias entre grupo expuesto y no expuesto mediante la prueba Chi-cuadrado y test de correlación.

Palabras clave: adolescentes, drogadicción, estado buco – dental.

# 249

PR7003

## DIAGNOSTICO Y PERCEPCIONES DE SALUD BUCAL DE LA COMUNIDAD EDUCATIVA DE MIRAMAR PCIA DE CORDOBA.

Responsable: Kruse Ivana S. Tutor: Lissera ROSA G.

Cátedra de Introducción a la Odontología de la Universidad de Córdoba. Argentina.

**OBJETIVO:** El diagnóstico temprano del estado de salud-enfermedad dental, ayuda a prevenir y tratar diferentes enfermedades bucales, especialmente cuando se conocen las percepciones de la salud en la comunidad. Dado a que desde el año 2008 ,se realizan visitas al municipio de Miramar (Provincia de Córdoba), a los fines de establecer vínculos con diferentes actores sociales del lugar y priorizar necesidades en salud bucal (docentes, médicos, personal auxiliar, autoridades municipales) se propone un estudio Epidemiológico Comunitario en Salud Bucal Colectiva cuyos objetivos son:. 1) Realizar una investigación cuali-cuantitativa en salud bucal de la población escolarizada 2) Conocer las percepciones de la población educativa (padres, madres, docentes, no-docentes y alumnos) sobre el proceso salud-enfermedad del componente bucal, con la finalidad de poder abordar la promoción -prevención - atención odontológica. **METODOS:** 1) Diagnóstico de salud dental. Se realizará un estudio observacional descriptivo donde se determinarán el número de dientes erupcionados (sanos, cariados, obturados y extraídos) en todos los niños escolares, entre 7 y 12 años de edad, los cuales serán examinados visual y clínicamente en su escuela por un operador capacitado y estandarizado en el criterio diagnóstico de caries, utilizando para la medición de las variables clínicas un espejo bucal plano y luz natural. A partir de los datos recogidos se calcularán los índices tradicionales (ceo-d y CPO-D). 2) Estudio de las percepciones sobre salud bucal. Se llevará a cabo por el equipo interdisciplinario integrado por odontólogos, psicólogos y promotores de salud formados, mediante un estudio cualitativo que consiste en entrevistas no estructuradas a los padres y docentes,y su posterior discusión en los talleres participativos comunitarios de Salud Bucal. Las entrevistas las realizará personal profesional idóneo en el área psicología de la Facultad de Psicología. La metodología para la evaluación, será el análisis del discurso con triangulación de métodos. Los datos epidemiológicos recolectados serán procesados estadísticamente por un profesional especializado, con la ayuda del software pertinente.

Palabras clave: salud bucal colectiva - investigación cualitativa - participación social.

# 250

PR7004

## ESTUDIO SOCIOEPIDEMIOLÓGICO DEL ESTADO DENTARIO DE ESTUDIANTES DE 12 A 14 AÑOS DE LA PROVINCIA DE JUJUY.

Responsable: Amerise D., Derka A., Sued M. Tutor: Amerise C, Delgado AM.

Comisión de Salud. Instituto de Políticas Públicas de Jujuy.

En Argentina, como en otros países en desarrollo, la investigación epidemiológica ha sido tradicionalmente desvalorizada. Es por esto que no existe información completa y comparable que determine la tendencia que siguió la caries dental a través del tiempo, la distribución poblacional y los factores que regulan su prevalencia. La información de países desarrollados que han registrado una reducción de las tasas de caries dental reportan que, en los grupos con mayor experiencia de caries se encuentran las personas con menores ingresos, menor nivel educativo u otras condiciones desfavorables. **OBJETIVO:** a) Relevar el estado dentario mediante el índice CPO de estudiantes de 12 a 14 años de establecimientos Públicos, de áreas urbanas y rurales de la Provincia de Jujuy; b) determinar la asociación entre estado dentario con determinados indicadores de riesgo social. **METODOS:** El diseño será observacional, analítico de corte transversal. Se realizará un muestreo polietápico y estratificado por tipo de escuela (urbano y rural) a fin de controlar el tamaño muestral. Se trabajará con una muestra probabilística sobre el total de escuelas (n=357) dependientes del Ministerio de Educación de la Provincia de Jujuy. De los establecimientos seleccionados se tomará una muestra aleatoria de alumnos de 12 a 14 años, en base al registro de los existentes en el momento de la visita, hasta completar el 30% de los alumnos presentes. Un grupo de investigadores, previamente calibrados, registrará en la historia clínica el CPOD (Palmer et al, 1934). Los datos correspondientes a las variables intrínsecas (edad y sexo) y las dependientes de factores externos (tipo de agua, accesibilidad a los Servicios de Salud, grado de escolaridad de los padres y factores socioeconómicos) serán relevados en el aula a través de encuestas anónimas estructuradas. Se solicitará el consentimiento informado a los padres y /o tutores de los estudiantes. Con los datos obtenidos se hará un análisis descriptivo mediante el cálculo de medidas de tendencia central (mediana, media). La relación entre CPO y las variables intrínsecas y las dependientes de factores externos se analizarán mediante un modelo de regresión logística y ANOVA no paramétrico.

Palabras clave: Estado dentario - Epidemiología – Prevalencia.

# 251

PR7005

## CONDICIONANTES ECONÓMICOS Y SOCIALES Y SU RELACIÓN SOBRE LA PERCEPCIÓN DE NECESIDADES Y LA DEMANDA DE ATENCIÓN ODONTOLÓGICA EN POBLACIÓN PREESCOLAR EN ESCUELAS URBANO MARGINALES Y URBANAS DE MENDOZA.

Responsable: Fernández, Claudia.  
Tutor: Aldo Squassi. Facultad de Odontología- Universidad nacional de Cuyo.

**OBJETIVO:** GENERAL: Establecer una relación entre los determinantes sociales y económicos y la percepción y demanda de salud bucal en niños preescolares de ámbito urbano y urbano-marginal del Gran Mendoza. ESPECÍFICOS: 1) Establecer la relación existente entre el estado dental y la percepción parental de necesidades de salud. 2) Definir condicionantes los sociales y económicos de percepción de necesidades y demanda de salud bucal para el ámbito urbano y el urbano-marginal. **MÉTODOS:** Estudio descriptivo transversal. La población bajo estudio se conformará como una muestra por conglomerado de niños preescolares asistentes a escuelas de nivel inicial de ámbitos escolares urbano- marginal y urbano. Cada grupo se constituirá con 150 niños. Se realizará un examen clínico bucal a cargo de tres examinadores calibrados. Se registrarán los siguientes índices: 1) ceod, cpod, cpod + ceod, ceos, cpos, cpos+ceos. 2) ICDAS II. 3) Índice de necesidad de tratamiento. 4) Índice de Placa de Silness y Løe. En orden de determinar percepciones parentales de estado de salud bucal, tipo de demanda de salud y condicionantes socio-económicos, se aplicarán dos tipos de encuestas a padres o tutores: 1) encuesta sobre percepción de necesidades de salud bucal de sus hijos. 2) encuesta estructuradas para caracterizar las condiciones socioeconómicas según necesidades básicas insatisfechas y de demanda de atención odontológica para sus hijos. El análisis de situación de la comunidad se completará con un análisis del modelo de atención de salud bucal (metas de servicio, tipología de demanda, priorización de problemas) de los centros de salud insertos en la comunidad y una encuesta estructurada de percepción docente de salud bucal. El estudio estadístico de los datos se procesará con SPSS software N° 13.0. Se aplicará metodología estadística paramétrica para analizar las variables independientes, su dispersión y la comparación de grupos. En el análisis estadístico se establecerán diferencias de medias para una variable aplicando Test de Student. El análisis de diferencias de medias de más de dos grupos se establecerá con Test de Anova (ej: nivel de educación parental y estado dental). Las encuestas (datos nominales) estructuradas se analizarán con pruebas de Chi cuadrado. Palabras clave: preescolares - condición socio-económica- caries.

# 252

PR7006

## VALORACIÓN DE LA PREVALENCIA DE CARIES Y MALOCLUSIÓN EN NIÑOS ESCOLARES HIPOACÚSICOS.

Responsable: Bozzatello J, Mandozzi M, Rubial M, Isla C, Pavani J, Martinez C, Pujol M, Villalba S, Albornoz, C, Gilligan G. Tutor: Rugani de Cravero Marta. Cátedra Integral Niños y adolescentes. Área Ortodoncia.

**OBJETIVO:** Valorar la prevalencia de Caries y Maloclusión en niños hipoacusicos que concurren al instituto Bilingüe para señas (IBIS) y correlacionar los resultados obtenidos, con la prevalencia de caries y maloclusión en escolares que no presentan esta disfunción y que asisten a la escuela Derqui. Ambas instituciones pertenecientes a la ciudad de Córdoba Capital. **MÉTODOS:** Se realizará un estudio cuantitativo, descriptivo, correlacional de cohorte transversal. Se trabajará con una población de ambos sexos de edades comprendidas entre los 5 y 16 años. Grupo 1: totalidad de los niños con diagnóstico de sordera parcial o total que concurren al Instituto Bilingüe para Señas. Grupo 2: niños sin esta patología que asisten al Instituto Derqui y que por muestreo en conglomerado de edades primero y sistematizado después, se obtenga una muestra representativa para su posterior comparación con los niños del Instituto Bilingüe para Señas. El nivel de significación aceptado será  $p = 0.05$ . Como condición de inclusión, se considerará la aceptación de la participación de los escolares en forma voluntaria y el consentimiento informado firmado por los padres o tutores de los mismos, bajo los delineamientos de ética de la Asociación Mundial de Médicos. La valoración clínica se realizará mediante la inspección de la cavidad bucal, utilizando instrumental de inspección descartables y en ambiente cerrado con luz artificial. Previa calibración de los investigadores. Los datos serán registrados en una Historia Clínica ad hoc, la cual será validada para su confiabilidad. Se estudiarán variables asociadas a: edad, sexo, prácticas de higiene oral, presencia de placa bacteriana, caries, anomalías de número y posición dentarias, traumatismo dentarios, oclusión en los tres planos del espacio según dentición temporaria, mixta, permanente, así como también, se realizará una descripción del estado clínico de los tejidos blandos de la cavidad oral de los escolares en estudio. Con los registros obtenidos se elaborará una base de datos, los cuales serán tabulados y sometidos al análisis estadístico correspondiente para la comparación de medias y correlación de variables a estudiar.

Palabras clave: Hipoacusia – Caries – Maloclusión.

# 253

PR7007

## **EFFECTIVIDAD DEL BARNIZ DE FLUOR Y EDUCACIÓN DE PADRES EN UN PROGRAMA DE SALUD BUCAL PARA INFANTES.**

Responsable: Amerise Daniela, Galfré A. Tutor: Irene Garbero.

Coordinación Odontología. Dirección de Salud y Zoonosis. Dirección de Niñez, Adolescencia y Familia. Secretaría de Desarrollo Humano. Municipalidad de San Salvador de Jujuy.

La Caries Temprana de la Infancia es una epidemia silenciosa en los niños menores de 5 años. Para un efectivo resultado de un programa preventivo, el flúor y la educación para la salud deben estar presentes desde los primeros meses de vida. **OBJETIVO:** Determinar la eficacia de diferentes frecuencias de aplicación de barniz de flúor (FNa al 5%) y un componente de educación para la salud bucal (EDSA) para padres y cuidadores en la incidencia de caries temprana de la infancia. **METODO:** Se incluirán niños menores de 5 años de cinco Centros de Desarrollo Infantil (CDI) de la Municipalidad de S. Salvador de Jujuy. Los niños, que tengan en boca al menos un diente presente, serán asignados aleatoriamente a uno de los siguientes 3 grupos: I) EDSA más aplicación trimestral de barniz de flúor (inicio, 3, 6, y 12 meses), II) EDSA más aplicación de barniz de flúor semestral (inicio y 6 meses), y III) sólo EDSA basado en mensajes claves que contemplen: higiene dental, uso de biberón, frecuencia de consumo de azúcar, "intercambio" de saliva niño-adulto responsable/ niño-niño y visita regular al odontólogo a partir de los 6 meses de edad. Se registrará estado bucal y hábitos relacionados con la salud oral de los niños a través de una encuesta estructurada a los padres en tres momentos: al inicio del estudio, a los 6 meses y al finalizar la intervención. La incidencia de caries será medida como "aparición de cualquier superficie cariada u obturada al momento del último examen bucal". Se realizará un análisis por intención de tratamiento y de los casos válidos por protocolo para medir el efecto en la reducción de la incidencia de caries. Conjuntamente se hará un análisis multivariado controlado por edad del niño, experiencia previa de caries al iniciar el estudio, número de dientes presentes al iniciar y terminar la intervención, nivel de educación de los padres y número de niños presentes en el hogar y un resumen de frecuencias de los datos obtenidos a través de la encuesta de hábitos. Se pedirá el consentimiento de padres y/o tutores.

Palabras clave: barniz de fluor, caries temprana, infancia.

# 254

PR7008

## **ANALISIS DE LA SITUACION DE SALUD BUCAL Y SUS DETERMINANTES EN UNA MUESTRA DE PRESCOLARES DEL AREA METROPOLITANA DE BUENOS AIRES.**

Responsable: KLEMONSKIS G. Tutor: PIOVANO S. FOUBA.

**OBJETIVO:** Esta investigación tiene como objetivos: (a) conocer el perfil epidemiológico bucodental de prescolares residentes en el AMBA y (b) explorar las percepciones de los actores responsables de su salud, las que actuarían como variables intervinientes en el proceso de salud-enfermedad-atención. El proyecto propone contribuir a la construcción social de objetos de estudio pre-construidos resultantes de la investigación en salud, tratando de salvar la brecha existente entre la producción de conocimientos y la gestión sanitaria. **METODOS:** Se plantea la ejecución de los siguientes pasos: 1) selección de una muestra representativa de prescolares a incorporar en la investigación; 2) obtención del consentimiento informado de los representantes legales; 3) firma de acuerdos con las escuelas participantes en el marco de convenios vigentes; 4) desarrollo de estudios diagnósticos para establecer la presencia de biofilm de placa y el estado dentario y gingival determinando el Índice de placa (Silness y Loe, 1963), el ceod/ceos y CPOD/CPOS (Knutson y col, 1934); el ICDAS II (Pitts y col, 2005) y el Índice gingival (Silness y Loe, 1967); 5) exploración de las percepciones de los actores vinculados con la atención odontológica de los niños, empleando cuestionarios validados destinados a docentes (Bordoni y col, 2008) y a padres/madres (ECOHis, Talekar Pahel y col, 2007); 6) análisis estadístico para determinar la media y dispersión de indicadores aplicando las pruebas pertinentes con la escala empleada y de los resultados obtenidos en los dominios incluidos en los cuestionarios; 7) triangulación entre resultados del diagnóstico del estado bucodental y los obtenidos a través de los cuestionarios; recomendaciones para la ejecución de estrategias tendientes a cambios positivos para el mantenimiento de la salud y control de factores de riesgo. Las recomendaciones definitivas surgirán de consensos alcanzados por mecanismos concertados de acción en la red universidad-servicios-escuelas.

Palabras clave: salud bucal- prescolares- calidad de vida.



# 255

PR8001

## DETERMINACIÓN DE LA POSICIÓN DEL HUESO HIOIDES EN PACIENTES CON LA CONVEXIDAD FACIAL AUMENTADA.

Responsable: Carmen I. Collante de Benitez. Tutor: Mirta E. Lewintre de Borjas.  
Cátedra de Ortodoncia - FOUNNE.

El hueso hioides interviene en funciones vitales como deglución, respiración, fonación y estabilidad en la posición postural de la cabeza, actúa como pivote que equilibra las tensiones entre el maxilar inferior y superior, por lo cual adquiere importancia en las disfunciones de la zona bucal, faríngea y cervical, del respirador bucal. - Hipótesis: La posición del hueso hioides no se encuentra alterada en pacientes portadores de convexidad facial aumentada. **OBJETIVO:** Determinar la posición espacial del hueso hioides en pacientes con convexidad facial aumentada. **MÉTODOS:** La muestra estará integrada por 30 pacientes, que concurren al Servicio de Ortodoncia cuyas edades oscilarán entre 18 y 22 años, sin rehabilitación, ni tratamiento previo con aparatología fija o funcional. Para seleccionar la muestra será necesario realizar el trazado cefalométrico que nos brinde información con respecto a la convexidad facial. Técnica radiográfica: Se tomarán teleradiografías de perfil, del lado derecho del paciente, que abarque hasta la 7<sup>o</sup> vértebra cervical, utilizando placas de 24 x 30 en posición vertical, con la finalidad que abarque la zona hioideas y estructuras craneales incluyendo el borde superior del cráneo el paciente deberá permanecer en posición natural, en apnea, con la visión puesta en el horizonte. Se usarán pantallas con cuña de aluminio en el ángulo inferior derecho, a fin de poder visualizar más claramente el hioides, dorso y base de la lengua. Se adjuntará al equipo una plomada para indicar la vertical verdadera. Estos procedimientos serán realizados por el mismo radiólogo y equipo en el Servicio de Radiología de la F.O.U.N.N.E. Una vez obtenida la convexidad facial, se continuará con el trazado y se obtendrán los siguientes datos: distancia del hueso hioides a Ptv., altura en relación a C3 y sentido del triángulo hioideo. El conocimiento obtenido redundaría en beneficio de la población expuesta al riesgo aplicando medidas para rehabilitar al paciente, evitando una alteración de la oclusión, o evitar la recidiva de un tratamiento ya finalizado. De esta manera se mantendrá la oclusión y la correcta relación del complejo Craneo-cervico-mandibular e hioideo.

Palabras clave: Palabras claves: convexidad facial, anomalía esquelética. hueso hioides.

# 256

PR8002

## ESTABILIDAD DENTARIA A TRAVÉS DEL TIEMPO, ANÁLISIS PROSPECTIVO DE RECIDIVA EN PACIENTES TRATADOS ORTODONCICAMENTE EN LA FACULTAD DE ODONTOLOGÍA DE LA UNIVERSIDAD DE BUENOS AIRES.

Responsable: Iza R, Lamónica M, Lerman A, Caramelo P. Tutor: Mateu M E.  
Cátedra de Ortodoncia. FOUBA.

**OBJETIVO:** Poder establecer la proporción de recidiva presente en los casos terminados con tratamiento de ortodoncia con aparatología fija, sin exodoncias en la Cátedra de Ortodoncia de la FOUBA; evaluar su estabilidad en base a estudios de modelos, y radiografías. La American Board of Orthodontics (ABO) ha diseñado un sistema objetivo de escala (objective grading system /OGS) para evaluar los objetivos post-tratamiento. La evaluación se realiza sobre los modelos dentales post-tratamiento y radiografías panorámicas. Este sistema contiene 8 criterios o categorías a evaluar: alineamiento, rebordes marginales, inclinación bucolingual, contactos oclusales, relaciones oclusiones, overjet, contactos interproximales y angulación radicular. La ABO determinó que el 85% de los errores se podían agrupar en 6 categorías: alineamiento, inclinación bucolingual, relación de rebordes marginales, overjet, contactos oclusales y angulación radicular. En todos los criterios, la mayoría de los errores fueron provocados por una incorrecta posición del segundo molar. **MÉTODOS:** Se tomarán modelos post-tratamiento de los pacientes citados que terminaron su tratamiento durante los años 2006/2007. Los modelos serán obtenidos mediante impresiones de alginato y mordidas de cera en máxima intercuspidad para cada paciente. Los modelos serán separados por años de finalización y luego por sexo, quedando establecidos dos grupos con dos subgrupos cada uno. Las medidas usadas serán las que introdujo la American Board of Orthodontics (ABO) en el índice "the objective grading system" (OGS), cuyo objetivo es el análisis de modelos dentales post-tratamiento junto con radiografías panorámicas. La evaluación se realiza sobre los modelos dentales post-tratamiento y radiografías panorámicas. Este sistema contiene 8 criterios o categorías: alineamiento, rebordes marginales, inclinación bucolingual, contactos oclusales, relaciones oclusiones, overjet, contactos interproximales y angulación radicular.

Palabras clave: recidiva – ortodoncia.

# 257

PR9001

## ESTUDIO DEL ESTADO DE SALUD BUCAL EN PACIENTES CON DISCAPACIDADES MOTORAS Y SENSORIALES TRATADOS CON UN PROGRAMA PREVENTIVO.

Responsable: Vila, Vilma Graciela. Tutor: Gonzalez, María Mercedes.

Cátedra Práctica Clínica Preventiva I - Departamento Clínicas Integradas FOUNNE.

Discapacitado, es aquella persona cuya condición psicológica, expresión social, juego y trabajo están comprometidos por problemas físicos y/o mentales, que le impide alcanzar su pleno potencial. El 10% de la población mundial presenta discapacidades, tres cuartas partes de la cual no recibe atención odontológica. Algunas condiciones discapacitantes van acompañadas por problemas dentarios severos. Muchos discapacitados permanecen gran parte de su vida institucionalizados y no reciben atención odontológica de rutina. La salud bucal es parte integrante de la salud en general. Un individuo con presencia activa de enfermedad bucal no puede considerarse completamente sano. El estado de salud de la población es un reflejo del desarrollo material y espiritual de una sociedad. **OBJETIVO:** determinar el estado de salud gingivo- dental en pacientes con discapacidades motoras y sensoriales. Criterios de inclusión: Femenino o masculino entre 14 y 19 años. Que la discapacidad le permita ingresar a la Clínica. Con padre ó tutor. Con autorización del medico de cabecera. Con consentimiento firmado. Criterios de exclusión: Con patología pulpar o indicación para cirugía. Que el abordaje este indicado con anestesia general. Se realizará una detallada historia clínica. Se instruirá a los padres sobre la importancia de la prevención. Se dividirá a los pacientes en 4 grupos: Grupo 1 control: pacientes con higiene en forma habitual. Grupo 2: pacientes con Técnica de Bass. Grupo 3: pacientes con técnica de Bass y buches con solución de clorhexidina. Grupo 4: pacientes con higiene habitual y buches con clorhexidina. En todos los casos se les realizará un control gingival y de placa bacteriana. El análisis de los datos se volcarán en una hoja de cálculo (Tipo Microsoft Excel) y se procesará mediante el programa Infostat.

Palabras clave: Discapacitados - placa bacteriana- higiene.

# 258

PR9002

## FORTALECIMIENTO DE LOS ESTUDIOS DE ODONTOPEDIATRÍA EN LA FACULTAD DE ODONTOLOGÍA DE LA U.N.L.P.

Responsable: Iriquin María Soledad. Tutor: Iriquin Stella Maris

Asignatura Odontología Integral Niños. Facultad de Odontología UNLP.

**OBJETIVO:** El objetivo de éste trabajo es analizar el impacto que tiene la inclusión de un régimen de tutorías en el Rendimiento Académico de la Asignatura Odontología Integral Niños, que está ubicada en el quinto ciclo del Plan de Estudios vigente de la Facultad de Odontología. En ella se dictan tres Cursos: en el primer cuatrimestre los Cursos I y II, y en el segundo cuatrimestre, el Curso III. Para éste Proyecto se van a tener en cuenta los Cursos I y III de la Asignatura, los que comprenden el estudio de la Odontopediatria.

**MÉTODOS:** Para la metodología de trabajo a seguir, se seleccionará una muestra de 100 alumnos del Curso I con un promedio general menor a 6 puntos, y se hará un seguimiento de las calificaciones que obtengan durante y al final del Curso para evaluar su Rendimiento Académico sin ningún apoyo tutorial. En el Curso III se dividirá éste grupo en 4 subgrupos de 25 alumnos cada uno, y a cada uno de éstos subgrupos se les asignará un tutor, rol que será cumplido por los cuatro Profesores Adjuntos de la Asignatura. Los tutores tendrán por funciones tareas para fortalecer el desarrollo personal, académico y profesional de los alumnos. Los alumnos podrán elegir libremente a su tutor, deberán presentar en qué estado y condición se encuentra su Carrera semestralmente, estarán obligados a realizar un trabajo monográfico referente al Programa de Estudios de la Asignatura. Al finalizar el Curso III se analizará el Rendimiento Académico de los estudiantes y será comparado con el del Curso I, para así evaluar el porcentaje de incidencia de la acción tutorial en el Rendimiento Académico. Se utilizarán para el diagnóstico de la situación actual cuestionarios y encuestas construidos ad-hoc. La evaluación se realizará a través de los certificados analíticos de los estudiantes, presentados por ellos al inscribirse, las evaluaciones diarias, parciales y finales de los alumnos y su condición final. Los resultados serán sometidos a análisis estadístico para su discusión y obtención de conclusiones.

Palabras clave: Tutoría - Rendimiento Académico – Evaluación.

# INDICE DE AUTORES

## A

ABATE CM 175-175-183  
ABATE P 126  
ABEL V 111-112-113  
ACUÑA M 103  
ADLER I 27  
AGUAS S 27  
AGÜERO N 53-64-71-64-71  
AGUIRRE GRABRE DE PRIETO A 118  
AGUIRRE J 180  
AGUIRRE MV 195  
AGUZZI A 136- 137- 138-139  
ALAMINOS M 46-198-199  
ALAMINOS MIGNORANCE M 121-193-121-193  
ALAVAR M 82  
ALBANO P 45  
ALBARRACIN S 218-219-220-221-222-223  
ALBERA E 97  
ALBIERO E 145  
ALBORONAZ C 252  
ALCAZAR V 232  
ALDAO S 85  
ALDERETE MS 206-214-215-216  
ALESSANDRELLO H 58-77  
ALIPPI RM 157  
ALLENDE A 187  
ALMEIDA CHETTI VA 35  
ALMIRON MS 195-236  
AMANI S 3  
AMER M 105-146  
AMERI C 141-147  
AMERISE C 250  
AMERISE D 250-253  
ANNAN MS 5  
ANTONEDA G 117  
ANTONENKO O 56-62  
ANTUÑA V 41  
ARAGÓN HN 186-190-191-207  
ARAMBURÚ G 138-139  
ARANCEGUI N 114  
ARAYA M 85  
ARCURI P 128  
ARENA A 33  
ARGENTIERI A 66-67  
ARIAS S 109-110-111-112-113  
ARIASGAGO OL 208  
ARMENGOT M 194  
AROMANDO R 40  
AROMANDO RF 20-22  
ARREGGER AL 135  
ARREGUEZ C 132  
ARRIAGA A 53-197  
ATALA J 164-165-166  
ATLAS D 131  
ATTORRESI B 114-117  
AUAD D 190  
AUCHELLI L 59  
AVAGNINA A 27  
AVELLANEDA R 90-190-191

AYALA C 104  
AYALA M 228  
AYBAR ODSTRCIL A 25  
AZCONA MS 84  
AZCURRA A 4-55-178-185  
AZZARRI MJ 108  
AZZI E 103

## B

BACHMEIER E 55-188-189-239-242  
BACHUR M 16  
BAEZ A 228  
BÁLSAMO MF 179  
BAREMBAUM S 4-55-178-185  
BARÓ M 21  
BARRA JL 55  
BARREIRO M 8-44-134  
BARRIOS CE 248  
BARUZZI A 159  
BASAL R 245  
BASS PLUER A 7-89-102  
BATELLINO LJ 68  
BAZÁN MC 190  
BEJARANO P 134  
BELARDINELLI P 4-28-159-188  
BELLA M 64-68-71  
BELLONI S 27  
BELLUNI C 78-229  
BENAVIDEZ T 159  
BENITEZ L 177  
BENÍTEZ ROGÉ S 93-94  
BESSONE G 200  
BIONDI AM 66-67  
BISCOGLIO M 9  
BLANC F 188  
BLANCO N 226  
BLASCO F 231  
BOCCIO I 41  
BOJANICH MA 4-247  
BOLESINA M 28-55-65-188  
BOLESINA NJ 235  
BONETTO L 106  
BONO A 96  
BONONI LA 232  
BORDA E 13-143-149-158-163  
BORDONI N 59-60 -70  
BORJAS I 85  
BORJAS MI 61  
BOSQUED R 177  
BOTTCHER S 140  
BOZAL CB 49  
BOZZATELLO J 252  
BOZZINI C 153-157  
BOZZINI CE 153-157  
BRANDIZZI D 17-18-23-171-173  
BREGAINS L 217  
BREUER V 109-110  
BREZZO M 55  
BRITO G 56  
BRIZUELA H 130

BRUNO IG 6-16-51-51  
BRUNO M 99  
BRUNOTTO M 55-65-68-96-145-171-178-185  
BRUSCA MI 57-87-94-95-162-168-179-227  
BUFFA V 55-65  
BUFFIL CE 230  
BULACIO MA 39-133  
BURDEL B 98  
BUSAMIA B 145-238  
BUSCH L 149  
BUTLER T 141-144-147

## C

CABRINI RL 17-19-23-99-100-172-173  
CACIVA R 189  
CALABRESE D 94  
CALAFEL M 239  
CALAMARI S 4-178-185  
CAMPOS A 46-121-193-198-199  
CANGA E 103  
CANTARINI M 245  
CANZOBRE MC 14  
CAPUANO C 54-72-73  
CARABELLI V 108  
CAMELO P 256  
CARAMES R 84  
CARBÓ L 84  
CARBONE C 228  
CARDA C 194  
CARDINALE M 140  
CARDOSO EML 135  
CARINO S 25  
CARLETTO KÖBER F 55  
CARLETTO-KÖRBER FPM 63  
CARO J 78-229  
CAROSI M J 177  
CARPENTIERI AR 104  
CARRACEDO E 84  
CARRANZA M 217  
CASARIEGO Z 141-144-147-148  
CASTELLANO G 122-125  
CASTILLO B 53-178  
CASTILLO G 4-185  
CASTRO CE 151-152  
CATALÁN PE 214-215  
CATTANEO M 141-147  
CAVICCHIA JC 192  
CECHO A C 205  
CESTEROS RA 36-38  
CHAMPIN GM 153  
CHEEIN E 39-133  
CHENA E 122-125  
CHETTI AM 123  
CHIAPPE V 42-43  
CHIARENZA AP 105-146  
CHIAVARO M 91  
CHOI E 150  
CICCONE F 108  
COCCO L 226  
COHEN SA 74  
COLLANTE DE BENITEZ CI 255

COMBES J 215  
CONILL J 97  
CONTI MI 153  
CONTRERAS LN 135  
CÓRDOBA JE 206-214-216  
CORNEJO LS 53-63-64-65-68-71-76  
CORNJE S 54  
COROMINA E 140  
CORTESE SG 66-67  
CORTIZO AM 115  
CORTIZO MC 115  
CORTIZO MS 115  
COSCARELLI N 218-219-220-221-222-223  
CRESPO E 142  
CRISCUOLO I 189  
CRUZ S 82  
CUESTA A 57  
CUEZZO V 131  
CUFFINI C 176  
CUNEO C 140

## D

DAGÚN H 93  
DAVIES M 94  
DAVILA J 192  
DE BARRIO M 108  
DE CASO C 31-33  
DE COUTO PITA A 13  
DE LA CASA ML 160  
DE LANGHE C 127  
DE LAURENTIS A 98  
DE LEONARDI A 138-139  
DE LUCCA RC 182  
DE NARDO R 43  
DEL CANTO S 9  
DELGADO AM 78-82-92-229-250  
DENNINGHOFF V 27  
DERKA A 250  
DI BÁRTOLO J 91  
DI BENEDETTO S 114-117  
DI GIROLAMO G 226  
DI NASSO P 61  
DIAZ RICCI JC 25  
DIEZ R 103  
DISCACIATI S 86  
DITTER E 16-180-181  
DMYTRENKO G 153  
DOMÍNGUEZ GE 205  
DOÑO R 69  
DORATI P 202  
DUBERSARSKY C 10  
DUFFO G 8  
DURSO G 108  
DURSO M 78-92-140-229  
DUTRA GONTIJO DE MOURA M 187

## E

ELBERT A 135  
ELÍAS A 101  
ELIZONDO M 86  
ELVERDIN JC 98-105-146

ERIMBAUE MI 39-133-207  
ESCANDRIOLO NACKAUZI J 197  
ESCUDERO C 137  
ESCUDERO ND 47-203  
ESPAÑON C 111-112-113  
ESPER M 239  
ESPOSITO N 87-95  
ESTEVEZ AE 181  
ETCHEGOYEN L 245  
EVJANIAN G 81-124

## F

FAIG J 45  
FEMOPASE F 4-187  
FERNÁNDEZ A 134  
FERNANDEZ C 54-61-73-251  
FERNÁNDEZ E 28-97  
FERNÁNDEZ LORENZO M 115-116  
FERNANDEZ P 191  
FERNÁNDEZ SOLARI J 98-105  
FERNANDEZ V 117  
FERRARI B 36  
FERRARI L 83  
FERRARI MI 207  
FERRARIS ME 46-121-193-198-217  
FERRARO S 99  
FERRARY T 9  
FERREIRA MONTEIRO A 154  
FERRER A  
FERRERÍA JL 231  
FERREYRA DE PRATO RS 21-176  
FESER G 40-41  
FINKELBERG A 10-142-145-241-242  
FINTEN SB 127  
FIORE AF 232  
FLORES DE VALDIVIA G 101  
FLORES V 197  
FOLCO AA 93  
FONTANA S 104  
FONTANETTI P 150  
FORNELLS S 134  
FOSCOLO M 192  
FRESOLONE M 42  
FRIEDMAN SM 11-26-154  
FUKS D 106  
FUNOSAS E 40-41  
FURCI N 54

## G

GAGLIARDI R 141  
GAIT MT 169-170  
GALFRÉ A 253  
GALIANA A 86  
GALLEANO S 114  
GALLEGOS P 131  
GALVÁN A 39-133  
GALVÁN V 122-125-142  
GAMBA CA 26-154  
GAMBARDELLA L 94  
GANDOLFO M 27  
GANI O 31-32-33-124

GARABALINO MA 20  
GARAT J 196-233-234  
GARBERO I 253  
GARCÍA D 207  
GARCIA EJ 107  
GARCÍA FD 232  
GARCÍA GADDA B 245  
GARCÍA ZEMAN P 129  
GARDEYM 51-52  
GARDINER R 108  
GARRIDO L 45  
GARZON I 46-198  
GASPAR JL 117  
GELOS C 88  
GIANNUNZIO G 91-231  
GIAQUINTA MA 97-204  
GIGENA P 64-71  
GILI 195  
GILLIGAN G 178-185-232-252  
GILLIGAN JM 232  
GIMÉNEZ E 166  
GIOINO G 32  
GIRGENTI JC 114  
GLIOSCA L 168-227  
GOBBI C 145  
GÓMEZ DE FERRARIS ME 194-197  
GOMEZ M 42-43-202  
GÓMEZ RUSSO M 127  
GONZALES CHAVES MMS 11-26-154  
GONZÁLEZ A 2  
GONZALEZ A 60  
GONZALEZ AM 3-200  
GONZÁLEZ ANDRADES M 199  
GONZALEZ CHAVES M  
GONZÁLEZ ITTIG RE 63  
GONZALEZ L 117  
GONZÁLEZ MI 1  
GONZÁLEZ MM 167-230-257  
GONZALEZ N 79  
GONZÁLEZ PÁEZ M 229  
GORDILLO ME 186-191  
GOYA JA 201-203  
GRANATO M 114  
GRANDE RHM 107  
GRANILLO BA 5  
GRECO M 232  
GRENÓN M 106-246  
GRILLI S 85  
GROSSO M 91  
GRUNBERG K 194  
GUALDONI GM 127  
GUBERT M 26  
GUGLIELMOTTI MB 44  
GUIGLIONI 200  
GULINO M 40-41  
GUNSET V 216  
GURAYA M 134  
GUS P 72  
GUTIERREZ DE FERRO M 2 - 3  
GUTIERREZ S 2 - 3

## H

HARADA L 27  
HARFIN J 8  
HEBER EM 20  
HECHT P 6-16-51-52-237  
HELUANI S 130  
HERNÁNDEZ E 154  
HERNANDEZ S 187  
HERO F 39-133  
HERRERA A 64-71  
HIDALGO JC 123  
HILAS E 64-71  
HOCHSTETTER A 72  
HUBERT S 137  
HUYGENS PM 157

## I

IANTOSCA A 141-226  
IBAÑEZ H 191  
IBAÑEZ R 191  
IBERO NJ 16-180-181  
IGLESIAS M 94  
IGLESIASME 35  
IMPELIZZERE E 2  
IRIGOYEN S 218-219-220-221-222-223  
IRIQUIN MS 209-210-211-212-212-224-258  
IRIQUIN SM 209-210-211-212-212-224-258  
ISLA C 80-252  
ITOIZ ME 20-22-24  
IZA R 256

## J

JAMMAL MV 175  
JEWTUCHOWICZ V 57-227  
JIMÉNEZ MG 63  
JORDÁN S 111-112-113  
JOTKO C 141-147-148  
JUAREZ D 82  
JUÁREZ JN 174  
JUAREZ T 214-215-216

## K

KAPLAN AE 8-30-34-36-37-38-120  
KARABEN V 12  
KESZLER A 17-24-27  
KIGUEN X 176  
KITRILAKIS AE 228  
KLASS C 40  
KLEMONSKIS G 59-60-70-254  
KOKUBU S 49  
KOMAID VAN GELDEREN A 5  
KOSS MA 151-152  
KOSUSZKO S 174  
KREMER G 91  
KRUSE IVANA S 249

## L

LABATE LM 162  
LACHOWICZ MF 57  
LAGARRIGUE G 129-132-156  
LAMONICA M 256

LANFRANCHI H 17-24-27-184  
LANGHE C 127  
LATYN K 195  
LAZOS 55  
LECCESE MP 183  
LENCE A 27  
LENHER ROSALES EJ 232  
LEONARDI L 131  
LERMAN A 256  
LESCANO DE FERRER A 81-176-247  
LEWICKI M 49-203  
LEWIN P 79  
LEWINTRE DE BORJAS ME 255  
LIANDRO F 188  
LIMANDRI S 122-125  
LINARES J 10-142  
LISSERA RG 249  
LOGUERCIO A 107  
LOI JA 101  
LOMBARDO M 72-73  
LÓPEZ DE BLANC S 28-159-188-189-239  
LÓPEZ GL 160  
LÓPEZ M 10-136-142  
LOPEZ MA 228  
LÓPEZ ME 151-152-155-156-160-161-186-190-191-243  
LOPEZ MIRANDA L 196  
LOPEZ S 85  
LÓPEZ VALLEJOS MJ 230  
LÓPEZ VALLEJOS ML 118  
LOTERO J 12  
LUBIENIECKA EE 181  
LUCAS G 86  
LUCERO MF 64  
LUCHETTI CG 228  
LUNA E 151  
LUTRI MP 119  
LYLYK P 26

## M

MACCARONE G 168  
MACCHI ME 29  
MACCHI RL 29-35  
MACRI V 26  
MAESTRI L 40  
MAIA-DANTAS A 98  
MALASPINA N 36  
MALATESTA CL 232  
MALBERTI A 55-171  
MANDALUNIS PM 11-25-47-49-105-201-203  
MANDOZZI M 225-252  
MARCO V 69  
MARELLO F 177  
MARESCABM 240  
MARÍ G 40-41  
MARIANI MC 241  
MAROTTE C 11  
MÁRQUEZ F 78-92-229  
MARTIN A 114-196  
MARTÌN L 85  
MARTINEZ AM 16-51-52

MARTINEZ BAM  
MARTINEZ C 252  
MARTINEZ D 53  
MARTINEZ ME 16-51-52-93  
MARTÍNEZ MP 153  
MARTINEZ S 86  
MARTINS GC 107  
MASOLI C 54-72-75  
MASQUIJO BISIO PA 24  
MATEU ME 6-93-94-256  
MAURIÑO N 227-231  
MAYOCCHI K 202  
MAZZEO M 10-142  
MEDICI S 58-77  
MEDINA M 218-219-220-221-222-223  
MEDINA V 146  
MEHERIS H 196  
MENA-SERRANO A 107  
MENDES C 209-210-211-212-213-224  
MENESES A 28  
MENIS DE MUTAL L 18  
MENSO J 239  
MERLETTI SM 206-214-215-216  
MESSI S 217  
MICINQUEVICH S 202  
MIGUEL R 226  
MILAT E 209-210-211-212-213-224-245  
MILLER M 20  
MINA NF 47  
MINA S 55  
MIOZZA V 149  
MIRÍFICO MV 116  
MISSANA LR 120-174-175-183-239  
MITRE P 233  
MOHN C 98  
MOLINARI AJ 20  
MONARDES EG 135  
MONCUNILL I 55-64-65-71  
MONFORTE F 26  
MONTERO CA 101  
MONTI HUGHES A 20  
MONTOLIU C 194  
MONZÓN JE 103-208  
MONZÓN WYNGAARD A 208  
MORALES ML  
MORALES S 12-116  
MORAN M 85  
MORATA M 90  
MORELATTO R 28-159-189-235  
MOSCONI E 218-219-220-221-222-223  
MOSQUERA N 194  
MUIÑO A 27  
MUÑOZ PEREZ MA 107  
MUTAL L 33

## **N**

NALLI GA 100-184  
NAVARRO A 92  
NAZER P 187  
NENDA MM 203  
NICOLOSI L 9-79

NIETO AGUILAR R 198-199  
NIETO S 27  
NIETO SERRATO R 46-193  
NIEVA N 130-132-156  
NIGG DW 20  
NOSTE JL 114-117

## **O**

OBERTI TG 115  
OCAMPO M 164-165-166  
OCHONGA G 176  
OLIVERA MI 153-157  
OLMEDO D 99-100  
OLMEDO L 164-165-166  
OLMOS FASSI J 207  
OLMOS J 128  
ORMAN B 13-143  
ORTEGA S 167-244  
ORTOLANI A 66-67  
OSSOLA C 98-146-157  
OVIDEO ARÉVALO J 209-210-211-212-213-224  
OZOLS A 45

## **P**

PACIOS G 128-129-132  
PACIOS MG 156-160  
PÁEZ R 78-92  
PALAZZO P 72-77  
PALMADA N 97  
PANERO M 80  
PANI M 196  
PANIAGUA S 167  
PANICO R 178-185  
PAPARELLA M 23-24-100  
PAPEL G 218-219-220-221-222-223  
PASCUCCI J 97-204  
PASSAFARO D 163  
PASTARO R 117  
PASTORINO N 174  
PAVANI J 252  
PAZ A 109-110-111-112-113  
PAZO JH 135  
PECCI A 42  
PEDEMONTE Z 59-60  
PEDROSO L 90  
PEDROSO RL 90  
PELÁEZ A 231  
PELIZARDI C 94  
PELLEGRINI G 11-15-56-154  
PELOSSI PL 38  
PEÑA C 50  
PEÑA G 18  
PEÑALOZA M 82  
PEÑALVA MA 205  
PENNELLA C 14  
PERALTA DE ELÍAS N 232  
PERALTA G 7-89-102-126  
PERÉZ BACETE M 194  
PEREZ BAZAN M E 90  
PÉREZ LI 206-214-215-216  
PÉREZ MA 22



PESCE E 97  
PIACENZA A 7-89-102-126  
PICARDO S 15  
PICCA M 37  
PIEMONTE E 55  
PIOVANO S 59-60-70-72-75-254  
PISANIAK S 69  
PISTOCHINI A 69-75  
PLAVNIK LM 104-126-169-170-171  
POLADIAN M 16  
POLITI MATTAR C 90  
PÓLVORA B 141-226  
PONCHÓN M 85  
PORPORATTO C 164-165-166  
POZZI ECC 20  
PRADO M 134  
PRIOTTO EG 119  
PROBE C 59-60  
PROCACCI M 245  
PUJADAS BIGI MM 49  
PULITANO MANISAGIAN GE 182

## Q

QUINTANA J 20  
QUINTEROS A 41  
QUINTEROS VILLARRUEL GE 143

## R

RAGUSO M 50-109-110  
RAIDEN G 131  
RAMIREZ MOLINA RA 30-34  
RANCICH L 209-210-211-212-212-224  
RATTI ME 232  
REINA S 163  
REIS A 107  
RENOU SJ 44  
RETTORI C 98  
REY E 15  
RHYS KV 238  
RICCO V 136-137  
RIERA C 164-165-166  
RIMOLDI M 209-210-211-212-213-224  
RÍOS H 14  
RIQUIN MS  
RIVEROS A 142  
RIZZO P 85  
ROBLEDO G 4-189  
ROCAMUNDI M 89-102  
ROCHA MT 127  
RODRIGUEZ C 42-154  
RODRIGUEZ G 51-52-196  
RODRIGUEZ I 193-199  
RODRIGUEZ IA 46-121-194-198  
RODRIGUEZ MA 46-193  
RODRIGUEZ N 216  
RODRIGUEZ P 26  
RODRIGUEZ V 167  
RODRÍGUEZ VJ 244  
RODRIGUEZ FIGUEROA C 37  
ROMANELLI H 42-43  
ROMERO S 234

ROSA A 94-168  
ROSA AC 1-57-87-162-179-227  
ROSPIDE MA 183  
ROSSI G 73  
ROZAS C 119-121  
ROZENBERG S 45  
RUBIAL M 252  
RUBIO MC 79  
RUBIO SE 104  
RUEDA L 218-219-220-221-222-223  
RUGNAI DE CRAVERO M 252  
RUSAS MG 127  
RUIZ A 61  
RUIZ DIAZ DE CENTENO E 123  
RUIZ HOLGADO N 196  
RUIZ R 226  
RUIZ-SAURI A 194  
RUSAS MG

## S

SABATE RE 240  
SÁEZ M DEL M 155  
SANJUAN N 1  
SALAS MM 160  
SALÚM MK 151-152-243  
SAMAR ME 204  
SAMBARTOLOMEO PM 205  
SÁNCHEZ DAGUM E 81  
SÁNCHEZ DAGUM M 81-225  
SÁNCHEZ GA 58-62-77  
SÁNCHEZ HJ 106  
SANCHEZ LM 49  
SANCHEZ QUEVEDO MC 46-121-198  
SÁNCHEZ ZURLO D 187-189  
SANCHO TELLO M 194  
SANTINI ARAUJO E 19-23-172-173  
SANZ A 197  
SAPIENZA M 226  
SAPORITTI F 226  
SAYAGO A 94  
SCARDINO MC 50  
SCATENA G 4-178-185  
SCHLEGEL G 19-172-173  
SCHWINT AE 20  
SCOLA MJ 17-27-184  
SCOZZARRO SM 40  
SEARA S 218-219-220-221-222-223  
SEBELLI P 83  
SECCHI D 5-178-185  
SEGOVIA M 158  
SERRANO V 147  
SERRATO D 198-199  
SEZÍN M 119  
SILVA STEFFENS N 168  
SINGH F 190-191-214  
SLY G 120  
SOLARI E 141-147  
SOLLAZO M 28-176  
SOMOZA J 56  
SOROKIN S 55-65  
SOTO A 40

SOTO MAYOL K 127  
SOTOMAYOR L 92  
SPACCESI J 126  
SPADILIERO DE LUTRI MM 119-232  
SQUASSI AF 58-59-60-62-77-251  
STERIN-BORDA L 13-143-149-158-163  
STOLBIZER F 231  
STRANIERI G 91  
SUAREZ C 154  
SUAYTER I 82  
SUBIRAN BT 177-179-180-181-237  
SUED M 250

## **T**

TARIFA S 81  
TASAT D 99  
THORP SI 20  
TOLCHINSKY M 184  
TOLOY H 108  
TOMAS L 218-219-220-221-222-223  
TOMASI R 176  
TORAL M 54  
TORRES DE LUIGI M 122-125  
TORRES PF 161  
TORRES S 3  
TOSTI SB 205  
TRACANNA M 2 - 3  
TRIVILLIN VA 20

## **U**

UBIOS AM 48-49-182  
ULLOQUE J 81  
ULFOHN AG 232  
URIBE ECHEVARRIA J 119-121-193

## **V**

VACAS MI 105-146  
VALDÉS C 114  
VALLEJOS AR 236

VALSAGNA M 28  
VAN TOOREN V 87  
VARGAS CF 155  
VÁZQUEZ DJ 179  
VERDE ME 106-246  
VERDÚ SD 100-184  
VERDUCI P 76  
VERMOUTH N 150  
VIDAL SM 19-172-173  
VILA VG 248-257  
VILLALBA S 252  
VILLARINO ME 182  
VIRAMONTE M 217  
VIRGA C 136-137-138-139-161  
VISVISIÁN C 33-124

## **W**

WARD C 70  
WERNER L 27  
WUSCOVI LF 186-207

## **Y**

YBARRA O 40  
YELACHICH M 61-85

## **Z**

ZABALA R 85  
ZAMUDIO ME 118  
ZANOTTI AF 104  
ZAPATA M 187  
ZARATE AM 5  
ZAVALA W 192  
ZEMAN L 128-129-130  
ZEMEL M 226  
ZENI S 154  
ZENI SN 11-15-56  
ZORRILLA CUBILETE M 98


**CIENTIFICAMENTE**

---

**NIAF**

---

**100 % ODONTOLOGIA**



**SIDUS**

**Implant**  
**VEL**

SUNSTAR



IMPLANTES DENTALES

**CEDERA**